

Ա. Ա. ԿԻՐԱԿՈՍՅԱՆ

ՊԻՆԴ ՍԱՐՄՆԻ ՖԻԶԻԿԱՅԻ
ՆԵՐԱԾՈՒԹՅՈՒՆ

ԵՐԿՐՈՐԴ ՀՐԱՏԱՐԱԿՈՒԹՅՈՒՆ

ՍԱՍ I

ԵՐԵՎԱՆ

ԵՊՀ ՀՐԱՏԱՐԱԿՈՒԹՅՈՒՆ

2015

Հրատարակության է երաշխավորել
ԵՊՀ ֆիզիկայի ֆակուլտետի գիտխորհուրդը

Ուսումնամեթոդական աշխատանքների մատենաշար
պրոֆ. Ա. Կիրակոսյանի ընդհանուր խմբագրությանը

Գրախոսներ՝ Փ.մ.գ.դ., պրոֆ. Ա. Մուրադյան,
Փ.մ.գ.դ., պրոֆ. Ա. Սահակյան

Խմբագիր՝ ակադեմիկոս Է. Մ. Ղազարյան

Ա. Ա. Կիրակոսյան

Կ 530 Պինդ մարմնի ֆիզիկայի ներածություն / Ա. Կիրակոսյան. – Եր.:
ԵՊՀ հրատ., 2015. Մաս I – 288 էջ:

Գրքում արված են նախնական տեղեկություններ բյուրեղային ցանցի կառուցվածքի և դինամիկայի, բյուրեղային կապի տեսակների, բյուրեղային ցանցի ջերմային ու դիելեկտրական հատկությունների մասին:

Նախատեսված է Երևանի պետհամալսարանի ֆիզիկայի և ուսույնֆիզիկայի ֆակուլտետների, Արցախի պետհամալսարանի բնագիտական ֆակուլտետի, Հայաստանի ազգային պոլիտեխնիկական համալսարանի կիբեռնետիկայի, Կիսահաղորդչային սարքերի ֆիզիկայի, նյութաքանության և հարակից բնագավաճներում մասնագիտացող բակալավրների, մագիստրոսների և ասպիրանտների համար:

Գիրքը կարող է օգտակար լինել նաև պինդ մարմնի ֆիզիկան ինքնուրույն ուսումնասիրել ցանկացող գիտաշխատողների և ճարտարագետների համար:

Նվիրում եմ ծնողներիս՝

Ավետիսի և Արմենուին

հիշատակին

ԲՈՎԱՆԴԱԿՈՒԹՅՈՒՆ

Նախաբան

7

Գլուխ I. Բյուրեղային կառուցվածքներ

§1. Տեղափոխական համաշափություն	10
§2. Տարրական բջիջ	13
§3. Խորանարդային ցանցեր	15
§4. Վիզներ-Ձեյտցի բջիջ	20
§5. Բրավեի ցանց: Բյուրեղային համակարգեր	23
§6. Կարևոր բյուրեղային կառուցվածքներ	28
§7. Հակադարձ ցանց	37
§8. Հակադարձ ցանցի հատկությունները: Սիլերյան ցուցիչներ	43
§9. Հակադարձ ցանցի կառուցումը	47
§10. Դիֆրակցիան բյուրեղային կառուցվածքներում: Կառուցվածքային գործոն	51

Գլուխ II. Կապերի տեսակները բյուրեղներում

§1. Կապի էներգիա	59
§2. Բյուրեղային մարմինների դասակարգումը	61
§3. Վանդերվաալյան կապի տեսությունը	69
§4. Սոլեկուլային բյուրեղի կապի էներգիայի հաշվարկը	75
§5. Իոնային կապի տեսությունը	80
§6. Կովալենտ կապի տեսությունը	85
§7. Մետաղական կապի տեսությունը	94

Գլուխ III. Բյուրեղական ցանցի դինամիկան

§1. Ներդաշնակ մոտավորություն	100
§2. Տատանումները և ալիքները պարզ միաշափ ցանցում	102
§3. Ամենամոտ հարևանների մոտավորությունը	110
§4. Տատանումները և ալիքները բարդ (բազիսով) միաշափ ցանցում	113
§5. Դիսպերսային առնչությունների ուսումնասիրումը	117
§6. Եռաչափ բարդ ցանցի տատանումները	124
§7. Սահմանային պայմանների ուսումնասիրումը	136
§8. Տատանումների բաշխումը սպեկտրում: Վիճակների խորության ֆունկցիա	141

Գլուխ IV. Բյուրեղական ցանցի ջերմային հատկությունները

§1.	Պինդ մարմնի ջերմունակության դասական տեսությունը	154
§2.	Պինդ մարմնի ջերմունակության քվանտային տեսությունը	160
§3.	Պինդ մարմնի ջերմունակության Այնշտայնի տեսությունը	167
§4.	Պինդ մարմնի ջերմունակության Դեբայի տեսությունը	171
§5.	Ներքին էներգիայի և ջերմունակության վարքը ջերմաստիճանային տարրեր տիրույթներում	178
§6.	Դեբայի տեսության քննարկումը	182
§7.	Բյուրեղային ցանցի ջերմային տատանումները: Հալման չափանիշ	191
§8.	Դեբայ-Ուլերի գործոն	198
§9.	Տատանումների աններդաշնակությամբ պայմանավորված երևույթներ բյուրեղներում: Մի-Գյունայզենի հավասարումը	203
§10.	Տատանումների աններդաշնակության ազդեցությունը ջերմադիմամիկական մեծությունների վրա	208
§11.	Տատանումների աններդաշնակության ազդեցությունը ցանցի ջերմունակության վրա	212

Գլուխ V. Մեկուսիչների էլեկտրական հատկությունները

§1.	Էլեկտրական դաշտը մեկուսիչներում: Դիէլեկտրական թափանցելիություն	216
§2.	Ապարենուացնող դաշտ: Ապարենուացման գործակից	219
§3.	Տեղային դաշտ: Լորենցի դաշտ	223
§4.	Բևեռացվելիության տեսությունը	226
§5.	Օպտիկական տատանումներն իոնային բյուրեղներում	235
§6.	Էլեկտրամագնիսական ալիքի փոխազդեցությունը ցանցային տատանումների հետ	243
§7.	Դիէլեկտրական ռելաքսացիա	247
§8.	Պիրուէլեկտրականություն	251
§9.	Պիեզոէլեկտրականություն	254
§10.	Սեգմետաէլեկտրականություն	258
§11.	Սեգմետաէլեկտրականության երևութաբանական տեսությունը	261
Հավելված 1. Ֆիզիկական հաստատումների աղյուսակ		268
Հավելված 2. Մաքնամատիկական լրացումներ		269
Հավելված 3. Մադելունգի հաստատումի հաշվարկման մեթոդները		273
Գրականություն		286

ՆԱԽԱԲԱՆ

Ըսթերցողի ուշադրությանը ներկայացվող սույն դասագիրքը Երևանի պետական համալսարանի ֆիզիկայի ֆակուլտետի ուսանողներին կարդացվող «Պինդ մարմնի ֆիզիկայի ներածություն» ընդհանուր դասընթացի դասախոսությունների վերամշակված և ընդլայնված շարադրանքն է:

Պինդ մարմնի ֆիզիկան ժամանակակից ֆիզիկայի կարևորագույն բաժիններից է: Այն զիտության և տեխնիկայի ամենասարքերը բնագավառների՝ նյութաբանության, կիսահաղորդիչների և կիսահաղորդչային սարքերի ֆիզիկայի, էլեկտրոնիկայի և պինդմարմնային միկրոէլեկտրոնիկայի, ցածր ջերմաստիճանների ֆիզիկայի զիտական հիմքն է:

Վերջին տասնամյակների ընթացքում էապես ընդլայնվել են պինդ մարմնի տեսության գործնական կիրառության ոլորտները: Ստեղծվել են պինդմարմնային լազերների նոր տեսակներ, էապես կերպարանափոխվել է կիսահաղորդչային միկրոէլեկտրոնիկան, որտեղ լայնորեն կիրառվում են ցածր չափայմությամբ էլեկտրոնային համակարգեր պարունակող տարրեր կառուցվածքներ: Ներկայում հաջողությամբ կիրառվում են հազվագյուտ հոդային մետաղների հիման վրա սինթեզված բյուրեղներ, մագնիսական կիսահաղորդիչներ, անորդ մետաղներ և կիսահաղորդիչներ, բարձրջերմաստիճանային գերհաղորդիչներ և այլ նյութեր:

Դասագրքում շարադրված են պինդ մարմնի ֆիզիկայի հիմնական բաժինները: Գրքի առաջին մասում ուսումնասիրված են բյուրեղային կառուցվածքները, պինդ մարմններում կապի տեսակները և բյուրեղային ցանցի ֆիզիկական հատկությունները: Մանրամասն դիտարկված են ցանցի դինամիկան, ինչպես նաև ջերմային և դիէլեկտրական հատկությունները:

Գրքի երկրորդ մասում հանգամանորեն շարադրված են դասական էլեկտրոնային տեսությունը (Պ. Գրոդե, Հ. Լորենց), էլեկտրոնային զազի քվանտային տեսությունը (Ա. Չոմերֆեր), տրված են նախնական տեղեկություններ պինդ բյուրեղային մարմնում էլեկտրոնի էներգիական սպեկտրի գոտիական կառուցվածքի մասին: Առանձին գլուխներ են նվիրված գերհաղորդականության երևույթի, պինդ մարմնի մագնիսական հատկությունների և արատների ուսումնասիրությանը: Տրված են նաև նախնական, ընդհանուր տեղեկություններ ամորֆ պինդ մարմնների և հեղուկ բյուրեղների մասին:

Գրքում լստ էության բննարկված չեն պինդ մարմնի ֆիզիկայի գարգացման գործում նշանակալի դեր խաղացած բազմաթիվ փորձեր: Այս հանգամանքն ամեններին չի նշանակում պինդ մարմնի ֆիզիկայում փորձի և փորձարարական հետազոտությունների դերի թերազնահատում կամ անտեսում: Հետինակի հիմնական նպատակն է եղել մասսամբ լրացնել պինդ մարմնի ֆիզիկային վերաբերող, մայրենի լեզվով ուսումնական զրականության պակասը, տալ պինդ մարմնի ֆիզիկայի տեսական գիտելիքների այն նվազագույնը, որն անհրաժեշտ է ֆիզիկայի և տեխնիկայի տարրեր բնագավառներում մասնագիտացող գիտաշխատողներին և ճարտարագետներին:

Ծանոթությունը սույն դասագրքին կնախապատրաստի ընթերցողին հանգամանորեն ուսումնասիրելու պինդ մարմնի ֆիզիկայի առանձին բաժիններ ժամանակակից և ավելի խոր մակարդակով:

Ենթադրվում է, որ ընթերցողը տիրապետում է համալսարանների բնագիտական ֆակուլտետների ուսումնական ծրագրերով նախատեսված մաքենատիկայի և ընդհանուր տեսական դասընթացի (հիմնականում՝ դասական մեխանիկայի, քվանտային մեխանիկայի և վիճակագրական ֆիզիկայի) գիտելիքների նվազագույնին:

Գրքում օգտագործված գրականության ցանկը բաժանված է երկու մասի: Ըստհանուր գրականության ցանկում ներկայացված են շարադրված բաժինների վերաբերյալ տեղեկություններ պարունակող գրքեր, ինչպես նաև հիմնարար ընույթի հանրահայտ դասագրքեր: Երկրորդ մասում լստ գրուների տրված են շարադրված նյութին անմիջականորեն առնչվող դասագրքերն ու մենագրությունները:

Դասագիրքը նախ և առաջ ուսումնական ձեռնարկ է, ուստի նրանում, որպես կանոն, չկան առանձին բնագրերի և սկզբնադրյուրների հղումներ:

Գրքում, բացի առանձին դեպքերից, օգտագործված է ֆիզիկական միավորների գառայան (CGSE) համակարգը: Նկարները և աղյուսակները համարակալված են աճող հերթականությամբ, իսկ բանաձևերը՝ պարագրաֆի շրջանակներում: Պարագրաֆները և բանաձևերը հղելիս նշում է գլուխը (օրինակ՝ II.7, III.5.14):

Այս դասագիրքը նախատեսված է որպես ուսումնական ձեռնարկ Երևանի պետական համալսարանի ֆիզիկայի և ուղիղֆիզիկայի ֆակուլտետների, Արցախի պետական համալսարանի բնագիտական ֆակուլտետի, ինչպես նաև Հայաստանի ազգային պոլիտեխնիկական համալսարանի հա-

մապատասխան մասնագիտացումների ուսանողների համար: Այն կարող է օգտակար լինել նաև պինդ մարմնի ֆիզիկայի, կիսահաղործվածների և կիսահաղորդչային սարքերի ֆիզիկայի, մազճիսականության, գերհաղորդականության, նյութաբանության, տեսական քիմիայի, քիմիական ֆիզիկայի և հարակից այլ մասնագիտությունների մագիստրոսների և ասպիրանտների համար: Որպես տեղեկատու ձեռնարկ՝ այն կարող են օգտագործել դասախոսներն ու գիտաշխատողները:

Դասագրքի երկրորդ հրատարակության մեջ կատարվել են որոշ փոփոխություններ. մասնավորապես, որոշ ծավալուն պարագրաֆներ տրոհվել են առանձին պարագրաֆների կամ մասամբ շարադրվել են որպես հավելված, փոխվել են որոշ նկարներ, ինչպես նաև ուղղվել են գրքի առաջին հրատարակության մեջ հայտնաբերված թերությունները և վրիպակները:

Խորին շնորհակալություն եմ հայտնում գրքի խմբագիր, ակադեմիկոս Է. Ղազարյանին՝ մշտական աջակցության և օգտակար խորհուրդների համար: Երախտապարտ եմ իմ գործընկերներ Ա. Ասատրյանին, Ա. Վարդանյանին, Է. Արովյանին, Կ. Քեչեզյանին, Ա. Մանասելյանին, Վ. Մուղնեցյանին, Մ. Բարսեղյանին, Մ. Երանոսյանին, Ա. Ղազարյանին, Շ. Գասպարյանին, Լ. Վարդանյանին, Լ. Լևոնյանին, Ա. Սելիխսերյանին և Լ. Պետրոսյանին՝ քննարկումների ընթացքում արած արժեքավոր դիտողությունների համար:

Գիրքը վերահրատարակության նախապատրաստելիս մեծապես օգնել են Ա. Հարությունյանը և Ն. Հովհակիմյանը, որոնց հայտնում եմ իմ խորին շնորհակալությունը:

Երախտագիտությամբ կը նդումնեմ գրքի բովանդակության, նյութի շարադրման և ներկայացման վերաբերյալ բոլոր դիտողություններն ու խորհուրդները:

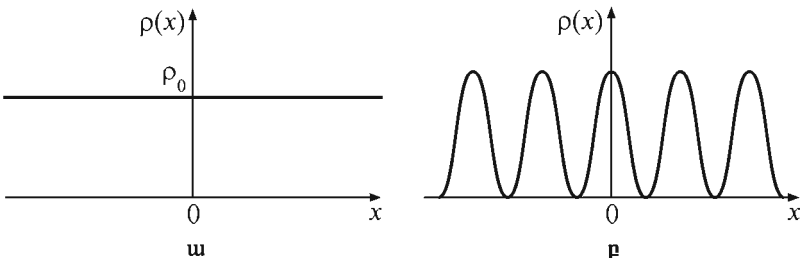
Հեղինակ

ԲՅՈՒՐԵՂԱՅԻՆ ԿԱՌՈՒՑՎԱԾՔՆԵՐ

§1. Տեղափոխական համաչափություն

Մարմինների համաչափության հատկությունները պայմանավորված են նրանցում մասնիկների (առողմներ, խոններ, մոլեկուլներ) տարածական դասավորությամբ: Չարժվող մասնիկները մարմնում չունեն որոշված տեղեր, ուստի նրանց դիրքերը տրվում են $\rho(x, y, z)$ ֆունկցիայի միջոցով, որը հավանականության խոտրյան իմաստ ունի. հավանականությունն այն բանի, որ մասնիկն $r(x, y, z)$ կետուն ընդգրկող dV ծավալում է, հավասար է $\rho(r)dV$ -ի: Մասնիկների տարածական բաշխման համաչափության հատկությունները որոշվում են կոորդինատների այն ձևափոխություններով (տեղափոխություններ, պտույտներ, անդրադարձումներ), որոնք անփոփոխ են բողնում $\rho(x, y, z)$ ֆունկցիան: Մարմնի համաչափության ձևափոխությունների բազմությունը ներկայացնում է մարմնի համաչափության խումբը:

Ամենաբարձր համաչափությամբ օժտված են իզոտրոպ մարմինները, որոնց հատկությունները բոլոր ուղղություններով նույն են, օրինակ՝ գագերը, հեղուկները, ամորֆ պինդ մարմինները: Իզոտրոպ մարմնում յուրաքանչյուր մասնիկի բոլոր դիրքերը տարածության մեջ հավասարահնարավոր են, այսինքն՝ $\rho(x, y, z) = \rho_2 = \text{const}$ (նկ. 1. ա): Ընդհակառակը, պինդ միարյութեղային մարմիններում և հեղուկ բյուրեղներում, որոնց հատկությունները կախված են ուղղությունից, հավանականության խոտրյան ֆունկցիան ունի խիստ արտահայտված մաքսիմումներ, որոնց տարածական դասավորությունն օժտված է համաչափությամբ (նկ. 1. բ):



Նկ. 1. Հավանականության խոտրյան ֆունկցիա
ա. իզոտրոպ մարմնում, բ. միարյութեղում (միաշափ դեպք)

Այսպիսով՝ բյուրեղային վիճակին բնորոշ է մասնիկների բաշխումը տարածության մեջ կանոնավոր համաչափ կառուցվածքի ձևով, որը կոչվում է տարածական կամ բյուրեղային ցանց: Այն առաջին հերթին բնութագրվում է տարածական պարբերականությամբ կամ տեղափոխական համաշափությամբ: Վերջինս նշանակում է, որ յուրաքանչյուր բյուրեղի համար գոյություն ունեն միևնույն հարբուրյանը չպատկանող $\mathbf{a}_1, \mathbf{a}_2, \mathbf{a}_3$ վեկտորներ, որոնցով բյուրեղը որպես ամբողջություն տեղափոխելիս համընկնում է ինքն իր հետ: Տարածական ցանցի միևնույն ձևով դասավորված կետերը, որոնք այս տեղափոխության արդյունքում համընկնում են իրար հետ, կոչվում են բյուրեղային ցանցի հանգույցներ: Քանի որ բյուրեղի տեղափոխությունը \mathbf{a}_k -ին ($k = 1, 2, 3$) պատիկ վեկտորների չափով նորից հանգեցնում է բյուրեղի համընկնան ինքն իր հետ, ապա հարմար է որպես հիմնական վեկտորներ ընտրել տվյալ ուղղություններով տեղափոխությունների ամենափոքր երկարությամբ վեկտորները:

Եթե կորդինատների սկզբնակետը համընկնում է որևէ հանգույցի հետ, ապա կամայական հանգույցի դիրք կարելի է ներկայացնել $\mathbf{a}_1, \mathbf{a}_2, \mathbf{a}_3$ հիմնական վեկտորների գծային համակցության տեսքով՝

$$\mathbf{l} = n_1 \mathbf{a}_1 + n_2 \mathbf{a}_2 + n_3 \mathbf{a}_3 , \quad (1.1)$$

որտեղ $n_1, n_2, n_3 = 0, \pm 1, \pm 2, \dots$: \mathbf{l} վեկտորը կոչվում է բյուրեղային ցանցի տեղափոխության վեկտոր կամ տեղափոխական պարբերություն:

Տեղափոխական պարբերականությամբ օժտված է միայն իդեալական, այսինքն՝ տարածականորեն անսահմանափակ և արատներից զերծ բյուրեղը: Սահմանափակ բյուրեղի համար տեղափոխման ձևափոխությունը համաշփության ձևափոխություն չէ, քանի որ «տեղափոխված» բյուրեղն այլև չի համընկնում նախնական բյուրեղի հետ: Եթե որևէ ուղղությամբ բյուրեղի տեղափոխության չափը շատ փոքր է այդ ուղղությամբ բյուրեղի չափերից, ապա տեղափոխության հետևանքով ծավալից հեռացած մասնիկների թիվը շատ փոքր է մարմնի ծավալում մասնիկների թվից, ուստի իրական բյուրեղների հատկությունները կարելի է ուսումնասիրել՝ օգտվելով անսահմանափակ բյուրեղային տարածության հասկացությունից, որի համար տեղափոխությունները համաշափության ձևափոխություններ են:

Նման մոտեցումը կարելի է հիմնավորել նաև հետևյալ քանակական գնահատմամբ: Մակրոսկոպական չափերով նմուշի սահմանային շերտի մասմիկների ներդրումը նմուշի որևէ աղյուսիվ մեծության, օրինակ՝ ներքին էներգիայի մեջ, համեմատական է $N_s/N \sim L^2/L^3 \sim 1/L \sim N^{-1/3}$ -ին, որտեղ L -ը նմուշի գծային չափն է, $N \sim L^3$ -ը՝ նմուշում մասմիկների թիվը, իսկ N_s -ը՝ մասմիկների թիվն է նմուշի սահմանային շերտում: Մակրոսկոպական նմուշում $N = vN_A$, որտեղ $N_A = 6,02 \cdot 10^{23}$ մոլ⁻¹ մեծությունն Ավոգադրոյի հաստատումն է, v -ը՝ մոլերի թիվը: $v \sim 1$ մոլ նյութի համար $N_s/N \sim 10^{-8}$, ուստի նմուշի սահմանային շերտի գոյությամբ պայմանավորված ներդրումը կարելի է անուհեղ:

Տարածական ցանցը մաքսմատիկական հասկացություն է, բյուրեղային կառուցվածք առաջանում է միայն այն դեպքում, եթե տարածական ցանցի յուրաքանչյուր հանգույցի հետ կապվում է առողմերի որոշակի խումբ՝ բազիս, ընդ որում՝ բոլոր հանգույցների հետ կապված խմբերը նույնական են ինչպես կազմությամբ, այնպես էլ տեղադրությամբ և դիրքորոշմամբ (նկ. 2):

տարածական ցանց բազիս բյուրեղային կառուցվածք

**Նկ. 2. Բյուրեղային կառուցվածքի առաջացումը
տարածական ցանցի և բազիսի համապատասխան**

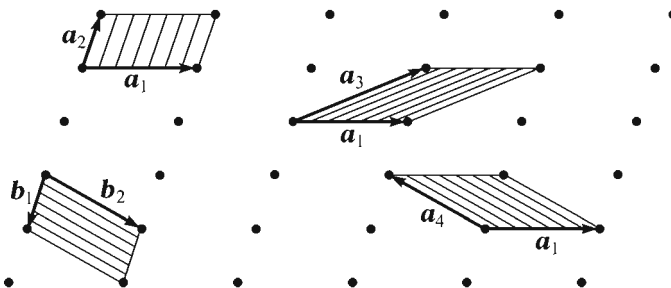
Սետաղների և իներտ տարրերի բյուրեղներում բազիսը կազմված է ընդունակ մեկ մասմիկից, սակայն հայտնի են բազմաթիվ բյուրեղներ, որոնց բազիսը պարունակում է հազարավոր մասմիկներ: s մասմիկից կազմված բազիսը արվում է

$$\mathbf{r}_j = \mathbf{a}_1 x_j + \mathbf{a}_2 y_j + \mathbf{a}_3 z_j, \quad j = 1, 2, \dots, s \quad (1.2)$$

վեկտորների հավաքածուով, որով որոշվում են ցանցի համարյացի նկատմամբ մասնիկների դիրքերը: Սովորաբար բազիսը կազմող մասնիկները ցանցի տվյալ կետի նկատմամբ տեղադրում են այնպես, որ $0 \leq |x_j|, |y_j|, |z_j| < 1$:

§2. Տարրական բջիջ

Տեղափոխության հիմնական վեկտորներով կառուցված զուգահեռանիստը կոչվում է տարրական բջիջ: Տարրական բջիջը ընտրությունը միարժեք չէ, քանի որ միարժեք չէ տարրական ցանցի հիմնական վեկտորների ընտրությունը: Դեռ ավելին՝ դրանք կարելի է ընտրել բազմաթիվ ձևերով (նկ. 3):



Նկ. 3. Երկար ցանցում տարրական բջիջը ընտրության տարրերակներ

Վերջին պայումն ապացուցենք մաքեմատիկորեն:

Դիցուք՝ \mathbf{a}_1 -ը, \mathbf{a}_2 -ը և \mathbf{a}_3 -ը հիմնական վեկտորներ են: Դրանց փոխարեն ներմուծենք նոր վեկտորներ՝

$$\mathbf{a}'_i = \sum_k \alpha_{ik} \mathbf{a}_k, \quad i = 1, 2, 3, \quad (2.1)$$

որտեղ α_{ik} -երն ամբողջ թվեր են: Մյուս կողմից, եթե \mathbf{a}'_i վեկտորները հիմնական են, ապա \mathbf{a}_i «նախկին» հիմնական վեկտորները պետք է արտահայտվեն \mathbf{a}'_i «նոր» վեկտորների միջոցով (2.1) բանաձևով՝

$$\mathbf{a}_i = \sum_k \beta_{ik} \mathbf{a}'_k, \quad (2.2)$$

որտեղ β_{ik} գործակիցները նույնայես ամբողջ թվեր են: (2.1) և (2.2) բանաձևերից հետևում է, որ

$$\mathbf{a}_i = \sum_{kl} \beta_{ik} \alpha_{kl} \mathbf{a}_l \quad \text{և} \quad \sum_k \beta_{ik} \alpha_{kl} = \delta_{il} = \begin{cases} 1, & i=l, \\ 0, & i \neq l, \end{cases} \quad (2.3)$$

որտեղ δ_{il} -ը Կրոնեկերի սիմվոլ է: (2.3) առնչության համաձայն՝ $\|\alpha_{ik}\|$ և $\|\beta_{ik}\|$ մատրիցներն իրար հակադարձ են, հետևաբար՝ $\|\beta_{ik}\|$ մատրիցի որոշչությունը՝

$$\det \beta_{ik} = (\det \alpha_{ik})^{-1} : \quad (2.4)$$

Քանի որ α_{ik} և β_{ik} գործակիցներն ամբողջ թվեր են, ապա \mathbf{a}_i վեկտորների հիմնական լինելու անհրաժեշտ և բավարար պայմանը, (2.4) բանաձևի համաձայն, հետևյալն է՝

$$\det \alpha_{ik} = \pm 1 : \quad (2.5)$$

Երկար բյուրեղային ցանցում տարրական բջջի ընտրության տարբեր դեպքեր պատկերված են նկ. 3-ում:

Տարրական բջջին բաժինն է ընկնում բյուրեղային ցանցի միայն մեկ հանգույց, իսկ նրանում ատոմների թիվը հավասար է բազիսի ատոմների թիվն: Տարրական բջջի ծավալը որոշվում է

$$v_0 = (\mathbf{a}_1[\mathbf{a}_2, \mathbf{a}_3]) = \begin{vmatrix} a_{1x} & a_{1y} & a_{1z} \\ a_{2x} & a_{2y} & a_{2z} \\ a_{3x} & a_{3y} & a_{3z} \end{vmatrix} \equiv \det a_{lm} \quad (2.6)$$

բանաձևով, որտեղ (2.6) որոշիչի տարրերը հիմնական վեկտորների բաղադրիչներն են՝ զրկած որևէ դեկարտյան կոորդինատային համակարգում:

Դժվար չէ համոզվել, որ հիմնական վեկտորների բազմության երեք կամայական վեկտորներով կառուցված տարրական բջջների ծավալներն իրար հավասար են: Իրոք, (2.1), (2.5) և (2.6) բանաձևների համաձայն՝

$$v'_0 = \det a'_{im} = \det \alpha_{il} \det a_{lm} = \det a_{lm} = v_0 : \quad (2.7)$$

Եթե տարրական բջջը պարունակում է միայն մեկ հանգույց, ապա տարրածական ցանցը կոչվում է պարզ կամ Բրավեի տիպի, իսկ եթե այն պարունակում է մեկից ավելի հանգույց, ապա կոչվում է բարդ կամ բազիսով: Այսպիսով՝ տարրածական ցանցը կանվանենք պարզ, եթե հնարավոր է ընտրել ցանցի հիմնական վեկտորներն այնպես, որ նրանցով կառուցված տարրական բջջը պարունակի մեկ հանգույց:

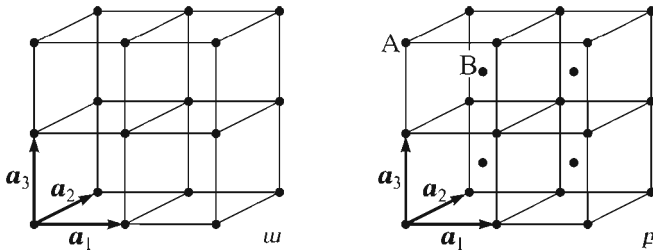
§3. Խորանարդային ցանցեր

3.1. Պարզ խորանարդային (ՊԽ) ցանց

Այս ցանցի տարրական բջիջը խորանարդ է, որը կազմված է մեծությամբ հավասար և իրար հետ ուղիղ անկյուն կազմող հիմնական վեկտորներից՝ $|\mathbf{a}_1| = |\mathbf{a}_2| = |\mathbf{a}_3| = a$ (նկ. 4. ա): Ցանցի յուրաքանչյուր հանգույց պատկանում է ուրեմն խորանարդի, ուստի ամեն մի խորանարդի բաժին է ընկնում $1/8$ հանգույց: Բազմապատկելով այն խորանարդի գագաթների թվով (8), կստանանք, որ տարրական բջիջն բաժին է ընկնում մեկ հանգույց, հետևաբար՝ խորանարդային ցանցը պարզ ցանց է:

Պարզ խորանարդային ցանցում «տարրական բջիջ» և «տարրական խորանարդ» հասկացությունները նույնական են:

Տարրական բջիջի ծավալը՝ $V_0 = a^3$:



Նկ. 4. ա. Պարզ խորանարդային ցանց,
բ. ծավալակենտրոն խորանարդային ցանց

3.2. Ծավալակենտրոն խորանարդային (ԾԿԽ) ցանց

Այս ցանցը կարելի է ստանալ նկ. 4. ա-ում պատկերված խորանարդային կառուցվածքից, եթե յուրաքանչյուր խորանարդի կենտրոնում ավելացվի մեկ հանգույց (նկ. 4. բ):

Առաջին հայացքից այս ցանցը բվում է բարդ, քանի որ յուրաքանչյուր խորանարդ պարունակում է երկու հանգույց՝ մեկը 8 գագաթների ներդրումն է, մյուսը՝ կենտրոնում դրվածը: Խորանարդի գագաթները (A) որոշվում են

$$\mathbf{l}_A = l_1 \mathbf{a}_1 + l_{21} \mathbf{a}_2 + l_{31} \mathbf{a}_3 \quad (3.1),$$

տեղափոխության վեկտորներով, կենտրոնները (B)՝

$$\mathbf{l}_B = \left(l_1 + \frac{1}{2} \right) \mathbf{a}_1 + \left(l_2 + \frac{1}{2} \right) \mathbf{a}_2 + \left(l_3 + \frac{1}{2} \right) \mathbf{a}_3 \quad (3.2)$$

տեղափոխության վեկտորներով, իսկ l_1 -ը, l_2 -ը և l_3 -ը կամայական ամբողջ թվեր են:

Ցույց տանք, որ կարելի է ընտրել նոր հիմնական վեկտորներ այնպես, որ խորանարդի և՝ գագաթները, և՝ կենտրոնները որոշվեն միևնույն տեղափոխության վեկտորով: Նոր հիմնական վեկտորներն ընտրենք հետևյալ կերպ՝

$$\mathbf{c}_1 = \frac{1}{2}(-\mathbf{a}_1 + \mathbf{a}_2 + \mathbf{a}_3), \mathbf{c}_2 = \frac{1}{2}(\mathbf{a}_1 - \mathbf{a}_2 + \mathbf{a}_3), \mathbf{c}_3 = \frac{1}{2}(\mathbf{a}_1 + \mathbf{a}_2 - \mathbf{a}_3): \quad (3.3)$$

(3.3) բանաձևերից \mathbf{a}_i վեկտորներն արտահայտելով \mathbf{c}_i վեկտորների ($i = 1, 2, 3$) միջոցով՝

$$\mathbf{a}_1 = \mathbf{c}_2 + \mathbf{c}_3, \quad \mathbf{a}_2 = \mathbf{c}_1 + \mathbf{c}_3, \quad \mathbf{a}_3 = \mathbf{c}_1 + \mathbf{c}_2, \quad (3.4)$$

և դրանք տեղադրելով (3.1) և (3.2) բանաձևերում՝ կստանանք՝

$$\mathbf{l}_A = (l_2 + l_3) \mathbf{c}_1 + (l_3 + l_1) \mathbf{c}_2 + (l_1 + l_2) \mathbf{c}_3, \quad (3.5)$$

$$\mathbf{l}_B = (l_2 + l_3 + 1) \mathbf{c}_1 + (l_3 + l_1 + 1) \mathbf{c}_2 + (l_1 + l_2 + 1) \mathbf{c}_3 : \quad (3.6)$$

Քանի որ l_1 -ը, l_2 -ը և l_3 -ը կամայական ամբողջ թվեր են, ապա (3.5) և (3.6) վեկտորները կարելի են ներկայացնել $\mathbf{l} = n_1 \mathbf{c}_1 + n_2 \mathbf{c}_2 + n_3 \mathbf{c}_3$ վեկտորով, որտեղ n_1 -ը, n_2 -ը և n_3 -ը կամայական ամբողջ թվեր են:

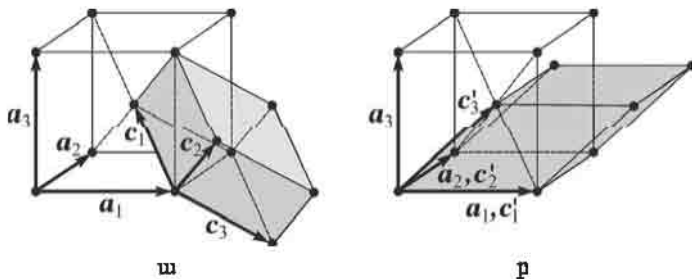
Նոր՝ \mathbf{c}_1 , \mathbf{c}_2 և \mathbf{c}_3 վեկտորներով կառուցված զուգահեռանիստին բաժին է ընկնում մեկ հանգույց (նկ. 5. ա):

Եթե $n_1 + n_2 + n_3$ զումարը զույգ է, ապա \mathbf{l} վեկտորը ներկայացնում է խորանարդի A գագաթը՝ $\mathbf{l} = \mathbf{l}_A$, $n_1 + n_2 + n_3 = 2(l_1 + l_2 + l_3)$, իսկ եթե այն կենտ է՝ խորանարդի B կենտրոնը՝ $\mathbf{l} = \mathbf{l}_B$, $n_1 + n_2 + n_3 = 2(l_1 + l_2 + l_3) + 3$:

Հարկ է նշել, որ հիմնական վեկտորներ կարելի են ներմուծել նաև (3.3) բանաձևերից տարրեր այլ առնչություններով: Օրինակ՝

$$\mathbf{c}'_1 = \mathbf{a}_1, \quad \mathbf{c}'_2 = \mathbf{a}_2, \quad \mathbf{c}'_3 = \frac{1}{2}(\mathbf{a}_1 + \mathbf{a}_2 + \mathbf{a}_3) \quad (3.8)$$

հիմնական վեկտորներով կառուցված զուգահեռանիստին նույնպես բաժին է ընկնում մեկ հանգույց (նկ. 5. բ):



Նկ. 5. Ծավալակենուրության ցանց. ա. տարրական խորանարդը և տարրական քայլը,
բ. հիմնական վեկտորների ընտրության մեջ այլ տարրերակ

Նկ. 5-ում պատկերված են տարրական խորանարդը և տարրական քայլը հիմնական վեկտորների (3.3) և (3.8) բանաձևերով ներկայացված դեպքում:

Համոզվենք, որ (3.3) և (3.8) բանաձևերով որոշվող հիմնական վեկտորների միջև կայտն ունեն ամրող α_{ik} և β_{ik} գործակիցներ, որոնցից կազմված մատրիցների որոշիչները հավասար են 1-ի:

Եթե (3.3) և (3.8) բանաձևերից արտաքսենք a_1 , a_2 և a_3 վեկտորները, կստանանք՝

$$c'_1 = c_2 + c_3, \quad c'_2 = c_1 + c_3, \quad c'_3 = c_1 + c_2 + c_3 : \quad (3.9)$$

(3.9) արտահայտությունները ներկայացնելով (2.1) տեսքով՝ ճնափոխության α_{ik} գործակիցների և $\|\alpha_{ik}\|$ մատրիցի որոշիչի համար կստանանք՝

$$\begin{aligned} \alpha_{11} &= 0, & \alpha_{12} &= 1, & \alpha_{13} &= 1, \\ \alpha_{21} &= 1, & \alpha_{22} &= 0, & \alpha_{23} &= 1, \\ \alpha_{31} &= 1, & \alpha_{32} &= 1, & \alpha_{33} &= 1, \end{aligned} \quad \det \alpha_{ik} = \begin{vmatrix} 0 & 1 & 1 \\ 1 & 0 & 1 \\ 1 & 1 & 1 \end{vmatrix} = 1 : \quad (3.10)$$

Եթե c_1 , c_2 և c_3 վեկտորներն արտահայտենք c'_1 , c'_2 և c'_3 վեկտորներով՝

$$c_1 = -c'_1 + c'_3, \quad c_2 = -c'_2 + c'_3, \quad c_3 = c'_1 + c'_2 - c'_3, \quad (3.11)$$

ապա (2.2) բանաձևում ճնափոխության β_{ik} գործակիցների և $\|\beta_{ik}\|$ մատրիցի որոշիչի համար կստանանք՝

$$\begin{aligned} \beta_{11} &= -1, & \beta_{12} &= 0, & \beta_{13} &= 1, \\ \beta_{21} &= 0, & \beta_{22} &= -1, & \beta_{23} &= 1, \\ \beta_{31} &= 1, & \beta_{32} &= 1, & \beta_{33} &= -1, \end{aligned} \quad \det \beta_{ik} = \begin{vmatrix} -1 & 0 & 1 \\ 0 & -1 & 1 \\ 1 & 1 & -1 \end{vmatrix} = 1: \quad (3.12)$$

Որոշենք (3.3) և (3.8) բանաձևերով տրվող հիմնական վեկտորներով կառուցված տարրական բջիջների ծավալները: (2.6) բանաձևի համաձայն՝

$$v_0 = (\mathbf{c}_1[\mathbf{c}_2, \mathbf{c}_3]) = \begin{vmatrix} c_{1x} & c_{1y} & c_{1z} \\ c_{2x} & c_{2y} & c_{2z} \\ c_{3x} & c_{3y} & c_{3z} \end{vmatrix} = \begin{vmatrix} -\frac{a}{2} & \frac{a}{2} & \frac{a}{2} \\ \frac{a}{2} & -\frac{a}{2} & \frac{a}{2} \\ \frac{a}{2} & \frac{a}{2} & -\frac{a}{2} \end{vmatrix} = \frac{a^3}{2}: \quad (3.13)$$

Նույն ձևով կստանանք, որ

$$v'_0 = (\mathbf{c}'_1[\mathbf{c}'_2, \mathbf{c}'_3]) = \begin{vmatrix} a & 0 & 0 \\ 0 & a & 0 \\ \frac{a}{2} & \frac{a}{2} & \frac{a}{2} \end{vmatrix} = \frac{a^3}{2} = v_0: \quad (3.14)$$

Այս օրինակով համոզվեցինք, որ տարրական բջիջ ծավալը կախված չէ հիմնական վեկտորների ընտրությունից: Եթե տարրական խորանարդում կա երկու հանգույց, ապա տարրական բջիջն բաժին է ընկնում մեկ հանգույց: Այսպիսով՝ ծավալակենտրոն խորանարդային ցանցը պարզ ցանց է:

3.3. Նխոտակենտրոն խորանարդային (ՆԿԽ) ցանց

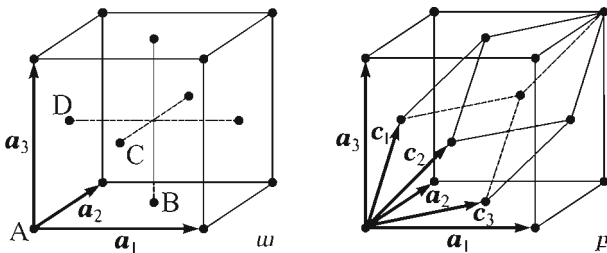
Այս ցանցն ստանալու համար պարզ խորանարդային ցանցի յուրաքանչյուր նիստի կենտրոնում տեղադրենք մեկ հանգույց: Ցանցի տարրական խորանարդը պարունակում է 4 հանգույց ($6 \times 1/2 = 3$ հանգույց՝ ի հաշիվ նիստերի և $8 \times 1/8 = 1$ հանգույց՝ ի հաշիվ գագաթների) և ունի a^3 ծավալ (նկ. 6. ա):

Նշանակենք \mathbf{l}_A -ով, \mathbf{l}_B -ով, \mathbf{l}_C -ով և \mathbf{l}_D -ով համապատասխանարար խորանարդի գագաթներում և նիստերի կենտրոններում տեղադրված հանգույցների դիրքերը որոշող վեկտորները՝

$$\begin{aligned}
 \mathbf{l}_A &= l_1 \mathbf{a}_1 + l_2 \mathbf{a}_2 + l_3 \mathbf{a}_3, \\
 \mathbf{l}_B &= \left(l_1 + \frac{1}{2} \right) \mathbf{a}_1 + \left(l_2 + \frac{1}{2} \right) \mathbf{a}_2 + l_3 \mathbf{a}_3 = \mathbf{l}_A + \frac{\mathbf{a}_1 + \mathbf{a}_2}{2}, \\
 \mathbf{l}_C &= \left(l_1 + \frac{1}{2} \right) \mathbf{a}_1 + l_2 \mathbf{a}_2 + \left(l_3 + \frac{1}{2} \right) \mathbf{a}_3 = \mathbf{l}_A + \frac{\mathbf{a}_1 + \mathbf{a}_3}{2}, \\
 \mathbf{l}_D &= l_1 \mathbf{a}_1 + \left(l_2 + \frac{1}{2} \right) \mathbf{a}_2 + \left(l_3 + \frac{1}{2} \right) \mathbf{a}_3 = \mathbf{l}_A + \frac{\mathbf{a}_2 + \mathbf{a}_3}{2}.
 \end{aligned} \tag{3.15}$$

Այժմ ներմուծենք նոր հիմնական վեկտորներ, որոնք $\mathbf{a}_1, \mathbf{a}_2, \mathbf{a}_3$ վեկտորների հետ կապված են հետևյալ կերպ՝ (նկ. 6. ը)

$$\mathbf{c}_1 = \frac{1}{2}(\mathbf{a}_2 + \mathbf{a}_3), \quad \mathbf{c}_2 = \frac{1}{2}(\mathbf{a}_3 + \mathbf{a}_1), \quad \mathbf{c}_3 = \frac{1}{2}(\mathbf{a}_1 + \mathbf{a}_2): \tag{3.16}$$



Նկ. 6. Նիստակեմտրոն ցանց.
ա. տարրական խորանարդ, բ. տարրական քզիզը

Դժվար չէ համոզվել, որ $\mathbf{c}_1, \mathbf{c}_2, \mathbf{c}_3$ հիմնական վեկտորներով արտահայտված $\mathbf{l}_A, \mathbf{l}_B, \mathbf{l}_C$ և \mathbf{l}_D վեկտորները կարելի է ներկայացնել միասնական տեսքով՝

$$\mathbf{l} = n_1 \mathbf{c}_1 + n_2 \mathbf{c}_2 + n_3 \mathbf{c}_3, \tag{3.17}$$

որտեղ n_1 -ը, n_2 -ը և n_3 -ը կամայական ամբողջ թվեր են:

Ներմուծենք $(n_1, n_k) n_j$ նշանակումը, որտեղ փակագծերում գրված թվերն ունեն նույն զույգությունը, իսկ փակագծերից դուրս գրվածները՝ հակառակ զույգությունը: Այդ դեպքում (3.17) բանաձևը ներկայացնում է \mathbf{l}_A վեկտորը, եթե (n_1, n_2, n_3) , \mathbf{l}_B վեկտորը, եթե $(n_1, n_2) n_3$, \mathbf{l}_C վեկտորը, եթե $(n_1, n_3) n_2$, և \mathbf{l}_D վեկտորը, եթե $(n_2, n_3) n_1$:

Օգտվելով (3.16) բանաձևերից՝ հաշվենք նոր հիմնական վեկտորներով կազմված տարրական բջջի ծավալը.

$$\mathbf{v}'_0 = (\mathbf{c}_1[\mathbf{c}_2, \mathbf{c}_3]) = \frac{a^3}{8} \begin{vmatrix} 0 & 1 & 1 \\ 1 & 0 & 1 \\ 1 & 1 & 0 \end{vmatrix} = \frac{a^3}{4}, \quad (3.18)$$

որը չորս անգամ փոքր է տարրական խորանարդի ծավալից:

Այսպիսով՝ տարրական բջջին բաժին է ընկնում մեկ հանգույց, հետևաբար՝ նիստակենարդուն խորանարդային ցանցը պարզ ցանց է:

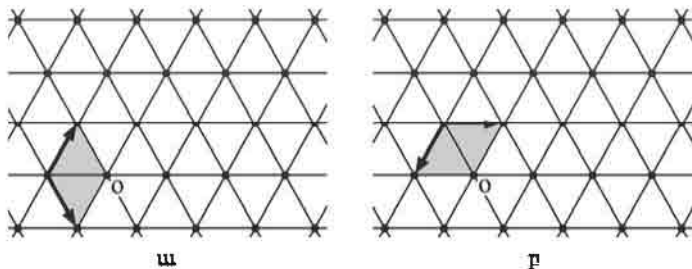
Պարզ և բարդ ցանցերի միջև առաջին հայացքից ձևական թվացող տարրերությունն իրականում հանգեցնում է բյուրեղների ֆիզիկական հատկությունների էական որակական տարրերությունների: Մասնավորապես, բարդ ցանցի տատանումների սպեկտրն ունի օպտիկական ճյուղեր, որոնցից զուրկ է պարզ ցանցի տատանումների սպեկտրը (տես գլուխ III):

§4. Վիզուալ-Զեյտցի բջիջ

Բացի տեղափոխական համաչափությունից՝ տարածական ցանցն օժտված է համաչափության նաև այլ տարրերով, որոնց կիրառման դեպքում ցանցը համընկնում է ինքն իր հետ: Դրանց թվին են պատկանում համաչափության առանցքների շուրջ պտույտները և համաչափության հարքություններում անդրադարձումները: Բոլոր պտույտների և անդրադարձումների համախումքը կազմում է տարածական ցանցի կետային ձևափոխությունների խումբը:

Տարրական բջիջն իր մեջ պարունակում է բյուրեղի տեղափոխական համաչափության բոլոր տարրերը: Ունենալով տարրական բջիջ՝ կարելի է տարածության մեջ նրա կրկնությամբ կառուցել ամբողջ բյուրեղը, սակայն որպես երկրաչափական մարմին այն օժտված չէ ցանցի կետային ձևափոխությունների խմբին պատկանող համաչափության տարրերով:

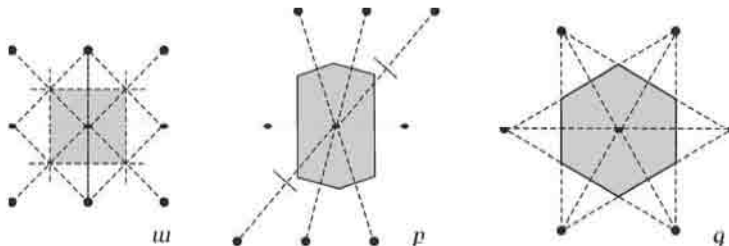
Օրինակ՝ նկ. 7-ում պատկերված երկչափ վեցանկյուն (հեքսագոնալ) ցանցն ունի 6-րդ կարգի համաչափության առանցք, այսինքն՝ ցանցը որևէ հանգույցով անցնող և հարքությանն ուղղահայաց առանցքի շուրջը 60° -ով պտտելիս համընկնում է իր հետ, իսկ այդ ցանցի տարրական բջիջը (ընդգծված շեղանկյունը) չունի այդպիսի առանցք:



Նկ. 7. Երկշափ վեցանկյուն ցանց. а. մինչև պատյառ,
բ. օկտող անցնալ առանցքի շուրջը 60°-ով պատելուց հետո

Սակայն պարզ ցանցում միշտ կարելի է ընտրել այնպիսի տարրական թիզի, որն իր մեջ պարունակի ցանցի համաշափության առանցքների և հարթությունների մասին ամբողջ տեղեկատվությունը: Այդպիսի թիզի կառուցելու համար որևէ հանգույցից, որն ընարկում է որպես կենտրոն, տամներ ճառագայթ դեպի ամենամոտ հարթան հանգույցը, խև հետո ճառագայթի միջնակետով տանենք այդ ճառագայթին ուղղահայաց հարթություն: Այնուհետև նոյն գործողությունը կատարենք մնացած հարթան հանգույցների հետ: Ստացված հարթությունների համախումբը որպես կենտրոն ընտրված հանգույցի շուրջը կառանձնացնի տարածության որոշակի արդույք, որը կոչվում է համաշափ թիզի կամ Վիզմեր-Զեյտցի թիզի:

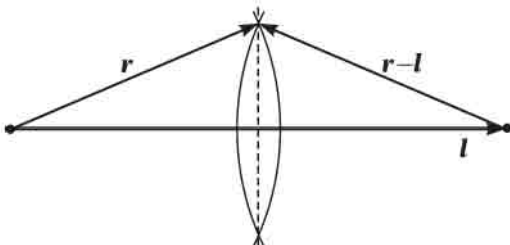
Ըստ կառուցման՝ Վիզմեր-Զեյտցի թիզին այն բոլոր կետերի հաճախումը է, որոնք ավելի մոտ են ընտրված կենտրոն-հանգույցին, քան մնացած հանգույցներին: Նկ. 8-ում պատկերված են մի քանի երկշափ ցանցերի Վիզմեր-Զեյտցի թիզները:



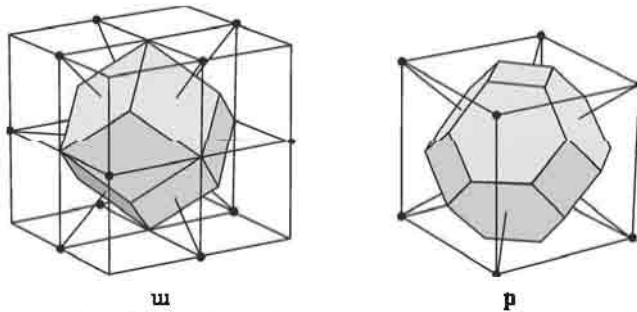
Նկ. 8. Մի քանի երկշափ ցանցերի Վիզմեր-Զեյտցի թիզները.
ա. քառակուսային ցանց, բ. շեղանկյուն ցանց, ց. վեցանկյուն ցանց

Ի տարրերություն ցանցի տարրական բջջի՝ Վիզմեր-Զեյտցի բջիջը նուշտակ ցանցուն ընդհանուր դեպքում գուգահեռանիստ չէ, այլ բազմանիստ, որի կենտրոնում հանգույցն է: Սակայն ամենակարևորն այն է, որ Վիզմեր-Զեյտցի բջիջը որպես երկրաչափական նարմին օժոված է ցանցի կետային ձևափոխությունների խմբի համաշխատթյան բարք տարրերով:

Վիզմեր-Զեյտցի բջջի յուրաքանչյուր նիստի հարթություն որոշվում է $|r| = |r - l|$ հավասարումով, որտեղ r -ը նիստի հարթության որևէ կետի շառավիղ-վեկտորն է բջջի կենտրոնի նկատմանք, l -ը՝ մոտակա հանգույցի դիրքը որոշող վեկտորը (նկ. 9): Տրված հավասարումից հետևում է, որ նիստի հարթությունը որոշվում է երկու հարկեան կետերում տեղադրված կենտրոններով և հավասար շառավիղներով գնդերի հատումով:



Նկ. 9. Վիզմեր-Զեյտցի բջջի մի նիստի կառուցումը



Նկ. 10. ա. Նիստակենտրոն, բ. ծավալակենտրոն խորանարդային ցանցերի Վիզմեր-Զեյտցի բջիջները

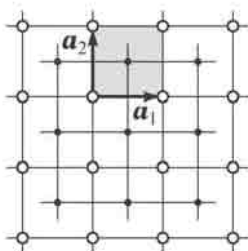
Նկ. 10. ա-ում պատկերված է նիստակենտրոն խորանարդային ցանցի Վիզմեր-Զեյտցի բջիջը, որն իրենից ներկայացնում է շեղանկյուն տասներկուսանիստ (դաբեկալեռ), իսկ Նկ. 10. բ-ում՝ ծավալակենտրոն խորանարդային ցանցինը, որը տասնշորսանիստ է («հատված ուրանիստ»):

§5. Բրավեի ցանց: Բյուրեղային համակարգեր

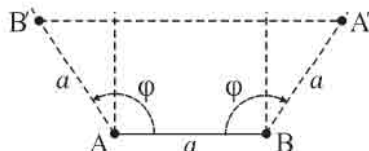
Բրավեի ցանց անվանում են բյուրեղի բաղր իրար համարժեք հանգույցների համախտմբը, որը տրվում է (1.1) արտահայտությամբ: Պարզ ցանցի Բրավեի ցանցը հենց նրա տարածական ցանցն է: Բարդ ցանցը բաղկացած է իրար մեջ ներդրված Բրավեի ցանցերից, ընդ որում բաղր ցանցերը, որոնցից բաղկացած է բարդ ցանցը, երկրաչափորեն նույնական են (Ըկ. 11):

Բրավեի ցանցերի դասակարգումը կատարվում է ըստ կետային խճի համաշափության տարրերի, ուստի ուստիմնախիթենք Բրավեի ցանցերի համաշափության բոլոր հնարավոր տեսակները:

Նախ պարզենք, թե համաշափության ինչպիսի առանցքներ կարող է ունենալ Բրավեի ցանցը:



Նկ. 11. Բարդ ցանցը որպես երկու պարզ պարզ ցանցերի համադրում



Նկ. 12. Բրավեի ցանցի պոտական համաշափության առանցքների պրօցումը

Դիցոր՝ A-ն Բրավեի ցանցի որևէ հանգույց է, որով անցնում է նկ. 12-ի հարթության ուղղահայաց համաշափության առանցքը: Եթե Ա-ն նույնպես ցանցի հանգույց է, որն Ա հանգույցից հետու է տեղափոխման որևէ վեկտորի շափով, ապա նրանով նույնպես կանցնի համաշափության առանցքը:

Ցանցը φ անկյունով պտտվենք A հանգույցով անցնող առանցքի շորով: Ե կեար կգրավի նոր՝ B' դիրքը: Նման ձևով պտտյալ Բ հանգույցով անցնող առանցքի շորով կրերի A հանգույցի նոր՝ A' դիրքի (նկ. 12): Ըստ ենթադրության՝ A' և B' հանգույցները պատկանում են Բրավեի նույն ցանցին,

հետևաբար՝ դրանք կարելի է համընկեցնել գուգահեռ տեղափոխությամբ:
Նկ. 12-ից հետևում է, որ

$$B'A' = ap = AB + 2a \sin\left(\phi - \frac{\pi}{2}\right), \quad (5.1)$$

որտեղ p -ն ամբողջ թիվ է: (5.1) արտահայտությունից հետևում է, որ

$$2 \cos \phi = 1 - p : \quad (5.2)$$

Քանի որ $|\cos \phi| \leq 1$, ապա p -ն կարող է լնդունել միայն հետևյալ արժեքները՝ $p = 0$ ($\phi = 60^\circ$), $p = 1$ ($\phi = 90^\circ$), $p = 2$ ($\phi = 120^\circ$) և $p = 3$ ($\phi = 180^\circ$):

Եթե ϕ անկյունը ներկայացնենք

$$\phi = \frac{2\pi}{n} \quad (5.3)$$

տեսքով, ապա n -ի համար կստանանք հետևյալ արժեքները՝ $n = 6, 4, 3, 2$:
Այսպիսով՝ Բրավեի ցանցն ունի միայն 2-րդ, 3-րդ, 4-րդ և 6-րդ կարգի համաշափության (պտտական) առանցքներ:

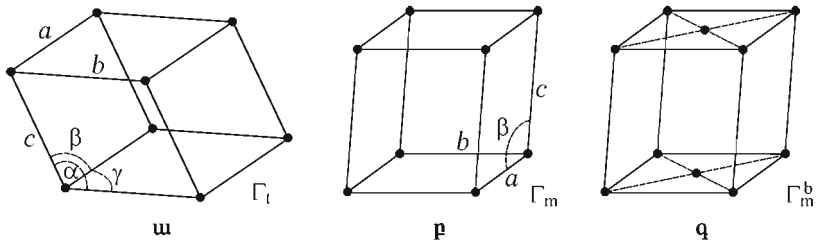
Այժմ ուսումնասիլենք Բրավեի ցանցի համաշափության հնարավոր տեսակները պատույտների և անդադարձումների նկատմամբ: Համաշափության այս տեսակների համախումբը կրում է բյուրեղային համակարգ (սինգոնիա) անվանումը: Բյուրեղային համակարգը որոշակի առանցքների և համաշափության հարթությունների համախումբ է, այսինքն՝ կետային խմբերից մեկն է: Բրավեի ցանցի յուրաքանչյուր հանգույց նրա համաշափության (ինվերսիայի) կենտրոնն է: Եթե համաշափության կենտրոնը Բրավեի ցանցի համաշափության միակ տարրն է (տեղափոխություններից բացի), տարրերում են համաշափության հետևյալ համակարգերը.

1. Եռաբեր (արիկինային) համակարգ (նկ. 13. ա)

Այս համակարգի համաշափությունն ամենացածրն է: Բրավեի ցանցի հանգույցները տեղադրված են կամայական կողմերով ($a \neq b \neq c$) և կամայական անկյուններով ($\alpha \neq \beta \neq \gamma$) գուգահեռանիստի զագաքներում: Եռաբեր համակարգի Բրավեի ցանցը նշանակում են Γ_t -ով:

2. Միաբեր (մոնոլիթնային) համակարգ (նկ. 13. բ, գ)

Այս համակարգի համաշափությունն ունի կամայական հիմքով ուղիղ գուգահեռանիստը ($a \neq b \neq c$, $\alpha = \gamma = 90^\circ$, $\beta \neq 90^\circ$): Բրավեի ցանցն իրականացվում է երկու եղանակով.



Նկ. 13. α. Եռաբեր, β, γ. միաբեր համակարգերին պատկանող ցանցերը

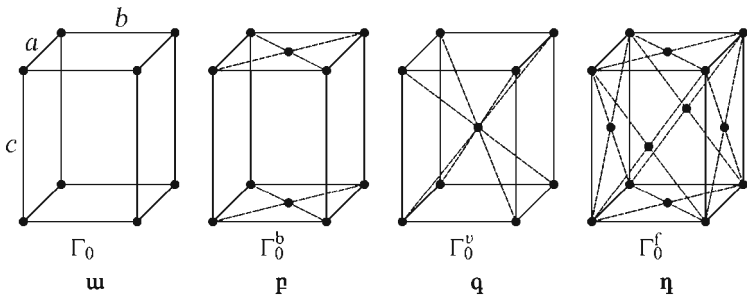
ա. Բրավեի պարզ միաբեր ցանց (Γ_m), որի հանգույցները տեղադրված են ուղղանկյուն նիստերի գագաթներում,

բ. նիստակենտրոն միաբեր ցանց (Γ_m^b), որի հանգույցները տեղադրված են նաև զուգահեռանիստի (ab) հանդիպակաց ուղղանկյուն նիստերի կենտրոններում:

3. Ուղղանկյուն (ռոմբակած) համակարգ (նկ. 14)

Բնորոշվում է կամայական կողմերով ($a \neq b \neq c$) և ուղղանկյուն ($\alpha = \beta = \gamma = 90^\circ$) զուգահեռանիստի համաչափությամբ:

Այս համակարգին են պատկանում չորս տիպի Բրավեի ցանցեր.



Նկ. 14. Ուղղանկյուն համակարգին պատկանող ցանցերը

ա) պարզ ուղղանկյուն ցանց (Γ_0), որի հանգույցները տեղադրված են ուղղանկյուն զուգահեռանիստի գագաթներում,

բ) հիմնակենտրոն ցանց (Γ_0^b), որի հանգույցները տեղադրված են նաև երկու հանդիպակաց նիստերի (հիմքերի) կենտրոններում,

գ) ծավալակենտրոն ցանց (Γ_0^v), որի հանգույցները տեղադրված են զուգահեռանիստի գագաթներում և կենտրոններում,

դ) նիստակենտրոն ցանց (Γ_0^f) , որի հանգույցները տեղադրված են զուգահեռանիստի գագաթներում և բոլոր նիստերի կենտրոններում:

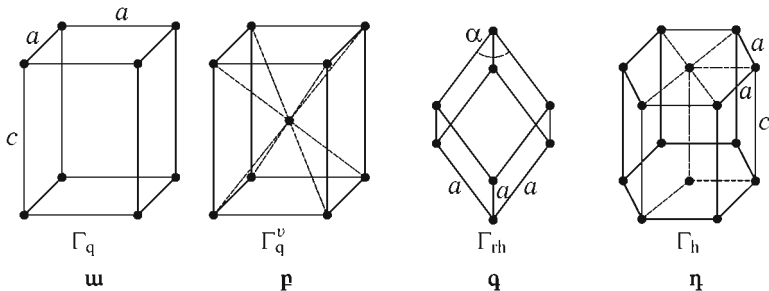
4. Քառանկյուն (սետրագոնայ) համակարգ (նկ. 15. ա, բ)

Բնորոշվում է քառակուսային հիմքով ուղղանկյուն զուգահեռանիստի համաչափությամբ ($a = b \neq c$, $\alpha = \beta = \gamma = 90^\circ$):

Բրավեի ցանցն իրականացվում է երկու ձևով.

ա. պարզ քառանկյուն ցանց (Γ_q) , երբ հանգույցները տեղադրված են զուգահեռանիստի գագաթներում,

բ. ծավալակենտրոն ցանց (Γ_q^v) , երբ հանգույցները տեղադրված են նաև զուգահեռանիստի կենտրոնում:



Նկ. 15. ա, բ. Քառանկյուն, գ, դ. Եռանկյուն համակարգերին պատկանող ցանցերը

5. Եռանկյուն (ռոմբոէդրական կամ տրիգոնայ) համակարգ (նկ. 15. գ, դ)

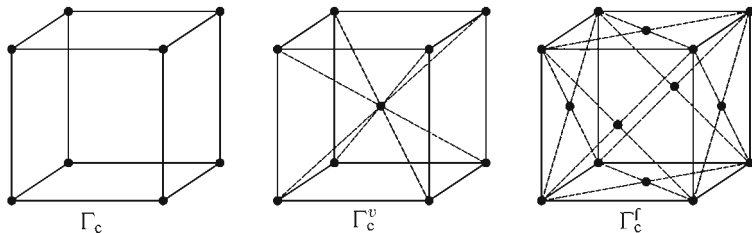
Բնորոշվում է շեղանկյունանիստի (տարածական անկյունագծի ուղղությամբ ճգված կամ սեղմված խորանարդի) համաչափությամբ ($a = b = c$, $\alpha = \beta = \gamma \neq 90^\circ$): Բրավեի ցանցը (Γ_{rh}) իրականացվում է միակ ձևով՝ հանգույցները տեղադրվում են շեղանկյունանիստի գագաթներում:

6. Վեցանկյուն (հեքսագոնայ) համակարգ (նկ. 15. դ)

Բնորոշվում է կանոնավոր վեցանկյուն պրիզմայի համաչափությամբ: Բրավեի ցանցը (Γ_h) իրականացվում է միակ ձևով՝ նրա հանգույցները տեղադրվում են վեցանկյուն պրիզմայի գագաթներում և վեցանկյուն հիմքերի կենտրոններում:

7. Խորանարդային համակարգ (նկ. 16)

Այս համակարգը բնորոշվում է խորանարդի համաչափությամբ և ունի երեք տիպի Բրավեի ցանցեր՝ պարզ (Γ_c), ծավալակենտրոն (Γ_c^v) և նիստակենտրոն (Γ_c^f):



Նկ. 16. Խորանարդային համակարգին պատկանող ցանցերը

Այսպիսով՝ գոյություն ունեն յոր տարբեր կետային խմբեր, որոնք կարող են ունենալ Բրավեի ցանցը: Նկատի ունենալով յուրաքանչյուր բյուրեղային համակարգում Բրավեի հնարավոր ցանցերի թիվը (1 եռարեք, 2 միարեք, 4 ուղանկյուն, 2 քառանկյուն, 1 եռանկյուն, 1 վեցանկյուն և 3 խորանարդային), կստանանք Բրավեի ցանցերի լրիվ թիվը՝ 14: Բրավեի ցանցերը կազմում են համաչափության լրիվ տարածական խումբ, որը պարունակում է տարածական ցանցի ինչպես կետային, այնպես էլ տեղափոխական համաչափության բոլոր տարբերը:

Ուստինասիրված 7 բյուրեղային համակարգերը և Բրավեի 14 ցանցերը համապատասխանում են այն դեպքին, երբ ցանցի բազիսն օժնված է առավելագույն՝ գնդային համաչափությամբ (Բրավեի ցանցի հանգույցներում տեղադրված են գնդեր): Կամայական բյուրեղային կառուցվածքի համաչափության խումբը կախված է ինչպես բազիսի, այնպես էլ Բրավեի ցանցի համաչափությունից: Համաձայն Ե. Ֆյոդորովի՝ գոյություն ունեն բազիսով ցանցերի 230 տարբեր համաչափության խմբեր՝ 230 տարածական խմբեր, որոնք բաշխված են 32 բյուրեղագրական կետային խմբերի (դասերի) միջև: 32 բյուրեղագրական կետային խմբերը կարելի է ստանալ 7 բյուրեղային համակարգերից՝ քննարկելով Բրավեի ցանցի համաչափության նվազեցման բոլոր հնարավոր եղանակները: Աղյուսակ 1-ում ներկայացված են Բրավեի ցանցերի և բյուրեղային կառուցվածքների բյուրեղագրական կետային և տարածական խմբերը:

**Բրավեի ցանցերի և բյուրեղայիմ կառուցվածքների
կետային և տարածական խմբերը**

	Բրավեի ցանց (գնդային համաշափոթյամբ բազիս)	Բյուրեղային կառուցվածք (կամայական համաշափոթյամբ բազիս)
Կետային խմբերի թիվը	7 բյուրեղային համակարգեր	32 բյուրեղագրական կետային խմբեր
Տարածական խմբերի թիվը	14 Բրավեի ցանցեր	230 բյուրեղագրական տարածական խմբեր

Բյուրեղագրական կետային խումբը, որը բյուրեղի համաշափոթյան առանցքների և հարքությունների համախումբն է և կապված չէ տեղափոխությունների հետ, որոշում է բյուրեղում ֆիզիկական համարժեք ուղղությունները և դրանով իսկ անհզուրող հոծ միջավայրի մակրոսկոպական համաշափոթյունը: Այս համաշափոթյամբ որոշվում են այնպիսի ֆիզիկական երևույթներ, ինչպիսիք են, օրինակ, լույսի տարածումը բյուրեղում, բյուրեղի ջերմային ընդարձակումը, ինչպես նաև բյուրեղների այլ ֆիզիկական հատկությունները:

§6. Կարևոր բյուրեղային կառուցվածքներ

Ծանոթանանք մի քանի տարածված բյուրեղային կառուցվածքների, որոնք մեծ հետաքրքրություն են ներկայացնում ինչպես փորձարարական, այնպես էլ տեսական հետազոտությունների տեսանկյունից:

6.1. Պարզագույն բյուրեղային կառուցվածքների՝ պարզ, ծավալակենորոն և նիստակենտրոն խորանարդային ցանցերի հետ ծանոթացել ենք §3-ում: Հարկ է ավելացնել, որ նորմալ պայմաններում միատարր նյութերից պարզ խորանարդային կառուցվածք ունի միայն ալֆա-պոլոնիումի (α-Po) բյուրեղը: Ծավալակենտրոն և նիստակենտրոն խորանարդային կառուցվածքով միատարր բյուրեղները ներկայացված են համապատասխանարար Աղյուսակ 2-ում և Աղյուսակ 3-ում:

Ինչպես երևում է ներկայացված տվյալներից, մաքուր մետաղների բյուրեղների մեծ մասը պատկանում է խորանարդային համակարգին:

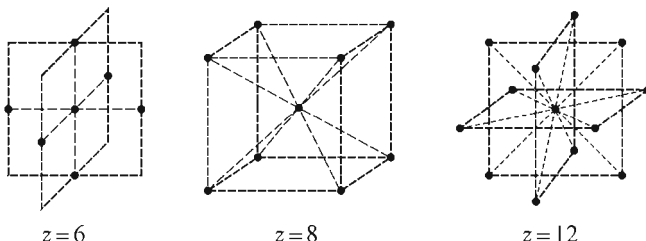
Աղյուսակ 2.
ԾԿԽ կառուցվածքով միատարր բյուրեղներ

Տարր	a , Å	Տարր	a , Å	Տարր	a , Å
Ba	5,02	Li	3,49 (78 Կ)	Ta	3,31
Cr	2,88	Mo	3,15	V	3,02
Cs	6,05 (78 Կ)	Na	4,23	W	3,16
K	5,23 (5 Կ)	Nb	3,30	Fe	2,87

Աղյուսակ 3.
ՆԿԽ կառուցվածքով միատարր բյուրեղներ

Տարր	a , Å	Տարր	a , Å	Տարր	a , Å
Ar	5,26 (4,2 Կ)	Ir	3,84	Pt	3,92
Ag	4,09	Kr	5,72 (58 Կ)	δ-Pu	4,64
Al	4,05	La	5,30	Rh	3,80
Au	4,08	Ne	4,43 (4,2 Կ)	Sc	4,54
Ca	5,58	Ni	3,52	Sr	6,08
Ce	5,16	Pb	4,95	Th	5,08
β-Co	3,55	Pd	3,89	Xe	6,20
Cu	3,61	Pr	5,16	Yb	5,49

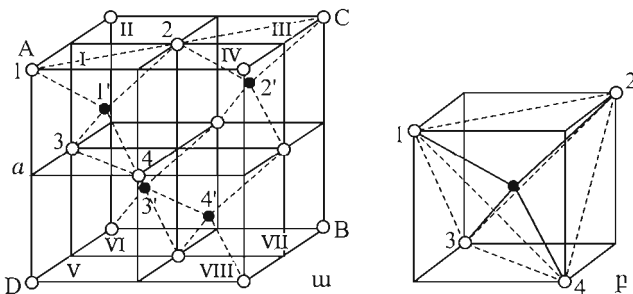
Բյուրեղային ցանցի կարևոր բնութագիր է կոօրդինացիոն թիվը՝ տվյալ հաճգույցին ամենամոտ հարևանների (հաճգույցների) թիվը, որը սովորաբար նշանակում են z -ով: Պարզ ցանցում $z=3$ միևնույնին է ցանցի բոլոր հաճգույցների համար: Պարզ խորանարդային ցանցում $z=6$, և կոօրդինացիոն խմբի ատոմների հետափորությունը տվյալ հաճգույցից՝ $d=a$, որտեղ a -ն ցանցի հաստատումն է (խորանարդի կողը): Ծավալակենտրոն ցանցում $z=8$, $d=a\sqrt{3}/2$, իսկ նիստակենտրոն ցանցում՝ $z=12$, $d=a\sqrt{2}/2$ (նկ. 17):



Նկ. 17. Խորանարդային պարզ, ծավալակենտրոն և նիստակենտրոն ցանցերի կոօրդինացիոն թվերը

6.2. Ալմաստի կառուցվածք

Ալմաստի ցանցը կարելի է ներկայացնել որպես իրար նկատմամբ խորանարդի տարածական անկյունազգի մեկ քառորդի չափով շեղված երկու նիստակենտրոն խորանարդային ցանցերի վերադրման արդյունք (նկ. 18):



Նկ. 18. ա. Ալմաստի կառուցվածք, բ. կապերի քառանիստ դասավորությունը

Իրոք, եթե լուսավոր գնդիկներով նիստակենտրոն ցանցը AB անկյունազգով տեղաշարժենք $AB/4$ -ով, ապա 1 ատոմը կզբաղեցնի 1' ատոմի տեղը, 2 ատոմը՝ 2'-ի, 3-ը՝ 3'-ի և 4-ը՝ 4'-ի տեղը: Քանի որ նիստակենտրոն խորանարդային ցանցը քրավելի տիպի ցանց է, ապա ալմաստի ցանցում կարելի է ընտրել տարրական քիզ, որը պարունակում է երկու ատոմ (քազիսը կազմող ատոմների կորդինատներն են՝ 000 և $a/4, a/4, a/4$): Յուրաքանչյուր ատոմունի 4 ամենամոտ հարևաններ ($z = 4$) կապերի քառանիստային դասավորությամբ (նկ. 18. բ.):

Նկ. 18. ա-ում պատկերված խորանարդային քիզը բաղկացած է 18 ատոմներից, որոնց դասավորությունը պատկերացնելու համար նիստակենտրոն խորանարդը բաժանված է ութ միատեսակ խորանարդների (նկ. 18. ա, I-VIII):

Առողջներ դնելով I, III (վերին շերտ) և VI, VIII (ներքին շերտ) խորանարդների կենտրոններում՝ կստանանք նկ. 18. բ-ում պատկերված քառանիստը պարունակող չորս խորանարդները, իսկ I և III խորանարդների տակ տեղադրելով V և VII «դատարկ» խորանարդներ՝ կստանանք նկ. 18 ա.-ում պատկերված ալմաստի կառուցվածքը: Հաշվենք խորանարդում հանգույցների թիվը՝ $8 \times (1/8) + 6 \times (1/2) + 4 = 8$: Նկ. 18. ա-ում պատկերված խորանարդն օժտված չէ խորանարդի համաչափության բոլոր տարրերով: Օրինակ՝ ուղ-

դաձից առանցքի շուրջը 90° -ով պտտելիս հանգույցներն իրար հետ չեն համընկնում: Այսուհետեւ, իր մակրոսկոպական հատկություններով ալմաստի բյուրեղն օժտված է խորանարդային համաշափությամբ: Ալմաստի կառուցվածքով բյուրեղացող տարրերը ներկայացված են Աղյուսակ 4-ում:

Աղյուսակ 4.
Ալմաստի կառուցվածքով միասարր բյուրեղներ

Տարր	Խորանարդի կողը, Å
C (ալմաստ)	3,57
Si	5,43
Ge	5,66
α -Sn (գորշ անագ)	6,49

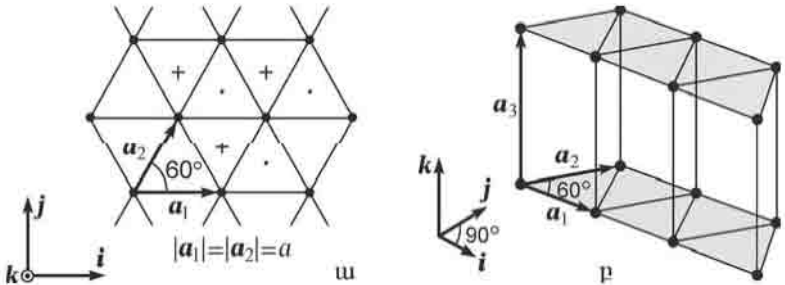
6.3. Վեցանկյուն խիտ դարսվածքով կառուցվածք

Վեցանկյուն խիտ դարսվածքով (Վե՛Ն) կառուցվածքի հիմքում ընկած է Բրավեի պարզ վեցանկյուն ցանցը, որն ստացվում է հարք (երկչափ) եռանկյունային ցանցերն իրար վրա դարսելու միջոցով: Դարսման ուղղությունն անվանում են *c*-առանցք: Հիմնական վեկտորների եռյակը հետևյալն է՝ (նկ. 19. ա)

$$\mathbf{a}_1 = a \mathbf{i}, \quad \mathbf{a}_2 = \frac{a}{2} \mathbf{i} + \frac{\sqrt{3}a}{2} \mathbf{j}, \quad \mathbf{a}_3 = c \mathbf{k}, \quad (6.1)$$

որտեղ \mathbf{i} -ն, \mathbf{j} -ն և \mathbf{k} -ն միավոր վեկտորներ են ուղղանկյուն կորդինատային համակարգում: \mathbf{a}_1 և \mathbf{a}_2 վեկտորները ծնուն են եռանկյուն ցանց *xy* հարքության մեջ, իսկ \mathbf{a}_3 -ը «գարսում» է ցանցը ցանցի վրա *c* հեռավորությամբ:

Վեցանկյուն խիտ դարսվածքը կազմված է երկու պարզ վեցանկյուն ցանցերից, որոնք իրար նկատմամբ տեղաշարժված են $\mathbf{d} \equiv (\mathbf{a}_1 + \mathbf{a}_2)/3 + \mathbf{a}_3/2$ վեկտորով (նկ. 20): Նման կառուցվածք կարելի է ստեղծել *a* տրամագծով կոչտ գնդերի խիտ դարսվածքի օգնությամբ հետևյալ ձևով. գնդերի առաջին շերտը դարսվում է եռանկյուն խիտ դարսվածքով, երկրորդ շերտի գնդերը դարսվում են առաջին շերտի գնդերով կազմված եռանկյունների կենտրոններում (նկ. 19. ա, փոքր կետերը): Երկրորդ շերտն առաջին շերտի նկատմամբ շեղվում է $|\mathbf{a}_1 + \mathbf{a}_2|/3 = a/\sqrt{3}$ չափով:



Նկ. 19. Վեցանկյուն պարզ ցանց.
ա. հիմքի հարթությունը, բ. տարրական բջիջը

Եթրորդ շերտը կազմում են՝ գնդերը տեղադրելով երկրորդ շերտի վտակների մեջ այնպես, որ դրանք լինեն եննոց առաջին շերտի գնդերի կենտրոնների վրա: Չորրորդ շերտը դարձվում է երկրորդ շերտի նման և այլն: Այս ձևով ստացվում է վեցանկյուն խիտ դարսվածքով ցանց $|a_3| = c$ -ի խիտ որոշակի արժեքով՝

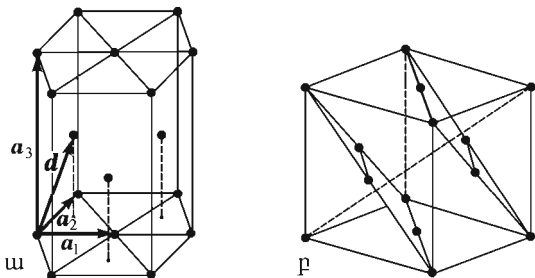
$$c = \sqrt{\frac{8}{3}} a \approx 1,633a: \quad (6.2)$$

Եթե բյուրեղային կառուցվածքը կազմում միավորները տարրերվում են կոչտ գնդերից, ապա c/a հարաբերությունը կարող է տարրերված լիր ($8/3$) $^{1/2}$ «փուլալկան» արժեքից:

Ինչպես և ալմաստի ցանցը, վեցանկյուն խիտ դարսվածքով ցանցը բրավելի ցանց չէ, քանի որ c -ստանցքով շերտից շերտ անցնելիս վտակները կանգույցի շրջապատի կողմնորոշումը:

Հնարավոր են կոչտ գնդերի խիտ դարսվածքի բազմաթիվ այլ եղանակներ: Օրինակ, եթե գնդերի III շերտը դասավորենք այնպիս, որ գնդերը տեղակայվեն և I, և II շերտերում «չօգտագործված» վտակների վրա ընկած վտակներում, որոնց նկ. 19. ա-ում համապատասխանում են + նշանները, ապա IV շերտը կտեղադրվի III շերտի վտակներում նիշում I շերտի գնդերի վրա, V շերտը՝ II շերտի վրա և այլն: Այս կերպ ստացված ցանցը բրավելի նիստակենարուն ցանց է խորանարդի տարածական անկյունագծով՝ ուղահայաց դարսման շերտերին (նկ. 20, բ): Շերտերի հաջորդականորունքը վեցանկյուն խիտ դարսվածքում կարելի է պատկերել ենթերյալ կերպ՝ ABABABAB..., իսկ նիստակենարուն խորանարդային ցանցի դեպքում ABCABCABC...: Հայտնի են խիտ դարսվածքով նաև այլ տեսակի կա-

ռուցվածքներ: Օրինակ՝ որոշ հազվագյուտ հողային մետաղներ ունեն ABACABACABAC... տիպի կառուցվածք: Վեցանկյուն խիստ դարսվածքի համար կորողինացիոն թիվը՝ $z = 12$: Այսուակ 5-ում ներկայացված են վեցանկյուն խիստ դարսվածքով միատարր բյուրենները:



Նկ. 20. ա. Վեցանկյուն խիստ դարսվածք, բ. Բրավովի նիստակենորոն ցանց

Առյուսակ 5.
Վեցանկյուն խիստ դարսվածքով միատարր բյուրեններ

Տարր	a , Å	c	c/a	Տարր	a , Å	c	c/a
Be	2,29	3,58	1,56	Os	2,74	4,32	1,58
Cd	2,98	5,62	1,89	Pr	3,67	5,92	1,61
Ce	3,65	5,96	1,63	Re	2,76	4,46	1,62
α-Co	2,51	4,07	1,62	Ru	2,70	4,28	1,59
Dy	3,59	5,65	1,57	Sc	3,31	5,27	1,59
Er	3,56	5,59	1,57	Tb	3,60	5,69	1,58
Gd	3,64	5,78	1,59	Ti	2,95	4,69	1,59
He (2γ)	3,57	5,83	1,63	Tl	3,46	5,53	1,60
Hf	3,20	5,06	1,58	Tu	3,54	5,55	1,57
Ho	3,58	5,62	1,57	Y	3,65	5,73	1,57
La	3,75	6,07	1,62	Zn	2,66	4,95	1,86
Lu	3,50	5,55	1,59	Zr	3,23	5,15	1,59
Nd	3,66	5,90	1,61	Mg	3,21	5,21	1,62

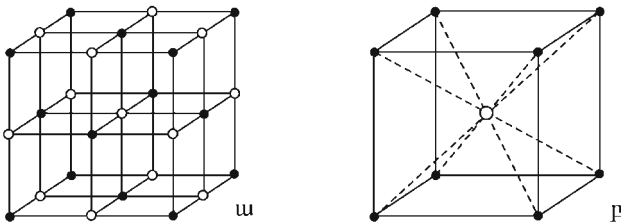
6.4 Նատրիումի քլորիդի կառուցվածք

Բազիտվ ցանց հարկավոր է օգտագործել նաև այնպիսի բյուրեղային կառուցվածքներ նկարագրելիս, որոնցում ատոմները (իոնները) միայն Բրավով ցանցի հանգույցներում են, սակայն ցանցի լրիվ տեղափոխական համաշխափությունը բացակայում է, քանի որ կան երկու տեսակի ատոմներ (իոններ): Օրինակ՝ նատրիումի քլորիդը բաղկացած է հավասար թվով նատրիումի և քլորի իոններից, որոնք դասավորված են պարզ խորանարդային ցանցի հանգույցներում այնպես, որ տվյալ իոնի ամենամոտ հարևանները մյուս տեսակի 6 իոններն են (նկ. 21): Առանձին-առանձին նատրիումի և քլորի իոնները կազմում են նիստակենտրոն խորանարդային ցանցեր, որոնք իրար նկատմամբ շեղված են խորանարդի տարածական անկյունազգի կեսի չափով: Այսպիսի կառուցվածքը կարելի է նկարագրել որպես Բրավոի նիստակենտրոն ցանց՝ բազիտվ, որը կազմված է (000) կետում տեղադրված նատրիումի իոնից և $(i + j + k)/2$ կետում տեղադրված քլորի իոնից:

Այսուակ 6-ում ներկայացված են նատրիումի քլորիդի կառուցվածքով որոշ բյուրեղներ:

**Աղյուսակ 6.
Նատրիումի քլորիդի կառուցվածքով բյուրեղներ**

Բյուրեղ	a , Å	Բյուրեղ	a , Å	Բյուրեղ	a , Å
LiF	4,02	KI	7,07	CaS	5,69
LiCl	5,13	RbF	5,64	CaSe	5,91
LiBr	5,50	RbCl	6,58	CaTe	6,34
LiI	6,00	RbBr	6,85	SrO	5,16
NaF	4,62	RbI	7,34	SrS	6,02
NaCl	5,64	AgCl	5,55	SrSe	6,23
NaBr	5,97	AgBr	5,77	SrTe	6,47
NaI	6,47	MgO	4,21	BaO	5,52
KCl	6,29	MgS	5,20	BaS	6,39
KBr	6,60	MgSe	5,45	BaSe	6,60
KF	5,35	CaO	4,81	BaTe	6,99



Նկ. 21. ա. Նատրիումի քլորիդի կառուցվածք,
բ. ցեզիումի քլորիդի կառուցվածք

6.5. Ցեզիումի քլորիդի կառուցվածք

Բաղկացած է ցեզիումի և քլորի իոններից, որոնք տեղադրված են խորանարդի գագաթներում և կենտրոնում, այնպէս, որ ամեն մի իոն ունի ուր ամենամոտ հարևաններ՝ հակառակ նշանի լիցքով (նկ. 21. բ): Այս կառուցվածքը կարելի է նկարագրել որպէս Բրավեի պարզ խորանարդային ցանց՝ բազիսով, որը բաղկացած է (000) կետում տեղադրված ցեզիումի և $(i + j + k)/a/2$ կետում տեղադրված քլորի իոններից:

Այս կառուցվածքը կարելի է ներկայացնել նաև որպէս երկու պարզ խորանարդային (մի տեսակի իոններից կազմված) ցանցերի վերաբրում, որոնք իրար նկատմամբ շեղված են խորանարդի տարածական անկյունագծի կեսի չափով: Աղյուսակ 7-ում ներկայացված է ցեզիումի քլորիդի կառուցվածքով մի քանի միացություն:

Աղյուսակ 7. Ցեզիումի քլորիդի կառուցվածքով բյուրեղներ

Բյուրեղ	a , Å	Բյուրեղ	a , Å	Բյուրեղ	a , Å
CsCl	4,12	TlBr	3,97	LiHg	3,29
CsBr	4,29	TlI	4,20	AlNi	2,88
CsI	4,57	CuPd	2,99	NH₄Cl	3,87
TlCl	3,83	BeCu	2,70	AgMg	3,28

Ցեզիումի քլորիդի և նատրիումի քլորիդի կառուցվածքներում քջի գումարային լիցքը, ինչպէս նաև երկընեռային մոմենտը օրու են: Իոնների ջերմային շարժման հետևանքով ակնբարբարային երկընեռային մոմենտը դառնում է զրոյից տարբեր, որը համգեցնում է իոնային բյուրեղներում հաղորդականության էլեկտրոնների ցրման:

6.6. Յինկի խարուսակի կառուցվածք

Այս կառուցվածքը երկրաչափորեն համընկնում է ալմաստի կառուցվածքի հետ: Մի նիստակենտրոն ցանցի հանգույցներում ցինկի (**Zn**) ատոմներն են, իսկ մյուսի հանգույցներում՝ ծծմբի (**S**) (նկ. 18. ա): Յուրաքանչյուր ատոմ ունի այլ տեսակի 4 ամենամոտ հարևան ատոմներ, որոնք տեղադրված են քառանիստի գագաթներում (նկ. 18. բ): Աղյուսակ 8-ում տրված է ցինկի խարուսակի կառուցվածքով մի քանի բյուրեղ:

Հայտնի է ցինկի խարուսակի դիտարկված խորանարդային կառուցվածքի, ինչպես նաև ալմաստի կառուցվածքի վեցանկյունային տարատեսակը: Երկու տարատեսակներն եւ բաղկացած են կրկնակի շերտերից՝ մի շերտը զբաղեցնում են **Zn**-ի, մյուսը՝ **S**-ի ատոմները: Խորանարդային կառուցվածքում կրկնակի շերտերը դարսվում են ABCABCABC..., իսկ վեցանկյուն կառուցվածքում ԱԲԱԲԱԲԱ... հաջորդականությամբ: Աղյուսակ 9-ում ներկայացված է ցինկի խարուսակի վեցանկյուն կառուցվածքով մի քանի միացություն: Ինչպես երևում է Աղյուսակ 8-ից և Աղյուսակ 9-ից, միևնույն միացությունը կարող է ունենալ և՛ խորանարդային, և՛ վեցանկյուն կառուցվածք: Օրինակ՝ **ZnS**-ի խորանարդային կառուցվածքը 1300 Կ-ից բարձր ջերմաստիճաններում փոխակերպվում է **ZnS**-ի վեցանկյուն կառուցվածքի: Այս երևույթը հայտնի է որպես բազմաձևություն (պոլիմորֆիզմ):

Աղյուսակ 8.
**Ցինկի խարուսակի
կառուցվածքով բյուրեղներ**

Բյուրեղ	<i>a</i> , Å	Բյուրեղ	<i>a</i> , Å
ZnS	5,41	AlSb	6,13
ZnSe	5,67	GaP	5,45
ZnTe	6,09	GaAs	5,65
CdS	5,82	GaSb	6,12
CdTe	6,48	InP	5,87
HgS	5,85	InAs	6,04
HgSe	6,08	InSb	6,47
AlAs	5,62	SiC	4,35

Աղյուսակ 9.
**Ցինկի խարուսակի վեցանկյուն
կառուցվածքով բյուրեղներ**

Բյուրեղ	<i>a</i> , Å	<i>c</i> , Å
ZnO	3,25	5,12
ZnS	3,81	6,23
ZnSe	3,98	6,53
ZnTe	4,27	6,99
SiC	3,25	5,21
C (ալմաստ)	2,52	4,12
CdS	4,13	6,75
CdSe	4,30	7,02

§7. Հակադարձ ցանց

Բյուրեղային կառուցվածքը բնութագրող բոլոր ֆիզիկական մեծությունները ներկայացվում են այնպիսի ֆունկցիաներով, որոնք ունեն նույն պարբերականությունը, ինչ որ տարածական ցանցը: Այդպիսի մեծություններից են էլեկտրոնային լիցքի բաշխումը, էլեկտրաստատիկ պոտենցիալը, ցանցի որևէ կետում աստղը գտնելու հավանականությունը և այլն:

Եթե $f(\mathbf{r})$ -ն այդպիսի մի ֆունկցիա է, ապա պարբերականության պայմանը մաքենատիկորեն կտրվի հետևյալ առնչությամբ՝

$$f(\mathbf{r} + \mathbf{l}) = f(\mathbf{r}), \quad (7.1)$$

որտեղ \mathbf{l} -ը տեղափոխության կամայական վեկտոր է և տրվում է (1.1) արտահայտությամբ, իսկ \mathbf{r} -ը կամայական կետի շառավիղ-վեկտոր է:

Նպատակահարմար է նախ քննարկել միաչափ բյուրեղի դեպքը, եթե բյուրեղի ֆիզիկական բնութագրերը փափոխվում են միայն մեկ ուղղությամբ: Այս դեպքում (7.1) առնչության փոխարեն տեղի ունի

$$f(x + l) = f(x) \quad (7.2)$$

առնչությունը, որտեղ $l = l_1 a$, $l_1 = 0, \pm 1, \pm 2, \dots$, իսկ a -ն $f(x)$ ֆունկցիայի պարբերությունն է՝ միաչափ ցանցի հաստատում:

Ինչպես հայտնի է, կամայական պարբերական ֆունկցիա կարելի է վերածել Ֆուրիեի շարքի՝

$$f(x) = \sum_g A_g e^{igx}, \quad (7.3)$$

որտեղ g մեծության արժեքները որոշվում են (7.2) պայմանից՝

$$f(x + l) = \sum_g A_g e^{ig(x+l)} = \sum_g A_g e^{igx} e^{igl} \equiv f(x),$$

այսինքն՝

$$e^{igl} = 1 \quad \text{կամ} \quad e^{igal_1} = 1: \quad (7.4)$$

Քանի որ l_1 -ը կամայական ամբողջ թիվ է, ապա (7.4) պայմանը տեղի կունենա միայն այն դեպքում, եթե

$$g = \frac{2\pi}{a} m \equiv g_1 m, \quad (7.5)$$

որտեղ m -ը կամայական ամբողջ թիվ է: $g = g_1 m$ ($m = 0, \pm 1, \pm 2, \dots$) մեծությունները կազմում են միաշափ ցանցի հակադարձ երկարությունների քազմությունը:

Ֆուրիե-վերլուծության A_g գործակիցները որոշելու համար (7.3) շարքի աջև և ձախ մասերը քազմապատկենք $\exp(-ig'x)$ արտադրիչով և ինտեգրենք ըստ x -ի՝ $(0 - L_x)$ տիրույթով՝

$$\int_0^{L_x} f(x) e^{-ig'x} dx = \sum_g A_g \int_0^{L_x} e^{ix(g-g')} dx , \quad (7.6)$$

g' -ը միաշափ հակադարձ ցանցի կամայական երկարություն է, $L_x = aN_x$ -ը՝ միաշափ ցանցի երկարությունը, N_x -ը՝ տարրական քիչների թիվը:

Զևսի լինենք (7.6) հավասարման ձախ մասը՝ նկատի ունենալով (7.2) և (7.5) արտահայտությունները.

$$\begin{aligned} \int_0^{L_x} f(x) e^{-ig'x} dx &= \sum_{m=0}^{N_x-1} \int_{ma}^{(m+1)a} f(x) e^{-ig'x} dx = \\ &= \sum_{m=0}^{N_x-1} \int_0^a f(x' + ma) e^{-ig'(x'+ma)} dx' = \\ &= \sum_{m=0}^{N_x-1} e^{-ig'ma} \int_0^a f(x') e^{-ig'x'} dx' = N_x \int_0^a f(x) e^{-ig'x} dx : \end{aligned} \quad (7.7)$$

(7.6) հավասարման աջ կողմում գրված ինտեգրալը՝

$$I_{gg'} \equiv \int_0^{L_x} e^{ix(g-g')} dx = L_x , \quad \text{եթե } g = g' , \quad (7.8)$$

և

$$I_{gg'} = \frac{e^{iL_x(g-g')} - 1}{i(g-g')} = \frac{e^{iN_xa(g-g')} - 1}{i(g-g')} = 0 , \quad \text{եթե } g \neq g' , \quad (7.9)$$

քանի որ (7.4) պայմանի համաձայն՝ կոտորակի համարիչը զրո է: (7.8) և (7.9) արտահայտությունները կարենի է միավորեն՝

$$I_{gg'} = L_x \delta_{gg'}, \quad (7.10)$$

որտեղ $\delta_{gg'}$ -ը Կրոնեկերի սիմվոլն է: (7.6), (7.7) և (7.10) արտահայտություններից կստանանք՝

$$A_g = \frac{1}{L_x} \int_0^{L_x} f(x) e^{-igx} dx = \frac{N_x}{L_x} \int_0^a f(x) e^{-igx} dx = \frac{1}{a} \int_0^a f(x) e^{-igx} dx : \quad (7.11)$$

Այժմ անցնենք ընդհանուր դեպքի ուսումնասիրությանը: $f(\mathbf{r})$ եռաչափ պարբերական ֆունկցիան ներկայացնենք Ֆուրիեի եռակի շարքի տեսքով՝

$$f(\mathbf{r}) = \sum_{\mathbf{g}} A_{\mathbf{g}} e^{i\mathbf{gr}} : \quad (7.12)$$

(7.1) և (7.12) առնչություններից բխում է, որ տեղափոխության կամայական \mathbf{l} վեկտորի համար

$$e^{i\mathbf{gl}} = 1, \quad (7.13)$$

որը համարժեք է հետևյալ պայմանին՝

$$\mathbf{gl} = 2\pi \times \text{ամբողջ թիվ}: \quad (7.14)$$

Հարմարության համար նշանակելով $\mathbf{g} = 2\pi\mathbf{b}$ և (7.14) պայմանում տեղադրելով (1.1) արտահայտությունը՝ կստանանք՝

$$\mathbf{gl} = 2\pi(\mathbf{b}\mathbf{a}_1 n_1 + \mathbf{b}\mathbf{a}_2 n_2 + \mathbf{b}\mathbf{a}_3 n_3) = 2\pi \times \text{ամբողջ թիվ}: \quad (7.15)$$

Քանի որ n_1 -ը, n_2 -ը և n_3 -ը կամայական ամբողջ թվեր են, ապա (7.15) պայմանը տեղի կունենա միայն այն դեպքում, եթե

$$\mathbf{b}\mathbf{a}_1 = l_1, \quad \mathbf{b}\mathbf{a}_2 = l_2, \quad \mathbf{b}\mathbf{a}_3 = l_3, \quad (7.16)$$

որտեղ l_1 -ը, l_2 -ը և l_3 -ը կամայական ամբողջ թվեր են: Ստացված 3 հավասարումներից որոշվում է \mathbf{b} անհայտ վեկտորը: Ներկայացնենք այն մեկ հարթության չպատկանող $[\mathbf{a}_1, \mathbf{a}_2]$, $[\mathbf{a}_2, \mathbf{a}_3]$ և $[\mathbf{a}_3, \mathbf{a}_1]$ երեք վեկտորների գծային համակցության տեսքով՝

$$\mathbf{b} = \alpha[\mathbf{a}_2, \mathbf{a}_3] + \beta[\mathbf{a}_3, \mathbf{a}_1] + \gamma[\mathbf{a}_1, \mathbf{a}_2], \quad (7.17)$$

որտեղ α -ն, β -ն և γ -ն անհայտ գործակիցներ են:

(7.17) արտահայտությունը սկայար ձևով բազմապատկենք α_1 -ով:
Նկատի ունենալով (7.16) հավասարումներից առաջինը, ինչպես նաև այն, որ α_1 վեկտորն ուղղահայաց է: $[\mathbf{a}_3, \mathbf{a}_1]$ և $[\mathbf{a}_1, \mathbf{a}_2]$ վեկտորներին, կստանանք.

$$\mathbf{b} \mathbf{a}_1 = \alpha(\mathbf{a}_1 [\mathbf{a}_2, \mathbf{a}_3]) = l_1 \quad \text{և} \quad \alpha = \frac{l_1}{v_0}, \quad (7.18)$$

որտեղ v_0 -ն տարրական թղթի ծավալն է: (7.17) արտահայտությունը բազմապատկելով α_2 -ով և ապա α_3 -ով՝ նույն ձևով կորոշենք β և γ գործակիցները՝

$$\beta = \frac{l_2}{v_0}, \quad \gamma = \frac{l_3}{v_0}: \quad (7.19)$$

Այսպիսով՝ (7.17) արտահայտությունը կընդունի հետևյալ տեսքը՝

$$\mathbf{b} = \mathbf{b}_1 l_1 + \mathbf{b}_2 l_2 + \mathbf{b}_3 l_3, \quad (7.20)$$

որտեղ

$$\mathbf{b}_1 = \frac{1}{v_0} [\mathbf{a}_2, \mathbf{a}_3], \quad \mathbf{b}_2 = \frac{1}{v_0} [\mathbf{a}_3, \mathbf{a}_1], \quad \mathbf{b}_3 = \frac{1}{v_0} [\mathbf{a}_1, \mathbf{a}_2]: \quad (7.21)$$

Քանի որ \mathbf{a}_1 , \mathbf{a}_2 և \mathbf{a}_3 վեկտորները մեկ հարթության մեջ չեն, ապա նույնը կարելի է ասել նաև \mathbf{b}_1 , \mathbf{b}_2 և \mathbf{b}_3 վեկտորների մասին: (7.20) արտահայտության համաձայն՝

$$\mathbf{g} = 2\pi \mathbf{b} = 2\pi \mathbf{b}_1 l_1 + 2\pi \mathbf{b}_2 l_2 + 2\pi \mathbf{b}_3 l_3: \quad (7.22)$$

\mathbf{g} վեկտորները կազմում են ցանց, որի տարրական թղթը կառուցված է $\mathbf{g}_1 = 2\pi \mathbf{b}_1$, $\mathbf{g}_2 = 2\pi \mathbf{b}_2$, $\mathbf{g}_3 = 2\pi \mathbf{b}_3$ հիմնական վեկտորներով: Այս ցանցն ընդունված է անվանել հակադարձ՝ նախնական ուղիղ (\mathbf{a}_1 , \mathbf{a}_2 , \mathbf{a}_3 հիմնական վեկտորներով) ցանցի նկատմամբ: Ակնհայտ է, որ հակադարձ ցանցը միարժեքորեն որոշվում է \mathbf{a}_1 , \mathbf{a}_2 և \mathbf{a}_3 վեկտորներով, այսինքն՝ տալով ուղիղ ցանցը, միաժամանակ տրվում է նաև հակադարձ ցանցը: «Հակադարձ» անվանումը պայմանավորված է այն հանգանաքով, որ \mathbf{g} վեկտորն ունի հակադարձ երկարության չափայնություն:

Հակադարձ ցանցը բրավի ցանց է, քանի որ այն տրվում է (7.22) բանաձևով, հետևաբար՝ կարելի է կառուցել նրա հակադարձ ցանցը, որը համընկնում է ուղիղ ցանցի հետ:

Դժվար չէ նկատել, որ \mathbf{g}_j ($j = 1, 2, 3$) վեկտորները բավարարում են

$$\mathbf{a}_i \mathbf{g}_j = 2\pi \delta_{ij} \quad (7.23)$$

առնչությանը, այսինքն՝ \mathbf{g}_1 վեկտորն ուղղահայաց է \mathbf{a}_2 և \mathbf{a}_3 , \mathbf{g}_2 -ը՝ \mathbf{a}_1 և \mathbf{a}_3 , իսկ \mathbf{g}_3 -ը՝ \mathbf{a}_1 և \mathbf{a}_2 վեկտորներին:

Հաշվեմք հակադարձ ցանցի տարրական բջջի ծավալը՝

$$\begin{aligned} \Omega_0 &= (\mathbf{g}_1[\mathbf{g}_2, \mathbf{g}_3]) = (2\pi)^3 (\mathbf{b}_1[\mathbf{b}_2, \mathbf{b}_3]) = \\ &= \frac{(2\pi)^3}{V_0^3} ([\mathbf{a}_2, \mathbf{a}_3] [[\mathbf{a}_3, \mathbf{a}_1], [\mathbf{a}_1, \mathbf{a}_2]]) = \\ &= \frac{(2\pi)^3}{V_0^3} [\mathbf{a}_2, \mathbf{a}_3] \{ \mathbf{a}_1 ([\mathbf{a}_3, \mathbf{a}_1] \mathbf{a}_2) - \mathbf{a}_2 ([\mathbf{a}_3, \mathbf{a}_1] \mathbf{a}_1) \} = \frac{(2\pi)^3}{V_0}: \end{aligned} \quad (7.24)$$

Ուղիղ և հակադարձ ցանցերի տարրական բջիջների ծավալների միջև (7.24) կապն ստանալիս օգտվել ենք վեկտորական հանրահաշվի $[\mathbf{A}, [\mathbf{B}, \mathbf{C}]] = \mathbf{B}(\mathbf{AC}) - \mathbf{C}(\mathbf{AB})$ բանաձևից:

(7.12) ֆուրիե-վերլուծության $A_{\mathbf{g}}$ անհայտ գործակիցները որոշվում են նոյն եղանակով, ինչ որ միաշափ դեպքում: Արդյունքում ստացվում է (7.11) արտահայտության եռաչափ ընդհանրացումը՝

$$A_{\mathbf{g}} = \frac{1}{V} \int_V f(\mathbf{r}) e^{-i\mathbf{gr}} d\mathbf{r} = \frac{1}{V_0} \int_{V_0} f(\mathbf{r}) e^{-i\mathbf{gr}} d\mathbf{r}, \quad (7.25)$$

որն արտածելիս օգտվել ենք

$$I_{\mathbf{gg}'} = \int_V e^{i\mathbf{r}(\mathbf{g}-\mathbf{g}')} d\mathbf{r} = V \delta_{\mathbf{gg}'} \quad (7.26)$$

առնչությունից, որը (7.10) բանաձևի եռաչափ ընդհանրացումն է:

Ապացուցենք (7.26) առնչությունը:

Քանի որ

$$\mathbf{G} = \mathbf{g} - \mathbf{g}' = 2\pi(n_1 \mathbf{b}_1 + n_2 \mathbf{b}_2 + n_3 \mathbf{b}_3) \quad (7.27)$$

վեկտորը պատկանում է հակադարձ ցանցին, ապա $\exp(i\mathbf{Gr})$ ֆունկցիան պարբերական է ըստ \mathbf{r} -ի, հետևաբար՝ (7.26) բանաձևում բյուրեղի V ծավալը ինտեգրալ կարելի է ներկայացնել որպես ինտեգրալ մեկ տարրական

բջջի v_0 ծավալով՝ բազմապատկած բյուրեղում տարրական բջիջների N քվով՝

$$I_{\mathbf{gg}'} = N \int_{v_0} e^{i\mathbf{Gr}} d\mathbf{r} = N \int_{v_0} e^{i2\pi(n_1\mathbf{b}_1 + n_2\mathbf{b}_2 + n_3\mathbf{b}_3)\mathbf{r}} d\mathbf{r}: \quad (7.28)$$

(7.28) ինտեգրալում անցնենք ինտեգրման նոր փոփոխականների՝

$$\xi = \mathbf{r}\mathbf{b}_1, \quad \eta = \mathbf{r}\mathbf{b}_2, \quad \zeta = \mathbf{r}\mathbf{b}_3: \quad (7.29)$$

Նկատի ունենալով (7.23) առնչությունը՝ հեշտ է համոզվել, որ

$$\mathbf{r} = \xi\mathbf{a}_1 + \eta\mathbf{a}_2 + \zeta\mathbf{a}_3 : \quad (7.30)$$

Եթե \mathbf{r} -ը փոփոխվում է v_0 ծավալում, $0 \leq \xi, \eta, \zeta \leq 1$, հետևաբար՝

$$I_{\mathbf{gg}'} = N \int_0^1 d\xi \int_0^1 d\eta \int_0^1 d\zeta e^{i2\pi(n_1\xi + n_2\eta + n_3\zeta)} J\left(\frac{x, y, z}{\xi, \eta, \zeta}\right), \quad (7.31)$$

որտեղ $x, y, z \rightarrow \xi, \eta, \zeta$ ձևափոխության յակորիանը՝

$$J\left(\frac{x, y, z}{\xi, \eta, \zeta}\right) \equiv \frac{D(x, y, z)}{D(\xi, \eta, \zeta)} = \begin{vmatrix} a_{1x} & a_{1y} & a_{1z} \\ a_{2x} & a_{2y} & a_{2z} \\ a_{3x} & a_{3y} & a_{3z} \end{vmatrix} = (\mathbf{a}_1[\mathbf{a}_2, \mathbf{a}_3]) = v_0, \quad (7.32)$$

այսինքն՝ հավասար է ուղիղ ցանցի տարրական բջջի ծավալին:

Այսպիսով՝ (7.28) – (7.32) արտահայտություններից բխում է, որ

$$I_{\mathbf{gg}'} = N v_0 \int_0^1 d\xi e^{i2\pi n_1 \xi} \int_0^1 d\eta e^{i2\pi n_2 \eta} \int_0^1 d\zeta e^{i2\pi n_3 \zeta} = V \delta_{n_1, 0} \delta_{n_2, 0} \delta_{n_3, 0}$$

և զրոյից տարրեր է միայն $n_1 = n_2 = n_3 = 0$ դեպքում, այսինքն, եթե $\mathbf{G} = 0$, որը, (7.27) արտահայտության համաձայն, համարժեք է $\mathbf{g} = \mathbf{g}'$ հավասարությանը:

§8. Հակադարձ ցանցի հատկությունները: Միլերյան ցուցիչներ

Ծանոթանանք հակադարձ ցանցի որոշ հատկությունների:

1. Հակադարձ ցանցի կամայական վեկտոր ուղղահայաց է ուղիղ ցանցի որոշակի հարթությունների բազմությանը:

(7.23) առնչությունից հետևում է, որ հակադարձ ցանցի կամայական $\mathbf{g} = h\mathbf{g}_1 + k\mathbf{g}_2 + l\mathbf{g}_3$ վեկտորի և ուղիղ ցանցի $\mathbf{l} = n_1\mathbf{a}_1 + n_2\mathbf{a}_2 + n_3\mathbf{a}_3$ վեկտորի սկալյար արտադրյալը՝

$$\mathbf{gl} = 2\pi(hn_1 + kn_2 + ln_3) = 2\pi M, \quad (8.1)$$

որտեղ M -ն ամբողջ թիվ է: Այսու կողմից՝

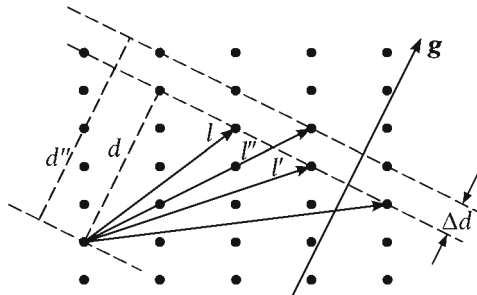
$$\mathbf{gl} = |\mathbf{g}| |\mathbf{l}| \cos(\hat{\mathbf{gl}}) = |\mathbf{g}| d, \quad (8.2)$$

որտեղ $d = |\mathbf{l}| \cos(\hat{\mathbf{gl}})$ մեծությունը \mathbf{l} վեկտորի պրոյեկցիան է \mathbf{g} վեկտորի ուղղության վրա: (8.1) և (8.2) արտահայտություններից հետևում է, որ

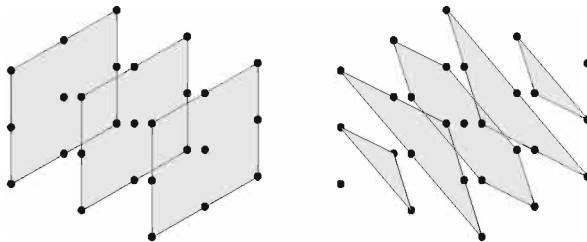
$$d = \frac{2\pi M}{|\mathbf{g}|}: \quad (8.3)$$

Ապացուցենք, որ նույն d պրոյեկցիան ունեն ուղիղ ցանցի անվերջ թվով վեկտորներ: Եթե ընտրենք $\mathbf{l}' = (n_1 - ml)\mathbf{a}_1 + (n_2 - ml)\mathbf{a}_2 + [n_3 + m(n_1 + n_2)]\mathbf{a}_3$, որտեղ m -ն ամբողջ թիվ է, որպես ուղիղ ցանցի վեկտոր, ապա կհամոզվենք, որ $\mathbf{gl}' = \mathbf{gl} = 2\pi M$: Նշանակում են \mathbf{l}' -ը \mathbf{g} -ի ուղղությամբ ունի նույն պրոյեկցիան, ինչ որ \mathbf{l} -ը, ուստի այն որոշում է \mathbf{g} -ին ուղղահայաց և կոօրդինատների սկզբանակետից d հեռավորությամբ հարթության մի կետ: Հետևաբար, եթե այդ հարթության վրա կա ցանցի որևէ կետ, ապա կան նաև անթիվ բազմությամբ կետեր (\mathbf{l}' վեկտորներ, $m = \pm 1, \pm 2, \pm \dots$): Այսպիսով՝ կառուցեցինք ցանցի ատոմային հարթություններից մեկը:

Ատոմային հարթությունների ընտանիք կոչվում է իրար գուգահեռ և իրարից հավասարահեռ ատոմային հարթությունների բազմությունը, որը պարունակում է Բրավեի եռաչափ ցանցի բոլոր հանգույցները: Ակնհայտ է, որ Բրավեի ցանցը կարելի է բաժանել ատոմային հարթությունների ընտանիքների տարրեր ձևերով (նկ. 23):



Նկ. 22. \mathbf{g} վեկտորի մոդուլահայաց հարթությունների ընտանիքը



Նկ. 23. Բրավովի ցանցի ներկայացումն ատոմային հարթությունների ընտանիքների տեսքով

Եթե \mathbf{g} վեկտորի բաղադրիչները չունեն ընդհանուր բաժանարար, ապա \mathbf{g} -ին ուղղահայաց հարթությունների միջև հեռավորությունը հակադարձ համեմատական է նրա երկարությանը՝ $|\mathbf{g}|$ -ին:

(8.1) և (8.2) առնչությունների համաձայն, եթե h, k, l թվերը չունեն ընդհանուր բաժանարար, ապա միշտ կարելի է ընտրել ուղիղ ցանցի մի այնպիսի \mathbf{l}'' վեկտոր, որ

$$\mathbf{g}\mathbf{l}'' = 2\pi(M+1): \quad (8.4)$$

Սա նշանակում է, որ \mathbf{l}'' վեկտորով հանգույցը պատկանում է կոօրդինատների սկզբնակետից

$$d'' = \frac{2\pi(M+1)}{|\mathbf{g}|} \quad (8.5)$$

հեռավորությամբ հարթությանը, որի հեռավորությունն ամենամոտ հարթությունից (նկ. 22)՝

$$\Delta d = d'' - d = \frac{2\pi}{|\mathbf{g}|}: \quad (8.6)$$

1. և 2. հատկություններից հետևում է, որ ցանցի ատոմային հարթությունները կարելի են սուբազուլ՝ տալով նրանց ուղղահայաց, հակադարձ ցանցին պատկանող g վեկտորները: Ասոմային հարթությունների նշումը հակադարձ ցանցի վեկտորների նշումով համարժեք է բյուրեղագրության մեջ հայտնի միկրոյան ցուցիչների օգտագործմանը:

Իրոք, եթե g վեկտորն ուղղահայաց է որևէ ատոմային հարթության, ապա այդ հարթության բոլոր հանգույցների համար տեղի ունի (8.1) պայմանը: Եթե դիտարկենք այդ հարթության $n_2 = n_3 = 0$ կետը, որը պատկանում է x_1 առանցքին, ապա (8.1) առնչությունից կստանանք, որ $n_1 = M/h$, այսինքն՝ այդ հարթության x_1 առանցքից հասում է

$$d_1 = n_1 a_1 = \frac{M}{h} a_1 \quad (8.7)$$

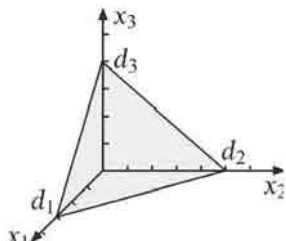
երկարությամբ մի հատված: Նույն ձևով կարելի է համոզվել, որ այն x_2 և x_3 առանցքներից հասում է համապատասխանարար

$$d_2 = n_2 a_2 = \frac{M}{k} a_2 \quad \text{և} \quad d_3 = n_3 a_3 = \frac{M}{l} a_3 \quad (8.8)$$

Երկարություններով հատվածներ (նկ. 24.): (8.7) և (8.8) արտահայտություններից հետևում է, որ

$$\frac{d_1}{a_1} : \frac{d_2}{a_2} : \frac{d_3}{a_3} = \frac{1}{h} : \frac{1}{k} : \frac{1}{l}, \quad (8.9)$$

այսինքն՝ տվյալ ատոմային հարթության՝ կոորդինատային առանցքներից հասուած հատվածները (արտահայտված համապատասխանարար a_1, a_2, a_3 միավորներով) հակադարձ համեմատական են h, k, l թվերին, որոնք ընդհանուր բաժանարարով կը ճանաչելուց հետո ներկայացնում են միկրոյան ցուցիչները:

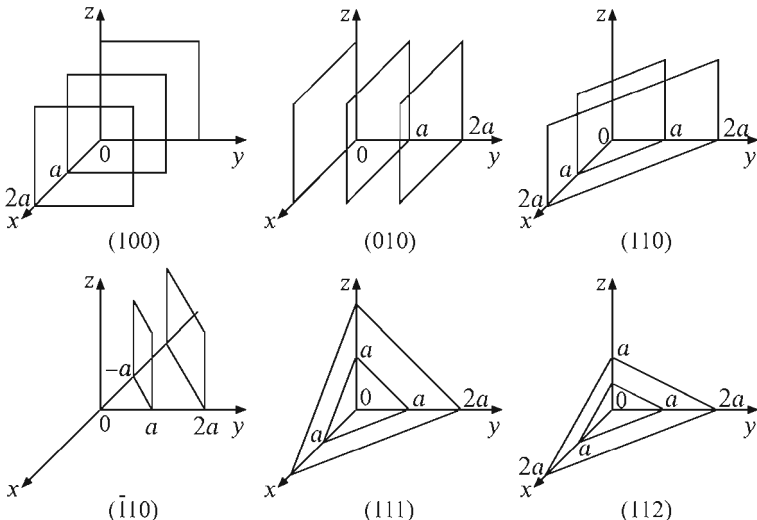


Նկ. 24. Ասոմային հարթության հասումները կոորդինատային առանցքների հետ

Այսպիսով՝ որևէ ատոմային հարթության միջերյան ցուցիչները հակադարձ ցանցի ամենափոքր վեկտորի կոորդինատներն են, որն ուղղահայաց է տվյալ հարթությանը, այսինքն՝ h, k, l ցուցիչներով հարթությունն ուղղահայաց է հակադարձ ցանցի $\mathbf{g} = h\mathbf{g}_1 + k\mathbf{g}_2 + l\mathbf{g}_3$, վեկտորին:

Ատոմային հարթությունները նշում են՝ փակագծերում տալով միջերյան ցուցիչներ՝ առանց սոորակետերի՝ (hkl), ցուցչի բացասական նշանը դրվում է վերևից, այսինքն՝ $-h - k$ փոխարեն զրկում է \bar{h} :

Նման նշումներ օգտագործվում են նաև ուղիղ ցանցում ուղղությունների համար, սակայն միջերյան ցուցիչների հետ (որոնք որոշում են ուղղություն հակադարձ ցանցում) չշփոթելու համար օգտվում են քառակուսի փակագծերից: Օրինակ՝ խորանարդի տարածական անկյունագծի ուղղությունն է [111]: Ընդհանուր դեպքում $\mathbf{l} = n_1\mathbf{a}_1 + n_2\mathbf{a}_2 + n_3\mathbf{a}_3$ վեկտորն ընտրված կոորդինատային համակարգում ունի $[n_1 n_2 n_3]$ ուղղությունը:

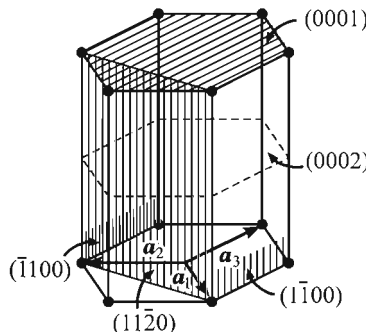


Նկ. 25. Ատոմային հարթությունների տարրեր ընտանիքներ

Ատոմային հարթությունների բոլոր ընտանիքները, որոնք համարժեք են բյուրենի համաչափության հետևանքով, նշվում են $\{\}$ ձևավոր փակագծերով: Օրինակ՝ խորանարդային բյուրեղում (100) , (010) , (001) , $(\bar{1}00)$, $(0\bar{1}0)$, $(00\bar{1})$

հարթությունները նշվում են որպես {100}: Նման ձևով ֆիզիկորեն համարժեք ուղղությունների համար օգտագործում են անկյունային փակագծեր՝ <>: Օրինակ՝ [100],[010],[001],[\bar{1}00],[0\bar{1}0],[00\bar{1}] ուղղությունների ընտանիքը նշվում է որպես <100>: Նկ. 25-ում պատկերված են խորանարդային կառուցվածքով բյուրեղի մի քանի ատոմային հարթությունների ընտանիքներ:

Վեցանկյուն բյուրեղային ցանցում ատոմային հարթությունները բնութագրելու համար երեքի փոխարեն օգտագործում են չորս թիվ՝ ($hkil$), որտեղ $i = -(h+k)$, որոնցից առաջին երեքը համապատասխանում են վեցանկյունի հիմքի հարթության մեջ ընկած և իրար հետ 120° անկյուն կազմող $\mathbf{a}_1, \mathbf{a}_2$ և \mathbf{a}_3 վեկտորներով ուղղված առանցքներից կտրած հատվածներին ($|\mathbf{a}_1| = |\mathbf{a}_2| = |\mathbf{a}_3| = a$), իսկ չորրորդը՝ l -ը, համապատասխանում է c -առանցքի վրա կտրված հատվածին արտահայտված c ուղղությամբ ցանցի հաստատունով (Նկ. 26): ($hkil$) նշանակումը հայտնի է «Սիլեր-Բրավեի ցուցիչներ» անվանմամբ:



Նկ. 26. Ատոմային հարթությունների ցուցակորումը վեցանկյունային ցանցում

§9. Հակադարձ ցանցի կառուցումը

Կառուցենք մի քանի բյուրեղային ցանցերի հակադարձ ցանցերը:

1. Պարզ խորանարդային ցանց

Այս ցանցի հիմնական վեկտորները տրվում են

$$\mathbf{a}_1 = a \mathbf{i}, \mathbf{a}_2 = a \mathbf{j}, \mathbf{a}_3 = a \mathbf{k} \quad (9.1)$$

արտահայտություններով, որտեղ \mathbf{i} -ն, \mathbf{j} -ն, \mathbf{k} -ն միավոր վեկտորներ են:

(7.21) բանաձևերի համաձայն՝

$$\begin{aligned}\mathbf{g}_1 &= 2\pi \frac{[\mathbf{a}_2, \mathbf{a}_3]}{(\mathbf{a}_1[\mathbf{a}_2, \mathbf{a}_3])} = \frac{2\pi a^2 [\mathbf{j}, \mathbf{k}]}{a^3} = \frac{2\pi}{a} \mathbf{i}, \\ \mathbf{g}_2 &= \frac{2\pi}{a} \mathbf{j}, \quad \mathbf{g}_3 = \frac{2\pi}{a} \mathbf{k},\end{aligned}\tag{9.2}$$

այսինքն՝ հակադարձ ցանցը նույնպես պարզ խորանարդային է, որի հաստատունն է $2\pi/a$:

Վիզներ-Չեյտի քջիզը, որը հակադարձ ցանցի դեպքում կոչվում է Բրիլուունի առաջին գոնա, սահմանափակված է հարթություններով, որոնք ուղղահայաց են հետևյալ վեց վեկտորներին՝

$$\pm \frac{1}{2} \mathbf{g}_1 = \pm \frac{\pi}{a} \mathbf{i}, \quad \pm \frac{1}{2} \mathbf{g}_2 = \pm \frac{\pi}{a} \mathbf{j}, \quad \pm \frac{1}{2} \mathbf{g}_3 = \pm \frac{\pi}{a} \mathbf{k} : \tag{9.3}$$

Այս վեց հարթությունները $2\pi/a$ կողով խորանարդի նիստերն են, իսկ խորանարդի (Բրիլուունի առաջին գոնայի) ծավալը $(2\pi/a)^3$ է:

2. Ծավալակենտրոն խորանարդային ցանց

Այս ցանցի հիմնական վեկտորները տրվում են (3.3) բանաձևերով: Նկատի ունենալով նաև (9.1) առնչությունները՝ կստանանք.

$$\mathbf{c}_1 = \frac{a}{2}(-\mathbf{i} + \mathbf{j} + \mathbf{k}), \quad \mathbf{c}_2 = \frac{a}{2}(\mathbf{i} - \mathbf{j} + \mathbf{k}), \quad \mathbf{c}_3 = \frac{a}{2}(\mathbf{i} + \mathbf{j} - \mathbf{k}), \tag{9.4}$$

ուստի հակադարձ ցանցի հիմնական վեկտորները՝

$$\mathbf{g}_1 = \frac{2\pi}{a}(\mathbf{j} + \mathbf{k}), \quad \mathbf{g}_2 = \frac{2\pi}{a}(\mathbf{k} + \mathbf{i}), \quad \mathbf{g}_3 = \frac{2\pi}{a}(\mathbf{i} + \mathbf{j}) : \tag{9.5}$$

(3.16) և (9.1) բանաձևերի համաձայն՝ (9.4) արտահայտությունները որոշում են նիստակենտրոն ցանցի տարրական քջիզը: Այսպիսով՝ ծավալակենտրոն խորանարդային ցանցի հակադարձ ցանցը նիստակենտրոն խորանարդային ցանցն է:

Հակադարձ ցանցի կամայական վեկտորը տրվում է հետևյալ ձևով՝

$$\mathbf{g} = h\mathbf{g}_1 + k\mathbf{g}_2 + l\mathbf{g}_3 = \frac{2\pi}{a}[(k+l)\mathbf{i} + (h+l)\mathbf{j} + (h+k)\mathbf{k}] : \tag{9.6}$$

Զրոյից տարբեր և ամենակարճ վեկտորներն են՝

$$\frac{2\pi}{a}(\pm \mathbf{j} \pm \mathbf{k}), \quad \frac{2\pi}{a}(\pm \mathbf{k} \pm \mathbf{i}), \quad \frac{2\pi}{a}(\pm \mathbf{i} \pm \mathbf{j}), \quad (9.7)$$

ընդամենը 12 հատ: Ուղիղ ցանցի տարրական բջջի ծավալը $a^3/2$ է, հակառած ցանցի տարրական բջջինը, (7.24) բանաձևի համաձայն՝ $2(2\pi/a)^3$:

Քրիլովնի առաջին զոնան սահմանափակված է տասներկու հարթություններով, որոնք ուղարկաց են (9.7) վեկտորներին, և իրենից ներկայացնում է կանոնավոր շեղանկյունային տասներկուսանիսատ (տես նկ. 11. ա): Նիստերի կենտրոնները որոշվում են հետևյալ վեկտորներով՝

$$\frac{\pi}{a}(\pm \mathbf{i} \pm \mathbf{j}), \quad \frac{\pi}{a}(\pm \mathbf{j} \pm \mathbf{k}), \quad \frac{\pi}{a}(\pm \mathbf{i} \pm \mathbf{k}): \quad (9.8)$$

3. Նիստակենտրոն խորանարդային ցանց

Այս ցանցի հիմնական վեկտորները տրվում են հետևյալ արտահայտություններով (տես 3.16)`

$$\mathbf{c}_1 = \frac{a}{2}(\mathbf{j} + \mathbf{k}), \quad \mathbf{c}_2 = \frac{a}{2}(\mathbf{k} + \mathbf{i}), \quad \mathbf{c}_3 = \frac{a}{2}(\mathbf{i} + \mathbf{j}), \quad (9.9)$$

ուստի հակադարձ ցանցի հիմնական վեկտորների համար (7.21) բանաձևերից կստանանք

$$\mathbf{g}_1 = \frac{2\pi}{a}(-\mathbf{i} + \mathbf{j} + \mathbf{k}), \quad \mathbf{g}_2 = \frac{2\pi}{a}(\mathbf{i} - \mathbf{j} + \mathbf{k}), \quad \mathbf{g}_3 = \frac{2\pi}{a}(\mathbf{i} + \mathbf{j} - \mathbf{k}) \quad (9.10)$$

արտահայտությունները, որոնք տեսքով համընկնում են ծավալակենտրոն ցանցի հիմնական վեկտորների հետ: Այսպիսով՝ նիստակենտրոն խորանարդային ցանցի հակադարձ ցանցը ծավալակենտրոն ցանցն է, որի տարրական բջջի ծավալը $4(2\pi/a)^3$ է: (9.10) բանաձևերի համաձայն՝ հակադարձ ցանցի վեկտորները տրվում են

$$\mathbf{g} = \frac{2\pi}{a}[(-h+k+l)\mathbf{i} + (h-k+l)\mathbf{j} + (h+k-l)\mathbf{k}] \quad (9.11)$$

բանաձևով, որտեղ h -ը, k -ն և l -ը կամայական ամբողջ թվեր են: Զրոյից տարրեր ամենափոքր վեկտորներն են հետևյալ ուր վեկտորները՝

$$\frac{2\pi}{a}(\pm \mathbf{i} \pm \mathbf{j} \pm \mathbf{k}): \quad (9.12)$$

Բրիլյունի առաջին գոնան առաջանում է (9.12) վեկտորներին ուղղահայց ութ հարթություններով կազմված ութանիստի գագաթները

$$\frac{2\pi}{a}(\pm 2\mathbf{i}), \quad \frac{2\pi}{a}(\pm 2\mathbf{j}), \quad \frac{2\pi}{a}(\pm 2\mathbf{k}) \quad (9.13)$$

Վեկտորներին ուղղահայց և նրանց կիսող վեց հարթություններով հատելիս: Արյունքում ստացվում է «հատված ութանիստ», որն իրենից ներկայացնում է տասնչորսանիստ (տես նկ. 10. բ):

4. Վեցանկյուն ցանց

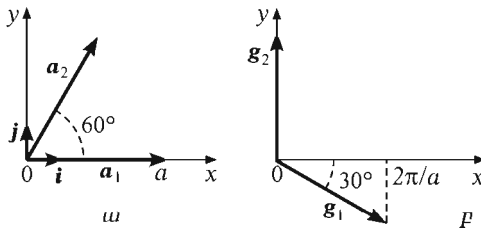
Այս ցանցի հիմնական վեկտորները տրվում են (6.1) արտահայտություններով՝

$$\mathbf{a}_1 = a\mathbf{i}, \quad \mathbf{a}_2 = \frac{a}{2}\mathbf{i} + \frac{\sqrt{3}a}{2}\mathbf{j}, \quad \mathbf{a}_3 = c\mathbf{k}, \quad (9.14)$$

ուստի հակադարձ ցանցի հիմնական վեկտորների համար (7.21) և (7.22) բանաձևերից կստանանք՝

$$\mathbf{g}_1 = \frac{2\pi}{a} \left(\mathbf{i} - \frac{1}{\sqrt{3}}\mathbf{j} \right), \quad \mathbf{g}_2 = \frac{4\pi}{a\sqrt{3}}\mathbf{j}, \quad \mathbf{g}_3 = \frac{2\pi}{c}\mathbf{k}: \quad (9.15)$$

Դժվար չէ համոզվել, որ $|\mathbf{g}_1| = |\mathbf{g}_2| = 4\pi/a\sqrt{3}$, այսինքն՝ պարզ վեցանկյունային ցանցի հակադարձ ցանցը նույնական պարզ վեցանկյունային կառուցվածք է, որի \mathbf{g}_1 և \mathbf{g}_2 հիմնական վեկտորները 30° -ով պտտված են ուղղության շուրջը (նկ. 27.):



Նկ. 27. ա. Ուղիղ և բ. հակադարձ վեցանկյուն ցանցերի հիմնական վեկտորները xy հարթության մեջ

Հակադարձ ցանցի տարրական բջջի ծավալը՝

$$\Omega_0 = (\mathbf{g}_1[\mathbf{g}_2, \mathbf{g}_3]) = \frac{2(2\pi)^3}{\sqrt{3}ca^2} : \quad (9.16)$$

§10. Դիֆրակցիան բյուրեղային կառուցվածքներում: Կառուցվածքային գործոն

Բյուրեղների կառուցվածքային ուսումնափրություններում օգտագործվում է ալիքների դիֆրակցիայի երևույթը, որը դրսարդվում է առավել ցայտուն, երբ ընկնող ալիքի երկարությունը միջատումային հեռավորությունների կարգի է: Սկզբունքորեն կառուցվածքային հետազոտություններում կարելի է օգտագործել կամայական տեսալի ճառագայթում՝ ֆուռնների, նեյտրոնների, էլեկտրոնների և այլ մասնիկների հոսքեր:

Դը Բրոյլի վարկածի համաձայն՝ p իմպուլսով մասնիկին վերագրվում է

$$\lambda = \frac{h}{p} \quad (10.1)$$

երկարությամբ ալիք, $h = 6,63 \cdot 10^{-34}$ էրգ·վ մեծությունը Պլանկի հաստատումն է: Եթե ճառագայթումն m զանգվածով ոչ ոելյատիվիտական մասնիկների հոսք է, ապա Դը Բրոյլի ալիքի երկարությունը՝

$$\lambda = \frac{h}{\sqrt{2me}} , \quad (10.2)$$

որտեղ ε -ն մասնիկի կինետիկ էներգիան է: Էլեկտրոնների համար (10.2) արտահայտությունից ստացվում է հետևյալ գնահատականը՝

$$\lambda \approx \frac{12}{\varepsilon^{1/2}} , \quad (10.3)$$

որտեղ λ -ն չափվում է անգստեմով, իսկ էներգիան՝ էլեկտրոն-վոլտով: Ցանցի հաստատումի կարգի ալիքի երկարություններ ստացվում են $\varepsilon \sim 100$ էՎ կարգի էներգիաների համար: Քանի որ էլեկտրոններն ուժեղ փոխազդում են նյութի հետ, ապա բյուրեղի մեջ խորը քափանցել չեն կարող: Ուստի էլեկտրոնների դիֆրակցիայի մերորդ հիմնականում ուսումնափրում են քարակքաղանքները, ինչպես նաև զանգվածեղ նմուշների մակերևությային շերտերը:

Նեյտրոնների Դը Բրոյլի ալիքի երկարության համար (10.2) արտահայտությունից ստացվում է հետևյալ գնահատականը՝

$$\lambda \approx \frac{0,28}{\varepsilon^{1/2}} , \quad (10.4)$$

որի համաձայն՝ $\lambda \sim 1 \text{ \AA}$, եթե $\varepsilon \approx 0,08$ էՎ (զերմային նեյտրոններ):

Ի տարբերություն էլեկտրոնների և ֆուտոնների՝ նեյտրոնները ցրվում են ատոմների միջուկների վրա և տեղեկություններ են տալիս բյուրեղի ատոմային կառուցվածքի մասին:

Նեյտրոնն ունի նազնիսական նոմենտ, ուստի նեյտրոնային փնջերի միջոցով հաջողությամբ ուսումնասիրում են մագնիսական բյուրեղների կառուցվածքը:

Էլեկտրամագնիսական ճառագայթման ալիքի երկարության կախումն էներգիայից ևս արտահայտվում է (10.1) բանաձևով, որտեղ $p = \hbar\omega/c = \varepsilon/c$, ($\hbar = h/2\pi = 1,05 \cdot 10^{-27}$ էրգ·վ)

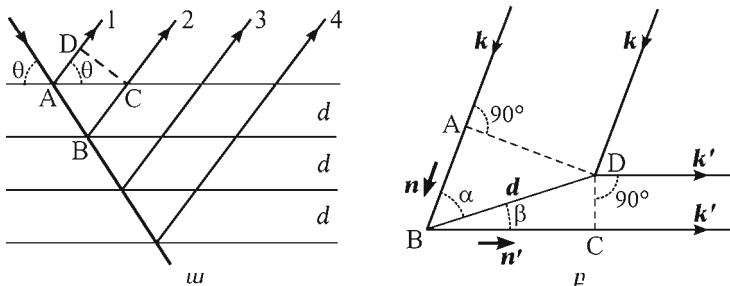
$$\lambda \approx \frac{12,4}{\varepsilon}, \quad (10.5)$$

որտեղ λ -ն չափվում է անգստերնով, իսկ էներգիան՝ կէՎ-ով: $\lambda \sim 1 \text{ \AA}$ երկարությունների համար ε -ն մի քանի տասնյակ կէՎ-ի կարգի մեծություն է, որը համապատասխանում է ճառագայթման ռենտգենյան տիրությին:

Ռենտգենյան ճառագայթման լայն կիրառությունը նյութի կառուցվածքային հետազոտություններում պայմանավորված է նյութի հետ նրա բույլ փոխազդեցությամբ, որի շնորհիվ ռենտգենյան ճառագայթները թափանցում են նմուշի մեջ և տեղեկություններ տալիս նրա բաղադրության և կառուցվածքի մասին: Ի տարբերություն նեյտրոնների՝ ռենտգենյան ճառագայթումը ցրվում է էլեկտրոնների վրա (միջուկների մեծ զանգվածի հետևանքով ցրումը նրանց վրա կարելի է անտեսել)՝ ի հայտ բերելով նմուշում էլեկտրոնների տարածական բաշխման օրինաչափությունները:

Ուսումնասիրենք ռենտգենյան ճառագայթների դիֆրակցիայի երևոյթը բյուրեղային կառուցվածքներում:

Համաձայն Ու. Քրեգի՝ բյուրեղի վրա ընկնող ռենտգենյան ալիքները հայելային ծևով անդրադառնում են իրար զուգահեռ ատոմային հարթություններից, ընդ որում՝ յուրաքանչյուր հարթությունից անդրադառնում է ընկած ճառագայթման չնշին մասը: Որևէ ուղղությամբ դիֆրակտված փունջը հնարավոր է դիտել, եթե այդ ուղղությամբ գնացող և տվյալ ատոմական հարթությունների ընտանիքի յուրաքանչյուր հարթությունից անդրադարձած երկրորդային ալիքներն իրար ուժնացնում են, այսինքն՝ հարևան հարթություններից անդրադարձած ալիքների ընթացքի տարբերությունը հավասար է ամբողջ թվով ալիքի երկարության (նկ. 28. ա):



Նկ. 28. Ունտղեմյան ալիքների դիֆրակցիան. ա. ըստ Բրեգի, բ. ըստ Լաուեի

Եթե d -ն միջիարքությունային հեռավորությունն է, ապա անդրադարձած 1 և 2 ալիքների ընթացքի տարրերությունը կլինի

$$AB + BC - AD = 2d \sin \theta,$$

որտեղ θ -ն ճառագայթի և ատոմային հարքության միջև անկյունն է:

Անդրադարձան ինտերֆերենցային մաքսիմումի անհրաժեշտ պայմանը՝

$$2d \sin \theta = n\lambda, \quad n = 1, 2, 3, \dots \quad (10.6)$$

հավասարումն իրենից ներկայացնում է Բրեգի օրենքը (պայմանը): Այն հետևանք է բյուրեղային ցանցի պարերականության: (10.6) պայմանի համաձայն՝ բրեգյան անդրադարձում հնարավոր է միայն այն ալիքների համար, որոնց երկարությունը՝ $\lambda \leq 2d$:

Դիֆրակցիայի երևույթի նկարագրությունը կարելի է ներկայացնել նաև Մ. Լաուեի ձևակերպմամբ, որի շրջանակներում հատկապես ցայտունորեն են դրանք հակադարձ ցանցի գաղափարի կարևորությունը և օգտակարությունը:

Համաձայն Լաուեի՝ ցանցի բոլոր հանգույցներում տեղադրված են նոյնական օբյեկտներ (ատոմներ, իոններ կամ դրանց խմբեր), որոնք իրենց վրա ընկնող ճառագայթումը ցրում են բոլոր ուղղություններով: Տրված ալիքի երկարության համար ինտերֆերենցային մաքսիմումներ դիտվում են այն ուղղություններով, որոնցով գնացող ալիքներն իրար ուժնեղացնում են:

Դիտարկենք երկու ցրող կենտրոններ, որոնք իրար նկատմամբ շեղված են d վեկտորով (նկ. 28. բ): B և D կենտրոնների ցրած ալիքների ընթացքի տարրերությունը՝

$$AB + BC = d \cos \alpha + d \cos \beta = \mathbf{d}(\mathbf{n} - \mathbf{n}'), \quad (10.7)$$

որտեղ \mathbf{n} -ը և \mathbf{n}' -ը միավոր վեկտորներ են համապատասխանաբար ընկնող և ցրված ալիքների տարածման ուղղություններով, հավասարեցնենք ամբողջ թվով ալիքի երկարության՝ $m\lambda$: Նկատի ունենալով ցրման առաձգական բնույթը՝ $|\mathbf{k}|=|\mathbf{k}'|$, ինչպես նաև ալիքի երկարության և ալիքային վեկտորի միջև կապը՝

$$\mathbf{k} = \frac{2\pi}{\lambda} \mathbf{n}, \quad \mathbf{k}' = \frac{2\pi}{\lambda} \mathbf{n}', \quad (10.8)$$

(10.7) և (10.8) առնչություններից կստանանք՝

$$\mathbf{d}(\mathbf{k} - \mathbf{k}') = 2\pi m, \quad m = \pm 1, \pm 2, \pm \dots : \quad (10.9)$$

Եթե ցրող կենտրոնների թիվը անվերջ մեծ է, ապա (10.9) պայմանը պետք է միաժամանակ տեղի ունենա ցրողը \mathbf{d} վեկտորների համար, որոնք պատկանում են Բրավեի ցանցի \mathbf{l} վեկտորների բազմությանը, այսինքն՝

$$\mathbf{l}(\mathbf{k} - \mathbf{k}') = 2\pi m, \quad m = \pm 1, \pm 2, \pm \dots : \quad (10.10)$$

Դժվար չէ տեսնել, որ (10.10) պայմանը նույնաբար համընկնում է հակադարձ ցանցը որոշող (7.14) հավասարման հետ, հետևաբար՝ $\mathbf{k} - \mathbf{k}'$ տարբերությունը պետք է հավասար լինի հակադարձ ցանցի որևէ վեկտորի՝

$$\mathbf{k} - \mathbf{k}' = \mathbf{g} : \quad (10.11)$$

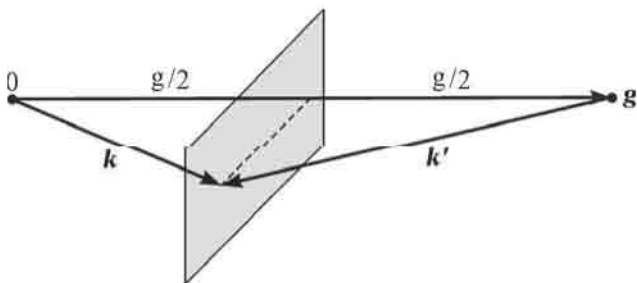
(10.11) առնչությունը, որն անվանում են Լաուեի պայման, կարելի է ներկայացնել նաև այլ տեսքով, եթե նկատի ունենանք, որ $|\mathbf{k}|=|\mathbf{k}'|$.

$$\mathbf{k} - \mathbf{g} = \mathbf{k}' \quad \text{կամ } |\mathbf{k} - \mathbf{g}| = |\mathbf{k}| : \quad (10.12)$$

(10.12) հավասարումը բարձրացնելով քառակուսի՝ կստանանք.

$$\mathbf{k}\mathbf{n}_g = \frac{1}{2} g, \quad (10.13)$$

որտեղ \mathbf{n}_g -ն միավոր վեկտոր է \mathbf{g} -ի ուղղությամբ: (10.13) առնչությունից բխում է, որ \mathbf{k} վեկտորի պրոյեկցիան \mathbf{g} վեկտորի ուղղության վրա $g/2$ է:



Նկ. 29. (10.13) պայմանի երկրաչափական մերկայացումը

Երկրաչափորին (10.13) պայմանը նշանակում է, որ k վեկտորի ծայրը g վեկտորին ուղղահայաց և այն կխռող հարթության մեջ է (նկ. 29): k -տարածության այդ հարթությունները կոչվում են բրեզյան:

Դիֆրակցիայի Բրեզյ (10.6) և Լատեի (10.11) պայմանների համարժեքությունը կարելի է ցույց տալ՝ օգտվելով հակադարձ ցանցի՝ §8-ում նշված 2-րդ հատկությունից, որի համաձայն՝ հակադարձ ցանցի ամենափոքրը, ոչ զրայական վեկտորի մեծությունը $2\pi/d$ է, որտեղ d -ն ատոմային հարթությունների միջև հեռավորությունն է: Այս վեկտորին զուգահետ բոլոր վեկտորներն ունեն $n(2\pi/d)$ երկարություն: Մյուս կողմից, (10.12) հակասարման համաձայն՝

$$g = 2k \sin \theta = \frac{2\pi}{d} n : \quad (10.14)$$

Նկատի ունենալով նաև, որ $k = 2\pi/\lambda$, (10.14) արտահայտությունից կստանանք դիֆրակցիայի Բրեզյ (10.6) պայմանը:

Եթե տարրական թղիջն ունի միևնույն աստմներից բաղկացած բազիս, ապա անհրաժեշտ է հաշվի առնել նաև բազիսի աստմների (իոնների) վրա ցրված ալիքների ինտենտիվունը: Եթե բրեզյան մաքսիմումին համապատասխանում է ալիքային վեկտորի $\mathbf{k}' - \mathbf{k} = \mathbf{K}$ փոփոխություն, ապա \mathbf{d}_i և \mathbf{d}_j կետերում ցրված ալիքների փուլերը կտարերպին $\exp[i\mathbf{K}(\mathbf{d}_i - \mathbf{d}_j)]$ արտադրիչով, ուստի ամրող բջջի ցրած ալիքների վերադրման հետևաբար առաջացած ալիքի լայնութը կպարունակի

$$\mathbf{S}_{\mathbf{K}} = \sum_{j=1}^s \exp(i\mathbf{K}\mathbf{d}_j) \quad (10.15)$$

արտադրիչը, որտեղ s -ը բազիսի ատոմների թիվն է: $\mathbf{S}_{\mathbf{K}}$ մեծությունը կոչվում է երկրաչափական կառուցվածքային գործոն և ցույց է տալիս, թե բազիսի

աստումների վրա ցրված ալիքների ինտերֆերենցը որքան է փոքրացնում \mathbf{K} վեկտորով որոշվող բրեզյան մաքսիմումի ուժգնությունը, որը համենատական է: $|S_{\mathbf{K}}|^2$ մեծությանը: Առանձնահատուկ կարևորություն են ներկայացնում այն դեպքերը, երբ $S_{\mathbf{K}} = 0$:

Քննարկենք մի օրինակ: Ծավալակենտրոն խորանարդային ցանցը կարելի է դիտարկել նաև որպես $a\mathbf{i}$, $a\mathbf{j}$, $a\mathbf{k}$ հիմնական վեկտորներով պարզ խորանարդային ցանց, որի հետ կապված է $\mathbf{d}_1 = 0$ և $\mathbf{d}_2 = a(\mathbf{i} + \mathbf{j} + \mathbf{k})/2$ վեկտորներով բազիս: Պարզ խորանարդային ցանցի հակադարձ ցանցը նույնապես պարզ խորանարդային է՝ $2\pi/a$ կողով, սակայն տվյալ դեպքում յուրաքանչյուր բրեզյան անդրադարձմանը համապատասխանում է $S_{\mathbf{K}}$ կառուցվածքային գործոն: (10.15) սահմանման համաձայն՝

$$S_{\mathbf{K}} = \sum_{j=1}^2 \exp(i\mathbf{K}\mathbf{d}_j) = 1 + \exp(i\mathbf{K}\mathbf{d}_2) = 1 + \exp\left[i\frac{a}{2}\mathbf{K}(\mathbf{i} + \mathbf{j} + \mathbf{k})\right]: \quad (10.16)$$

Հակադարձ ցանցի \mathbf{K} վեկտորը, (8.11) արտահայտության համաձայն, ունի հետևյալ տեսքը՝

$$\mathbf{K} = \frac{2\pi}{a}(n_1\mathbf{i} + n_2\mathbf{j} + n_3\mathbf{k}), \quad (10.17)$$

որտեղ n_1 -ը, n_2 -ը և n_3 -ը կամայական ամբողջ թվեր են: (10.16) և (10.17) արտահայտություններից կստանանք՝

$$S_{\mathbf{K}} = 1 + \exp[i\pi(n_1 + n_2 + n_3)] = \begin{cases} 2, & n_1 + n_2 + n_3 = 2m, \\ 0, & n_1 + n_2 + n_3 = 2m + 1, \end{cases} \quad (10.18)$$

($m = 0, 1, 2, \dots$): Նշանակում է՝ այն հանգույցները, որոնց կոօրդինատների գումարը՝ արտահայտված $2\pi/a$ հիմնական միավորով, կենտ է, բրեզյան անդրադարձումներ չեն տալիս: Պարզ խորանարդային հակադարձ ցանցը վերածվում է նիստակենտրոն ցանցի, որը և կստացվեր հենց սկզբից, եթե ծավալակենտրոն ցանցը դիտարկվեր ոչ թե որպես բազիսով ցանց, այլ որպես Բրավուի ցանց:

Եթե բազիսի աստումները նույնական չեն, ապա երկրաչափական կառուցվածքային գործոնի փոխարեն ներմուծվում է նոր մեծություն՝

$$\tilde{S}_{\mathbf{K}} = \sum_{j=1}^s f_j(\mathbf{K}) \exp(i\mathbf{Kd}_j) \quad (10.19)$$

կառուցվածքային գործոնը, որտեղ ցրման ատոմային գործոնը՝ $f_j(\mathbf{K})$ ֆունկցիան, հաշվի է առնում էլեկտրոնների տարածական բաշխումը j -րդ ատոմում:

Եթե ատոմի կենտրոնում մտովի տեղադրված էլեկտրոնի ցրած ռենտգենյան ալիքի լայնույթը որոշակի ուղղությամբ, ատոմի չափերից շատ մեծ հեռավորություններում, նշանակենք $A(t)$ -ով, ապա \mathbf{r} կետում $n(\mathbf{r})d\mathbf{r}$ էլեկտրոնների ցրած ալիքի լայնույթը նույն ուղղությամբ համեմատական կլինի $n(\mathbf{r})d\mathbf{r} \exp(i\mathbf{Kr})$ մեծությանը (տես (10.7), (10.8) և (10.11) արտահայտությունները), որտեղ $n(\mathbf{r})$ -ն էլեկտրոնների խտությունն է ատոմում: j -րդ ատոմի բոլոր էլեկտրոնների ցրած ալիքի լայնույթը՝

$$A_j(t) = A(t) \int n_j(\mathbf{r}) e^{i\mathbf{Kr}} d\mathbf{r} : \quad (10.20)$$

Ատոմային գործոնի սահմանման համաձայն՝

$$f_j(\mathbf{K}) = \frac{A_j(t)}{A(t)} = \int n_j(\mathbf{r}) e^{i\mathbf{Kr}} d\mathbf{r} , \quad (10.21)$$

որն էլեկտրոնների խտության ֆուրիե-բաղադրիչն է: Եթե ենթադրենք, որ ցանցում տեղադրված ատոմը չի տարբերվում ազատ ատոմից, և նրանում լիցքի բաշխումն օժտված է զննային համաշափությամբ, ապա (10.21) բանաձևում անկյուններով ինտեգրումից հետո կստանանք՝

$$f_j(\mathbf{K}) = 4\pi \int_0^\infty r^2 n_j(r) \frac{\sin Kr}{Kr} dr , \quad (10.22)$$

որտեղ, (10.13) բանաձևի համաձայն, հակադարձ ցանցի վեկտորի մոդուլը՝

$$K = 2k \sin \theta \equiv \frac{4\pi \sin \theta}{\lambda} : \quad (10.23)$$

Նկ. 30-ում պատկերված է $f_j(\mathbf{K})$ ատոմային գործոնի վարքը, կախված $\sin \theta / \lambda$ փոփոխականից, նատրիումի ատոմի համար, որի կարգաբարձությունը՝ $Z = 11$: Եթե $\sin \theta / \lambda \rightarrow 0$ (կամ $\theta \rightarrow 0$, այսինքն՝ ցրումներ չկան, կամ

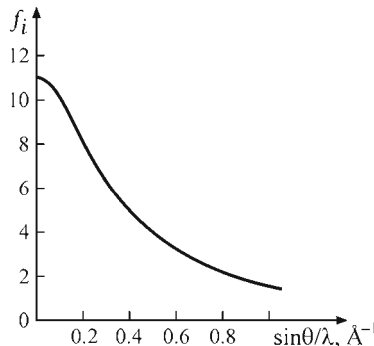
$\lambda \rightarrow \infty$, այսինքն՝ բոլոր էլեկտրոնները տատանվում են միևնույն փուլում), ապա (10.22) և (10.23) բանաձևերից բխում է, որ

$$f_j(\mathbf{K}) = 4\pi \int_0^{\infty} r^2 n_j(r) dr = Z_j: \quad (10.24)$$

Նույն արդյունքը կստացվի, եթե ենթադրենք, որ ատոմի բոլոր էլեկտրոնները նրա կենտրոնում են, այսինքն՝ (10.21) բանաձևում տեղադրենք

$$n_j(r) = Z_j \delta(\mathbf{r}), \quad (10.25)$$

որտեղ $\delta(\mathbf{r})$ -ը Դիրակի դելտա-ֆունկցիան է:



Նկ. 30. Նատրիումի ատոմային գործոնի գրաֆիկը

Այսպիսով՝ հաճառում ենք այն եզրակացության, որ ատոմի վերջավոր չափերով պայմանավորված ինտերֆերենցային երևույթները փոքրացնում են ատոմի՝ որպես ամբողջության ցրման ունակությունը, որն առավել ցայտում դրսեղբար է ատոմի չափերի կարգի և ավելի փոքր ալիքի երկարությունների համար: Քանի որ դիֆրակտված ճառագայթման ուժգնությունը համեմատական է $|\tilde{S}_{\mathbf{K}}|^2$ մեծությանը, ապա այն զգայի կլինի միայն այն դեպքում, եթե կառուցվածքային գործոնը գրոյից տարբեր է, իսկ ցրման ատոմային գործոնի արժեքը մոտ է տվյալ բյուրեղի համար հնարավոր առավելագույն արժեքին:

ԿԱՊԵՐԻ ՏԵՍԱԿՆԵՐԸ ԲՅՈՒՐԵՂՆԵՐՈՒՄ

§1. Կապի էներգիա

Բյուրեղների դասակարգման վերը դիտարկված սխեմայի հիմքում ընկած են բյուրեղային կառուցվածքների համաշափության հատկությունները: Այդպիսի դասակարգումն արտահայտում է պինդ մարմինների միայն երկրաշափական համաշափությունը, սակայն հաշվի չի առնում այն կարևորագույն կառուցվածքային առանձնահատկությունները, որոնք պայմանավորում են նրանց ֆիզիկական հատկությունները: Այդ է պատճառը, որ բոլոր բյուրեղային համակարգերում էլ կան տարրեր մասնիկական, էլեկտրական, օստիկական և այլ հատկություններով բյուրեղներ:

Պինդ մարմինների հատկությունների բազմազանությունը հետևանք է նրանցում իննների և արժեքական էլեկտրոնների տարածական բաշխման, որն էապես տարրերվում է մեկուսացված ատոմում գոյություն ունեցող բաշխումից:

Կապը պինդ մարմնի մասնիկների միջև հիմնականում պայմանավորված է էլեկտրոնների և դրականապես լիցքավորված միջուկների միջև գործող կուլոնյան փոխազդեցության ուժերով: Կայուն կապի առաջացումը ենթադրում է, որ ցանցի հանգույցներում տատանվող մասնիկների և արժեքական էլեկտրոնների փոխասավորությանը համապատասխանող էներգիան ավելի փոքր է, քան կամայական այլ փոխասավորության էներգիան, այդ բվում և այն, որի դեպքում մասնիկներն իրարից անվերջ հեռու են:

Կապի էներգիա են անվանում մարմինն իր բաղադրիչ մասերի (ատոմների, իոնների, մոլեկուլների) բաժանելու համար անհրաժեշտ էներգիան: Այն սահմանվում է որպես մեկուսացված, իրարից անվերջ հեռու մասնիկների համակարգի պոտենցիալ էներգիայի (U_{∞}) և կապված մասնիկների համակարգի պոտենցիալ էներգիայի (U) ու մասնիկների այսպես կոչված «զրյական» կիմետրիկ էներգիաների (T_0) տարրերություն՝

$$\Delta U = U_{\infty} - U - T_0: \quad (1.1)$$

Եթե նմուշը բաղկացած է M_i զանգվածով N_i իոններից և m զանգվածով N_e ազատ էլեկտրոններից, ապա, օգտվելով անորոշությունների առնչությունից, դրանց գրոյական կինետիկ էներգիաների հարաբերության համար կստանանք՝

$$\gamma = \frac{T_{0e}}{T_{0i}} = \frac{N_e p_e^2 / m}{N_i p_i^2 / M_i} = \frac{N_e M_i}{N_i m} \left(\frac{\Delta a}{L} \right)^2, \quad (1.2)$$

որտեղ Δa -ն իոնի, իսկ L -ը էլեկտրոնի տեղայնացման տիրույթի գծային չափերն են: Եթե ընդունենք, որ $\Delta a \leq a \sim 10^{-8}$ սմ (a -ն ցանցի հաստատումն է), $L \sim 1$ սմ (ազատ էլեկտրոնները կարող են լինել 1 սմ³ ծավալով նմուշի կամայական կետում), $N_e = z N_i \sim N_i$, (ատոմի z արժեքականությունը միավորի կարգի է), և $M_i \sim 10^4 - 10^5 m$, ապա $\gamma \sim 10^{-12} - 10^{-11}$: Այսպիսով՝ իոնների ուժեղ տեղայնացման հետևանքով հիմնական ներդրումը գրոյական տատանումների էներգիայում պայմանավորված է իոններով $T_0 \approx T_{0i}$:

Զրոյական տատանումները գգալի դեր են խաղում համեմատաքար քերելու տարրերի բյուրեղներում: Մասնավորապես, գրոյական տատանումների, ինչպես նաև ատոմների բույլ փոխազդեցության հետևանքով հեղուկ հելիումը չի բյուրեղանում նբնոլորտային ճնշման տակ անզան 0 Կ-ում. հեղուկ He^3 -ը բյուրեղանում է $p \geq 33$ մբն., իսկ հեղուկ He^4 -ը՝ $p \geq 26$ մբն. ճնշման տակ: Մնացած դեպքերում (1.1) արտահայտության T_0 անդամն անտեսելու հետևանքով առաջացած սխալը չի գերազանցում 1%-ը, ուստի կարելի է ընդունել, որ

$$\Delta U \approx U_\infty - U : \quad (1.3)$$

Հարկ է նշել, որ (1.1) արտահայտության մեջ T_0 անդամի անտեսումը համարժեք է այն էներգությանը, որ իոնները (ատոմները) դասական մասնիկներ են:

Ընդունված է կապի էներգիան չափել մեկ մասնիկին (ատոմ, մոլեկուլ) բաժին ընկնող էներգիայով՝ արտահայտված էլեկտրոն-վոլտով (ԷՎ), ինչպես նաև կվալ/նոլ միավորով: Այդ միավորները կապված են հետևյալ կերպ՝ $1\text{EV}/\text{մասնիկ} \approx 23,05\text{կվալ}/\text{նոլ} \approx 96,51\text{k}\Omega/\text{նոլ}$:

§2. Բյուրեղային մարմինների դասակարգումը

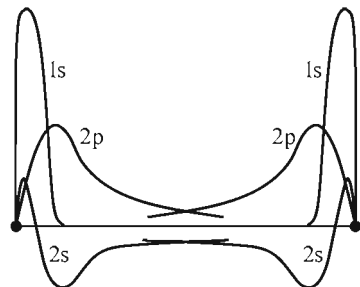
Պինդ բյուրեղային մարմինները, ըստ նրանցում էլեկտրոնների տարածական բաշխման, ընդունված է դասակարգել հետևյալ տեսակների՝ մոլեկուլային բյուրեղներ, իոնային բյուրեղներ, կովալենտ բյուրեղներ, մետաղներ և ջրածնային կապով բյուրեղներ:

Համառոտակի ծանրանաճք նշված տեսակների բյուրեղներին բնորոշ ֆիզիկական հատկություններին:

Մոլեկուլային բյուրեղներ

Այս տեսակի բնորոշագրական ներկայացուցիչներն են իներտ տարրերի (**He, Ne, Ar, Kr, Xe**) բյուրեղները:

Ինչպես հայտնի է, իներտ տարրերի ատոմներն ունեն լրացված (փակ) արտաքին էլեկտրոնային քաղանք: Ազատ ատոմնմ էլեկտրոնների տարածական բաշխումն օժտված է գմիգային համաշափությամբ, որը գործնականութեն մնում է անփոփոխ, եթե ատոմը բյուրեղում է: Նկ. 31-ում պատկերված է ներմի ատոմի (էլեկտրոնային փոխադասավորությունը՝ $1s^2 2s^2 2p^6$) շառավղային $r\psi(r)$ ալիքային ֆունկցիան երկու հարևան հանգույցների համար: Ինչպես երևում է գծագրից, և՛ 2p, և՛ 2s վիճակները բույլ չափով են «ծածկվում»:



Նկ. 31. Ներմի ատոմի շառավղային ալիքային ֆունկցիան երկու հարևան հանգույցների համար

Այս տեսակի բյուրեղների համար հատկանշական է ատոմների խիստ դարսվածքը: Բացի He^3 և He^4 իզոտոպներից՝ բոլոր իներտ տարրերի բյուրեղներն ունեն նիստակենտրոն խորանարդային ցանց: Սեկուսիչներ են, ունեն

կապի փոքր էներգիաներ և հալման ցածր ջերմաստիճաններ (Աղյուսակ 10-ում հալման ջերմաստիճանները տրված են 1 մթն. ճնշման դեպքում):

Աղյուսակ 10.
Մոլեկուլային բյուրեղների որոշ քննութագրեր

Բյուրեղ	Ցանցի հաստատում, Å	Կապի էներգիա, էՎ/ատոմ	Հալման ջերմաստիճան, Կ	Բյուրեղային կառուցվածք
Ne	3,13	0,02	24	ՆԿԱՆ
Ar	3,76	0,08	84	ՆԿԱՆ
Kr	4,01	0,116	117	ՆԿԱՆ
Xe	4,35	0,17	161	ՆԿԱՆ

Ըստ մազնիսական հատկությունների՝ դիամազնիսներ են: Բացի իներս տարրերի բյուրեղներից՝ այս դասին են պատկանում նաև **H₂**, **O₂**, **N₂**, **HCl**, **HBr**, **Cl₂**, **NH₃**, **CO₂**, **CH₄** և բազմաթիվ օրգանական միացությունների բյուրեղներ:

Իոնային բյուրեղներ

Իոնային բյուրեղները կազմված են մետաղական և ոչ մետաղական տարրերից: Այս դասի բնութագրական ներկայացուցիչներն են **A^IB^{VII}** խմբի միացությունները (**LiF**, **NaCl**, **KBr** և այլն): **NaCl**-ի օրինակով պարզեցր, թե ինչպես են առաջանում իոնային բյուրեղները:

Առաջին խմբի մետաղներն ունեն համեմատաբար փոքր իոնացման պոտենցիալ, որն իրենից ներկայացնում է չեղոք ատոմից էլեկտրոն պոկելու և այն մինչև անվերջություն հեռացնելու համար անհրաժեշտ էներգիան: Եթե հալոգենի, օրինակ՝ քլորի (**Cl**) չեղոք ատոմը մոտենում է մետաղի, օրինակ՝ նատրիումի (**Na**) ատոմին, ապա այն դեպի իրեն է ձգում վերջինիս համեմատաբար քոյլ կապված արժեքական էլեկտրոնը՝ առաջացնելով կայուն **Cl^{-}}** իոն: Լրացնից էլեկտրոնի կապի ներգիան (այսպես կոչված «խնամակցության» էներգիան) **Cl⁻** իոնի համար մոտավորապես 3,6 էՎ է, իսկ **Na⁺** իոնացման պոտենցիալը՝ 5,1 էՎ: Այսպիսով՝ **Na⁺** և **Cl⁻** չեղոք ատոմներից չփոխազրող, այսինքն՝ իրարից անվերջ հեռու իոններ ստանալու համար պահանջվում է ($5,1 - 3,6$) էՎ = 1,5 էՎ էներգիա: Սակայն եթե նկատի ունենանք **Na⁺** և **Cl⁻** իոնների կուլոնյան փոխազդեցության էներգիան **NaCl** բյուրեղի ցանցի $a \approx 2,8$ Å հաստատումին հավասար հեռավորությամբ իոնների միջև՝ $-e^2/a \approx -5,1$ էՎ, ապա **Na⁺Cl⁻** մոլեկուլին բաժին ընկնող էներգիա-

յի համար կստանանք ($-5,1+1,5$) էՎ. $\approx -3,6$ էՎ: Հետևաբար՝ իրարից անվերջ հեռու չեղող ատոմների գոյությունն էներգիապես ավելի ձեռնտու է, քան իոններինը: Մետաղի ատոմի արժեքական էնեկտրոնը հալոգենի ատոմին անցնելու հետևանքով առաջանում են մետաղի դրական և հալոգենի բացասական իոններ, որոնցում էնեկտրոնային փոխասապարությունը համապատասխանում է ns^2np^6 լրացված էնեկտրոնային բաղանքներին: Օրինակ՝ նատրիումի իոնի էլեկտրոնային փոխասապարությունն է $1s^22s^22p^6$, որը համապատասխանում է ներնի (Ne) ատոմին, քլորի իոնինը՝ $1s^22s^22p^63s^23p^6$, որը համապատասխանում է արգոնի (Ar) ատոմին: Բյուրեղը կազմող տարրեր տիպի իոններում լիցքի բաշխումը գործնականորեն չի տարրերվում համապատասխան իներտ տարրի ատոմներում լիցքի բաշխումից, որն օժտված է զնդային համաշափությանը: Դրական և բացասական իոնների միջև գործող կուլոնյան ձգողության հետևանքով է առաջանում է իոնային բյուրեղը:

Աղյուսակ 11. Իոնային բյուրեղների որոշ քատարագրեր

Բյուրեղ	Ցանցի հաստատում, Å	Կապի էներգիա, էՎ/մոլեկուլ	Հալման ջերմաստիճան, Կ	Բյուրեղային կառուցվածք
LiF	2,014	10,5	878	նատրիումի քլորիդի
LiCl	2,570	8,63	886	նատրիումի քլորիդի
NaCl	2,820	7,94	1077	նատրիումի քլորիդի
NaBr	2,989	7,56	1028	նատրիումի քլորիդի
KCl	3,147	7,19	1049	նատրիումի քլորիդի
KJ	3,533	6,50	996	նատրիումի քլորիդի
RbF	2,815	7,88	1068	նատրիումի քլորիդի
RbCl	3,291	6,94	988	նատրիումի քլորիդի
AgCl	4,93	8,9	718	նատրիումի քլորիդի
AgBr	5,78	8,77	707	նատրիումի քլորիդի
MgO	4,211	10,33	3073	նատրիումի քլորիդի
CsCl	4,296	6,62	919	ցեզիումի քլորիդի

Իոնային բյուրեղները հիմնականում նիստակենտրոն և ծավալակենտրոն խորանարդային կառուցվածքներ են, որոնց բնորոշ է իոնների խիտ դարսվածքը: Իոնային բյուրեղներն ունեն կապի մեծ էներգիաներ (Աղյուսակ

11-ում բերված են կապի էներգիայի՝ փորձում, սենյակային ջերմաստիճանում ստացված արժեքները և հալման ջերմաստիճանները 1 մբն. ճնշման դեպքում): Ցածր ջերմաստիճաններում լավ մեկուսիչներ են (չնչին էլեկտրոնային հաղորդականություն), բարձր ջերմաստիճաններում օժոված են զգալի իոնային հաղորդականությամբ: Բնութագրվում են նաև ենթակարմիր ճառագայթման ուժեղ կլանումով: Ըստ մագնիսական հատկությունների դիամագնիսներ են:

Կովալենտ բյուրեղներ

Կովալենտ բյուրեղներում կապը չեղոք ատոմների միջև առաջանում է երկու մոտակա ատոմների «ընդհանրացված» էլեկտրոնների միջոցով: Ի տարրերություն իոնային բյուրեղների, որոնցում արժեքական էլեկտրոնները կապված են որոշակի իոնների հետ, և որի հետևանքով երկու իոնների միջև տիրույթում էլեկտրոնային խտորդյունը փոքր է, կովալենտ կապի դեպքում այն զգալի է: Այսպես, օրինակ, **NaCl**-ի բյուրեղում էլեկտրոնային խտորդյունը մոտակա իոնները միացնող գծի երկայնքով նվազում է մինչև 0,1 էլեկտրոն/ \AA^3 և ավելի փոքր արժեքներ, իսկ ալմաստում, որը կովալենտ բյուրեղների դասի ամենացայտուն ներկայացուցիչն է, այն մեծ է 5 էլեկտրոն/ \AA^3 -ից: Կապն առաջանող էլեկտրոնային զույգում էլեկտրոնների սայիները հակառակահետ են: Յուրաքանչյուր ատոմ կարող է ստեղծել սահմանափակ թվով կովալենտ կապեր, որոնց քանակը կախված է ատոմի արտաքին էլեկտրոնային քաղաքանը լրացնելու համար անհրաժեշտ էլեկտրոնների թվից: Կովալենտ կապին բնորոշ այս հագեցվածության հատկությունը թիմիայում բնութագրվում է «արժեքականություն» (վալենտականություն) հասկացությամբ: Օրինակ՝ ածխածնի (ալմաստի) ատոմի էլեկտրոնային փոխասավորությունն է $1s^2 2s^2 2p^2$, և $2p^6$ փակ քաղաքանը կառուցելու համար անհրաժեշտ է 4 էլեկտրոն, ուստի ածխածնի ատոմում ի հայտ է գալիս այդ պակասը մոտակա չորս հարեւանների արժեքական էլեկտրոններով լրացնելու ձգտում:

Կովալենտ կապի մյուս յուրահատկությունը նրա տարածական ուղղորդվածությունն է: Դա է պատճառը, որ ալմաստի կառուցվածքով ցանցում ածխածնի յուրաքանչյուր ատոմ գրադարձնում է մոտակա չորս հարեւաններով կառուցված քառանիստի կենտրոնը (տես նկ. 18. բ):

Այս դասի բնութագրական ներկայացուցիչներն են IV խմբի տարրերը՝ **C** (ալմաստ), **Si**, **Ge**, **α-Sn** (գորշ անագ): Կովալենտ կապը գերակշռում է նաև **A^NB^{8-N}** միացություններում, իրար մոտ N և 8-N թվերի դեպքում, օրինակ՝ **A^{III}B^V** միացություններում:

Կովալենտ բյուրեղներն ունեն մեծ ամրություն, կապի մեծ էներգիաներ (Ալյուսակ 12), բայց և փխրուն են: Հաղորդականությունը շատ զգայուն է տարրերի խառնութերի առկայության նկատմամբ և ջերմաստիճանից կախված՝ էակես փոփոխվում է՝ բարձր ջերմաստիճաններում մոտենալով որոշ մետաղների հաղորդականությանը: Ունեն համեմատաբար մեծ դիէլեկտրական քափանցելիություն և բեկման ցուցիչ, քափանցիկ են երկարալիքային ճառագայլնան համար, սակայն որոշակի ալիքի երկարությունից սկսած (տեսանելի կամ ենթակարմիր տիրույթում) դառնում են անթափանցիկ: Ըստ մազնիսական հատկությունների՝ դիամագնիսներ են:

Ալյուսակ 12. Կովալենտ բյուրեղների որոշ բնութագրեր

Բյուրեղ	Ցանցի հաստատուն, Å	Կապի էներգիա, էՎ/մոլեկուլ	Հալման ջերմաստիճան, Կ	Բյուրեղային կառուցվածք
C (ալմաստ)	3,7	7,36	4300	ալմաստի
Si	5,43	4,64	1683	ալմաստի
Ge	5,32	3,87	1211	ալմաստի
α-Sn	5,82	3,12	505	քառանկյունային
β-SiC	4,357	12,23	2830	ZnS (սփալերիտ)
GaSb	6,130	6,03	985	ZnS (սփալերիտ)
GaAs	5,653	6,73	1511	ZnS (սփալերիտ)
InSb	6,048	5,59	798	ZnS (սփալերիտ)

Մետաղներ

Մետաղները բնութագրվում են մեծ էլեկտրա- և ջերմահաղորդականությամբ, լույսի կլանման մեծ գործակցով, մեծ պլաստիկությամբ և կոելիությամբ: Այս բոլոր հատկությունները հետևանք են մետաղներում ազատ էլեկտրոնների առկայության, որոնց համախումբը կարելի է դիտարկել որպես մետաղական՝ $n \sim 10^{23}$ սմ⁻³ սարգի խտությամբ էլեկտրոնային զար:

Մետաղների կապի էներգիաներն ընդունում են 1–5 էՎ/ատոմ արժեքներ: Ալկալիական մետաղներում (Li, Na, K, Rb, Cs) դրանք համեմատաբար փոքր են՝ 1 էՎ/ատոմ կարգի, որի հետևանքով նրանց հալման ջերմաստիճանները համեմատաբար ցածր են (Ալյուսակ 13): Այս մետաղների բյուրեղները կարելի է պատկերել որպես տարածական ցանց, որի հանգույցներում

դրական իոններն են, և որն «ընկղմված» է էլեկտրոնային «ծովում»: Անցումային մետաղներում (**Fe**, **W**, **Mo** և այլն), որոնց ատոմներում կան ներքին չլրացված էլեկտրոնային թաղանթներ, կապի էներգիան ընդունում է մեծ արժեքներ: Այս հանգամանքը պայմանավորված է մետաղական իոնների չլրացված ձ-թաղանթների էլեկտրոնների միջև զործող մասամբ կովալենտ կապով, մասամբ էլ վանդերվաալյան փոխագործությամբ:

Աղյուսակ 13.

Մետաղական բյուրեղների որոշ բնութագրեր

Մետաղ	Ցանցի հաստատում, Å	Կապի էներգիա, էՎ/ատոմ	Հալման ջերմաստիճան, Կ	Բյուրեղային կառուցվածք
Li	3,174	1,65	453	ցեզիումի քլորիդի
Na	4,291	1,13	371	Ծկւ
K	5,211	0,941	397	Ծկւ
Rb	5,631	0,858	312	Ծկւ
Cs	4,296	0,827	302	Ծկւ
α - Fe	2,866	4,29	1808	Ծկւ
Mo	3,147	6,81	2898	Ծկւ
W	3,165	8,66	3683	Ծկւ
Ru	2,70	6,615	2583	վեցանկյունային

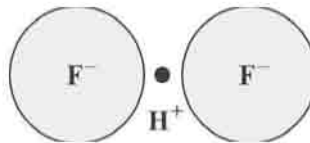
Որպես կանոն, մետաղները բյուրեղանում են՝ առաջացնելով նիստակենտրոն, ծավալակենտրոն խորանարդային, վեցանկյուն և այլ խիտ դարսվածքով կառուցվածքներ: Ըստ մազնիսական հատկությունների՝ լինում են և՛ դիամագնիսներ, և՛ պարամագնիսներ, և՛ ֆեռոմագնիսներ:

Զրածնային կապով բյուրեղներ

Որոշ բյուրեղային կառուցվածքների առաջացման ժամանակ ջրածինն իր յուրահատկությունների շնորհիվ խաղում է բոլորովին այլ դեր, քան մնացած բոլոր տարրերը:

Քանի որ ջրածնի չեզոք ատոմն ունի ընդամենը մեկ էլեկտրոն, ապա այն կարող է առաջացնել միայն մեկ կապ, որով կարող է կապվել այլ տարրի միայն մեկ ատոմի հետ: Սակայն հայտնի է, որ որոշակի պայմաններում ջրածնի ատոմը կարող է ձգողության զգալի ուժերով կապվել միաժամանակ երկու (բայց ոչ ավելի) ատոմների հետ՝ առաջացնելով այսպիս կոչված ջրածնային կապ, որի էներգիան 0,1 էՎ-ի կարգի է: Ջրածնային կապն ունի

Իիմնականում իտնային բնույթ: Սահմանային դեպքում ջրածնի ատոմը կորցնում է իր միակ էլեկտրոնը՝ տարվ այն երկու ատոմներից որևէ մեկին և վերածվում պրոտոնի, որն էլ առաջացնում է կապն ատոմների միջև: Պրոտոնի փոքր չափերը ($\sim 10^{-13}$ սմ) հնարավորություն չեն տալիս նրան իրար կապելու երկուսից ավելի ատոմ (նկ. 32):



Նկ. 32 Ջրածնային կապի առաջացումը

Ջրածնային կապով են պայմանավորված ջրի և սառույցի յուրահատկությունները, ինչպես նաև որոշ սեզմոսուսկելուրական բյուրեղների, մասնավորապես՝ կալիումի դիեխորոֆոսֆատի (KH_2PO_4) և բազմաթիվ օրգանական միացությունների ֆիզիկական հատկությունները:

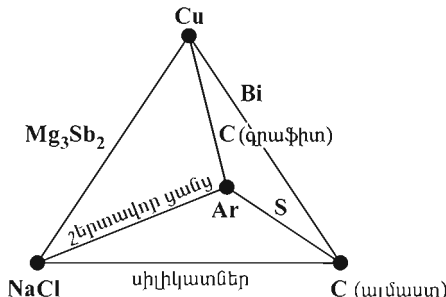
Պինդ մարմինների վերը նկարագրված դասակարգումը համապատասխանում է այն սահմանային դեպքերին, երբ բյուրեղը կազմող մասնիկների միջև կապն ամբողջությամբ վերագրվում է մեկ՝ որոշակի տեսակի փոխազդեցության: «Մաքուր» տեսքով կապերը հազվադեպ են հանդիպում: Գործնականում համարյա բոլոր բյուրեղներում միաժամանակ գործում են մեկից ավելի կապերի տեսակներ: Օրինակ՝ գորշ անագում առաջանում են կովալենտ կապին բնորոշ էլեկտրոնային գույքեր, սակայն փոքրաթիվ էլեկտրոններ կարող են «խոսափել» կապերին նաևնակացներուց՝ ստեղծելով փոքր էլեկտրոնային հաղորդականություն, որը բնորոշ է մետաղական կապին: Ջրածնի մոլեկուլում հնարավոր է այնախիք իրազություն, երբ երկու էլեկտրոններն էլ միևնույն միջուկի մոտ են, այսինքն՝ մոլեկուլում կապը դառնում է իտնային՝ առաջանում են իրար ճառը H^+ և H^- իոններ: Զանի որ այսպիսի վիճակը շատ կարծ է տևում ($\sim 10^{-17}$ վ), ապա կապը H_2 -ում դիսալում է որպես կովալենտ: Մի շաբթ նյութերում միաժամանակ գործում են և իտնային, և կովալենտ կապերը: Այդպիսիների քվին են պատկանում $A^{III}B^{IV}$ միացություններից շատերը, որոնք նկարագրվում են որպես կովալենտ բյուրեղներ, որոնց իտնային մնացորդների մոտ պահպանվել է հավելուրային լիցք (Աղյուսակ 14): Հարկ է նշել նաև, որ ատոմների (իոնների) միջև միշտ գործում են ունիվերսալ բնույթի վանդերվասալյան ուժեր, որոնք իտնային և կո-

Վալենտ փոխազդեցություններից զգալի քույլ լինելու հետևանքով, նրանց հետ միաժամանակ, որպես կանոն, հաշվի չեն առնվում:

Աղյուսակ 14. Կապի իոնականության աստիճանը (δ)

Բյուրեղ	δ	Տարրերի խմբերը	Բյուրեղ	δ	Տարրերի խմբերը
Si	0,00	A ^{IV}	InP	0,44	A ^{IV} B ^{IV}
Ge	0,00	A ^{IV}	ZnO	0,62	A ^{II} B ^{VI}
SiC	0,18	A ^{IV} B ^{IV}	CuCl	0,75	A ^I B ^{VII}
GaSb	0,26	A ^{III} B ^V	NaCl	0,94	A ^I B ^{VII}
GaAs	0,32	A ^{III} B ^V	RbF	0,96	A ^I B ^{VII}

Տարրեր տեսակի կապերի միջև անցումները նպատակահարմար է պատկերել Գրիմի քառանիստի օգնությամբ, որի չորս գագարներում «մաքուր» կապերի ներկայացուցիչներն են, իսկ կողմերը խորհրդանշում են անցումներն այդ կապերի միջն (նկ. 33): Օրինակ՝ Bi-ի դեպքում վերադրվում են կովալենտ և մետաղական կապերը: Միջնուաղական Mg_3Sb_2 միացությունը ներկայացնում է անցումը մետաղական կապից իոնայինին: Գրաֆիտի շերտերն ունեն հատակ արտահայտված մետաղական հատկություններ և իրար հետ կապված են վանդերվավալյան կապով: Սիլիկատները կազմում են բնուրոշ անցումային խումբ իոնային և կովալենտ կապերի միջև: Ծծմբի օղակում 8 ատոմները կապված են կովալենտ կապով, իսկ առանձին օղակներն իրար են կապվում վանդերվավալյան ուժերով:

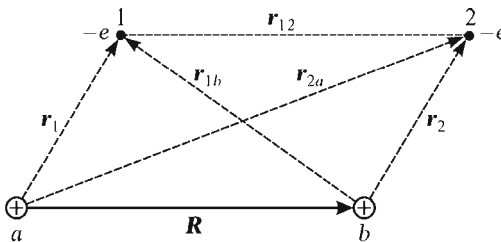


Նկ. 33. Գրիմի քառանիստը

§3. Վանդերվաալսյան կապի տեսությունը

Վանդերվաալսյան (ընդունված են նաև «Փլուկտուացիոն», «գիսպերսային», «մոլեկուլային» անվանումները) կապի տեսությունը ջրածնի երկու առողմանակով ստեղծել են Ֆ. Լոնդոնը և Ո. Այզենշիցը 1930 թ.:

Դիտարկենք իրարից R հեռավորությամբ ջրածնի երկու առողմ (նկ. 34): 1-ին էլեկտրոնի դիրքը ա միջուկի նկատմամբ որոշվում է \mathbf{r}_1 , իսկ b միջուկի նկատմամբ՝ \mathbf{r}_{1b} շառավիղ-վեկտորով, 2-ինը՝ b միջուկի նկատմամբ՝ \mathbf{r}_2 , իսկ a միջուկի նկատմամբ՝ \mathbf{r}_{2a} շառավիղ-վեկտորով: Կորոյդինատական չ առանցքու ուղղված է միջուկները միացնող ուղղով:



Նկ. 34. Երկու պրոտոնից և երկու էլեկտրոնից բաղկացած համակարգի գծապատճերը

a և b անշարժ միջուկներից ու 1-ին և 2-րդ էլեկտրոններից կազմված համակարգի համիլտոնիանն ունի հետևյալ տեսքը՝

$$\hat{H} = -\frac{\hbar^2}{2m}(\Delta_1 + \Delta_2) - \frac{e^2}{r_1} - \frac{e^2}{r_2} + \frac{e^2}{R} + \frac{e^2}{r_{12}} - \frac{e^2}{r_{1b}} - \frac{e^2}{r_{2a}}, \quad (3.1)$$

որտեղ Δ_1 և Δ_2 լապլասիաններն ազդում են համապատասխանաբար \mathbf{r}_1 և \mathbf{r}_2 փոփոխականների վրա, e^2/r_{12} անդամն «էլեկտրոն-էլեկտրոն» փոխագուցության պրոտենցիալ էներգիան է, $-e^2/r_{1b}$ և «1-ին էլեկտրոն – b միջուկ», $-e^2/r_{2a}$ և «2-րդ էլեկտրոն – a միջուկ» փոխագուցության էներգիաները:

Եթե միջուկներն իրարից շատ հեռու են՝ $R >> a_0$ ($a_0 = \hbar^2/me^2 = 0,529\text{\AA}$ մեծությունը Բորի շառավիղն է), ապա $r_{12} \sim r_{1b} \sim r_{2a} \sim R$, և (3.1) արտահայտության վերջին չորս անդամների գումարը՝

$$\hat{H}' = \frac{e^2}{R} + \frac{e^2}{r_{12}} - \frac{e^2}{r_{1b}} - \frac{e^2}{r_{2a}} \quad (3.2)$$

արտահայտությունը կարելի է դիսել որպես չփոխազդող ատոմների

$$\hat{H}_0 = -\frac{\hbar^2}{2m}(\Delta_1 + \Delta_2) - \frac{e^2}{r_1} - \frac{e^2}{r_2} \quad (3.3)$$

համիլտոնիանի գրգռում: r_{12} , r_{1b} և r_{2a} մեծություններն արտահայտելով \mathbf{r}_1 , \mathbf{r}_2 և \mathbf{R} վեկտորների միջոցով և հաշվի առնելով $r_1, r_2 \ll R$ անհավասարությունները՝ (3.2) արտահայտությունը կարելի է ներկայացնել

$$\hat{H}' = \frac{\mathbf{p}_1 \mathbf{p}_2}{R^3} - \frac{3(\mathbf{p}_1 \mathbf{R})(\mathbf{p}_2 \mathbf{R})}{R^5} = -\mathbf{p}_2 \mathbf{E}_1 \quad (3.4)$$

տեսքով, որտեղ $\mathbf{p}_1 = -e\mathbf{r}_1$ և $\mathbf{p}_2 = -e\mathbf{r}_2$ վեկտորները a և b ատոմների երկրեռային մոմենտներն են, իսկ

$$\mathbf{E}_1 = \frac{3\mathbf{R}(\mathbf{p}_1 \mathbf{R})}{R^5} - \frac{\mathbf{p}_1}{R^3} \quad (3.5)$$

վեկտորը \mathbf{p}_1 երկրեռի ստեղծած էլեկտրական դաշտի լարվածությունն է այն կետում, որտեղ \mathbf{p}_2 երկրեռն է: Այսպիսով՝ \hat{H}' անդամը «երկրեռ-երկրեռ» փոխազդեցության համիլտոնիանն է:

\hat{H}_0 օպերատորի սեփական էներգիան հիմնական վիճակում՝

$$E_1^{(0)} = 2\varepsilon_1^{(0)}, \quad (3.6)$$

որտեղ $\varepsilon_1^{(0)}$ մեծությունը ջրածնի ատոմի էներգիան է հիմնական վիճակում: Գրգռումների տեսության առաջին մոտավորությամբ էներգիայի ուղղումը հավասար է գրգռման \hat{H}' օպերատորի միջին արժեքին՝

$$E_1^{(1)} = \int \psi_{11}^*(\mathbf{r}_1, \mathbf{r}_2) \hat{H}' \psi_{11}(\mathbf{r}_1, \mathbf{r}_2) d\mathbf{r}_1 d\mathbf{r}_2, \quad (3.7)$$

որտեղ $\psi_{11}(\mathbf{r}_1, \mathbf{r}_2)$ -ը համակարգի հիմնական վիճակի ալիքային ֆունկցիան է զրոյական մոտավորությամբ: Քանի որ $R \gg a_0$, ապա կարելի է հաշվի չառնել էլեկտրոնների նույնականությամբ պայմանավորված փոխանակային փոխազդեցությունը և հիմնական վիճակների ալիքային ֆունկցիան ներկայացնել 1-ին և 2-րդ էլեկտրոնների հիմնական վիճակների ալիքային ֆունկցիաների արտադրյալի տեսքով՝

$$\psi_{11}(\mathbf{r}_1, \mathbf{r}_2) = \psi_1(\mathbf{r}_1)\psi_2(\mathbf{r}_2) : \quad (3.8)$$

(3.7) և (3.8) բանաձևերից հետևում է, որ էներգիայի ուղղումը՝ $E_1^{(1)} = 0$, քանի որ այն համեմատական է ատոմի երկրներային մոմենտի պրոյեկցիաների միջինների արտադրյալին, որոնցից յուրաքանչյուրն ատոմի զնդային համաշափոթյան հետևանքով զրո է՝

$$\langle p_i \rangle = -e\langle x_i \rangle \equiv -e \int_{-\infty}^{\infty} \psi_1^*(\mathbf{r}_1) x_i \psi_1(\mathbf{r}_1) d\mathbf{r}_1 = 0 \quad (i=1,2,3) : \quad (3.9)$$

Գոգումների տեսության երկրորդ մոտավորությամբ հիմնական վիճակի էներգիայի ուղղումը որոշվում է

$$E_1^{(2)} = \sum_{(n)}' \frac{|H'_{1n}|^2}{E_1^{(0)} - E_{(n)}^{(0)}} \quad (3.10)$$

բանաձևով, որտեղ (n) -ը տվյալ վիճակը բնութագրող քվանտային թվերի լրիվ հավաքածում է, գումարում կատարվում է բոլոր վիճակներով՝ բացի հիմնականից, $E_{(n)}^{(0)} = E_{ik}^{(0)}$ -ն երկու գրգռված, չփոխազդող ատոմների համակարգի էներգիան է՝

$$E_{(n)}^{(0)} = \varepsilon_i^{(0)} + \varepsilon_k^{(0)}, \quad (3.11)$$

իսկ

$$\varepsilon_i^{(0)} = -\frac{me^4}{2\hbar^2} \frac{1}{i^2}, \quad i=1, 2, \dots \quad (3.12)$$

ջրածնի ատոմի էներգիան է (i) քվանտային վիճակում:

Փոխազդեցության համիլտոնիանի \hat{H}'_{1n} մատրիցական տարրը հարմար է ներկայացնել հետևյալ տեսքով՝

$$\begin{aligned} \hat{H}'_{1n} &= \int \psi_{11}^*(\mathbf{r}_1, \mathbf{r}_2) \hat{H}' \psi_{(n)}(\mathbf{r}_1, \mathbf{r}_2) d\mathbf{r}_1 d\mathbf{r}_2 = \\ &= \frac{e^2}{R^3} \int \psi_{11}^*(\mathbf{r}_1, \mathbf{r}_2) \omega(\mathbf{r}_1, \mathbf{r}_2) \psi_{ik}(\mathbf{r}_1, \mathbf{r}_2) d\mathbf{r}_1 d\mathbf{r}_2 \equiv \frac{e^2}{R^3} \langle 1, 1 | \omega | i, k \rangle, \end{aligned} \quad (3.13)$$

որտեղ (3.4) արտահայտության համաձայն՝

$$\omega(\mathbf{r}_1, \mathbf{r}_2) = x_1x_2 + y_1y_2 - 2z_1z_2, \quad (3.14)$$

իսկ զրգոված վիճակի ալիքային ֆունկցիան՝

$$\psi_{(n)}(\mathbf{r}_1, \mathbf{r}_2) = \psi_i(\mathbf{r}_1)\psi_k(\mathbf{r}_2); \quad (3.15)$$

Հարկ է նշել, որ (3.13) բանաձևում օգտագործվել է $\omega(\mathbf{r}_1, \mathbf{r}_2)$ օպերատորի մատրիցական տարրի դիրակյան նշանակումը՝

$$\langle 1,1 | \omega | (ik) \rangle \equiv \int \psi_{11}^*(\mathbf{r}_1, \mathbf{r}_2) \omega(\mathbf{r}_1, \mathbf{r}_2) \psi_{ik}(\mathbf{r}_1, \mathbf{r}_2) d\mathbf{r}_1 d\mathbf{r}_2, \quad (3.16)$$

(3.10) արտահայտության էներգիական հայտարարը բացասական է, քանի որ $\varepsilon_i^{(0)} + \varepsilon_k^{(0)} > 2\varepsilon_1^{(0)}$, ինտերաքտ՝ երկու ատոմների փոխազդեցության էներգիան կարելի է ներկայացնել

$$W(R) \equiv E_1^{(2)} = -\frac{W_0}{R^6} \quad (3.17)$$

տեսքով, որտեղ

$$W_0 = e^4 \sum_{i,k} \left| \frac{\langle 1,1 | \omega | i,k \rangle}{2\varepsilon_1^{(0)} - \varepsilon_i^{(0)} - \varepsilon_k^{(0)}} \right|^2 : \quad (3.18)$$

(3.17) արտահայտության համաձայն՝ $R >> a_0$ հեռավորությամբ չեղող ատոմների միջև գործում են ձգողության ուժեր՝ $W(R) < 0$:

Այժմ զնահատենք (3.18) բանաձևով սահմանված W_0 հաստատումը: Օգտվելով (3.12) բանաձևից՝ (3.18) արտահայտության հայտարարի համար կարելի է ստանալ հետևյալ զնահատականը.

$$\left| \frac{3me^4}{4\hbar^2} \right|_{i=2 \atop k=2} \leq \left| 2\varepsilon_1^{(0)} - \varepsilon_i^{(0)} - \varepsilon_k^{(0)} \right| \leq \left| \frac{me^4}{\hbar^2} \right|_{i=\infty \atop k=\infty} :$$

Նշանակում է՝ բոլոր (i,k) -երի համար կարելի է բավարար ճշտությամբ լնումնել, որ

$$\left| 2\varepsilon_1^{(0)} - \varepsilon_i^{(0)} - \varepsilon_k^{(0)} \right| \approx \left| \frac{me^4}{\hbar^2} \right| : \quad (3.19)$$

Նկատի ունենալով (3.19) գնահատականը, ինչպես նաև օգտվելով (3.8), (3.15), (3.16) արտահայտություններից և Ծրոյդինգերի հավասարման լուծումների համակարգի լրիվության պայմանից՝

$$\sum_{\alpha} \Psi_{\alpha}(\mathbf{r}_1) \Psi_{\alpha}^*(\mathbf{r}'_1) = \delta(\mathbf{r}_1 - \mathbf{r}') , \quad (3.20)$$

որտեղ $\delta(\mathbf{r}_1)$ -ը Դիրակի դելտա-ֆունկցիան է, W_0 հաստատոնը կարելի է ներկայացնել հետևյալ տեսքով՝

$$\begin{aligned} W_0 &\approx \frac{\hbar^2}{m} \sum_{i,k} '|\langle 1,1 | \omega | i, k \rangle|^2 = \frac{\hbar^2}{m} \sum_{i,k} '|\langle 1,1 | \omega | i, k \rangle \langle 1,1 | \omega | i, k \rangle^*| = \\ &= \frac{\hbar^2}{m} \sum_{i,k} '|\langle 1,1 | \omega | i, k \rangle \langle i, k | \omega | 1,1 \rangle^*| = \frac{\hbar^2}{m} |\langle 1,1 | \omega | 1,1 \rangle|^2 : \end{aligned} \quad (3.21)$$

Քանի որ հիմնական վիճակում ատոմներն օժտված են գնդային համաչափությամբ, որի հետևանքով

$$\begin{aligned} \langle x_1 \rangle &= \langle x_2 \rangle = \dots = \langle z_2 \rangle = 0, \\ \langle x_1^2 \rangle &= \langle y_1^2 \rangle = \dots = \langle z_2^2 \rangle = \frac{1}{3} \langle r^2 \rangle, \end{aligned} \quad (3.22)$$

ապա

$$\langle 1,1 | \omega | 1,1 \rangle = \langle 1,1 | x_1^2 x_2^2 + y_1^2 y_2^2 + 4z_1^2 z_2^2 | 1,1 \rangle = \frac{2}{3} \langle r^2 \rangle^2 : \quad (3.23)$$

Օգտվելով ջրածնի ատոմի հիմնական վիճակի ալիքային ֆունկցիայի արտահայտությունից՝

$$\psi_1(r) = \frac{1}{\sqrt{\pi a_0^3}} \exp\left(-\frac{r}{a_0}\right), \quad (3.24)$$

$\langle r^2 \rangle$ մեծության համար կստանանք՝

$$\langle r^2 \rangle \equiv \int_0^{\infty} \int_0^{\pi} \int_0^{2\pi} \frac{1}{\pi a_0^3} e^{-\frac{2r}{a_0}} r^4 dr d\phi \sin \theta d\theta = 3a_0^2 : \quad (3.25)$$

(3.18) – (3.20) և (3.25) բանաձևերից հետևում է, որ

$$W_0 \approx \frac{\hbar^2}{m} \frac{2}{3} (3a_0^2)^2 = 6e^2 a_0^5 : \quad (3.26)$$

Ավելի ճշգրիտ հաշվարկների համաձայն՝ $W_0 \approx 6,47e^2 a_0^5$:

Անհրաժեշտ է նշել, որ (3.17) արտահայտությամբ տրվող փանդեր-փառական փոխազդեցությունն իր բնույթով քվանտային երևույթ է, քանի որ դասական սահմանում ($\hbar \rightarrow 0$) $W(R) \rightarrow 0$:

Կամայական չեզոք ատոմների փանդերփառական փոխազդեցության W_0 հաստատունն ընդունված է մոտարկել

$$W_0 \approx \frac{3}{2} \frac{I_a I_b}{I_a + I_b} \alpha_a \alpha_b \quad (3.27)$$

բանաձևով, որտեղ $I_a(I_b)$ -ն $a(b)$ ատոմի իոնացման պոտենցիալն է, $\alpha_a(\alpha_b)$ -ն՝ ատոմի բևեռացվելիությունը:

Եթե փոխազդեցության \hat{H}' համիլտոնիանի (3.2) արտահայտությունն ըստ a_0/R պարամետրի շարքի վերածելիս, բացի $(a_0/R)^3$ -ի կարգի անդամներից, պահպես նաև ավելի բարձր կարգի փոքրերը ($(a_0/R)^4$, $(a_0/R)^5$), ապա փոխազդեցության էներգիայի համար կստացվի հետևյալ արտահայտությունը՝

$$W = -\frac{W_0}{R^6} - \frac{W_1}{R^8} - \frac{W_2}{R^{10}}, \quad (3.28)$$

որտեղ W_1 -ը «երկրենո-քառարենո», իսկ W_2 -ը՝ «քառարենո-քառարենո» փոխազդեցությունների հաստատուններն են:

Վանդերփառական փոխազդեցության հետևանքով չեզոք ատոմների համախմբից առաջանում է մոլեկուլային բյուրեղ: Ինչպես հետևում է (3.17) բանաձևից, R -ի փոքրացմանը զուգընթաց ծզողական փոխազդեցությունն անվերջ աճում է, որն, ի վերջո, կրերի բյուրեղի անվերջ սեղման: Սակայն ծզողության ուժերի հետ մեկտեղ բյուրեղում զործում են զործողության փոքր շառավղով և ատոմների միջև հեռավորության փոքրացմանը զուգընթաց չափազանց արագ աճող վանդեցության ուժեր: Այդ ուժերը մասամբ հետևանք են ատոմների միջուկների և էլեկտրոնային ամպերի էլեկտրատատիկ փոխազդեցության, սակայն իմանական դերը խաղում են քվանտային ծագում ունեցող ուժերը, որոնց գոյությունը հետևանք է Պաուլիի սկզբունքի, համաձայն որի՝ երկու էլեկտրոն չեն կարող լինել միևնույն քվանտային վիճակում: Եթե

ատոմների էլեկտրոնային քաղանքներն սկսում են վերադրվել, մի ատոմի էլեկտրոնները ձգուում են տեղեր զբաղեցնել մյուս ատոմում և հակառակը: Պատվիր սկզբունքը խոշնդրություն է այս ձգումանը, և էլեկտրոնային «ամպեր» կարող են ծածկել իրար միայն այն դեպքում, եթե վերադրումն ուղեկցվում է որոշ էլեկտրոնների՝ ավելի մեծ էներգիաներով քվանտային վիճակներ անցումներով: Այսպիսով՝ էլեկտրոնային քաղանքների վերադրումն ուղեկցվում է համակարգի լրիվ էներգիայի մեծացումով, որը համապատասխանում է վանողության ուժերի ի հայտ գալուն: Այս ուժերը կարելի է հաշվարկել քվանտային մեխանիկայի մեթոդներով: Սակայն հաշվումները հուսալի արդյունքներ չեն տալիս, քանի որ փոխազդեցությանը մասնակցում են մեծ քննութեակտուններ, ուստի ավելի նպատակահարմար է օգտվել փորձառական արտահայտություններից, որոնցով կատարված հաշվարկները լավագույնս համընկնում են փորձի հետ:

§4. Մոլեկուլային քյուրեղի կապի էներգիայի հաշվարկը

Կապի էներգիան տեսականորեն հաշվարկելու համար անհրաժեշտ է ունենալ երկու մասնիկների փոխազդեցության պոտենցիալ էներգիայի համար որոշակի վերլուծական արտահայտություն:

Վանողական փոխազդեցության էներգիան հաճախ ներկայացվում է

$$V(R) = AR^{-m} \quad (4.1)$$

արտահայտությամբ, որտեղ $m > 6$ ամբողջ թիվ է: Տեսական հաշվարկներ կատարելիս հարմար է օգտվել նաև

$$V(R) = \lambda \exp(-R/\rho) \quad (4.2)$$

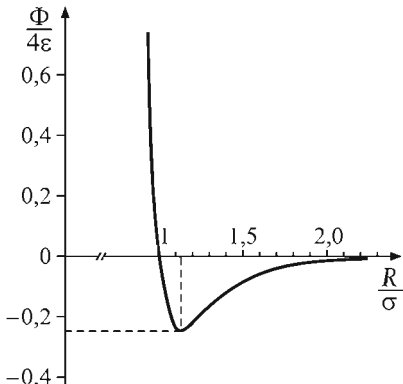
արտահայտությունից, որտեղ ρ -ն փոխազդեցության տիրույթի բնութագրական շառավիղն է:

Երկու չեզոք ատոմների փոխազդեցության պոտենցիալ էներգիայի համար լայնորեն կիրառվում է Լենարդ-Չոնսի կամ «6-12» պոտենցիալ՝

$$\Phi(R) = 4\epsilon \left[\left(\frac{\sigma}{R} \right)^{12} - \left(\frac{\sigma}{R} \right)^6 \right], \quad (4.3)$$

որտեղ ϵ և σ մեծությունները բնութագրում են ատոմները: (4.3) արտահայտության առաջին անդամը նկարագրում է ատոմների միջև վանողության

ուժը, իսկ երկրորդը՝ վանդերվասալյան ձգողությունը: Ե մնջությունը փոխազդեցության էներգիայի նվազագույն արժեքն է (պոտենցիալային փոսի խորությունը), իսկ σ -ն՝ այն հեռավորությունը, որի դեպքում $\Phi(\sigma) = 0$: (4.3) արտահայտության գրաֆիկը պատկերված է նկ. 35-ում:



Նկ. 35. Երկու չեզոք ասումների փոխազդեցության պոտենցիալ էներգիայի գրաֆիկը

Եթե բյուրեղը բաղկացած է N ատոմից, ապա նրա լրիվ պոտենցիալ էներգիան հավասար է բոլոր ասումների գույգերի փոխազդեցության (4.3) էներգիաների գումարին՝

$$U = \frac{1}{2} N \sum_{\mathbf{R} \neq 0} \Phi(\mathbf{R}), \quad (4.4)$$

ըստ որում՝ $1/2$ գործակցի շնորհիվ գումարում ասումների յուրաքանչյուր գույգի փոխազդեցության էներգիան հաշվի է առնվում մեկ անգամ:

(4.4) գումարը հաշվելու համար Բրավեի ցանցի կամայական \mathbf{R} վեկտորի երկարությունը հարմար է արտահայտել ամենամոտ հարեանների միջև R հեռավորության և $\alpha(\mathbf{R})$ չափագործ գործակցի միջոցով՝

$$|\mathbf{R}| = R \alpha(\mathbf{R}): \quad (4.5)$$

Մեկ ատոմին բաժին ընկնող պոտենցիալ էներգիան՝

$$u(R) = \frac{U}{N} = 2\epsilon \left[\sum_{\mathbf{R} \neq 0} \left(\frac{\sigma}{|\mathbf{R}|} \right)^{12} - \sum_{\mathbf{R} \neq 0} \left(\frac{\sigma}{|\mathbf{R}|} \right)^6 \right] = 2\epsilon \left[A_{12} \left(\frac{\sigma}{R} \right)^{12} - A_6 \left(\frac{\sigma}{R} \right)^6 \right], \quad (4.6)$$

որտեղ

$$A_n = \sum_{\mathbf{R} \neq 0} \frac{1}{\alpha^n(\mathbf{R})}; \quad (4.7)$$

A_n հաստատունի արժեքը կախված է n -ից և բյուրեղական կառուցվածքի տեսակից: Ամենամոտ հարեանների համար $\alpha(\mathbf{R}) = 1$, ուստի

$$A_n = z_I + \sum_{\mathbf{R} \neq 0, I} \frac{1}{\alpha^n(\mathbf{R})}, \quad (4.8)$$

որտեղ z_I մեծությունն ատոմների թիվն է և կորդինացիոն խմբում, իսկ գումարումը կատարվում է Π և հաջորդ բոլոր կորդինացիոն խմբերով: Եթե $n \rightarrow \infty$, $A_n \rightarrow z_I$, իսկ եթե $n \rightarrow 0$ նվազում է, A_n գործակիցն աճում է, քանի որ, բացի 1 կորդինացիոն խմբից, գումարի մեջ ներդրում են ունենում նաև մյուս կորդինացիոն խմբերը: Հարկավոր է նաև նշել, որ (4.8) գումարը տարամիտում է, եթե $n \leq 3$:

Ստորև, նկատի ունենալով այն հանգամանքը, որ, բացի հելիումից, բոլոր իներտ տարրերի բյուրեղներն ունեն նիստակենտրոն խորանարդային ցանց, հետագա հաշվարկները կկատարենք այդպիսի ցանցի համար:

Խորանարդային նիստակենտրոն կառուցվածքում $z_I = 12$, $z_{II} = 6$, $\alpha = \sqrt{2}$, ուստի Π կորդինացիոն խմբի ներդրումը կլինի

$$6 \cdot \frac{1}{(\sqrt{2})^{12}} = \frac{6}{64} \approx 0,09375,$$

իսկ III կորդինացիոն խմբին՝ ($z_{III} = 12$, $\alpha = \sqrt{2}$)

$$12 \cdot \frac{1}{2^{12}} = \frac{3}{2^{10}} \approx 0,00293,$$

որոնց օգնությամբ կստանանք՝ $A_{12} = 12,09668$: Շշղրիտ հաշվարկների համաձայն՝ $A_{12} = 12,13188$, $A_6 = 14,445392$: Ինչպես հետևում է թերված թվային տվյալներից, $n = 12$ դեպքում շարքի գումարը քիչ է տարրերվում z_I -ից, սակայն $n = 6$ դեպքում A_6 գործակիցի մեջ զգալի է Π , III և հաջորդ կորդինացիոն խմբերի ներդրումը:

Հավասարակշռության վիճակում համակարգի, հետևաբար՝ նաև մեկ ատոմին բաժին ընկնող, պոտենցիալ էներգիան ամենափոքրն է, ուստի

$$\left(\frac{du}{dR} \right)_{R=R_0} = 0, \quad (4.9)$$

որտեղից (4.6) արտահայտության օգնությամբ հեշտությամբ ստացվում են ամենամոտ հարևանների միջև հավասարակշռական հեռավորության՝

$$R_0 = \sigma \left(\frac{2A_{12}}{A_6} \right)^{1/6} \approx 1,09\sigma \quad (4.10)$$

և պոտենցիալ էներգիայի՝

$$u_0 \equiv u(R_0) = -\frac{A_6^2}{2A_{12}}\varepsilon \approx -8,6\varepsilon \quad (4.11)$$

արտահայտությունները:

Տեսությունը փորձով ստուգելու համար նպատակահարմար է հաշվարկել նաև փորձնականորեն հեշտությամբ չափվող պարամետրեր, որոնցից են, օրինակ, առածզականության իզոբերմային (B_T) և աղիաբատային (B_S) ծավալային մոդուլները: Եթե $T = 0$ Կ, B_T և B_S գործակիցները համընկնում են, ուստի, օգտվելով նաև ջերմադինամիկայի հիմնական հավասարումից հետևող $dU = -PdV$ առնչությունից, որտեղ P -ն ճնշումն է, V -ն՝ համակարգի ծավալը, կստանանք՝

$$B_0 = -V \frac{dP}{dV} = V \frac{d^2U}{dV^2} = v \frac{d^2u}{dv^2}, \quad (4.12)$$

որտեղ $v = V/N$ մեծությունը մեկ ատոմին բաժին ընկնող ծավալն է: Արտահայտենք այն միջմասնիկային R հեռավորության միջոցով: Եթե նիստակենտրոն ցանցի տարրական խորանարդի կողը նշանակենք a -ով, ապա $v = a^3/4 = R^3/\sqrt{2}$, քանի որ $a = \sqrt{2}R$: Նկատի ունենալով ըստ v -ի և ըստ R -ի ածանցյալների միջն

$$\frac{d}{dv} = \frac{d}{dR} \cdot \frac{dR}{dv} = \frac{\sqrt{2}}{3R^2} \frac{d}{dR} \quad (4.13)$$

կապը, ինչպես նաև (4.9) պայմանը՝ առածզականության ծավալային մոդուլի համար $T = 0$ Կ-ում կստանանք հետևյալ արտահայտությունը՝

$$B_0 = \frac{\sqrt{2}}{9R_0} \left(\frac{d^2 u}{dR^2} \right)_{R=R_0} = \frac{4\epsilon}{\sigma^3} A_{12} \left(\frac{A_6}{A_{12}} \right)^{5/2} \approx \frac{75\epsilon}{\sigma^3}; \quad (4.14)$$

Աղյուսակ 15-ում բերված են σ և ϵ բնութագրերով իներտ տարրերի բյուրեղների R_0 , u_0 և B_0 պարամետրերի տեսական և փորձում ստացված արժեքները:

*Աղյուսակ 15.
Իներտ տարրերի բյուրեղների պարամետրերը*

			R_0 , Å		$-\frac{u_0}{\epsilon}$, Վ/ատոմ		B_0 , Պա	
	σ , Å	ϵ , Վ	տես.	փորձ.	տես.	փորձ.	տես.	փորձ.
Ne	2,74	0,0031	2,99	3,13	0,027	0,02	0,181	0,11
Ar	3,40	0,0104	3,71	3,75	0,089	0,08	0,318	0,27
Kr	3,65	0,0140	3,98	3,99	0,120	0,11	0,346	0,35
Xe	3,98	0,0200	4,34	4,33	0,172	0,17	0,381	0,36

Ինչպես երևում է աղյուսակից, R_0 հավասարակշռական հեռավորության տեսական և փորձնական արժեքների համընկնումը բավականաչափ լավ է, ընդ որում ատոմի զանգվածի նվազմանը զուգընթաց փորձնական արժեքն ավելի և ավելի է գերազանցում տեսականը: Այս հաճախանիքը պայմանավորված է ատոմների զրոյական տատանումների ϵ_{0i} կինետիկ էներգիայի առկայությամբ, որը տեսական հաշվարկներում անհնաված է:

Այս էներգիան այնքան ավելի մեծ է, որքան փոքր է մեկ ատոմին բաժին ընկնող ծավալը՝

$$\epsilon_{0i} \sim \frac{\hbar^2}{M_i(\Delta a)^2} \sim \frac{\hbar^2}{M_i R_0^2} \sim \frac{\hbar^2}{M_i v^{2/3}}, \quad (4.15)$$

հետևաբար՝ այն գործում է որպես արլյունարար վաճողության «ուժ», որը մեծացնում է մոտակա հարևանների միջև հեռավորությունը: Համաձայն (4.15) բանաձևի՝ կապի էներգիայի մեջ զրոյական տատանումների ներդրման հաշվառումը հանգեցնում է նրա փոքրացման, քանի որ ϵ_{0i} մեծությունը դրական է և «խարիսում» է կապը, որն առավել զգալի է դառնում փոքր զանգվածների դեպքում:

Ինչ վերաբերում է B_0 գործակցին, ապա դրա տեսականորեն հաշվարկված արժեքների համընկնումը փորձի հետ լավ է բանոնի և կրիպտոնի դեպքում, սակայն արգոնի դեպքում տեսական արժեքը գերազանցում է փորձնականը 20%-ով, իսկ նեռնի դեպքում՝ 60%-ով: Այսպիսի զգալի շեղումները հետևանք են B_0 գործակցի՝ σ պարամետրից ուժեղ կախման (տես (4.14) բանաձևը):

§5. Իռնային կապի տեսությունը

Կապն իռնային բյուրեղներում պայմանավորված է իռնների էլեկտրաստատիկ (կուլոնյան) փոխազդեցությամբ: Բյուրեղային կառուցվածք առաջանում է շնորհիվ այն բանի, որ տարածուն իռնների միջև գործող ճգողության ուժերը գերազանցում են նույնանուն իռնների միջև գործող վաճողության ուժերը: Փոքր հեռավորություններում իռնների միջև ծագում է նաև ոչ կուլոնյան բնույթի վաճողական փոխազդեցություն, որին համապատասխանող էներգիան սովորաբար ներկայացնում են (4.1) կամ (4.2) բանաձևերով: Կարելի է ենթադրել, որ իռնային բյուրեղի դեպքում (4.1) արտահայտության մեջ $m < 12$, քանի որ լրացուցիչ էլեկտրոնի առկայության հետևանքով էլեկտրոնային խսությունը բացասական իրնի մակերևույթի մոտ ավելի փոքր է, քան համապատասխան իներտ տարրի ատոմի մոտ: Օրինակ՝ $C\Gamma$ իրնը և $A\Gamma$ ատոմն ունեն 18 էլեկտրոն, իսկ նրանց ծավալների հարաբերությունը 1,2 է:

Հետագա հաշվարկներում կապի էներգիան որոշելիս կօգտագործենք վաճողական փոխազդեցության էներգիայի՝ Բոռնի և Մայերի առաջարկած (4.2) արտահայտությունը: Նշենք, որ իռնների միջև գործում է նաև վաճներվածյան փոխազդեցությունը, սակայն այն զգալիորեն քոյլ է կուլոնյանից, և դրա ներդրումը կապի էներգիայում կազմում է կուլոնյան փոխազդեցության էներգիայի ընդամենը 1 – 2 %-ը:

Այժմ հաշվենք իռնային բյուրեղի իրնների փոխազդեցության էներգիան: Եթե i և j իրնների փոխազդեցության էներգիան նշանակենք U_{ij} -ով, ապա որևէ իրնի փոխազդեցության էներգիան մնացած իրնների հետ՝

$$U_i = \sum_{i \neq j} U_{ij} : \quad (5.1)$$

Ենթադրենք, որ U_{ij} -ն կարելի է ներկայացնել վաճառղության ուժերի (4.2) պոտունցիալ էներգիայի և կուլոնյան պոտենցիալ էներգիայի գումարի տեսքով՝

$$U_{ij} = \lambda \exp\left(-\frac{R_{ij}}{\rho}\right) \pm \frac{e^2}{R_{ij}}, \quad (5.2)$$

որտեղ R_{ij} -ն հեռավորությունն է, i և j իոնների միջև, $(+)$ նշանը համապատասխանում է նույնանուն, իսկ $(-)$ նշանը՝ տարանուն լիցքերի փոխազդեցությանը: Եթե i իոնը բյուրեղի մակերևութային շերտում չէ, ապա U_i -ի արժեքը կախված չէ նրա դիրքից: Արհամարիելով մակերևութային երևույթները՝ $2N$ իոններից բաղկացած բյուրեղի էներգիայի համար կստանանք՝

$$U = \frac{1}{2} 2NU_i = NU_i, \quad (5.3)$$

որտեղ $1/2$ գործակցի շնորհիվ յուրաքանչյուր իոնային գույզի փոխազդեցություն հաշվի է առնվում մեկ անգամ:

Վաճառղական փոխազդեցության պոտենցիալ էներգիան հեռավորությունը մեծացնելիս նվազում է էքսպոնենտային օրենքով (տես (5.2) բանաձևը), ուստի լրիվ էներգիան հաշվելիս կարելի է սահմանափակվել միայն ամենամուտ հարեւանների վաճառղական փոխազդեցության ներդրումով: (5.1)–(5.3) արտահայտություններից լրիվ էներգիայի համար ստանում ենք՝

$$U = N \left(z \lambda \exp\left(-\frac{R}{\rho}\right) - A \frac{e^2}{R} \right), \quad (5.4)$$

որտեղ z -ն իոնների թիվն է, I կոորդինացիոն խմբում, R -ը՝ ամենամուտ հարեւանների միջև հեռավորությունը,

$$A = \sum_{\mathbf{R} \neq 0} \frac{(\pm 1)}{\alpha(\mathbf{R})} \quad (5.5)$$

մեծությունն անվանում են Մադելունգի հաստատում, իսկ $\alpha(\mathbf{R})$ անչափ գործակիցը տրվում է (4.5) արտահայտությամբ: Մադելունգի հաստատումը իոնային բյուրեղի կարևորագույն բնութագիրն է և կախված է միայն բյուրեղային կառուցվածքի տեսակից (Աղյուսակ 16): Ինչպես հետևում է Աղյուսակ 16-ում բերված տվյալներից, կոորդինացիոն թվի մեծացմանը գուզըն-

բաց A հաստատումն աճում է, այսինքն՝ որքան մեծ է հակառակ նշանի լիցքով հարևանների թիվը, այնքան բացարձակ արժեքով մեծ է ցանցի իտնների էլեկտրաստատիկ փոխազդեցության (Մադելունգի) էներգիան:

Աղյուսակ 16.

Մադելունգի հաստատումի արժեքները

Բյուրեղային կառուցվածք	CsCl-ի կառուցվածք	NaCl-ի կառուցվածք	ZnS (սփակերիտ)	ZnS (վյուրցիտ)
A	1,7626	1,7476	1,6381	1,6413
z	8	6	4	6

Մեկ իոնային գույզին (մոլեկուլին) բաժին ընկնող էներգիան՝

$$u(R) = \frac{U}{N} = z\lambda \exp\left(-\frac{R}{\rho}\right) - A \frac{e^2}{R} : \quad (5.6)$$

Հավասարակշռության վիճակում

$$\left(\frac{du}{dR}\right)_{R_0} = 0,$$

որտեղից հետևում է

$$R_0^2 \exp\left(-\frac{R_0}{\rho}\right) = \frac{\rho A e^2}{z\lambda} \quad (5.7)$$

կապը, որի օգնությամբ (տրված λ և ρ մեծություններով) որոշվում է հավասարակշռական R_0 հեռավորությունը: Կապի էներգիայի հավասարակշռական արժեքը որոշվում է

$$u(R_0) = -\frac{Ae^2}{R_0} \left(1 - \frac{\rho}{R_0}\right) \quad (5.8)$$

արտահայտությամբ: ρ մեծությունը կարելի է գնահատել՝ փորձում չափելով առաձգականության ծավալային մոդուլը, որը $T = 0$ Կ ջերմաստիճանում տրվում է (4.12) բանաձևով: Նկատի ունենալով, որ NaCl-ի կառուցվածքով ցանցի համար մեկ իոնային գույզին բաժին ընկնող ծավալը՝ $v = 2R^3$, (4.6), (4.7) և (4.12) բանաձևերից կստանանք՝

$$B_0 = \frac{Ae^2}{18R_0^4} \left(\frac{R_0}{\rho} - 2\right) : \quad (5.9)$$

Չափումների համաձայն՝ KCl -ի համար $B_0 = 1,97 \cdot 10^{10}$ Պա, $R_0 = 3,14 \cdot 10^{-8}$ սմ, $A \approx 1,75$, հետևաբար՝

$$\frac{R_0}{\rho} = \frac{18B_0 R_0^4}{Ae^2} + 2 \approx 10,4, \quad (5.10)$$

այսինքն՝ վանողական փոխազդեցությունն ի հայտ է գալիս $\rho \approx 0,3 \text{ Å}$ շառավղով տիրույթում: Օգտվելով (5.10) և (5.8) արտահայտություններից՝ կապի էներգիայի համար կստանանք՝

$$u(R_0) = -\frac{Ae^2}{R_0} \left(1 - \frac{\rho}{R_0} \right) = -7,26 \text{ ԷՎ}, \quad (5.11)$$

որը բավականաչափ մոտ է փորձում ստացված $u_0 = -7,397 \text{ ԷՎ}$ արժեքին:

Վանողական փոխազդեցության λ հատատունի համար (5.7) և (5.10) արտահայտություններից $z = 6$ դեպքում ստացվում է

$$\lambda = \frac{A\rho e^2}{zR_0^2} \exp\left(\frac{R_0}{\rho}\right) \approx 4 \cdot 10^3 \text{ ԷՎ}$$

գնահատականը:

Եթե կապի էներգիայի հաշվարկը կատարվի (4.1) բանաձևի համաձայն, ապա (5.11) արտահայտության փոխարեն կստանանք՝

$$u(R_0) = -\frac{Ae^2}{R_0} \left(1 - \frac{1}{m} \right), \quad (5.12)$$

որը հավասարեցնելով $u(R_0) \approx -7,26 \text{ ԷՎ}$ -ի՝ կորոշենք m -ը

$$m = \frac{R_0}{\rho} \approx 10,4 :$$

Ինչպես և սպասվում էր որակական դատողություններից, $m < 12$: Ստացված արդյունքների համաձայն՝ Մադելունգի էներգիան՝ $-Ae^2/R_0$ անդամը, կազմում է (5.8) բանաձևով տրվող կապի էներգիայի հիմնական՝ մոտավորապես 0,9 մասը, ուստի կարևոր է Մադելունգի հաստատունի ճշգրիտ արժեքն իմանալը:

Իոնային ցանցի էլեկտրաստատիկ էներգիան հաշվելու համար անհրաժեշտ է որոշել որևէ իոնի տեղում մյուս բռնը իոնների ստեղծած պոտոններին:

լլ: Հաշվարկների ընթացքում ծագում է վատ զուգամիտող շարքի գումարը որոշելու խնդիր: Օրինակ՝ NaCl -ի կառուցվածքով ցանցի համար, (5.5) բանաձևի համաձայն, Մադելունգի հաստատունը ներկայացվում է

$$A = \frac{6}{\sqrt{1}} - \frac{12}{\sqrt{2}} + \frac{8}{\sqrt{3}} - \frac{6}{\sqrt{4}} + \frac{24}{\sqrt{5}} - \frac{24}{\sqrt{6}} + \frac{12}{\sqrt{8}} - \frac{24}{\sqrt{9}} + \dots \quad (5.13)$$

շարքով, որի գումարը հնարավոր չէ հաշվել անմիջական գումարման միջոցով: (5.13) շարքի գումարը գտնելու համար անհրաժեշտ է լավացնել նրա զուգամիտությունը: Դրան կարելի է հասնել՝ վերախմբավորելով շարքի անդամները, որը համապատասխանում է առանձին իոններից էլեկտրաչեղոք կամքեր կազմելուն, որոնց պոտենցիալները հեռավորությունից կախված շատ ավելի արագ են նվազում, քան լիցքավորված համակարգի պոտենցիալը (Ակ. 36): Մասնավորապես, բյուրեղը կարելի է տրոհել էլեկտրաչեղոք, խորանարդային համաչափությամբ բաշխված լիցքով խորանարդների և հեշտությամբ հաշվել ոչ մեծ թվով իոններ պարունակող յուրաքանչյուր խորանարդի էներգիան: Բյուրեղի էլեկտրաստատիկ էներգիան այդ խորանարդների էներգիաների և դրանց փոխազդեցության էներգիաների գումարն է: Վերջինները նվազում են հակադարձ համեմատական հեռավորության հինգերորդ աստիճանին, և դրանց գումարը տրվում է արագ զուգամիտող շարքի տեսքով, որը $V \rightarrow \infty$ սահմանում կախված չէ գումարման եղանակից:

$$e \bullet \xrightarrow{r} \bullet \quad \phi \sim 1/r, \quad Q = e$$

$$\begin{array}{c} e \bullet \\ \bullet \xrightarrow{r} \bullet \\ -e \bullet \end{array} \quad \phi \sim 1/r^2, \quad Q = e - e = 0$$

$$\begin{array}{ccccc} e & \bullet & -e & & r \\ & \bullet & & \bullet & \\ -e & \bullet & & e & \end{array} \quad \phi \sim 1/r^3, \quad Q = 2e - 2e = 0$$

Ակ. 36. Էլեկտրաստատիկ փոխազդեցության պոտենցիալի վարքը լիցքների տարրեր համակարգերում

Մադելունգի էներգիայի $U(R_0) = -Ae^2/R_0$ արտահայտությունը կիրառելի է AB տիպի միացությունների համար: Ընդհանուր դեպքում A_nB_m տիպի միացության Մադելունգի էներգիան տրվում է

$$u_{el} = -A(n+m) \frac{Z_1 Z_2 e^2}{2R_0} \quad (5.42)$$

բանաձևով, որտեղ $Z_1(Z_2)$ -ը A (B) ատոմի արժեքականությունն է: Տարրական բջջի էլեկտրաչեղոքության պայմանից հետևում է $nZ_1 = mZ_2$ առնչությունը:

Մադելունգի հաստատումը կարելի է հաշվել կամայական ճշտությամբ (տես Հավելված 3), սակայն գործնականում կարելի է սահմանափակվել 10^{-3} -ի ճշտությամբ, քանի որ բյուրեղի լրիվ էներգիայի արտահայտության մեջ ներդրում են ունեն նաև այլ՝ ոչ կուլմյան բնույթի փոխազդեցություններ, որոնք հաշվում են զգալի փորձ ճշտությամբ, քան Մադելունգի էներգիան, և որոնք փոփոխվում են մի նյութից մյուսին անցնելիս:

§6. Կովալենտ կապի տեսությունը

Վանդերվալյան և իոնային կապերի մոտավոր տեսությունները լավագույն ձևով բացատրում են փորձում դիտվող արդյունքները հիմնականում այն պատճառով, որ ատոմներում (մոլեկուլային բյուրեղներ) և իոններում (իոնային բյուրեղներ) էլեկտրոնների փոխասավորությունը բյուրեղ առաջանալիս գործնականորեն մնում է անփոփլիս:

Այլ է իրադրությունը կովալենտ բյուրեղներում, որոնց ատոմներում էլեկտրոնների (հիմնականում արժեքական) բաշխումն էապես տարբերվում է ազատ ատոմում էլեկտրոնների բաշխումից: Այս դասի բյուրեղների կապի էներգիան որոշելիս չի կարելի սահմանափակվել թույլ կամ բոլորովին չճևափոխված ատոմների (իոնների) փոխազդեցության պոտենցիալ էներգիայի հաշվարկով:

Ստորև առաջարկվող կովալենտ կապի տեսության հիմնական նպատակը ոչ թե փորձում դիտվող և տեսության տված արդյունքների համեմատությունն է, այլ որոշակի պայմաններում երկու չեզոք ատոմների միջև կայուն և բավականաշահ ամուր կապի առաջացման բացատրությունը, որը հնարավոր է միայն քվանտային տեսության շրջանակներում:

Զրածնի մոլեկուլում (H_2) ջրածնի ատոմների միջև կայուն կապի առաջանալը քվանտային տեսության շրջանակներում առաջինը բացատրել են Վ. Հայտերը և Ֆ. Լոնդոնը 1927 թ.:

Զրածնի երկու ատոմներից կազմված համակարգի համիլտոնիանը ներկայացնենք (տես §3)

$$\hat{H} = \hat{H}_0 + \hat{H}' \quad (6.1)$$

տեսքով, որտեղ \hat{H}_0 -ն չփոխագրող ատոմների համակարգի համիլտոնիանն է, որի սեփական էներգիան՝

$$E_1^{(0)} = 2\varepsilon_1^{(0)}, \quad (6.2)$$

իսկ ալիքային ֆունկցիան՝

$$\psi_a(\mathbf{r}_1)\psi_b(\mathbf{r}_2): \quad (6.3)$$

(6.2) և (6.3) արտահայտությունները նկարագրում են համակարգի հիմնական վիճակը. $\varepsilon_1^{(0)}$ -ն զրածնի ատոմի հիմնական վիճակի էներգիան է, $\psi_a(\mathbf{r}_1)$ -ը՝ ալիքային ֆունկցիան: \hat{H}' անդամը նկարագրում է զրածնի երկու ատոմների փոխազդեցությունը և տրվում է (3.2) բանաձևով: Հետագա հաշվարկներում ենթադրվում է, որ այդ փոխազդեցությունը քոյլ է, և կարելի է օգտվել գրգռումների տեսության մերողներից: Այս ենթադրությունն ակնհայտորեն խախտվում է, եթե զրածնի ատոմների միջև հեռավորությունը դառնում է թորի շառավղի կարգի և ավելի փոքր՝ $R \leq a_0$, ուստի ստորև ներկայացված արդյունքներն ունեն հիմնականում որակական արժեք:

Երկու փոխազդող ատոմներից բաղկացած համակարգի էներգիան գրգռումների տեսության առաջին մոտավորությամբ կարելի է ներկայացնել

$$E = 2\varepsilon_1^{(0)} + W \quad (6.4)$$

տեսքով, որտեղ փոխազդեցության W էներգիան որոշվում է որպես \hat{H}' օպերատորի միջին արժեք՝ ըստ հիմնական վիճակի ալիքային ֆունկցիայի՝

$$W = \int \psi_0^*(\mathbf{r}_1, \mathbf{r}_2) \hat{H}' \psi_0(\mathbf{r}_1, \mathbf{r}_2) d\mathbf{r}_1 d\mathbf{r}_2 : \quad (6.5)$$

$E_1^{(0)}$ էներգիայով հիմնական վիճակը կրկնակի այլասերված է, քանի որ կան այդ նույն էներգիայով երկու տարրեր վիճակներ, որոնք նկարագրվում են $\psi_a(\mathbf{r}_1)\psi_b(\mathbf{r}_2)$ և $\psi_a(\mathbf{r}_2)\psi_b(\mathbf{r}_1)$ ալիքային ֆունկցիաներով: Ծրյողինգերի հավասարման գծայնության հետևանքով այդ ալիքային ֆունկցիաների

$$\psi_0(\mathbf{r}_1, \mathbf{r}_2) = \alpha \psi_a(\mathbf{r}_1) \psi_b(\mathbf{r}_2) + \beta \psi_a(\mathbf{r}_2) \psi_b(\mathbf{r}_1) \quad (6.6)$$

գծային համակցությունը, որտեղ α -ն և β -ն հաստատում գործակիցներ են, նույնպես բավարարում է Շրյուժինգերի հավասարմանը:

Համաձայն տարրական մասնիկների նույնականության սկզբունքի՝ էլեկտրոնների փոխատեղությունը՝ $\mathbf{r}_1 \rightarrow \mathbf{r}_2, \mathbf{r}_2 \rightarrow \mathbf{r}_1$, չի ազդում հավանականության խտության վրա, այսինքն՝

$$|\psi_0(\mathbf{r}_1, \mathbf{r}_2)|^2 = |\psi_0(\mathbf{r}_2, \mathbf{r}_1)|^2, \quad (6.7)$$

որտեղից էլ հետևում է $\alpha = \pm\beta$ առնչությունը: Այսպիսով՝ համաձայն (6.6) և (6.7) արտահայտությունների՝ հիմնական վիճակի ալիքային ֆունկցիան կարելի է ընտրել երկու ձևով՝

$$\Psi_S(\mathbf{r}_1, \mathbf{r}_2) = \psi_a(\mathbf{r}_1)\psi_b(\mathbf{r}_2) + \psi_a(\mathbf{r}_2)\psi_b(\mathbf{r}_1), \quad (6.8)$$

որը համաշափ է ըստ էլեկտրոնների փոխատեղության՝

$$\Psi_S(\mathbf{r}_1, \mathbf{r}_2) = \psi_S(\mathbf{r}_2, \mathbf{r}_1) \quad (6.9)$$

և

$$\Psi_{AS}(\mathbf{r}_1, \mathbf{r}_2) = \psi_a(\mathbf{r}_1)\psi_b(\mathbf{r}_2) - \psi_a(\mathbf{r}_2)\psi_b(\mathbf{r}_1), \quad (6.10)$$

որը հակահամաշափ է՝

$$\Psi_{AS}(\mathbf{r}_1, \mathbf{r}_2) = -\Psi_{AS}(\mathbf{r}_2, \mathbf{r}_1): \quad (6.11)$$

Հարկ է նշել, որ (6.8) և (6.10) արտահայտությունները գրված են նորմավորման հաստատումի ճշտությամբ:

Երկու էլեկտրոններից կազմված համակարգի երկու սպինային վիճակներին համապատասխանում են հետևյալ սպինային ալիքային ֆունկցիաները.

ա) սիմետր վիճակ. համակարգի լրիվ սպինը՝ $\sigma_1 + \sigma_2 = 0$,

$$\chi_{AS}(\sigma_1, \sigma_2) = -\chi_{AS}(\sigma_2, \sigma_1), \quad (6.12)$$

բ) տրիպլ վիճակ. համակարգի լրիվ սպինը՝ $|\sigma_1 + \sigma_2| = 2|\sigma_1| = 1$,

$$\chi_S(\sigma_1, \sigma_2) = \chi_S(\sigma_2, \sigma_1): \quad (6.13)$$

Համակարգի լրիվ ալիքային ֆունկցիան՝ $\Phi(\mathbf{r}_1\sigma_1; \mathbf{r}_2\sigma_2)$ -ը, պետք է ընտրել այնպես, որ այն բավարարի Պաուլիի սկզբունքից հետևող հակահամաշափության հատկությանը՝

$$\Phi(\mathbf{r}_1\sigma_1; \mathbf{r}_2\sigma_2) = -\Phi(\mathbf{r}_2\sigma_2; \mathbf{r}_1\sigma_1): \quad (6.14)$$

Քանի որ \hat{H}_0 համիլտոնիանը կախված չէ սպինից, ապա լրիվ ալիքային ֆունկցիան կներկայացվի սպինային և կորդինատային ալիքային ֆունկցիաների արտադրյալի տեսքով, ըստ որում՝ սինգլետ վիճակին համապատասխանում է համաչափ, իսկ տրիպլետ վիճակին՝ հակահամաչափ կորդինատային ֆունկցիան:

Այսպիսով՝ ֆոխազդեցության էներգիայի հաշվարկներում սպինային ֆունկցիաներն ուղղակիորեն չեն մասնակցում, սակայն դրանք պարտադրում են (ըստ համաշափության պահանջների) տարբեր սպինային վիճակներին համապատասխան կորդինատային ֆունկցիաների ընտրություն, որի հետևանքով ֆոխազդեցության էներգիան սինգլետ և տրիպլետ վիճակներում, միջաշտումական R հեռավորությունից կախված, փոխվում է տարբեր օրենքներով:

Հաշվարկենք (6.5) բանաձևով տրվող փոխազդեցության էներգիան՝ օգտագործելով նորմավորված ալիքային ֆունկցիաները՝

$$\psi_S(\mathbf{r}_1, \mathbf{r}_2) = \frac{1}{\sqrt{2(1+S^2)}} [\psi_a(\mathbf{r}_1)\psi_b(\mathbf{r}_2) + \psi_a(\mathbf{r}_2)\psi_b(\mathbf{r}_1)], \quad (6.15)$$

$$\psi_{AS}(\mathbf{r}_1, \mathbf{r}_2) = \frac{1}{\sqrt{2(1-S^2)}} [\psi_a(\mathbf{r}_1)\psi_b(\mathbf{r}_2) - \psi_a(\mathbf{r}_2)\psi_b(\mathbf{r}_1)], \quad (6.16)$$

որտեղ

$$\begin{aligned} \psi_a(\mathbf{r}_1) &= (\pi a_0^3)^{-1/2} \exp\left(-\frac{\mathbf{r}_1}{a_0}\right), & \psi_a(\mathbf{r}_2) &= (\pi a_0^3)^{-1/2} \exp\left(-\frac{\mathbf{r}_{2a}}{a_0}\right), \\ \psi_b(\mathbf{r}_2) &= (\pi a_0^3)^{-1/2} \exp\left(-\frac{\mathbf{r}_2}{a_0}\right), & \psi_b(\mathbf{r}_1) &= (\pi a_0^3)^{-1/2} \exp\left(-\frac{\mathbf{r}_{1b}}{a_0}\right), \end{aligned} \quad (6.17)$$

իսկ

$$S = \int \psi_a(\mathbf{r}_1)\psi_b(\mathbf{r}_1) d\mathbf{r}_1 \quad (6.18)$$

մեծությունը «ծածկման» ինտեգրալն է: Ինչպես երևում է նկ. 34-ից, (6.17) բանաձևերում առկա $r_{2a} \equiv |\mathbf{r}_{2a}|$ և $r_{1b} \equiv |\mathbf{r}_{1b}|$ մեծություններն արտահայտվում են $\mathbf{r}_1, \mathbf{r}_2$ փոփոխականների և R պարամետրի միջոցով՝

$$\mathbf{r}_{2a} = \mathbf{r}_2 + \mathbf{R}, \quad \mathbf{r}_{1b} = \mathbf{r}_1 - \mathbf{R}: \quad (6.19)$$

Այնպես վիճակում համակարգի էներգիան՝

$$E_S = 2\varepsilon_1^{(0)} + W_S, \quad (6.20)$$

որտեղ (6.5) բանաձևի համաձայն՝

$$\begin{aligned} W_S &= \int \psi_S(\mathbf{r}_1, \mathbf{r}_2) H' \psi_S(\mathbf{r}_1, \mathbf{r}_2) d\mathbf{r}_1 d\mathbf{r}_2 = \\ &= \frac{1}{2(1+S^2)} \int \{ \psi_a^2(\mathbf{r}_1) H' \psi_b^2(\mathbf{r}_2) + \psi_a^2(\mathbf{r}_2) H' \psi_b^2(\mathbf{r}_1) + \\ &\quad + \psi_a(\mathbf{r}_1) \psi_b(\mathbf{r}_2) H' \psi_a(\mathbf{r}_2) \psi_b(\mathbf{r}_1) + \\ &\quad + \psi_a(\mathbf{r}_2) \psi_b(\mathbf{r}_1) H' \psi_a(\mathbf{r}_1) \psi_b(\mathbf{r}_2) \} d\mathbf{r}_1 d\mathbf{r}_2 : \end{aligned} \quad (6.21)$$

(6.21) արտահայտության II և IV գումարելիներում կատարելով ինտեգրման վտվիխականների վերանշանակում՝ $\mathbf{r}_1 \rightarrow -\mathbf{r}_2$, $\mathbf{r}_2 \rightarrow -\mathbf{r}_1$, կատանանք՝

$$\begin{aligned} W_S &= \frac{1}{1+S^2} \int \{ \psi_a^2(\mathbf{r}_1) H' \psi_b^2(\mathbf{r}_2) + \\ &\quad + \psi_a(\mathbf{r}_1) \psi_b(\mathbf{r}_2) H' \psi_a(\mathbf{r}_2) \psi_b(\mathbf{r}_1) \} d\mathbf{r}_1 d\mathbf{r}_2 \equiv \frac{Q+A}{1+S^2} : \end{aligned} \quad (6.22)$$

Նույն ձևով տրիպլետ վիճակում փոխազդեցության էներգիայի համար կատանանք

$$W_{AS} = \frac{Q-A}{1-S^2} \quad (6.23)$$

արտահայտությունը: (6.22) և (6.23) բանաձևերում Q -ով նշանակված է հետևյալ ինտեգրալը (տես նաև (3.2) արտահայտությունը՝

$$\begin{aligned} Q &= \int \psi_a^2(\mathbf{r}_1) H' \psi_b^2(\mathbf{r}_2) d\mathbf{r}_1 d\mathbf{r}_2 = \\ &= \int \psi_a^2(\mathbf{r}_1) \left(\frac{e^2}{R} + \frac{e^2}{r_{12}} - \frac{e^2}{r_{1b}} - \frac{e^2}{r_{2a}} \right) \psi_b^2(\mathbf{r}_2) d\mathbf{r}_1 d\mathbf{r}_2 = \\ &= \frac{e^2}{R} + \int \psi_a^2(\mathbf{r}_1) \frac{e^2}{r_{12}} \psi_b^2(\mathbf{r}_2) d\mathbf{r}_1 d\mathbf{r}_2 - \int \psi_a^2(\mathbf{r}_1) \frac{e^2}{r_{1b}} d\mathbf{r}_1 - \int \psi_b^2(\mathbf{r}_2) \frac{e^2}{r_{2a}} d\mathbf{r}_2 : \end{aligned} \quad (6.24)$$

I գումարելին a և b միջուկների փոխազդեցության կուլոնյան էներգիան է, II գումարելին՝ երկու էլեկտրոնների, III գումարելին՝ b միջուկի և 1-ին էլեկտրոնի (որը ստեղծում է լիցքի $\rho_a(\mathbf{r}_1) = -e\psi_a^2(\mathbf{r}_1)$ խտություն) և IV գումարելին՝ a միջուկի և 2-րդ էլեկտրոնի ($\rho_b(\mathbf{r}_2) = -e\psi_b^2(\mathbf{r}_2)$) փոխազդեցության կուլոնյան էներգիաները: Ակնհայտ է, որ III և IV գումարելիներն իրար հավասար են: (6.24) արտահայտությամբ որոշվող Q ինտեգրալը կրում է «կուլոնյան փոխազդեցության ինտեգրալ» անվանումը և ունի դասական իմաստ: (6.24) ինտեգրալում տեղադրելով (6.17) բանաձևերով տրվող ալիքային ֆունկցիաները և հաշվելով ինտեգրալները՝ Q մեծության համար կստանանք

$$Q = \frac{e^2}{R} \exp\left(-\frac{2R}{a_0}\right) \left[1 + \frac{5}{8} \frac{R}{a_0} - \frac{3}{4} \left(\frac{R}{a_0}\right)^2 - \frac{1}{6} \left(\frac{R}{a_0}\right)^3 \right] \quad (6.25)$$

արտահայտությունը:

(6.22) և (6.23) բանաձևերում A -ով նշանակված է այսպես կոչված փոխանակային էներգիան՝

$$\begin{aligned} A &= \int \psi_a(\mathbf{r}_1) \psi_b(\mathbf{r}_2) H' \psi_a(\mathbf{r}_2) \psi_b(\mathbf{r}_1) d\mathbf{r}_1 d\mathbf{r}_2 = \\ &= \int \psi_a(\mathbf{r}_1) \psi_b(\mathbf{r}_2) \left(\frac{e^2}{R} + \frac{e^2}{r_{12}} - \frac{e^2}{r_{1b}} - \frac{e^2}{r_{2a}} \right) \psi_a(\mathbf{r}_2) \psi_b(\mathbf{r}_1) d\mathbf{r}_1 d\mathbf{r}_2 = \\ &= \frac{e^2}{R} S^2 + \int \psi_a(\mathbf{r}_1) \psi_b(\mathbf{r}_2) \frac{e^2}{r_{12}} \psi_a(\mathbf{r}_2) \psi_b(\mathbf{r}_1) d\mathbf{r}_1 d\mathbf{r}_2 - \\ &\quad - S \int \psi_a(\mathbf{r}_1) \frac{e^2}{r_{1b}} \psi_b(\mathbf{r}_1) d\mathbf{r}_1 - S \int \psi_b(\mathbf{r}_2) \frac{e^2}{r_{2a}} \psi_a(\mathbf{r}_2) d\mathbf{r}_2 : \end{aligned} \quad (6.26)$$

(6.26) արտահայտության III և IV գումարելիները հավասար են:

Փոխանակային էներգիան համապատասխանում է էլեկտրոնների և միջուկների միջև գործող կուլոնյան փոխազդեցության այն մասին, որը պայմանափորված է էլեկտրոնների շարժումների միջև ծագող փոխադարձ կռուլյացիայով, որը հետևանք է Պաուլիի սկզբունքից բխող քվանտային փոխազդեցության:

Փոխանակային էներգիայի հաշվարկը կապված է զգալի մաքեմա-տիկական դժվարությունների հետ: Այն տրվում է հետևյալ արտահայտությամբ՝

$$A = \frac{e^2}{R} \left\{ S^2 \left[1 + \frac{6}{5} \left(C + \ln \frac{R}{a_0} \right) \right] - \frac{R}{a_0} \exp \left(-\frac{2R}{a_0} \right) \left[\frac{11}{8} + \frac{103}{20} \frac{R}{a_0} + \frac{49}{15} \left(\frac{R}{a_0} \right)^2 + \frac{11}{15} \left(\frac{R}{a_0} \right)^3 \right] - \frac{6M}{5} \left[M E_1 \left(\frac{4R}{a_0} \right) - 2S E_1 \left(\frac{2R}{a_0} \right) \right] \right\}, \quad (6.27)$$

որտեղ

$$S = \exp \left(-\frac{R}{a_0} \right) \left[1 + \frac{R}{a_0} + \frac{1}{3} \left(\frac{R}{a_0} \right)^2 \right], \quad M = S(R \rightarrow -R), \quad (6.28)$$

C -ն Էյլերի հաստատումն է ($C \approx 0,57722$), իսկ

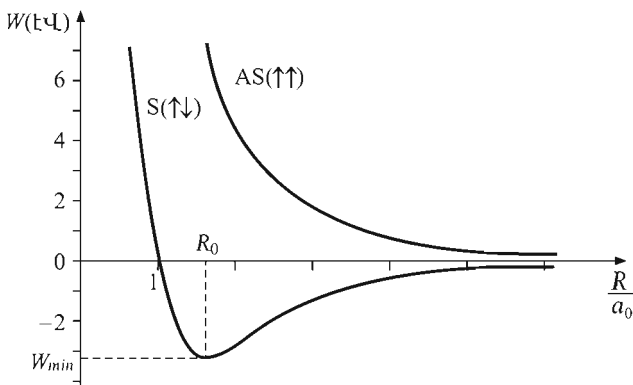
$$E_1(x) = \int_x^\infty \frac{e^{-\xi}}{\xi} d\xi \quad (6.29)$$

ֆունկցիան ինտեգրալային էքսպոնենտն է:

Նկ. 37-ում պատկերված է ջրածնի երկու ատոմների փոխազդեցության էներգիայի կախումը միջատումային R հեռավորությունից սինգլետ (S) և տրիպլետ (AS) վիճակների համար:

Սինգլետ՝ $S(\uparrow\downarrow)$ վիճակում փոխազդեցության էներգիան $R_0 = 1,5a_0 \approx \approx 0,8 \text{ \AA}$ կետում ունի նվազագույն արժեք՝ $W_{\min} = -3,2 \text{ kJ}$, և հեռավորության հետագա փոքրացմանը զուգընթաց կտրուկ աճում է:

Տրիպլետ՝ $AS(\uparrow\uparrow)$ վիճակում փոխազդեցության էներգիան R հեռավորությունը փոքրացնելիս աճում է մոնուռն, որը համապատասխանում է ատոմների միջև գործող վանդորթյան ուժերին: Փորձում ջրածնի նոլեկուլի կապի էներգիայի ($|W_{\min}|$) և հավասարակշռական R_0 հեռավորության համար ստացվել են հետևյալ արժեքները՝ $|W_{\min}|_{ex} \approx 4,5 \text{ kJ}$, $R_0^{ex} \approx 0,74 \text{ \AA}$:



Նկ. 37. Զրածնի երկու ատոմների փոխազդեցության էներգիայի կախումը միջատոմային հեռավորությունից համաշափ (S) և հակահամաշափ (AS) վիճակներում

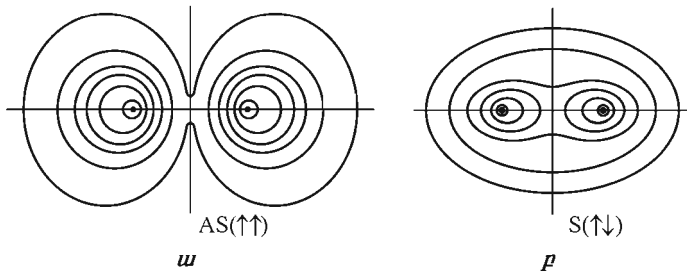
Տեսության ոչ բավարար համընկնումը փորձի հետ հասկանալի է, քանի որ գրգռումների տեսությունը կիրառելի է $R \gg R_0$, բայց ոչ $R \leq R_0$ հեռավորությունների դեպքում, սակայն այն որակապես ճիշտ է նկարագրում զրածնի երկու ատոմների միջև փոխազդեցության առանձնահատկությունները:

Կովալենտ կապի էներգիայի արժեքները մի քանի ատոմների գույգերի համար բերված են Աղյուսակ 17-ում:

**Աղյուսակ 17.
Կովալենտ կապի էներգիաներ**

Զույգեր	Կապի էներգիա, էՎ.	Զույգեր	Կապի էներգիա, էՎ
H–H	4,5	P–P	2,2
C–C	3,6	O–O	1,4
Si–Si	1,8	Te–Te	1,4
Ge–Ge	1,6	Cl–Cl	2,5

Այսպիսով՝ կապի առաջացումը զրածնի ատոմների միջև սինգլետ վիճակում և նրանց փոխադարձ վանումը տրիպլետ վիճակում պայմանավորված են այդ վիճակներում էլեկտրոնների շարժման կոռելյացիայի տարբեր բնույթով: Նշված կոռելյացիան հետևանք է էլեկտրոնների սպիների փոխադարձ դիրքորոշման և պայմանավորված չէ էլեկտրոնների մագնիսական նոմենտների փոխազդեցությամբ, որը $\mu_B^2/R_0^3 \sim 10^{-4}$ էՎ-ի կարգի մեծություն է:



Նկ. 38. Հաստատուն էլեկտրոնային խտության գծերը. ա. հակահամաշափ (AS), բ. համաշափ (S) վիճակներում

Մինզետ և տրիպլետ վիճակներում փոխազդեցության բնույթի տարրերությունը կարելի է հասկանալ՝ ուսումնասիրելով համապատասխան կոռորդինատային ֆունկցիաների վարքը (նկ. 38): Տրիպլետ վիճակին համապատասխանող (6.16) $\Psi_{AS}(\mathbf{r}_1, \mathbf{r}_2)$ ֆունկցիան ունի հանգույց միջուկները միացնող ուղղին ուղղահայց և այն կիսող հարթության մեջ՝ $\Psi_{AS}(\mathbf{r}_1, \mathbf{r}_2) = 0$ կամ $\Psi_a(\mathbf{r}_1)\Psi_b(\mathbf{r}_2) = \Psi_a(\mathbf{r}_2)\Psi_b(\mathbf{r}_1)$: Ընդհակառակը, սինզետ վիճակի $\Psi_S(\mathbf{r}_1, \mathbf{r}_2)$ ֆունկցիան այդ հարթության մեջ ունի առավելագույն արժեք, ինտևաբար՝ էլեկտրոնների՝ միջուկների միջև տեղայնացման հավանականությունը մեծ է: Էլեկտրոնների և միջուկների միջև գործող ձգողական ուժերն էլ հենց քերում են կապված վիճակի առաջացման: Նկ. 38-ում պատկերված են մինչև յուն էլեկտրոնային խտության գծերը: ա. դեպքում լիցքի խտությունն ատոմների միջև ունի նվազագույն արժեք, բացասական լիցքը հիմնականում տեղայնացված է առանձին միջուկների մոտ, իսկ բ. դեպքում էլեկտրոնային ամպերը միանում են իրար՝ ստեղծելով մեկ միասնական էլեկտրոնային ամպ, որը «պարուրում է» երկու միջուկները:

Կապի առաջացումը կարելի է հեշտությամբ բացատրել նաև անորոշությունների առնչության օգնությամբ: Իրոք, եթե էլեկտրոնը մի միջուկի մոտ է, և նրա կոռորդինատի անորոշությունն ատոմի չափերի կարգի է, ապա նրա իմպուլսի անորոշությունը կլինի $\Delta p \sim \hbar/a$, իսկ էներգիայի անորոշությունը՝ $\Delta E \sim \hbar^2/ma^2$ կարգի: Եթե էլեկտրոնը երկու միջուկների մոտ է, ապա նրա կոռորդինատի անորոշությունը՝ $b > a$, ինտևաբար՝ $\Delta p' \sim \hbar/b < \hbar/a$ և $\Delta E' \sim \hbar^2/m b^2 < \Delta E$, այսինքն՝ էլեկտրոնի կինետիկ էներգիան ավելի փոքր է, քան առաջին դեպքում: Եթե կինետիկ էներգիայի նվազումը գերազանցում է կուլոնյան վանդությամբ պայմանավորված պոտենցիալ էներգիայի աճը,

ապա համակարգի լրիվ էներգիան կփոքրանա, որն էլ համապատասխանում է ձգողության առաջացմանը:

Կովալենտ կապի կարևոր հատկությունը նրա հագեցվածությունն է, այսինքն՝ տվյալ կապի մեջ կարող է մասնակցել միայն երկու էլեկտրոն: Այսպես, օրինակ, եթե ջրածնի մոլեկուլին մոտեցվում է ջրածնի երրորդ ատոմը, ապա փոխազդեցության էներգիան փոփոխվում է միայն դասական կուպոնյան էներգիայի հաշվին, իսկ փոխանակային փոխազդեցություն չի առաջանում, ինտևաբար ջրածնի երրորդ ատոմը կվանվի մոլեկուլից:

Կովալենտ կապի մյուս կարևոր հատկությունը նրա տարածական ուղղորդվածությունն է: Սա հետևանք է այն բանի, որ արժեքական էլեկտրոնների ստեղծած արդյունարար էլեկտրոնային ամպճ ընդհանուր դեպքում օժտված չէ գնդային համաշափոքյամբ, այլ ճգված է որոշակի ուղղորդվուներով: Մյուս կողմից, կապի առաջացման համար անհրաժեշտ է փոխազդող ատոմների էլեկտրոնային ամպերի վերադրում, որի հետևանքով էլ կապվող ատոմները կողմնորոշված են միմյանց նկատմամբ որոշակի ձևով:

Կովալենտ կապի տարածական ուղղորդվածությունը խոչներություն է ատոմների՝ իրար նկատմամբ տեղափոխությանը (սահրին), որի հետևանքով կովալենտ բյուրեղները կոշտ են, ունեն մեծ ամրություն, բայց միաժամանակ և փխրուն են:

Միջատումական հեռավորության մեծացմանը գուգընթաց կովալենտ փոխազդեցության ուժերը նվազում են էքսպոնենտային օրենքով (տես (6.25), (6.27)–(6.29) բանաձևերը):

§7. Մետաղական կապի տեսությունը

Մետաղական կապն իր բնույթով շատ ավելի բարդ է, քան կապի մյուս տեսակները: Պարզենք, թե ինչպես է այն առաջանում:

Իրարից մեծ՝ $R >> a_0$ հեռավորությամբ ատոմների միջև գործում են վանդերվաալյան ձգողության ուժեր, որոնց ազդեցությամբ ատոմներն իրար են մոտենում: Եթե $R \geq a_0$, ատոմների էլեկտրոնային քաղանքները վերադրվում են: Պառուի սկզբունքի համաձայն՝ որոշ էլեկտրոններ ստիպված անցնում են մեծ էներգիաներով վիճակներ, ընդ որում համեմատաբար քոյլ կապված արժեքական էլեկտրոնները «պոկվում» են ատոմից, և առաջանում են ազատ էլեկտրոններ և դրական իոններ: Իննացման հետևանքով զգալիորեն մեծանում է պոկված էլեկտրոնի կորողինատի անորոշությունը, ուստի զգալիորեն փոքրանում են նրա իմաստը ու էներգիան: Ատոմներից պոկված և

ընդհանրացված էլեկտրոնների միջին էներգիան, ուստի և բոլոր էլեկտրոններից և իոններից կազմված համակարգի լրիվ էներգիան փոքրանում է չեղոք ատոմներից կազմված համակարգի էներգիայի համեմատությամբ, որն էլ ի վերջո, հաճագեցնում է կապի առաջացման:

Մետաղական կապի առաջացումը որակապես կարելի է բացատրել պարզագույն մոդելի շրջանակներում, որի համաձայն՝ մետաղն իրենից ներկայացնում է դրական կետային իոններից կազմված տարածական ցանց, որն «ընկողմված» է էլեկտրոնային գազում:

Համակարգի լրիվ էներգիան բաղկացած է էլեկտրոնների և իոնների կուլոնյան փոխազդեցության էներգիայից և էլեկտրոնների շարժման կինետիկ էներգիայից, որը $T = 0$ Կ ջերմաստիճանում բացառապես պայմանավորված է Պաուլի սկզբունքով:

Էլեկտրոնների և իոնների կուլոնյան փոխազդեցության էներգիան կարելի է ներկայացնել

$$E_{el} = -A^* \frac{z^2 e^2}{R} N \quad (7.1)$$

արտահայտությամբ, որտեղ z -ն իոնի արժեքականությունն է, R -ը՝ երկու մոտակա իոնների միջև հեռավորությունը, N -ը՝ իոնների թիվը, իսկ A^* գործակիցը Մարելունգի հաստատունի նմանակն է:

Վիճակագրական ֆիզիկայից հայտնի է, որ էլեկտրոնային գազի միջին կինետիկ էներգիան $T = 0$ Կ ջերմաստիճանում տրվում է

$$E_{kin} = \frac{3}{5} (3\pi^2)^{2/3} \frac{\hbar^2}{2m} \left(\frac{N_e}{V} \right)^{2/3} N_e \quad (7.2)$$

արտահայտությամբ, որտեղ N_e -ն էլեկտրոնների թիվն է, իսկ V -ն՝ համակարգի (մոտակի) ծավալը: Մետաղի էլեկտրաչեղոքության պայմանից հետևում է, որ $N_e = zN$:

Եթե տարրական բջիջը պարունակում է մեկ իոն, ապա նրան բաժին ընկնող լրիվ էներգիան՝

$$u(R) = \frac{1}{N} (E_{el} + E_{kin}) = -A^* \frac{z^2 e^2}{R} + \frac{3}{5} (3\pi^2)^{2/3} \frac{\hbar^2 z^{5/3}}{2m} n^{2/3}, \quad (7.3)$$

որտեղ n -ն իոնների խտությունն է: Վերջինս և մոտակա իոնների միջև R հեռավորությունը կապված են

$$n = \beta R^{-3} \quad (7.4)$$

առնչությամբ, իսկ β քվային գործակցի արժեքը որոշվում է տարրական բջիջի երկրաչափական բնութագրերով: Ընտրենք որպես տարրական բջիջ վիզոներ-Ձելյոցի բջիջը, որն, իր հերթին, մոտարկենք $R/2$ շառավղով զնդով: Եթե (7.4) առնչությունը ներկայացնենք՝

$$n = \frac{N}{V} = \frac{1}{V/N} = \frac{6}{\pi} R^{-3} \quad (7.5)$$

տեսքով, ապա β գործակցի համար կստանանք հետևյալ արժեքը՝

$$\beta = \frac{6}{\pi}: \quad (7.6)$$

Այս մոտավորության շրջանակներում մեծ ճշտությամբ կարելի է ծավալակենտրոն, նիստակենտրոն խորանարդային, ինչպես նաև խիտ դարսվածքով վեցանկյունային կառուցվածքների համար (7.1) բանաձևում ընդունել $A^* = 1,8$:

(7.2), (7.4) և (7.6) արտահայտությունների միջոցով $u(R)$ էներգիան կարելի է ներկայացնել

$$u(R) = -\frac{a}{R} + \frac{b}{R^2} \quad (7.7)$$

տեսքով, որտեղ

$$a = A^* z^2 e^2, \quad b = \frac{3}{5} (3\pi^2)^{2/3} \frac{\hbar^2 z^{5/3}}{2m} \beta^{2/3}: \quad (7.8)$$

(7.7) արտահայտության II գումարելին վանողության ուժերի ներդրումն է:

$u(R)$ էներգիան ունի նվազագույն արժեք հավասարակշռական R_0 հեռավորության համար, որը որոշվում է

$$\left(\frac{du}{dR} \right)_{R=R_0} = 0 \quad (7.9)$$

պայմանից և արտահայտվում է a ու b հաստատունների միջոցով՝

$$R_0 = \frac{2b}{a} = \frac{3(18\pi)^{2/3}}{5A^* z^{1/3}} a_0 \approx \frac{2,6}{z^{1/3}} \text{ Å}, \quad (7.10)$$

որը ցանցի հաստատումի կարգի մեծություն է: Մեկ բջջին բաժին ընկնող հավասարակշռական էներգիայի համար (7.7) և (7.10) արտահայտություններից կստանանք՝

$$u_0 \equiv u(R_0) = -\frac{a^2}{4b} = -\frac{5A^{*2}z^{7/3}}{3(18\pi)^{2/3}} Ry, \quad (7.11)$$

որտեղ $Ry = me^4/2\hbar^2 \approx 13,6$ էՎ: $z = 1$ դեպքում $u_0 \approx -5$ էՎ:

(7.7), (7.9) – (7.11) բանաձևերի օգնությամբ (4.12) սահմանումից կարելի է ստանալ սեղմման առաձգական մոդուլի արտահայտությունը՝

$$B_0 = v \frac{d^2 u(R)}{dv^2} = v \frac{d^2 u(R)}{dR^2} \left(\frac{dR}{dv} \right)^2 = \frac{2 |u_0|}{9 v_0} = \frac{a^5}{24\pi b^4}, \quad (7.12)$$

որտեղ v_0 -ն տարրական բջջի ծավալն է հավասարակշռական վիճակում և (7.5) բանաձևի համաձայն՝ հավասար է $\pi R_0^3/6$:

Թվային գնահատումների համաձայն՝ $B_0 \approx 10^{10}$ Պա, որը, ինչպես և R_0 և u_0 մեծությունների համար ստացված արժեքները, բավական մոտ է փորձում դիտվող արժեքներին:

Քննարկված մոդելն ունի բացահայտ որակական թերություն, քանի որ հավասարակշռական R_0 հեռավորությունը կախված չէ կոնկրետ մետաղի բնութագրերից: Համաձայն (7.10) բանաձևի՝ այն նույն արժեքն ունի միևնույն արժեքականությամբ բոլոր մետաղների համար: Այս թերությունը հետևանք է կետային իրնների մոտավորության և հանգեցնում է երկու հիմնական գործողների անտեսման:

1. Քանի որ իրններն ունեն վերջավոր ծավալ, ապա իրական էլեկտրոնային խտորդյունը՝

$$n_e = \frac{N_e}{V - V_i} = \frac{N_e}{V - v_i N} = \frac{n_{e0}}{1 - v_i/v_0} = \frac{n_{e0}}{1 - (R_i/R_a)^3} > n_{e0}, \quad (7.13)$$

որտեղ R_i -ն իրնի շառավիղն է, n_{e0} -ն՝ տեսության մեջ օգտագործված էլեկտրոնային խտորդյունը ($R_i = 0$ դեպք), $R_a = R/2$: $n_e > n_{e0}$ անհավասարությունը բերում է էլեկտրոնների կիսետիկ էներգիայի մեծացման և ցանցի հաստատումի աճին: (7.13) առնչության համաձայն՝ n_e իրական էլեկտրոնային խտորդյունը կախված է նյութի տեսակից իրնի շառավիղի միջոցով:

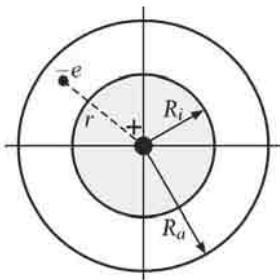
2. Իոնների վերջավոր չափերի պատճառով էլեկտրոնները չեն կարող քսիանցել իոնների գրադիցրած տիրույթները, ուստի միջին հաշվով ավելի հեռու կլինեն իոնի կենտրոնից, քան կետային իոնի դեպքում, որն էլ հանգեցնում է կուրոնյան էներգիայի բացարձակ արժեքի փոքրացման: Իրոք, եթե էլեկտրոնը $R_i < R_a$ շառավիղներով գների միջև է (նկ. 39), ապա կուրոնյան փոխազդեցության էներգիայի մեծության միջինը՝

$$\bar{e} = \left(\frac{e^2}{r} \right)_{av} = \frac{\frac{e^2}{R_2} \int_r^{R_2} \frac{1}{4\pi r^2} dr}{\frac{4\pi}{3} (R_a^3 - R_i^3)} = \frac{3e^2}{2R_a} \left[1 + \frac{(R_i/R_a)^2}{1 + R_i/R_a} \right]^{-1}: \quad (7.14)$$

Այս գիտական համաձայն՝

$$\bar{e}(R_i = 0) > \bar{e}(R_i \neq 0): \quad (7.15)$$

Այսպիսով՝ նշված երկու գործոններն էլ իոնի շառավիղի մեծացմանը զուգընթաց հանգեցնում են ցանցի հաստատության մեծացման, որն, իրոք, համապատասխանում է փոքրությունունակ արդյունքներին:



Նկ. 39. Իոնի վերջավոր չափերի հաշվառումը

Իրականում մետաղի կապի էներգիայի մեջ վերը նշված երկու հիմնական ներդրումներից բացի՝ զգայի ներդրում ունեն նաև մի շարք այլ փոխազդեցություններ (փոխանակային, կռուկյացիոն և այլն): Մասնավորապես, ցանցի փոքր հաստատությունը ունեցող բյուրեղներում, օրինակ՝ ազնիկ մետաղներում (Cu, Ag, Au), ինչպես նաև անցումային մետաղներում (Mo, W, Re) եւկանակ դեպքում իոնների չընդունակ բաղանքների էլեկտրոնների միջև փոխազդեցությունը, որն իր բնույթով մոտ է կովալենտայինին (տես Աղյուսակ 13): Մյուս կտրմից, առաջին խմբի մետաղներում, որոնք

ունեն ցանցի համեմատաբար մեծ հաստատուններ, նշված փոխազդեցությունը գործնականորեն բացակայում է:

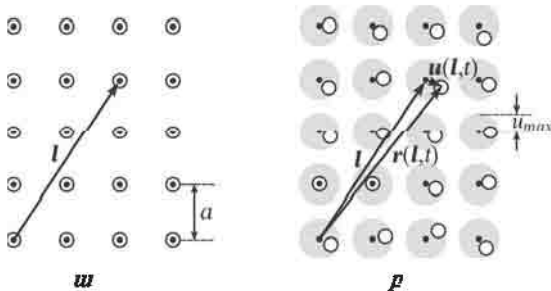
Մետաղական կապճ ապահովող էլեկտրաստատիկ ուժերի բնույթով են պայմանավորված մետաղների առաձգական և ալլաստիկ հատկությունները։ Քանի որ էլեկտրաստատիկ ուժերն ուղղորդված չեն, ապա իրները կարող են համեմատաբար հեշտությամբ մի տեղից մյուսը տեղափոխվել, եթե դրան չեն խոչընդոտում իրնի սեփական չափերը։ Կապի էներգիան հիմնականում կախված է իրների դարսման խտությունից, ուստի համակարգը հեշտությամբ հարմարվում է ցանցի կանոնավոր կառուցվածքի տեղային խախտումներին, որի հետևանքով մետաղներում պլաստիկությունն առավել ցայտուն է դրսելով։

ԲՅՈՒՐԵՂԱՅԻՆ ՑԱՆՑԻ ԴԻՆԱՍԻԿԱՆ

§1. Ներդաշնակ մոտուավորություն

Բյուրեղային կառուցվածքներն ուստամբաժիրելիս ենթադրվում է, որ ասոմները (իոնները) անշարժ ամրացված են բյուրեղական ցանցի հանգույցներում (տարածական ցանցի ատատիկ մոդիլ. նկ. 40. ա): Այս ենթադրությունն իրականում շատ արևետական է, քանի որ կանայական ջերմաստիճանում, ներառյալ $T = 0$ Կ, ասոմները կատարում են տատանողական շարժում:

Իրականության ավելի մոտ է հետևյալ ենթադրությունը՝ յուրաքանչյուր ասոմի հավասարակշռության դիրք համընկնում է Բրավիի ցանցի որևէ հանգույցի հետ (նկ. 40. բ. Բրավիի ցանցի հանգույցները նշված են սև կետերով):



Նկ. 40. Տարածական ցանցի ա. ատատիկ և
բ. դինամիկ մոդելների պինդատիկ պատկերումը

Այս ենթադրությունը հնարավորություն է տալիս բացատրելու պինդ մարմինների բյուրեղային կառուցվածքը և հավասարազոր է այն պնդմանը, որ, չնայած ասոմների շարժմանը, պինդ մարմնում պահպանվում է Բրավիի ցանցը, որը սակայն նկարագրում է ասոմների ոչ թե ակներարրային, այլ միջինացված դիրքերը: Այսպիսով՝ կարելի է միարժեքորեն որոշել ամեն մի ատոմի դիրքը՝ տալով Բրավիի ցանցի I հանգույցը, որի շուրջ ասոմը կատարում է տատանումներ: Ասոմի ակներարրային դիրքը նկարագրող $r(I,t)$ վեկտորը կարելի է ներկայացնել:

$$\mathbf{r}(\mathbf{l}, t) = \mathbf{l} + \mathbf{u}(\mathbf{l}, t) \quad (1.1)$$

առնչությամբ, որտեղ $\mathbf{u}(\mathbf{l}, t)$ վեկտորն \mathbf{l} հաճգույցի ատոմի շեղումն է իր հավասարակշռության դիրքից t պահին (նկ. 40. ը): $\mathbf{u}(\mathbf{l}, t)$ շեղման ժամանակային միջինը տատանումների մեկ պարբերության համար՝

$$\langle \mathbf{u}(\mathbf{l}, t) \rangle = 0 : \quad (1.2)$$

Բարդ (քազիտով) բյուրեղային ցանցի դիպում (1.1) առնչության փոխարեն ատոմի ակնքարթային դիրքը որոշվում է

$$\mathbf{r}_j(\mathbf{l}, t) = \mathbf{l} + \mathbf{d}_j + \mathbf{u}(\mathbf{l}, t) \quad (1.3)$$

արտահայտությամբ, որտեղ \mathbf{d}_j վեկտորով տրվում է j -րդ ատոմի հավասարակշռության դիրքը տարրական քջում:

Հիմնալեռվ քազմաքիվ փորձառական փաստերի վրա՝ կարելի է անել ևս մի ենթադրություն, որի համաձայն՝ յուրաքանչյուր ատոմի առավելագույն շեղումն իր հավասարակշռության դիրքից շատ փոքր է միջատոմային հեռավորությունից (ցանցի հաստատումից):

$$|\mathbf{u}(\mathbf{l}, t)| \leq u_{\max} \ll a : \quad (1.4)$$

Այս ենթադրության շնորհիվ բյուրեղային ցանցի դինամիկայի հիմնական խնդիրը բերվում է մեծ թվով ազատության աստիճաններով մեխանիկական համակարգի փոքր տատանումների ուսումնասիրությանը:

Եթե բյուրեղային ցանցի պոտենցիալ էներգիան, որը ցանցը կազմող ատոմների կորդինատների ֆունկցիա է, վերածենք շարքի ըստ հավասարակշռության դիրքերից փոքր $\mathbf{u}(\mathbf{l}, t)$ շեղումների և անտեսենք քառակուսային անդամին հաջորդը մյուս անդամները, ապա կստանանք պոտենցիալ էներգիայի արտահայտությունն այսպես կոչված ներդաշնակ (հարմոնիկ) մոտավորությամբ: Այս մոտավորության շրջանակներում ստացվում են քազմաքիվ քանակական արյունություն, որոնք լավագույնն համընկնում են փորձի հետ:

Բնականարար, ներդաշնակ մոտավորությունն ի վիճակի չէ բացատրել մի շարք ֆիզիկական երևույթներ, որոնցում սկզբունքային նշանակություն ունի ցանցի պոտենցիալ էներգիայի վերլուծության մեջ շեղման խորանարդային և ավելի բարձր կարգի անդամների հաշվառումը: Դրանց թվին են պատկանում ջերմային ընդարձակման երևույթը, ջերմահարդարականության

գործակցի վերջավոր լինելը, առաձգական հաստատումների՝ փորձում դիտվող ջերմաստիճանային կախումները և այլն:

Գործնականում (1.4) պայմանը խախտվում է միայն պինդ հելիումի դեպքում, որը նկարագրելու համար ստեղծվել է առանձին տեսություն:

Հետազա ուսումնասիրությունների ժամանակ ենթադրվում է, որ բյուրեղային ցանցը կարելի է նկարագրել դասական մեխանիկայի շրջանակներում: Այս ենթադրությունը լիովին հիմնավորված է բարձր ջերմաստիճաններում: Ցածր ջերմաստիճանների տիրություն, երբ առավելապես դրսարվում են ատոմների քվանտային հատկությունները, բյուրեղային ցանցի տեսությունը հիմնվում է քվանտային մեխանիկայի օրինաչափությունների վրա (տես IV):

§2. Տատանումները և ալիքները պարզ միաչափ ցանցում

Բյուրեղային ցանցի տատանողական շարժման ուսումնասիրությունը նպատակահարմար է սկսել միաչափ պարզ ցանցի մոդելի մանրամասն քննարկումից:

Ունենք միևնույն m զանգվածով $N+1$ միատեսակ ատոմներ, որոնք կարող են շարժվել մի ուղղի երկայնքով (օրինակ՝ x առանցքով): Կենքադրենք նաև, որ այս համակարգի Φ պոտենցիալ էներգիան նվազագույնն է, երբ ատոմները դասավորված են միմյանցից միևնույն a հեռավորությամբ կետերում՝ միաչափ ցանցի na հանգույցներում: Միաչափ պարզ ցանցում ատոմների ակնքարբային դիրքերը տրվում են (1.1) առնչությամբ որոշված $r(l,t)$ վեկտորի՝ x առանցքի վրա պրոյեկցիայով՝

$$x(na, t) = na + u(na, t), \quad n = 0, 1, 2, \dots, N : \quad (2.1)$$

Ներդաշնակ մոտավորությամբ համակարգի պոտենցիալ էներգիան կարելի է ներկայացնել որպես na հավասարակշռության դիրքերից ատոմների $u(na, t) \equiv u_n(t)$ շեղումների քառակուսային ֆունկցիա՝

$$\Phi(u_0, u_1, \dots, u_N) = \Phi_0 + \frac{1}{2} \sum_{n, n'} A(n, n') u_n u_{n'}, \quad (2.2)$$

որտեղ $\Phi_0 = \Phi(0, 0, \dots, 0)$ հաստատուն անդամը ցանցի պոտենցիալ էներգիան է հավասարակշռության վիճակում,

$$A(n, n') = \left(\frac{\partial^2 \Phi}{\partial u_n \partial u_{n'}} \right)_0 = A(n', n) \quad (2.3)$$

մեծություններն ուժային հաստատումներն են (n և n' ատոմների համար), որոնք որոշվում են պոտենցիալ էներգիայի ածանցյալների արժեքներով $u_n = 0$ հավասարակշռության դիրքերում: (2.2) վերլուծության մեջ բացակայում է լաւ u_n շերտմների գծային անդամը, քանի որ, ենթադրության համաձայն, հավասարակշռության վիճակում համակարգի պոտենցիալ էներգիան նվազագույնն է:

Եթե n -րդ ատոմը շեղված է հավասարակշռության դիրքից, ապա ցանցի ատոմները նրա վրա ազդում են

$$\begin{aligned} F_n = -\frac{\partial \Phi}{\partial u_n} &= -\frac{1}{2} \sum_{n', n''} A(n', n'') \frac{\partial}{\partial u_n} (u_n u_{n''}) = \\ &= -\frac{1}{2} \sum_{n', n''} A(n', n'') (u_{n''} \delta_{n, n'} + u_{n'} \delta_{n, n''}) = -\sum_{n'} A(n, n') u_{n'} \end{aligned} \quad (2.4)$$

ուժով, որտեղ δ_{ik} -ն Կրոնեկերի սիմվոլն է: $A(n, n')$ գործակիցը քվապես հավասար է այն ուժին, որով n -րդ ատոմի վրա ազդում է $u_{n'} = 1$ սմ-ով շեղված n' -րդ ատոմը: Անվերջ ($N \rightarrow \infty$) շրթայի դեպքում, երբ եզրային երևոյթները կարելի են անտեսել, այդ ուժը կախված է միմիայն n և n' ատոմների միջև հեռավորությունից, այսինքն՝

$$A(n', n) = A(n' - n) = A(n - n') \equiv A(a |n - n'|) : \quad (2.5)$$

Եթե բոլոր ատոմները տեղաշարժվեն միևնույն՝ $\Delta u_n = const$ չափով, ապա F_n ուժը կմնա անփոփոխ՝

$$\Delta F_n = -\sum_{n'} A(n, n') \Delta u_{n'} = -const \sum_{n'} A(n, n') = 0,$$

հետևաբար՝ յուրաքանչյուր n -ի համար

$$\sum_{n'} A(n - n') = 0 : \quad (2.6)$$

Գրենք n -րդ ատոմի շարժման հավասարում՝

$$m \ddot{u}_n = -\sum_{n'} A(n - n') u_{n'} : \quad (2.7)$$

Ներդաշնակ տատանակի հավասարման հետ (2.7) հավասարման նմանությունից հետևում է, որ

$$u_n(t) = u_n^0 e^{-i\omega t}, \quad (2.8)$$

իսկ u_n^0 մեծությունները որոշվում են հետևյալ գծային համակարգի՝

$$m\omega^2 u_n^0 - \sum_{n'} A(n' - n) u_{n'}^0 = 0 : \quad (2.9)$$

Ցանցի տեղափոխական համաչափության հատկությունից հետևում է, որ նույն՝ (2.9) հավասարումը կարելի է գրել կամայական u_{n+k}^0 ($k = 1, 2, \dots$) շեղման համար: Իրոք, (2.9) արտահայտության մեջ n -ից անցնելով $n+k$ -ին՝ կստանանք՝

$$m\omega^2 u_{n+k}^0 = \sum_{n'} A(n' - n - k) u_{n'}^0 = \sum_{n''} A(n'' - n) u_{n''+k}^0, \quad (2.10)$$

այսինքն՝ (2.9) արտահայտությունը:

(2.9) և (2.10) հավասարումների նույնությունից հետևում է, որ նրանց լուծումները կարող են իրարից տարբերվել միայն հաստատուն (n -ից չկախված) b_k արտադրիչով, այսինքն՝

$$u_{n+k}^0 = b_k u_n^0 : \quad (2.11)$$

Դժվար չէ տեսնել, որ b_k գործակիցները բավարարում են հետևյալ ֆունկցիոնալ հավասարմանը՝

$$b_{k+l} = b_k b_l, \quad (2.12)$$

որի լուծումներն են

$$b_k = e^{ikqa} : \quad (2.13)$$

(2.11) և (2.12) առնչություններից հետևում է, որ

$$u_n^0 = u(0) e^{inqa}, \quad (2.14)$$

որտեղ $u(0)$ -ն հաստատուն գործակից է, իսկ q պարամետրը որոշվում է սահմանային պայմաններից: Այսպիսով՝ (2.7) հավասարման լուծումը (2.8) և (2.13) առնչությունների միջոցով կարելի է ներկայացնել հետևյալ տեսքով՝

$$u_n(t) = u(0) e^{i(nqa - \omega t)} : \quad (2.15)$$

(2.15) արտահայտությունը նկարագրում է հարթ ալիք, որի հաճախությունը ու է, աղբյուրից հեռավորությունը՝ na , իսկ ալիքային թիվը՝ q : Եթե (2.15) լուծումը տեղադրենք շարժման (2.7) հավասարման մեջ, կստանանք միաչափ պարզ ցանցում ալիքի հաճախության և ալիքային թվի միջև կապը՝ դիսպերսային հավասարումը՝

$$m\omega^2 = \sum_{n'} A(n' - n) e^{iqa(n' - n)} = \sum_l A(l) e^{iqal} : \quad (2.16)$$

Այսպիսով՝ դիսպերսային հավասարումը պատասխանում է այն հարցին, թե տվյալ միջավայրում տրված q ալիքային թվով ալիքն ինչ հաճախություն կարող է ունենալ, ընդ որում՝ այդ կազմը որոշվում է համակարգի ֆիզիկական բնութագրերով (առողմի m զանգվածով, ցանցի a հաստատունով, $A(l)$ ուժային հաստատուններով): Նկատի ունենալով ուժային հաստատունների կախումը միմիայն հանգույցների միջև հեռավորություններից՝ $A(l) = A(|l|)$ (տես (2.5) հատկությունը)՝ (2.16) հավասարումից կստանանք, որ $\omega^2(-q) = \omega^2(q)$, այսինքն՝ $\omega^2(q)$ -ն ալիքային թվի զույգ ֆունկցիա է: Նշանակում է՝ միևնույն մեծությամբ ($|q| - n$), սակայն ցանցում հակառակ ուղղություններով տարածվող ալիքներն ունեն նույն նույն հաճախությունը:

Որոշենք, թե ինչ արժեքներ կարող են լնդունել q ալիքային թիվը:

Եթե շրթան շատ երկար է, ապա նրա ծայրերը չպետք է էապես ազդեն շրթայի ֆիզիկական հատկությունների վրա, հետևաբար շրթայի ծայրերի վրա կարելի է դնել հարմար սահմանային պայմաններ: Սովորաբար օգտվում են մաթեմատիկական տեսակետից շատ պարզ շրջանային կամ Բոռն-Կառմանի պայմանից, որի համաձայն՝ շրթայի ծայրերը շարժվում են միևնույն փուլում: Միաչափ շրթայի դեպքում կարելի է պատկերացնել, որ շրթայի ծայրերը համընկնում են, այսինքն՝

$$u_n(t) = u_{n+N}(t) : \quad (2.17)$$

(2.17) և (2.15) առնչություններից հետևում է, որ

$$e^{iNqa} = 1 , \quad (2.18)$$

կամ

$$q_j = \frac{2\pi}{Na} j = \frac{2\pi}{L} j , \quad (2.19)$$

որտեղ $j = 0, \pm 1, \pm 2, \pm \dots$, իսկ $L = Na$ -ն շրթայի երկարությունն է:

Այսպիսով՝ q ալիքային թիվն ընդունում է ընդհատ արժեքներ, որոնք $2\pi/L$ մեծության բազմապատճեններ են:

Սյուս կողմից, (2.18) հավասարումը չի փոխվի, եթե նրանում q -ի փոխարեն տեղադրվի $q + 2\pi k/a$, ($k = \pm 1, \pm 2, \pm \dots$) մեծությունը, հետևաբար՝ q -ի փոփոխման անվերջ տիրույթը կարելի է սահմանափակել $2\pi/a$ մեծությամբ և $q_j = 0$ կետի նկատմամբ համաչափ

$$-\frac{\pi}{a} \leq q_j < \frac{\pi}{a} \quad (2.20)$$

տիրույթով: Քանի որ ալիքային թվի՝ (2.19) առնչությամբ տրվող երկու մոտակա արժեքների միջև հեռավորությունը՝

$$\Delta q_{j,j-1} = q_j - q_{j-1} = \frac{2\pi}{Na} \equiv \Delta q \quad (2.21)$$

մեծությունը կախված չէ j -ից, ապա q_j արժեքները q առանցքի վրա բաշխված են հավասարաչափ, իսկ (2.20) տիրույթում q ալիքային թվի բույլատրելի արժեքների թիվը հավասար է

$$\frac{2\pi/a}{\Delta q} = \frac{2\pi}{a} \cdot \frac{Na}{2\pi} = N, \quad (2.22)$$

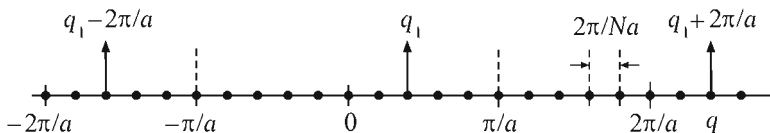
այսինքն՝ ցանցի տարրական բջիջների թվին: (2.20) տիրույթը կոչվում է միաշափ ցանցի Բրիլյունի առաջին գոնա: Ալիքային թվի՝ այս գոնային պատկանող արժեքների համար j -ն փոփոխվում է

$$-\frac{N}{2} \leq j < \frac{N}{2} \quad (2.23)$$

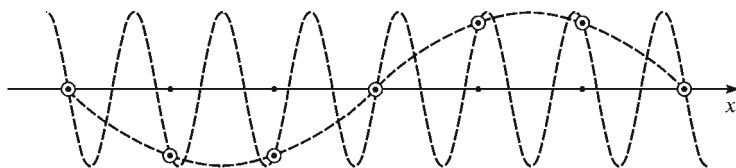
արժեքների միջև: Մակրոսկոպական նմուշի դեպքում, եթե $N \rightarrow \infty$, $L \rightarrow \infty$, սակայն $N/L = 1/a < \infty$ (զերմադիմանիկական սահման), $\Delta q \sim 1/N \rightarrow 0$, և q ալիքային թիվն ընդունում է անընդհատ արժեքներ: Մակայն, ամենայն մեծությունից, ալիքային թիվը Բրիլյունի գոնայում ընդունում է հաշվելի թվով արժեքներ (N հատ), ուստի ընդունված է q ալիքային թիվը համարել քվազիանընթիատ մեծություն: Այս հանգամանքը հաճախ էապես դյուրացնում է մաթեմատիկական հաշվարկների կատարումը, քանի որ հնարավորություն է տալիս հաշվարկներում գումարներից անցնելու ինտեգրալների:

(2.16) և (2.15) առնչությունների համաձայն՝ q_j և $q_j + 2\pi n'/a$ ալիքային թվերին համապատասխանում են միևնույն հաճախությունը՝ $\omega(q_j) = \omega(q_j + 2\pi n'/a)$, և միևնույն շեղումները՝ $u_{n,q_j}(t) = u_{n,q_j+2\pi n'/a}(t)$: Այս արդյունքն արտահայտում է այն իրողությունը, որ ֆիզիկական իմաստ ունեն միայն m զանգվածի շեղումները, քանի որ $q > \pi/a$ կամ $\lambda = 2\pi/q < 2a$ երկարությամբ ալիքները չեն համապատասխանում նոր տատանումների:

Ամենակարճ ալիքները, որոնք կարող են տարածվել ցանցում, ունեն $q = \pm\pi/a$ ալիքային թիվ և $\lambda_{\min} = 2a$ երկարություն: $2a \leq \lambda < \infty$ երկարությամբ ալիքներին համապատասխանող ալիքային թվերը լրացնում են Բրիուլովինի առաջին զոնան (նկ. 41):



Նկ. 41. q_j ալիքային թվի արժեքները և Բրիուլովի առաջին զոնան $(-\pi/a, \pi/a]$ տիրույթը



Նկ. 42. $\lambda_1 = 6a$ և $\lambda_1 = 6a/7$ երկարությամբ ալիքների պատկերները

Նկ. 41-ում $q_1 = \pi/3a$ և $q_2 = q_1 + 2\pi/a = 7\pi/3a$, որոնց համապատասխանում են միևնույն հաճախությամբ երկու՝ $\lambda_1 = 2\pi/q_1 = 6a$ և $\lambda_2 = 2\pi/q_2 = 6a/7$ երկարությամբ ալիքներ (նկ. 42):

Հետագա շարադրանքում հակիմության համար կօգտագործենք «մոդ» տերմինը, որպես տրված q ալիքային թվով և $\omega(q)$ հաճախությամբ ալիքի կամ տատանողական վիճակի անվանում:

Այսպիսով՝ տատանումների թույլատրելի և ֆիզիկական իմաստ ունեցող մոդերը լրացնում են Բրիլյուենի առաջին գոնան: Չնայի սահմաններին, այն է՝ $q = \pm \pi/a$ արժեքներին համապատասխանում է երկու մոդ՝

$$\omega_{\max} = \sqrt{\frac{2A(0)}{m} \left\{ 1 + \frac{2}{A(0)} [A(2) + A(4) + \dots] \right\}} \quad (2.24)$$

առավելագույն հաճախությամբ և

$$u_n(t) = u(0)e^{-i\omega_{\max}t} e^{\pm i\frac{\pi}{a}na} = (-1)^n u(0)e^{-i\omega_{\max}t} \quad (2.25)$$

շեղումներով, որոնք նկարագրում են կանգուն ալիք, որում հարևան ատոմները տատանվում են հակաֆուլերում:

Քանի որ $u_n = 0$, ($n = 0, 1, 2, \dots, N$) դեպքում համակարգը հավասարակշռության վիճակում է, ապա ուժային հաստատումների $\|A(n, n')\|$ մատրիցը պետք է լինի դրականապես որոշված, մասնավորապես, անհրաժեշտ է, որ տեղի ունենա $A(0) > 0$ ամհավասարությունը:

Նկատի ունենալով q_i ալիքային թվի արժեքները՝ կարելի է եզրակացնել, որ (2.15) արտահայտությամբ տրվող մասնավոր լուծումների թիվը հավասար է անկախ մոդերի (ցանցի ազատության աստիճանների) N թիվն: Ծարժման (2.7) հավասարման ընդհանուր լուծումը (2.15) լուծումների գծային համակցություն է (նշենք, որ ընդհանուր լուծման համար օգտագործված է նոյն՝ $u_n(t)$ նշանակումը՝)

$$u_n(t) = \sum_q A_q e^{i[anq - \omega(q)t]}, \quad (2.26)$$

այսինքն՝ n -րդ ատոմի շեղումը A_q լայնույթներով հարթ ալիքների վերադրման արդյունք է: Մյուս կողմից, (2.26) ընդհանուր լուծումը կարելի է ներկայացնել հետևյալ տեսքով՝

$$u_n(t) = \sum_q \eta_q e^{ianq}, \quad (2.27)$$

որտեղ

$$\eta_q = A_q e^{-i\omega(q)t} \quad (2.28)$$

մեծություններն այսպես կոչված նորմալ կորդինատներն են:

(2.27) առնչությունը կապ է հաստատում երկու տարրեր՝ $\{u_n(t)\}$ և $\{\eta_q(t)\}$ կորդինատային հավաքածուների միջև: Ի տարբերություն $u_n(t)$ շեղումների՝ $\eta_q(t)$ կորդինատներն իրարից անկախ են: Դրանում հեշտ է համոզվել, եթե (2.27) առնչությունը տեղադրենք (2.7) հավասարման մեջ.

$$m \sum_q \ddot{\eta}_q e^{ianq} + \sum_{n',q} A(n-n') \eta_q e^{ian'q} = 0: \quad (2.29)$$

Զևափոխենք ըստ n' -ի գումարը՝ նկատի ունենալով (2.15) կապը՝

$$\sum_{n'} A(n-n') e^{iaq(n'-n)} e^{ianq} = e^{ianq} \sum_l A(l) e^{iqal} = e^{ianq} m\omega^2: \quad (2.30)$$

(2.29) և (2.30) արտահայտություններից կստանանք՝

$$\sum_q [\ddot{\eta}_q + \omega^2(q) \eta_q] e^{iqan} = 0: \quad (2.31)$$

Քանի որ η_q մեծություններն իրարից անկախ են, ապա (2.31) հավասարումից հետևում է, որ

$$\ddot{\eta}_q + \omega^2(q) \eta_q = 0: \quad (2.32)$$

Ստացանք կարևորագույն արդյունք՝ կորդինատների (2.27) ձևափոխությունը ցանցի տատանումների դինամիկական խնդիրը հանգեցնում է անկախ ներդաշնակ տատանակների հավաքածովի խնդրին: Այլ կերպ ասած՝ փոխազդող ատոմների համակարգի խնդիրը բերվում է շփոխազդող ներդաշնակ տատանակների իդեալական համակարգի խնդրին:

Եթե նկատի ունենանք, որ $u_n(t)$ շեղումն իրական մեծություն է՝

$$u_n^*(t) = u_n(t), \quad (2.33)$$

ապա (2.27) առնչությունից կրիսի η_q կորդինատների

$$\eta_q^* = \eta_{-q} \quad (2.34)$$

հատկությունը, հետևաբար՝ N հատ η_q նորմալ կորդինատներից միայն $N/2$ հատն է անկախ: Սակայն, նկատի ունենալով η_q մեծության կոնդիլեքս լինելը, համոզվում ենք, որ անկախ նորմալ կորդինատների թիվը հավասար է համակարգի ազատության աստիճանների թվին:

§3. Ամենամոտ հարկանների մոտավորությունը

Վերև ստացված արդյունքները կարելի է պարզեցնել և ավելի մատչելի դարձնել ամենամոտ հարկանների մոտավորության օգնությամբ, որի համաձայն՝ (2.7) շարժման հավասարման մեջ հաշվի է առնվում տվյալ ատոմի փոխագրեցությունը միայն իր աջ և ձախ հարկանների հետ: Սա համարժեք է ուժային հաստատուների հետևյալ մոտարկմանը՝

$$A(0) \neq 0, A(1) \neq 0, A(n-n') = 0, |n-n'| = 2,3,4\dots, \quad (3.1)$$

ընդ որում՝ (2.6) պայմանի համաձայն՝

$$A(0) + 2A(1) = 0 : \quad (3.2)$$

Քանի որ $A(0) > 0$, ապա $A(1) = -\beta < 0$, որտեղ $\beta > 0$ և բնութագրում է մոտակա հարկանների փոխագրեցությունը: Նկատի ունենալով, որ

$$A(1) = -\beta, \quad A(0) = 2\beta, \quad A(2) = A(3) = \dots = 0, \quad (3.3)$$

n -րդ ատոմի վրա ազդող ուժի համար (2.4) ընդհանուր արտահայտությունից կստանանք՝

$$\begin{aligned} F_n &= -\beta(2u_n - u_{n+1} - u_{n-1}) = \\ &= -\beta(u_n - u_{n+1}) - \beta(u_n - u_{n-1}) \equiv f_{n,n+1} + f_{n,n-1}, \end{aligned} \quad (3.4)$$

որտեղ

$$f_{n,n\pm 1} = -\beta(u_n - u_{n\pm 1}) \quad (3.5)$$

մեծությունն այն ուժն է, որով n -րդ ատոմի վրա ազդում են աջ՝ ($n+1$) հարկանը (+) և ձախ՝ ($n-1$) հարկանը (-), իսկ β -ն կոշտության գործակիցն է: (3.1) մոտարկման հետևանքով (2.7) շարժման հավասարումն ընդունում է հետևյալ տեսքը՝

$$m\ddot{u}_n = -\beta(2u_n - u_{n+1} - u_{n-1}), \quad (3.6)$$

իսկ (2.16) դիսպերսային հավասարումը՝

$$\omega^2 = \frac{2\beta}{m}(1 - \cos qa), \quad (3.7)$$

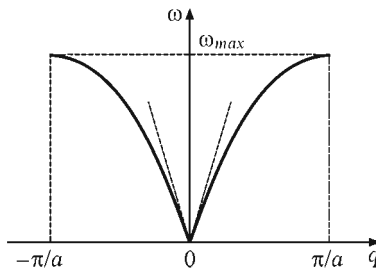
որը մասնավորապես հաստատում է $\omega^2(q)$ ֆունկցիայի՝ (2.16) հավասարումից բխող գույքության հատկությունը:

Քանի որ $\omega^2(q) > 0$, ապա (3.7) բանաձևից կստանանք՝

$$\omega(q) = 2\sqrt{\frac{\beta}{m}} \left| \sin \frac{qa}{2} \right| = \omega_{\max} \left| \sin \frac{qa}{2} \right|, \quad (3.8)$$

որտեղ (2.24) և (3.3) արտահայտությունների համաձայն՝

$$\omega_{\max} = \sqrt{\frac{2A(0)}{m}} = 2\sqrt{\frac{\beta}{m}} : \quad (3.9)$$



Նկ. 43. $\omega(q)$ դիսպերսային հավասարման գրաֆիկը

(3.8) դիսպերսային առնչությունից հետևում է տեղափոխական համաշխատությամբ օժտված ընդհանուր համակարգերի մի կարևոր առանձնահատկություն՝ ω_{\max} առավելագույն հաճախության գոյությունը: $\omega > \omega_{\max}$ հաճախությամբ ալիքներ ցանցում տարածվել չեն կարող:

Փոքր ալիքային թվերի դեպքում կամ, ինչպես ընդունված է ասել, երկարալիքային սահմանում ($aq \ll 1$ կամ $\lambda \gg a$) (3.8) բանաձևից ստանում ենք՝

$$\omega(q) \approx \omega_{\max} \frac{qa}{2} = a\sqrt{\frac{\beta}{m}} q \equiv v_0 q, \quad (3.10)$$

որտեղ

$$v_0 = a\sqrt{\frac{\beta}{m}} \quad (3.11)$$

մեծությունը ձայնի տարածման արագությունն է ցանցում:

Երկարալիքային սահմանում, եթե ցանցը կարելի է դիտել որպես հոծ միջավայր, (3.11) բանաձևից հետևում է ձորում ձայնի արագության

$$v_0 = \sqrt{\frac{E}{\rho}} \quad (3.12)$$

արտահայտությունը, որտեղ β -ն ձողի նյութի խտությունն է, E -ն՝ Յունգի մոդուլը: Հարկ է նշել, որ օգտվելով ձայնի v_0 արագության՝ փորձից հայտնի արժեքներից՝ միաշափ ցանցի մոդելի շրջանակներում կարող ենք (3.11) բանաձևի միջոցով գնահատել միջատոմային ուժերի կոշտության գործակիցը՝

$$\beta = m \left(\frac{v_0}{a} \right)^2 : \quad (3.13)$$

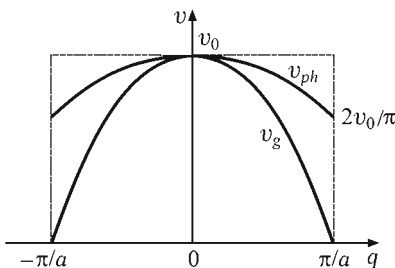
Ընդհանուր դեպքում $\omega(q)$ կախումը տարրերվում է (3.10) գծային կապից, ուստի կարելի է ներմուծել ալիքների փուլային և խմբային արագությունները, որոնք չեն համընկնում: Այս դեպքում ընդունված է ասել, որ միջավայրն օժտված է դիսպերսիայով: Սահմանման համաձայն՝ փուլային արագությունը՝

$$v_{ph} = \frac{\omega}{|q|} = \frac{\omega_{\max} a}{2} \left| \frac{\sin \frac{qa}{2}}{\frac{|q|a}{2}} \right| = v_0 \left| \frac{\sin \frac{qa}{2}}{\frac{qa}{2}} \right|, \quad (3.14)$$

իսկ խմբային արագությունը՝

$$v_g = \left| \frac{d\omega}{dq} \right| = \frac{\omega_{\max} a}{2} \left| \cos \frac{qa}{2} \right| = v_0 \left| \cos \frac{qa}{2} \right| : \quad (3.15)$$

Եթե $qa \ll 1$, (3.14) և (3.15) բանաձևերի համաձայն՝ $v_{ph} = v_g = v_0$: Հակառակ սահմանում, եթե $qa = \pm\pi$, $v_g(\pm\pi/a) = 0$, այսինքն՝ էներգիայի հոսքը շղթայով բացակայում է, որը հետևանք է կանոն ալիքի ռեժիմի հաստատման: Նկ. 44-ում պատկերված են $v_{ph}(q)$ և $v_g(q)$ կախումները:

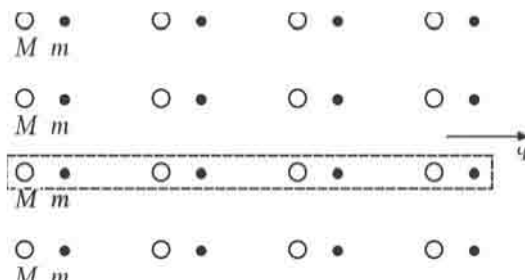


Նկ. 44. Փուլային և խմբային արագությունների գործիքները

§4. Տատանումները և ալիքները բարդ (բազիտ) միաչափ ցանցում

Միաչափ ցանցի համար ստացված արդյունքները կարեի է օգտագործել պարզ, ծավալակենտրոն և նիստակենտրոն խորանարդային ցանցերի՝ համաչափության որոշակի առանցքին ուղղահայաց ատոմական հարքությունների տատանումներն ուսումնասիրելիս, երբ այդը տարածվում է այդ նույն համաչափության առանցքի ուղղությամբ:

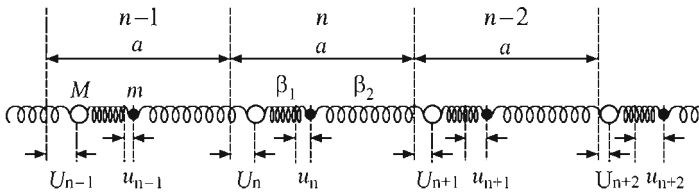
Քննարկենք այժմ այն դեպքը, երբ խորանարդային բյուրեղը կազմված է տարրեր զանգվածներով երկու տեսակի ատոմներից, ընդ որում M զանգվածով ատոմները կազմում են հարքությունների մի համակարգ, իսկ m զանգվածները՝ մի այլ համակարգ, որի հարքությունները M զանգվածով ատոմների հարքությունների միջև են (նկ. 45-ում պատկերված է հավասարակշռության վիճակը):



Նկ. 45. Եռաչափ ցանցում ատոմների միաչափ ցանցի ընարությունը

Ուսումնասիրենք ալիքների տարածումը համաչափության այն առանցքի ուղրությամբ, որին ուղղահայաց յուրաքանչյուր ատանձին հարքություն պարունակում է միայն մեկ տեսակի ատոմներ: Օդինակ՝ NaCl -ի տիպի կառուցվածքում այդպիսին է [111] ուղղությունը: Նկ. 46-ում պատկերված է նկ. 45-ում կետազգերավ նշված ատոմային շղթան տատանման վիճակում: Այլրը տարածվում է պարզի ուղղությամբ: U_n -ով նշանակված է n -րդ քցում M զանգվածի շերտը, u_n -ով՝ m զանգվածի շերտը, β_1 և β_2 գործակիցներն ուժային հաստատուններն են (զսպանակների կոչության գործակիցները): Շորայի յուրաքանչյուր քիչ պարունակում է երկու նասնիկ (բարդ

ցանց): Կենթադրենք, որ միաժամանակ m և M զանգվածները, ինչպես նաև β_1 և β_2 գործակիցներն իրար հավասար լինել չեն կարող (նկ. 46-ում ենթադրված է, որ $\beta_1 > \beta_2$):



Նկ. 46. Բարդ միաշափ ցանցի մեխանիկական մոդելը

Ամենամոտ հարևանների մոտավորությամբ բարդ միաշափ (գծային) ցանցի պոտենցիալ էներգիան տրվում է

$$\Phi = \Phi_0 + \frac{1}{2} \beta_1 \sum_n (U_n - u_n)^2 + \frac{1}{2} \beta_2 \sum_n (u_n - U_{n+1})^2 \quad (4.1)$$

արտահայտությամբ, որի օգնությամբ կարող ենք որոշել m և M զանգվածների վրա ազդող ուժերը և գրել շարժման հավասարումները՝

$$m\ddot{u}_n = -\frac{\partial \Phi}{\partial u_n} = -\beta_1(u_n - U_n) - \beta_2(u_n - U_{n+1}), \quad (4.2)$$

$$M\ddot{U}_n = -\frac{\partial \Phi}{\partial U_n} = -\beta_1(U_n - u_n) - \beta_2(U_n - u_{n-1}): \quad (4.3)$$

$2N$ անհայտների համար ստացված $2N$ հավասարումների համակարգը ցանցի տեղափոխսական համաշափության հատկության շնորհիվ բերվում է երկու անհայտով երկու հավասարումների համակարգ՝ անհայտ B և b լայնույթների համար, քանի որ բոլոր միատեսակ ատոմները կատարում են միևնույն հաճախությամբ և միևնույն լայնույթով տատանումներ, որոնք իրարից կարող են տարբերվել միմիայն տատանումների փուլերով, որը հետևանք է ցանցում նրանց զբաղեցրած դիրքերի տարբերությամբ: Այսպիսով՝ (4.2) և (4.3) հավասարումների լուծումները կներկայացնենք հետևյալ տեսքով՝

$$U_n(t) = B \exp[i(aqn - \omega t)], \quad (4.4)$$

$$u_n(t) = b \exp[i(aqn - \omega t)]: \quad (4.5)$$

Քանի որ սահմանային պայմանները նույնն են, ինչ որ պարզ (միատում) գծային ցանցի դեպքում (տես (2.17) պայմանը), ապա q ալիքային թվի ընդունած արժեքները տրվում են (2.19) բանաձևով, իսկ ֆիզիկական տարրեր մոդեր նկարագրող նրա արժեքներն ընկած են Բրիլյուենի առաջին զոնայում՝ $-\pi/a \leq q < \pi/a$:

(4.4) և (4.5) արտահայտությունները տեղադրելով շարժման հավասարումների մեջ և կրճատելով $\exp[i(qan - \omega t)]$ ընդհանուր արտադրիչը՝ B և b անհայտների համար կստանանք համասեռ հավասարումների հետևյալ համակարգը՝

$$[m\omega^2 - (\beta_1 + \beta_2)]b + (\beta_1 + \beta_2 e^{iqa})B = 0, \quad (4.6)$$

$$(\beta_1 + \beta_2 e^{-iqa})b + [M\omega^2 - (\beta_1 + \beta_2)]B = 0: \quad (4.7)$$

Այս համակարգի ոչ զրոյական լուծում ունենալու պայմանը համակարգի որոշիչի զրո լինելն է՝

$$\begin{vmatrix} m\omega^2 - (\beta_1 + \beta_2) & \beta_1 + \beta_2 e^{iqa} \\ \beta_1 + \beta_2 e^{-iqa} & M\omega^2 - (\beta_1 + \beta_2) \end{vmatrix} = 0, \quad (4.8)$$

որտեղից ստացվում է (4.4) և (4.5) արտահայտություններով տրվող ալիքների հաճախության և ալիքային թվի միջև կապը՝ $\omega \equiv \omega(q)$ դիսպերսային հավասարումը: Բացելով (4.8) որոշիչը և կատարելով պարզ ձևափոխություններ՝ ստանում ենք՝ քառակուսային հավասարում $\omega^2 - \omega_0^2 \sin^2 \frac{qa}{2} = 0$,

$$\omega^4 - \omega_0^2 \omega^2 + \frac{4\beta_1 \beta_2}{mM} \sin^2 \frac{qa}{2} = 0, \quad (4.9)$$

որտեղ

$$\omega_0^2 = \frac{(\beta_1 + \beta_2)(m + M)}{mM}: \quad (4.10)$$

(4.9) հավասարման լուծումներն են՝

$$\omega_1^2 = \frac{\omega_0^2}{2} \left[1 - \sqrt{1 - \gamma^2 \sin^2 \frac{qa}{2}} \right], \quad (4.11)$$

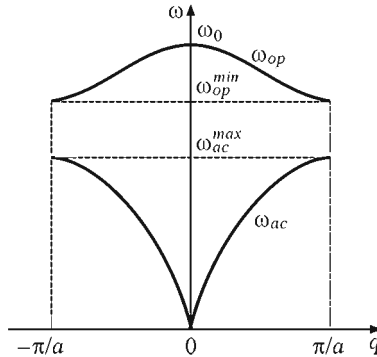
$$\omega_2^2 = \frac{\omega_0^2}{2} \left[1 + \sqrt{1 - \gamma^2 \sin^2 \frac{qa}{2}} \right], \quad (4.12)$$

որտեղ

$$\gamma^2 = 16 \frac{\beta_1 \beta_2}{(\beta_1 + \beta_2)^2} \cdot \frac{mM}{(m+M)^2} \leq 1 : \quad (4.13)$$

(4.13) բանաձևում հավասարության նշանը համապատասխանում է $\beta_1 = \beta_2$ և $m = M$ դեպքին, որը կքննարկենք առանձին: Քանի որ $\gamma^2 \leq 1$, ապա $\omega_1(q)$ և $\omega_2(q)$ ֆունկցիաներն ընդունում են իրական արժեքներ:

Բարդ ցանցի հիմնական տարրերությունը պարզ ցանցից այն է, որ (4.11) և (4.12) հավասարությունները որոշում են դիսպերսիալի երկու ճյուղ՝ ձայնային՝ $\omega_1(q) \equiv \omega_{ac}(q)$, և օպտիկական՝ $\omega_2(q) \equiv \omega_{op}(q)$, այսինքն՝ բարդ ցանցում գոյություն ունեն երկու տիպի՝ ձայնային և օպտիկական տատանումներ: q ալիքային թվի յուրաքանչյուր արժեքի համապատասխանում է երկու հաճախություն, որոնցից մեկը պատկանում է ձայնային, մյուսը՝ օպտիկական ճյուղին: Հետևաբար՝ բարդ միաչափ ցանցում անկախ տատանումների (մոդերի) թվը կլինի հավասար Բրիլյունի գոնայում ալիքային թվի հնարավոր արժեքների (N) և ճյուղերի թվի (2) արտադրյալին, այսինքն՝ $2N$ -ի, որը հավասար է ցանցի ազատության աստիճանների թվին:



Նկ. 47. Ձայնային և օպտիկական ճյուղերի գործիքները

Նկատի ունենալով դիսպերսիային հավասարությունների գոյգության՝

$$\omega_1(-q) = \omega_1(q) \text{ և } \omega_2(-q) = \omega_2(q) \quad (4.14)$$

հատկությունը, այսուհետև կենքադրենք, որ $\omega_1, \omega_2 > 0$ և տրվում են հետևյալ բանաձևերով՝

$$\omega_{ac}(q) = \frac{\omega_0}{\sqrt{2}} \sqrt{1 - \sqrt{1 - \gamma^2 \sin^2 \frac{qa}{2}}} , \quad (4.15)$$

$$\omega_{op}(q) = \frac{\omega_0}{\sqrt{2}} \sqrt{1 + \sqrt{1 - \gamma^2 \sin^2 \frac{qa}{2}}} : \quad (4.16)$$

Նկ. 47-ում պատկերված են ձայնային և օպտիկական տատանումների դիսպերսային առնչությունների գրաֆիկները:

Ուսումնասիրենք այս դիսպերսային առնչությունների վարքը տարբեր մասնավոր դեպքերում:

§5. Դիսպերսային առնչությունների ուսումնասիրումը

Բարդ միաչափ ցանցի (4.15) և (4.16) դիսպերսային առնչությունները հնարավորություն են ընձեռում համեմատաբար պարզ մոդելի շրջանակներում բացահայտելու պարբերական համաշափությամբ օժտված միջավայրերում ալիքների տարածման առանձնահատկությունները, որոնք բնորոշ են նաև երկշափ և եռաշափ բյուրեղային ցանցերին:

1. Երկարալիքային սահման՝ $qa << 1$ ($\lambda >> a$):

Ձայնային ճյուղի հաճախությունների (4.15) բանաձևից ստացված

$$\omega_{ac}(q) \approx \frac{1}{4} \omega_0 \gamma a q \equiv vq \quad (5.1)$$

գծային կապը բնութագրական է ձայնային ալիքների համար (այստեղից է՝ ճյուղի անվանումը), որոնք տարածվում են

$$v = a \sqrt{\frac{\beta_1 \beta_2}{(\beta_1 + \beta_2)(m + M)}} \quad (5.2)$$

արագությամբ:

Օպտիկական ճյուղի հաճախությունների համար

$$\omega_{op}(q) \approx \omega_0 \left(1 - \frac{\gamma^2 a^2}{32} q^2 \right) : \quad (5.3)$$

Եթե $q \rightarrow 0$, $\omega_{ac} \rightarrow 0$, իսկ $\omega_{op} \rightarrow \omega_0$:

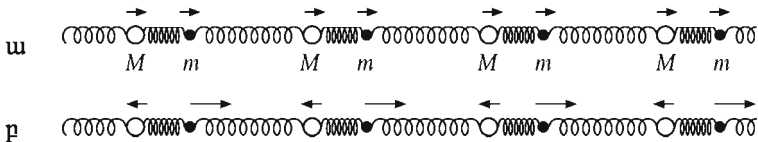
(4.6) և (4.7) արտահայտությունների համաձայն՝ շեղումների և տատանումների լայնութեների հարաբերությունը՝

$$\frac{u_n}{U_n} = \frac{b}{B} = \frac{\beta_1 + \beta_2 e^{iqa}}{\beta_1 + \beta_2 - m\omega^2} = \frac{\beta_1 + \beta_2 \gamma^2 - M\omega^2}{\beta_1 + \beta_2 e^{-iqa}} : \quad (5.4)$$

Զայնային ճյուղի տատանումների համար, եթե $q \rightarrow 0$, (5.4) առնչությունից հետևում է, որ

$$\left(\frac{b}{B}\right)_{ac} = 1, \quad \text{և} \quad u_n(t) = U_n(t), \quad (5.5)$$

այսինքն՝ բջջում ատոմները տատանվում են նույն փուլում (նկ. 48. ա):



Նկ. 48. Մասմիկների շեղումները $q \rightarrow 0$ սահմանային դեպքում.

ա. Ճայնային ճյուղ, բ. օպտիկական ճյուղ

Օպտիկական ճյուղի տատանումների համար, եթե $q \rightarrow 0$

$$\left(\frac{b}{B}\right)_{op} = \frac{\beta_1 + \beta_2}{\beta_1 + \beta_2 - m\omega_0^2} = -\frac{M}{m}, \quad (5.6)$$

այսինքն՝ բջջում ատոմները տատանվում են հակադիր փուլերում, ընդ որում՝ այնպես, որ բջջի զանգվածների կենտրոնը մնում է անշարժ (նկ. 48. բ)՝

$$mu_n(t) + MU_n(t) = 0 : \quad (5.7)$$

2. Կարծալիքային սահման՝ $qa = \pi$ ($\lambda = 2a$):

Բրիլյունի գոնայի սահմաններին ($qa = \pm\pi$) համապատասխանում են ձայնային և օպտիկական ճյուղի հաճախությունների հետևյալ արժեքներ՝

$$\omega_{ac}(\pm\frac{\pi}{a}) = \frac{\omega_0}{\sqrt{2}} \sqrt{1 - \sqrt{1 - \gamma^2}} \equiv \omega_{ac}^{\max}, \quad (5.8)$$

$$\omega_{op}(\pm\frac{\pi}{a}) = \frac{\omega_0}{\sqrt{2}} \sqrt{1 + \sqrt{1 - \gamma^2}} \equiv \omega_{op}^{\min} : \quad (5.9)$$

Ինչպես հետևում է (4.4) և (4.5) արտահայտություններից, այս դեպքում $u_{n+1} = -u_n$, $U_{n+1} = -U_n$, այսինքն՝ հարևան բջիջներում կ' ձայնային, և օպտիկական ճյուղերի տատանումներն իրար նկատմամբ շեղված են 180° -ով՝ մասնիկները տատանվում են հակափուլերում:

Ձայնային և օպտիկական ալիքների խմբային արագությունների համար (4.15) և (4.16) բանաձևերից ստանում ենք՝

$$v_{ac,g} = \left| \frac{d\omega_{ac}}{dq} \right|_{\pi/a} = 0, \quad v_{op,g} = \left| \frac{d\omega_{op}}{dq} \right|_{\pi/a} = 0, \quad (5.10)$$

ինչը համապատասխանում է կանոն ալիքների հաստատմանը:

(5.4), (4.15) և (4.16) արտահայտություններից հետևում է ձայնային (-) և օպտիկական (+) ճյուղերին համապատասխանող շեղումների հարաբերությունը՝

$$\left(\frac{u_n}{U_n} \right)_{op}^{ac} = \frac{\beta_1 - \beta_2}{(\beta_1 + \beta_2) \left\{ 1 - \frac{m+M}{2M} \left[1 \mp \sqrt{1 - \frac{16\beta_1\beta_2 m M}{(\beta_1 + \beta_2)^2 (m+M)^2}} \right] \right\}} : \quad (5.11)$$

Հնարավոր բազմաթիվ դեպքերից քննարկենք $m=M$, $\beta_1 > \beta_2$ դեպքը: (5.11) բանաձևից հետևում է, որ

$$\left(\frac{u_n}{U_n} \right)_{ac} = 1, \quad \left(\frac{u_n}{U_n} \right)_{op} = -1, \quad (5.12)$$

այսինքն՝ ձայնային տատանումների դեպքում ձգվում-սեղմվում են β_2 կոշտությամբ զսպանակները (նկ. 48. ա), իսկ օպտիկական տատանումների դեպքում՝ β_1 կոշտությամբ զսպանակները (նկ. 48. բ):

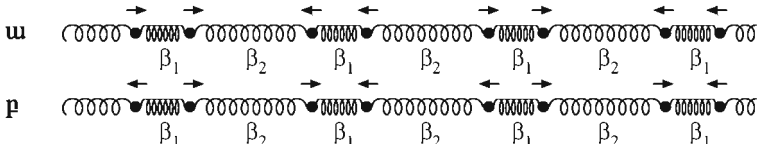
3. $\beta_1 \ll \beta_2$ մոտավորություն

Այժմ ուսումնասիրենք ձայնային և օպտիկական տատանումներն այն դեպքում, եթե $\beta_1 \ll \beta_2$: (4.13) բանաձևի համաձայն՝ $\gamma^2 \sim \beta_1/\beta_2 \ll 1$, հետևաբար (4.15), (4.16) և (5.4) արտահայտությունները վերլուծելով շարքի՝ կստանանք՝

$$\omega_{ac} = 2\sqrt{\frac{\beta_1}{m+M}} \left| \sin \frac{qa}{2} \right| [1 + O(\gamma^2)], \quad \frac{u_n}{U_n} \approx 1, \quad (5.13)$$

$$\omega_{op} = 2\sqrt{\beta_2 \frac{m+M}{mM}} [1 + O(\gamma^2)], \quad \frac{u_n}{U_n} \approx -1: \quad (5.14)$$

Ինչպես հետևում է (5.14) արտահայտությունից, օպտիկական ճյուղի տատանումներում դիսպերսիան բացակայում է, այսինքն՝ ω_{op} հաճախությունը կախված չէ q ալիքային թվից և հավասար է $mM/(m+M)$ քերված զանգվածով և β_2 կռչտությամբ զսպանակներով կապված մոլեկուլների տատանումների հաճախությամբ, իսկ մոլեկուլի մեջ մտնող ատոմները շարժվում են հակափուլերում:



Նկ. 49. Բարդ ցանցի տատանումները $m = M$, $\beta_1 > \beta_2$ դեպքում.
ա. ձայնային ճյուղ, բ. օպտիկական ճյուղ

Ձայնային ճյուղի (5.13) դիսպերսային արտահայտությունը համընկնում է $(m+M)$ զանգվածով և β_1 զսպանակներով իրար կապված ատոմների գծային պարզ շղթայի դիսպերսային հավասարման հետ, իսկ յուրաքանչյուր բջջում ատոմները շարժվում են միևնույն փուլում, որի հետևանքով էլ β_1 զսպանակները համարյա չեն սեղմվում և ձգվում: (4.15) և (4.16) բանաձևերով ներկայացված ձայնային և օպտիկական ճյուղերը պատկերված են նկ. 47-ում:

4. Արգելված գուառ զարարիարք

Եթե q ալիքային թիվը փոփոխվում է թրիլյունի գոնայում, օպտիկական ճյուղի հաճախությունները փոփոխվում են $\omega_{op}^{\min} \leq \omega_{op}(q) \leq \omega_0$, իսկ ձայնային ճյուղի հաճախությունները՝ $0 \leq \omega_{ac}(q) \leq \omega_{ac}^{\max}$ տիրույթում: ω_{ac}^{\max} և ω_{op}^{\min} արժեքների միջև ընկած տիրույթը կոչվում է արգելված գոտի, որի լայնությունը՝

$$\Delta\omega_g = \omega_{op}^{\min} - \omega_{ac}^{\max}: \quad (5.15)$$

Արգելված գոտուն պատկանող հաճախություններով ալիքները ցանցում տարածվել չեն կարող, քանի որ արագ մարում են: Նույնը կարելի է ասել նաև $\omega > \omega_0$ հաճախություններով ալիքների մասին:

Դրանում կարելի է համոզվել, եթե արգելված գոտուն պատկանող որևէ աշխախություն տեղադրենք (4.15) կամ (4.16) բանաձևի մեջ և ստացված արտահայտությունը դիտարկենք որպես հավասարում $q(\omega)$ ալիքային թիվը որոշելու համար: Այն ունի հետևյալ տեսքը՝

$$\cos q\alpha = 1 - \frac{8}{\gamma^2} \frac{\omega^2}{\omega_0^2} \left(1 - \frac{\omega^2}{\omega_0^2} \right) \equiv -\delta : \quad (5.16)$$

Քանի որ $\Delta\omega_g$ -ին պատկանող հաճախությունների համար $\delta \geq 1$, ապա (5.16) հավասարման լուծումն ունի կոմպլեքս տեսք՝

$$q = q_1 + iq_2 : \quad (5.17)$$

(5.17) արտահայտությունը տեղադրելով (5.16) հավասարման մեջ և հավասարեցնելով աջ ու ձախ մասերում ստացված արտահայտությունների իրական և կեղծ մասերը՝ կստանանք՝

$$q_1 = \frac{\pi}{a}, \quad q_2 = \pm \frac{1}{a} \ln \left(\delta + \sqrt{\delta^2 - 1} \right) \equiv q_2(\omega) : \quad (5.18)$$

(5.16) հավասարումով որոշված $\delta(\omega)$ ֆունկցիան արգելված գոտու եզրերին հավասարվում է միավորի՝

$$\delta(\omega_{ac}^{\max}) = \delta(\omega_{ac}^{\min}) = 1$$

և ընդունում է առավելագույն արժեքը արգելված գոտում, $\omega_0/\sqrt{2}$ կետում, որին համապատասխանում է հետևյալ արժեքը՝

$$q_2^{\max} = \frac{1}{a} \ln \left[\frac{2}{\gamma^2} - 1 + \sqrt{\left(\frac{2}{\gamma^2} - 1 \right)^2 - 1} \right] : \quad (5.19)$$

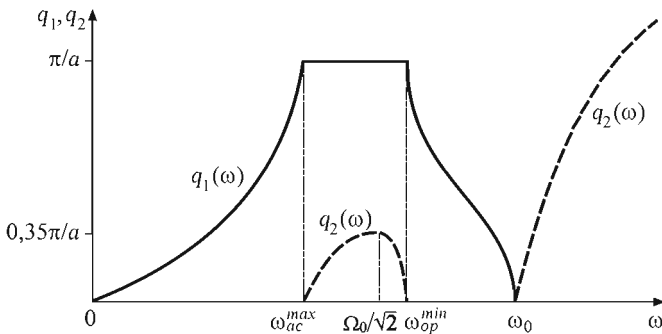
Նույն ձևով $\omega > \omega_0$ հաճախությունների համար կստանանք՝

$$q_1 = 0, \quad q_2 = \pm \frac{1}{a} \ln \left(\delta_1 + \sqrt{\delta_1^2 - 1} \right), \quad (5.20)$$

որտեղ

$$\delta_1(\omega) = \frac{8}{\gamma^2} \frac{\omega^2}{\omega_0^2} \left(\frac{\omega^2}{\omega_0^2} - 1 \right) + 1 : \quad (5.21)$$

Եթե (4.4) և (4.5) բանաձևերում տեղադրենք ալիքային թվի $q = q_1 + iq_2$ արտահայտությունը, ապա կստանանք, որ և m , և M զանգվածով մասնիկների տատանումների լայնույթները՝ կախված քչի դիրքից, փոխվում են $\exp(-anq_2)$ օրենքով, ըստ որում՝ եթե $q_2 > 0$, տատանումները մարում են, իսկ $q_2 < 0$ դեպքում՝ ուժեղանում էքսպոնենտային օրենքով: Ալիքային թվի իրական և կեղծ մասերի հաճախային կախումները պատկերված են նկ. 50-ում (գծագիրը արված է $\gamma^2 = 0,75$ արժեքի համար):



Նկ. 50. Ալիքային թվի իրական (հոժ գծեր) և կեղծ (կեռագծեր) մասերի հաճախային կախումները

5. Այժմ դիտարկենք «այլասերման» դեպքը, եթե $\gamma^2 = 1$ ($m = M$, $\beta_1 = \beta_2 \equiv \beta$): (4.15) և (4.16) բանաձևերից ձայնային և օպտիկական ճյուղերի համար ստացվում են հետևյալ արտահայտությունները՝

$$\omega_{ac}(q) = 2 \sqrt{\frac{\beta}{m}} \left| \sin \frac{qa}{4} \right| = \omega_{\max} \left| \sin \frac{qa}{4} \right|, \quad (5.22)$$

$$\omega_{op}(q) = 2 \sqrt{\frac{\beta}{m}} \left| \cos \frac{qa}{4} \right| = \omega_{\max} \left| \cos \frac{qa}{4} \right|: \quad (5.23)$$

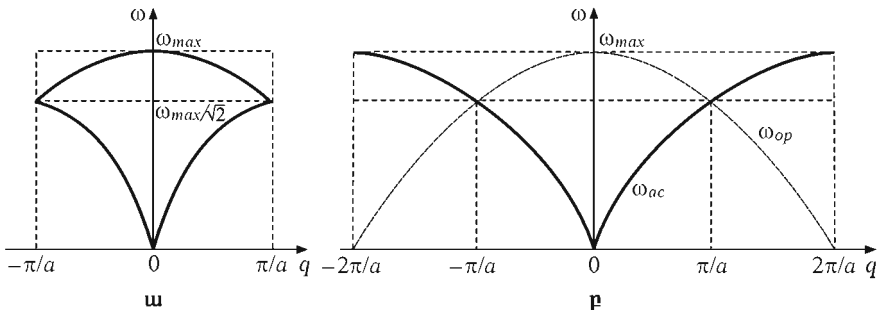
Բրիլյունի զոնայի սահմաններին $qa = \pm\pi$, $\omega_{ac}(\pm\pi/a) = \omega_{op}(\pm\pi/a)$, և արգելված գոտին վերանում է՝ $\Delta\omega_g = 0$, որը հետևանք է համակարգում տեղի ունեցած որակական փոփոխության (նկ. 51):

Իրոք, տվյալ դեպքում ատոմների նույնությունից և կապերի միատեսակությունից հետևում է, որ բոլոր ատոմների միջև հեռավորությունները պետք է իրար հավասար լինեն, ուստի ցանցի պարբերությունը՝ $a' = a/2$: Բրիլյունի զոնան սահմանափակված է $\pm\pi/a'$ արժեքներով, այսինքն՝ մեծացած է երկու անգամ: $(0, \pi/a)$ տիրույթում $\omega_{ac}(q)$ ճյուղը համընկնում է պարզ ցանցի դիսպերսային հավասարման հետ՝

$$\omega_{ac}(q) = \omega_{\max} \left| \sin \frac{a'q}{2} \right|, \quad (5.24)$$

իսկ ω_{op} ճյուղը՝ նույն հավասարման հետ $(\pi/a, 2\pi/a)$ տիրույթում՝ $q' = 2\pi/a - q$ համապատասխան արժեքներով, քանի որ

$$\cos \frac{aq'}{4} = \cos \left(\frac{\pi}{2} - \frac{qa}{4} \right) = \sin \frac{qa}{4} = \sin \frac{a'q}{2} :$$



Նկ. 51. Բարյ միաչափ ցանցի տատամուների ճյուղերը, երբ պարզ ցանցը դիտարկվում է որպես ա. բարյ, կրկնակի պարբերությամբ ցանց,
բ. $a' = a/2$ պարբերությամբ պարզ ցանց

Ավարտելով միաչափ ցանցի տատամուների ուսումնասիրությունը՝ հարկ է նշել հետևյալը:

Մենք քննարկեցինք միայն երկայնական ալիքների տարածումը միաչափ ցանցում: Հասկանալի է, որ միաչափ ցանցում հնարավոր է գրգռել նաև

լայնական ալիքներ, որոնցում մասնիկների շերտամներն ուղղահայաց են շրջային: Լայնական ալիքների բնութագրերն ընդհանուր դեպքում ստացվում են շատ նման երկայնական ալիքների բնութագրերին: Քանի որ լայնական և երկայնական ալիքներում մասնիկների շերտամները կատարվում են փոխուղղահայաց ուղղություններով, ապա այս երկու տեսակի ալիքները կարող են զրգովել միաժամանակ և առաջին մոտավորությամբ իրարից անկախ: Լայնական ալիքներ կարելի է զգաբեկ երկու փոխուղղահայաց ուղղություններով միաժամանակ:

Տռաչափի քարդ ցանցի տատանումները

1. Հարժման հավասարումների ուսումնասիրումը: Դիմասիկական մատրից

Այժմ ուսումնասիրենք եռաչափի բյուրեղական ցանցի տատանումներն ընդհանուր դեպքում, եթե տարրական բջիջը պարունակում է մեկից ավելի տարրեր ատոմներ: Նշանակենք m_k -ով k տեսակի ատոմի զանգվածը, իսկ s -ով՝ ատոմների տեսակների թիվը ($k = 1, 2, \dots, s$): k տեսակի ատոմի հավասարակշռության դիրքը որոշվում է

$$\mathbf{r}_n^k = \mathbf{n} + \mathbf{d}_k \quad (6.1)$$

վեկտորով, որտեղ \mathbf{n} -ը ցանցի տեղափոխության վեկտորն է, իսկ \mathbf{d}_k -ն որոշում է k տեսակի ատոմի դիրքը տարրական բջիջում ($\mathbf{d}_1, \mathbf{d}_2, \dots, \mathbf{d}_s$ վեկտորների համախումբը որոշում է ցանցի բազիսը): \mathbf{n} տեղափոխության վեկտորով բջիջի k տեսակի ատոմի շեղման վեկտորի α -րդ պրոյեկցիան նշանակենք $u_{n\alpha}^k$ -ով ($\alpha = x, y, z$):

Բյուրեղային ցանցի պոտենցիալ էներգիան $3sN$ փոփոխականների՝ $u_{n\alpha}^k$ -երի ֆունկցիան է, որն ունի մինիմում, եթե $u_{n\alpha}^k = 0$, այսինքն՝

$$\left(\frac{\partial \Phi}{\partial u_{n\alpha}^k} \right)_0 = 0 : \quad (6.2)$$

Էներգիայի հաշվարկի սկիզբ ընտրելով պոտենցիալ էներգիայի նվազագույն արժեքը՝ ներդաշնակ մոտավորությամբ այն կարելի է ներկայացնել հետևյալ տեսքով՝

$$\Phi = \frac{1}{2} \sum_{\mathbf{n}, \mathbf{n}' k, k', \alpha, \beta} \Phi_{\alpha\beta}(k\mathbf{n}; k'\mathbf{n}') u_{\mathbf{n}\alpha}^k u_{\mathbf{n}'\beta}^{k'}, \quad (6.3)$$

որտեղ

$$\Phi_{\alpha\beta}(k\mathbf{n}; k'\mathbf{n}') = \left(\frac{\partial^2 \Phi}{\partial u_{\mathbf{n}\alpha}^k \partial u_{\mathbf{n}'\beta}^{k'}} \right)_{00} \quad (6.4)$$

մեծություններն ուժային հաստատուններն են: Ինչպես հետևում է այս սահմանումից,

$$\Phi_{\alpha\beta}(k\mathbf{n}; k'\mathbf{n}') = \Phi_{\beta\alpha}(k'\mathbf{n}'; k\mathbf{n}): \quad (6.5)$$

Ասումների միջև փոխազդեցության ուժերը կախված են ատոմների տեսակից և նրանց միջև հեռավորությունից, ուստի $\Phi_{\alpha\beta}$ գործակիցները կախված են $|\mathbf{n} - \mathbf{n}'|$ մեծություններից՝

$$\Phi_{\alpha\beta}(k\mathbf{n}; k'\mathbf{n}') = \Phi_{\alpha\beta}(k, k'; \mathbf{n} - \mathbf{n}'): \quad (6.6)$$

Օգտվելով (6.3) արտահայտությունից՝ կարելի է որոշել \mathbf{n} -րդ քջում k տեսակի ատոմի վրա ազդող ուժի α -րդ պրյեկցիան՝

$$F_{\mathbf{n}\alpha}^k = - \frac{\partial \Phi}{\partial u_{\mathbf{n}\alpha}^k} = - \sum_{\mathbf{n}' k' \beta} \Phi_{\alpha\beta}(k\mathbf{n}; k'\mathbf{n}') \cdot u_{\mathbf{n}'\beta}^{k'}: \quad (6.7)$$

Եթե բոլոր ատոմները շեղվեն միևնույն \mathbf{u}_0 վեկտորով, ապա բյուրեղը որպես ամբողջություն կտեղափոխվի տարածության մեջ: Քանի որ (\mathbf{n}, k) ատոմի վրա ազդող ուժը հավասարակշռության վիճակում զրո է, ապա (6.7) արտահայտությունից կստանանք՝

$$(F_{\mathbf{n}\alpha}^k)_0 = - \sum_{\beta} u_{0\beta} \sum_{\mathbf{n}' k'} \Phi_{\alpha\beta}(k\mathbf{n}; k'\mathbf{n}') = 0: \quad (6.8)$$

$u_{0\beta}$ -ների անկախությունից բխում է, որ

$$\sum_{\mathbf{n}' k'} \Phi_{\alpha\beta}(k\mathbf{n}; k'\mathbf{n}') = 0, \quad (6.9)$$

որը (2.6) առնչության ընդհանրացումն է: Բացի (6.5), (6.6) և (6.9) հատկություններից՝ $\Phi_{\alpha\beta}(k\mathbf{n}; k'\mathbf{n}')$ ուժային հաստատունները բավարարում են նաև

այլ առնչությունների, որոնք տվյալ բյուրեղային կառուցվածքի պոտենցիալ էներգիայի համաշափոթյան հատկությունների հետևանք են:

$\Phi_{\alpha\beta}(k\mathbf{n}; k'\mathbf{n}')$ գործակիցը թվապես հավասար է (\mathbf{n}, \mathbf{k}) ատոմի վրա ազդող ուժի α առանցքով ուղղված բաղադրիչին, եթե $(\mathbf{n}', \mathbf{k}')$ ատոմը β առանցքի ուղղությամբ շեղվում է միավոր երկարության հատվածով:

(\mathbf{n}, \mathbf{k}) ատոմի շարժման հավասարումն ունի հետևյալ տեսքը՝

$$m_k \ddot{u}_{\mathbf{n}\alpha}^k = F_{\mathbf{n}\alpha}^k = - \sum_{n'k'\beta} \Phi_{\alpha\beta}(k\mathbf{n}; k'\mathbf{n}') u_{\mathbf{n}'\beta}^{k'} : \quad (6.10)$$

Գրելով նույն հավասարումը բոլոր ատոմների շեղումների պրյեկցիաների համար՝ կստանանք $3sN$ հավասարումների համակարգ $3sN$ անհայտ $u_{\mathbf{n}\alpha}^k$ շեղումների համար, որը կարելի է գգալիորեն պարզեցնել, եթե հաշվի առնենք ցանցի պարբերականությունը:

Իրոք, քանի որ բոլոր տարրական բջիջները նույնական են, ապա տարրեր բջիջներում միևնույն տեսակի ատոմները տատանվում են նույն լայնությով, այսինքն՝ տատանումների լայնույթը կախված է միայն ատոմի k տեսակից, բայց ոչ տարրական բջիջի դիրքը որոշող \mathbf{n} վեկտորից:

(6.10) հավասարումների համակարգի լուծումը կիմտրենք վագրության ալիքի տեսքով՝

$$u_{\mathbf{n}\alpha}^k(t) = \frac{1}{\sqrt{m_k}} A_{\alpha}^k(\mathbf{q}) e^{i(\mathbf{qn}-\omega t)}, \quad (6.11)$$

որտեղ թվային $m_k^{-1/2}$ գործակիցը գրված է հարմարության նկատառումով:

Շարժման հավասարումների (6.10) համակարգում տեղադրելով (6.11) արտահայտությունը՝ կստանանք.

$$\omega^2 A_{\alpha}^k(\mathbf{q}) = \sum_{k'\beta} D_{\alpha\beta}^{kk'}(\mathbf{q}) A_{\beta}^{k'}(\mathbf{q}), \quad (6.12)$$

որտեղ

$$D_{\alpha\beta}^{kk'}(\mathbf{q}) = \frac{1}{\sqrt{m_k m_{k'}}} \sum_{n'} \Phi_{\alpha\beta}(k\mathbf{n}; k'\mathbf{n}') e^{i\mathbf{q}(\mathbf{n}'-\mathbf{n})} \quad (6.13)$$

արտահայտությունը որոշում է բյուրեղի դիմամիկական մատրիցի տարրերը, որի տողերը համարակալվում են (k, α) , իսկ այունակները՝ (k', β) կրկնակի

ցուցիչներով: Դրանք ընդունում են Յs հատ արժեք, հետևաբար բյուրեղի դինամիկական մատրիցի ռանգը Յs է:

Այսպիսով՝ ցանցի պարբերականության շնորհիվ ՅsN հավասարումների համակարգի փոխարժեն ստացվեց Յs գծային հավասարումների (6.12) համակարգն անհայտ $A_{\alpha}^k(\mathbf{q})$ լայնույթների համար, որը կարելի է ներկայացնել սեղմ տեսքով՝

$$\sum_{k\beta} [D_{\alpha\beta}^{kk'}(\mathbf{q}) - \omega^2 \delta_{kk'} \delta_{\alpha\beta}] A_{\beta}^{k'}(\mathbf{q}) = 0, \quad (k=1,2,\dots,s; \alpha=x,y,z) : \quad (6.14)$$

Համասեռ հավասարումների (6.14) համակարգն ունի ոչ զրոյական լուծումներ, եթե նրա որոշիչը զրո է՝

$$\left| D_{\alpha\beta}^{kk'}(\mathbf{q}) - \omega^2 \delta_{\alpha\beta} \delta_{kk'} \right| = 0 : \quad (6.15)$$

Այս բնութագրական (դիսպերսային) հավասարումից, որը Յs կարգի հավասարում է ω^2 -ու նկատմամբ, տրված \mathbf{q} ալիքային վեկտորի համար որոշվում են $\omega^2(\mathbf{q})$ ֆունկցիայի հնարավոր արժեքները, որոնց թիվն ընդհանուր դեպքում Յs է, և որոնք հետագայում կհամարակալենք j ($j=1,2,\dots,3s$) ցուցիչով՝ $\omega_j(\mathbf{q})$:

2. Դինամիկական մատրիցի հատկությունները: Դիսպերսային հավասարումների ուսումնակիրումը

(6.13) սահմանման համաձայն՝

$$D_{\alpha\beta}^{kk'*}(\mathbf{q}) = D_{\beta\alpha}^{kk}(\mathbf{q}), \quad (6.16)$$

այսինքն՝ դինամիկական մատրիցն էրմիտական է, հետևաբար նրա բոլոր ω_j^2 սեփական արժեքներն իրական են, իսկ ω_j -երը՝ կամ իրական, կամ զուտ կեղծ: Վերջին դեպքում (6.11) շեղման ժամանակային կախումն արտահայտող $\exp(-i\omega t) = \exp(gt) = \exp(\pm|\gamma|t)$ արտադրիչը կարող է անվերջ մեծ լինել անցյալում ($t \rightarrow -\infty$) կամ ապագայում ($t \rightarrow +\infty$), որը համարժեք է ցանցի քայլայմանը: Ցանցի կայտնության պայմանից բխում է, որ բոլոր j -երի համար $\omega_j^2(\mathbf{q}) \geq 0$: Դրա համար անհրաժեշտ է, որ դինամիկական մատրիցի գլխավոր մինորները լինեն դրական: Այս պահանջն իր հերթին

լրացուցիչ պայմաններ է դուսմ $\Phi_{\alpha\beta}(kn; k'n')$ ուժային հաստատումների վրա, որոնք հետևում են հավասարակշռության վիճակում ցանցի պոտենցիալ էներգիայի մինիմումի գոյության պայմանից: Յս հատ $\omega_j^2(\mathbf{q})$ ֆունկցիաները կարելի է դիտել որպես $\omega^2(\mathbf{q})$ բազմաթերթ ֆունկցիայի տարրեր ճյուղեր: Տարրական բջջի համաշափության հետևանքով որոշ ω_j արմատներ կարող են համընկնել, ուստի արմատների թիվը կարող է փոքր լինել Յս -ից:

Ընդհանուր դեպքում հնարավոր չեն որոշել

$$\omega = \omega_j(\mathbf{q}), \quad j = 1, 2, \dots, 3s \quad (6.17)$$

դիսպերսային հավասարումների՝ ալիքային վեկտորից կախման վերլուծական արտահայտությունները, քանի որ գոյություն չունի Յս ($s > 1$) աստիճանի հանրահաշվական հավասարման լուծման հաշվեկարգ (ալգորիթմ): Սակայն որոշ մասնավոր դեպքերում այն կարելի է տալ բյուրեղի պարզ մոդելների համար:

Այժմ որոշենք դիմամիկական մատրիցի սեփական վեկտորները (6.12) հավասարումից, որի մեջ տեղադրված է $\omega = \omega_j(\mathbf{q})$ սեփական արժեքը՝

$$\omega_j^2(\mathbf{q}) e_{jk\alpha}(\mathbf{q}) = \sum_{k'\beta} D_{\alpha\beta}^{kk'}(\mathbf{q}) e_{jk'\beta}(\mathbf{q}), \quad (6.18)$$

որտեղ $e_{jk\alpha}(\mathbf{q})$ մեծությունը $e_{jk}(\mathbf{q})$ սեփական վեկտորի α -րդ բաղադրիչն է: Ակնհայտ է, որ j -րդ ճյուղին համապատասխանող տատանման $A_{j\alpha}^k(\mathbf{q})$ լայնույթը հաստատումի ճշտությամբ համընկնում է $e_{jk\alpha}(\mathbf{q})$ մեծության հետ: e_{jk} վեկտորն անվանում են ընեղացման վեկտոր. այն որոշում է տատանումների ուղղությունը: Դիմամիկական մատրիցն էրմիտական է, ուստի նրա սեփական վեկտորներն օրբողության՝

$$\sum_{k\alpha} e_{jk\alpha} e_{j'k\alpha}^* = \delta_{jj'}, \quad (6.19)$$

և քանի որ $e_{jk\alpha}(\mathbf{q})$ պրոյեկցիաները որոշվում են համասեռ հավասարումների (6.18) համակարգից, ապա դրանք կարելի են որմագործել՝

$$\sum_j e_{jk\alpha} e_{jk'\beta}^* = \delta_{kk'} \delta_{\alpha\beta} : \quad (6.20)$$

Սեփական վեկտորների և սեփական արժեքների համաչափության մի հատկություն հնարավոր է ապացուցել, եթե նկատի ունենանք, որ (6.13) սահմանման համաձայն՝

$$D_{\alpha\beta}^{kk'*}(\mathbf{q}) = D_{\alpha\beta}^{kk'}(-\mathbf{q}): \quad (6.21)$$

Գրելով (6.18) հավասարման կոմպլեքս համալուծը և նկատի ունենալով (6.21) հատկությունը՝ կստանանք, որ

$$e_{jk\alpha}(\mathbf{q}) = e_{jk\alpha}^*(-\mathbf{q}) \quad (6.22)$$

կամ

$$e_{jk\alpha}(\mathbf{q}) = -e_{jk\alpha}^*(-\mathbf{q}): \quad (6.23)$$

Վերջին առնչությունը հարմար է կիրառել իրական \mathbf{e}_{jk} վեկտորների դեպքում, քանի որ այն նշանակում է, որ $e_{jk\alpha}(\mathbf{q})$ բաղադրիչը ձևափոխվում է նույն ձևով, ինչպես որ q_α պրոյեկցիան:

Սեփական արժեքների համար տեղի ունի

$$\omega_j^2(-\mathbf{q}) = \omega_j^2(\mathbf{q}) \quad (6.24)$$

համաչափության հատկությունը, որը հետևանք է $t \rightarrow -t$ ձևափոխության նկատմամբ մեխանիկայի հավասարումների ինվարիանտության:

Եթե դինամիկական մատրիցում \mathbf{q} վեկտորի փոխարեն տեղադրենք $\mathbf{q}' = \mathbf{q} + \mathbf{g}$, որտեղ \mathbf{g} -ն հակադարձ ցանցի կամայական տեղափոխության վեկտոր է, ապա կստանանք, որ

$$\begin{aligned} D_{\alpha\beta}^{kk'}(\mathbf{q} + \mathbf{g}) &= \frac{1}{\sqrt{m_k m_{k'}}} \sum_{\mathbf{n}'} \Phi_{\alpha\beta}(k\mathbf{n}; k'\mathbf{n}') e^{i(\mathbf{q}+\mathbf{g})(\mathbf{n}'-\mathbf{n})} = \\ &= \frac{1}{\sqrt{m_k m_{k'}}} \sum_{\mathbf{n}'} \Phi_{\alpha\beta}(k\mathbf{n}; k'\mathbf{n}') e^{i\mathbf{q}(\mathbf{n}'-\mathbf{n})} = D_{\alpha\beta}^{kk'}(\mathbf{q}), \end{aligned} \quad (6.25)$$

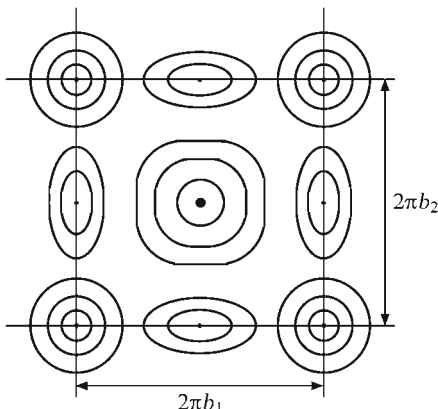
քանի որ $\mathbf{g}(\mathbf{n}' - \mathbf{n}) = 2\pi \times$ ամրող թիվ: Հետևաբար՝ կհամընկնեն $\mathbf{q}' = \mathbf{q} + \mathbf{g}$ և \mathbf{q} ալիքային վեկտորներին համապատասխանող սեփական արժեքները և սեփական վեկտորները՝

$$\omega_j(\mathbf{q} + \mathbf{g}) = \omega_j(\mathbf{q}), \quad (6.26)$$

$$\mathbf{u}_n^k(\mathbf{q} + \mathbf{g}) = \mathbf{u}_n^k(\mathbf{q}): \quad (6.27)$$

Այս արդյունքների համաձայն՝ \mathbf{q}' ալիքային վեկտորով ալիքը համընկնում է \mathbf{q} վեկտորով ալիքի հետ, այսինքն՝ \mathbf{q}' և \mathbf{q} վեկտորները ֆիզիկորեն համարժեք են: Սա հնարավորություն է տալիս դիտարկելու \mathbf{q} վեկտորի փոփոխությունը սահմանափակ տիրույթում: Ընտրելով \mathbf{g} և $\mathbf{n}' - \mathbf{n}$ վեկտորների ամենափոքրը, ոչ զրոյական արժեքները՝ $\mathbf{g} = 2\pi\mathbf{b}_i$ ($i=1, 2, 3$), $\mathbf{n}' - \mathbf{n} = \mathbf{a}_i$ ($i=1, 2, 3$), որտեղ \mathbf{a}_i -ն և \mathbf{b}_i -ն ուղիղ և հակադարձ ցանցերի հիմնական վեկտորներն են, կատանանք՝

$$\mathbf{q}'\mathbf{a}_i = (\mathbf{q} + 2\pi\mathbf{b}_i)\mathbf{a}_i = \mathbf{q}\mathbf{a}_i + 2\pi: \quad (6.28)$$



Նկ. 52. Հավասարահամայնային մակերևույթների պատկերումը
հակադարձ ցանցի Բրիլյուենի գոճայում

Այսպիսով՝ $\mathbf{q}\mathbf{a}_i$ մեծությունը միշտ կարելի է սահմանափակել ($0, 2\pi$) տիրույթով: Նպատակահարմաք է այն ընտրել համաշափ ձևով՝ որպես տիրույթի կենտրոն ընտրելով $\mathbf{q} = 0$ կետը՝

$$-\pi \leq \mathbf{q}\mathbf{a}_i < \pi, \quad i=1, 2, 3: \quad (6.29)$$

(6.29) արտահայտությամբ տրվող 3 առնչությունները որոշում են Բրիլյուենի առաջին գոճան, կամ որ նույնն է, Վիզներ-Զեյտցի քիզը հակադարձ տարածության մեջ (տես I.4): Եթե \mathbf{q} վեկտորը փոփոխվում է Բրիլյուենի առաջին

զոնայում, դիսպերսային հավասարման յուրաքանչյուր ճյուղի համար ստացվում է $\omega_j(\mathbf{q}) = const$ մակերևույթների մի ընտանիք, որոնք կոչվում են հավասարահաճախային (հավասարահաճախական՝ $\hbar\omega_j(\mathbf{q}) = \varepsilon_j(\mathbf{q})$) և որոնք, (6.24) հատկության համաձայն, ունեն ինվերսիայի (համաշափության) կենտրոն: Հավասարահաճախային մակերևույթների պատկերները կրկնվում են հակադարձ ցանցի բջիջներում և Բրիլյունի գոնաներում, քանի որ $\omega_j(\mathbf{q})$ ֆունկցիան $2\pi\mathbf{b}_i$ պարբերություններով եռաչափ պարբերական ֆունկցիա է (տես (6.26) առնչությունը և նկ. 52-ը):

Ընտրենք \mathbf{q} տարածության մեջ այնպիսի մի \mathbf{s} ուղղություն, որի համար

$$\omega_j(-q_s) = \omega_j(q_s): \quad (6.30)$$

Մասնավորապես, այն կարող է համբնենել \mathbf{q} վեկտորի ուղղության հետ:

Եթե $\omega_j(\mathbf{q})$ ֆունկցիայի երկու (կամ ավելի) ճյուղեր որևէ կետում ընդունում են միևնույն արժեքը, այսինքն՝ այդ ճյուղերը հատվում են, ապա տեղի ունի այլասերում (նկ. 53, O, A, C, C' կետերը): Այս դեպքում հարց է ծագում, թե ինչպես որոշել տատանումների տրված ճյուղն ալիքային վեկտորի փոփոխման ամրող տիրույթում: Ինչպես երևում է նկ. 53-ից, տրված ω_j ճյուղը կարելի է ընտրել հետևյալ կորերով՝ DMAC'F', DMAC'E' կամ DMAM'D': Պայմանավորվենք վերահամարակալել ճյուղերն այնպես, որ տրված $q_s = q_s^0$ -ի համար տեղի ունենան հետևյալ անհավասարությունները՝

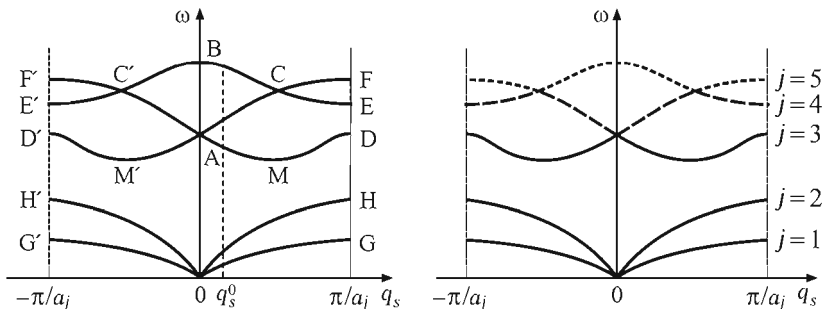
$$\omega_1(q_s^0) < \omega_2(q_s^0) < \omega_3(q_s^0) < \omega_4(q_s^0) < \omega_5(q_s^0):$$

Կենրադրենք այժմ, որ գրված անհավասարությունները տեղի ունեն բոլոր q_s -երի համար, որն էլ հենց որոշում է ճյուղերի համարակալումը q_s -ի փոփոխման ամրող տիրույթում (նկ. 53. թ): Վերահամարակալված բոլոր ճյուղերի համար տեղի ունի $\omega_j(-q_s) = \omega_j(q_s)$ պայմանը:

Այլասերման դեպքում q_s^i հատման կետերում $(\partial\omega_j/\partial q_s)_{q_s^i}$ ածանցյալը, որպես կանոն, քոիչը ունի: Օրինակ՝ պարզ միաչափ ցանցի համար

$$\omega^2 = \omega_{\max}^2 \sin^2 \frac{qa}{2} \quad \text{և} \quad \omega = \pm \omega_{\max} \sin \frac{qa}{2},$$

այսինքն՝ $q = 0$ կետը ճյուղավորման կետ է: Մենք դեռ ենք նետում երկու (\pm) ճյուղերի բացասական հաճախություններին համապատասխանող մասերը և ձայնային ճյուղը որոշում (3.9) բանաձևով:



Նկ. 53 ա. Դիսպերսային ճյուղերի հաստումները, բ. ճյուղերի վերահամարակալումը

Եթե $q = 0$ կետում այլասերում չկա (նկ. 53. ա, Բ կետը), այսինքն՝ չկա տատանումների մի քանի ճյուղերի հատում, ապա $\omega_j(\mathbf{q})$ ֆունկցիան կարելի է վերածել շարքի ըստ q_α պրոյեկցիաների ($\alpha = x, y, z$) աստիճանների՝

$$\omega_j(\mathbf{q}) = \omega_j(0) + \sum_{\alpha} \left(\frac{\partial \omega_j}{\partial q_{\alpha}} \right)_0 q_{\alpha} + \frac{1}{2} \sum_{\alpha \beta} \left(\frac{\partial^2 \omega_j}{\partial q_{\alpha} \partial q_{\beta}} \right)_0 q_{\alpha} q_{\beta} + \dots : \quad (6.31)$$

Քանի որ $\omega_j(\mathbf{q})$ -ն զոյզ ֆունկցիա է, (տես (6.24) հատկությունը), ապա

$$\left(\frac{\partial \omega_j}{\partial q_{\alpha}} \right)_0 = 0 : \quad (6.32)$$

Ու կարգի համաչափ

$$R_{\alpha \beta}^j = \frac{1}{2} \left(\frac{\partial^2 \omega_j}{\partial q_{\alpha} \partial q_{\beta}} \right)_0 \quad (6.33)$$

թենգորը կարելի է բերել անկյունազգծային տեսքի, այնպես որ (6.31) վերլուծությունը կարող ենք ներկայացնել

$$\omega_j(\mathbf{q}) = \omega_j(0) + \sum_{\alpha} q_{\alpha}^2 R_{\alpha \alpha}^j \quad (6.34)$$

տեսքով, այսինքն՝ $\mathbf{q} = 0$ կետում $\omega_j(\mathbf{q}) - \omega_j(0)$ վերլուծությունն սկսվում է q_α^2 մեծություններին համեմատական անդամներից: Մասնավորապես, խորանարդային բյուրեղի համար $R_{xx}^j = R_{yy}^j = R_{zz}^j \equiv R^j$, ուստի

$$\omega_j(\mathbf{q}) = \omega_j(0) + Rq^2, \quad (6.35)$$

այսինքն՝ փոքր \mathbf{q} -երի համար $\omega_j(\mathbf{q}) = \text{const}$ հավասարահաճախային մակերևույթները գնդեր են (նկ. 52):

Հարկ է նշել, որ $\omega_j(\mathbf{q})$ ֆունկցիան էքստրեմալ արժեքներ կարող է ընդունել ոչ միայն Բրիլյունի գոնայի կենտրոնում (նկ. 53. ա, B կետ) կամ սահմանի վրա (նկ. 53. ա, F,F',...,H,H' կետեր), այլև գոնայի ներսում (նկ. 53. ա, M,M' կետեր):

3. Առողջության շեղումների ուսումնասիրումը: Նորմալ կոորդինատներ

Այժմ ուսումնասիրենք ցանցի տատանումների բնույթը երկարալիքային սահմանում ($\lambda \rightarrow \infty, \mathbf{q} \rightarrow 0$): Այս դեպքում, (6.13) սահմանման համաձայն, $D_{\alpha\beta}^{kk'}(0)$ մեծություններն իրական են, հետևաբար իրական կլինեն նաև (5.12) հավասարումից $\mathbf{q} = 0$ դեպքում ստացվող

$$\omega^2(0)A_\alpha^k(0) = \sum_{k'\beta n'} \frac{1}{\sqrt{m_k m_{k'}}} \Phi_{\alpha\beta}(k\mathbf{n}; k'\mathbf{n}') A_\beta^{k'}(0) \quad (6.36)$$

հավասարման $A_\alpha^k(0)$ լուծումները: Ենթադրենք այժմ, որ j -րդ ճյուղին պատկանող լայնույթը՝

$$A_{j\beta}^{k'}(0) = \sqrt{m_{k'}} \text{ const} \quad (\text{ըստ } k' \text{-ի}), \quad (6.37)$$

այսինքն՝ $u_{n\beta j}^{k'}$ շեղումները կախված չեն ատոմի տեսակից (տես (6.11) արտահայտությունը): (6.36) և (6.37) հավասարումներից հետևում է, որ

$$\frac{1}{\sqrt{m_k}} \sum_{\beta} \frac{A_{j\beta}^{k'}(0)}{\sqrt{m_{k'}}} \sum_{k'n'} \Phi_{\alpha\beta}(k\mathbf{n}; k'\mathbf{n}') = 0 : \quad (6.38)$$

Բայց քանի որ մեզ չի հետաքրքրում $A_{j\alpha}^k(0) = 0$ ($\alpha = x, y, z$) լուծումը, ապա (6.36) հավասարումից կստանանք՝

$$\omega_j(0) = 0 : \quad (6.39)$$

Մյուս կողմից, (6.39) պայմանը տեղի կունենա, եթե $A_{j\alpha}^k(0) \neq 0$ գոնեւ α -ի մեկ արժեքի համար, ուստի բնական է ենթադրել, որ կա տատանումների երեք ($j = 1, 2, 3$) ճյուղ, որոնց համար $\omega_j(\mathbf{q}) \rightarrow 0$, եթե $q \rightarrow 0$:

Այս երեք ճյուղերը, որոնց համար ատոմների շեղումները կախված չեն ատոմի տեսակից, կոչվում են ձայնային և նման են միաշափ ցանցի ձայնային ճյուղին:

Այժմ քննարկենք $\mathbf{q} = 0$ դեպքը, բայց առանց (6.37) ենթադրության: Արտագրենք (6.36) հավասարումը հետևյալ տեքով՝

$$m_k \omega_j^2(0) \frac{A_{j\alpha}^k(0)}{\sqrt{m_k}} = \sum_{k'\beta} \frac{1}{\sqrt{m_{k'}}} \Phi_{\alpha\beta}(k\mathbf{n}; k'\mathbf{n}') A_{j\beta}^{k'}(0) : \quad (6.40)$$

Բազմապատկելով հավասարման երկու մասերը $e^{-i\omega t}$ արտադրիչով, օգտվելով (6.11) արտահայտությունից և կատարելով գումարում ըստ k -ի՝ (6.9) հատկության համաձայն՝ կստանանք.

$$\omega_j^2(0) \sum_k m_k u_{naj}^k(t) = \sum_{k'\beta} u_{n\beta j}^{k'}(t) \sum_{k\alpha} \Phi_{\alpha\beta}(k\mathbf{n}; k'\mathbf{n}') = 0 : \quad (6.41)$$

Քանի որ $\omega_j(0) \neq 0$, ապա

$$\sum_{k=1} m_k u_{naj}^k(t) = 0 , \quad (6.42)$$

այսինքն՝ երկարալիքային տատանումների ժամանակ բջջի ծանրության կենտրոնը մնում է անշարժ: Տատանումների այս ճյուղերը կոչվում են օպտիկական և նման են միաշափ ցանցի օպտիկական ճյուղին:

Այսպիսով՝ բյուրեղի դիսպերսային հավասարման բոլոր $3s$ ճյուղերից 3 ը ձայնային ճյուղերն են՝ $\omega_j = 0$ ($j = 1, 2, 3$), իսկ մնացած ($3s - 3$)-ը՝ օպտիկական ճյուղերը՝ $\omega_j = \omega_j(0)$ ($j = 4, 5, 6, \dots, 3s$):

Կարելի է ցույց տալ, որ, ինչպես և միաշափ դեպքում, երկարալիքային սահմանում ($qa_j \ll 1$) ձայնային ճյուղերի հաճախությունները կարելի են երկայացնել

$$\omega(\mathbf{q}) = v_j(\theta, \phi) |\mathbf{q}|, \quad j = 1, 2, 3 \quad (6.43)$$

տեսքով, որտեղ v_j -ն j -րդ ճյուղի ալիքի տարածման արագությունն է և կախված է ալիքի տարածման ուղղությունից (θ, φ անկյունները որոշում են \mathbf{q} վեկտորի ուղղությունը), իսկ օպտիկական ճյուղերի համար $\omega_j(\mathbf{q})$ դիսպերսային հավասարումը տրվում է (6.35) արտահայտությամբ, այսինքն՝ ունի էքստրեմում (մաքսիմում): Այլասերման բացակայության դեպքում $\omega_j(\mathbf{q})$ ֆունկցիան էքստրեմալ է նաև Բրիլյունի զոնայի սահմանների վրա:

Տատանումների լրիվ պատկերը ստանալու համար անհրաժեշտ է լուծել (6.15) բնութագրական հավասարումը \mathbf{q} վեկտորի բոլոր արժեքների համար, որը հնարավոր է իրականացնել միայն բվային մեթոդներով:

Այժմ ներմուծենք նորմալ կոորդինատներ եռաչափ ցանցի համար: j -րդ ճյուղին պատկանող և \mathbf{q} ալիքային վեկտորով տատանումներին համապատասխանող շեղումը տրվում է (6.11) հավասարումով: (6.10) շարժման հավասարումների համակարգի գծայնությունից հետևում է, որ ընդհանուր դեպքում շեղման վեկտորը կարելի է ներկայացնել բյուրեղի բոլոր սեփական տատանումների գծային համակցության տեսքով՝

$$u_{\mathbf{n}\alpha}^k(t) = \frac{1}{\sqrt{Nm_k}} \sum_{\mathbf{q}_j} e_{jk\alpha}(\mathbf{q}) a_j(\mathbf{q}, t) e^{i\mathbf{qn}}, \quad (6.44)$$

որտեղ առայժմ անհայտ $a_j(\mathbf{q}, t)$ գործակիցները հանդես են զալիս որպես նորմալ կոորդինատներ:

(6.44) արտահայտությունը տեղադրենք շարժման (6.10) հավասարումների մեջ՝

$$\begin{aligned} & \sqrt{\frac{m_k}{N}} \sum_{\mathbf{q}_j} e^{i\mathbf{qn}} [e_{jk\alpha}(\mathbf{q}) \ddot{a}_j(\mathbf{q}, t) + \\ & + \sum_{k'\beta n'} e_{jk'\beta}(\mathbf{q}) a_j(\mathbf{q}, t) \frac{1}{\sqrt{m_k m_{k'}}} \Phi_{\alpha\beta}(k\mathbf{n}; k'\mathbf{n}') e^{i\mathbf{q}(\mathbf{n}' - \mathbf{n})}] = 0 \end{aligned} \quad (6.45)$$

և նկատի ունենանք, որ համաձայն (6.13) և (6.18) առնչությունների՝

$$\begin{aligned} \sum_{k'\beta} e_{jk'\beta}(\mathbf{q}) \sum_{\mathbf{n}'} \frac{1}{\sqrt{m_k m_{k'}}} \Phi_{\alpha\beta}(k\mathbf{n}; k'\mathbf{n}') e^{i\mathbf{q}(\mathbf{n}' - \mathbf{n})} = \\ = \sum_{k'\beta} e_{jk'\beta}(\mathbf{q}) D_{\alpha\beta}^{kk'}(\mathbf{q}) = \omega_j^2(\mathbf{q}) e_{j\alpha k}(\mathbf{q}): \end{aligned} \quad (6.46)$$

(6.45) և (6.46) առնչություններից հետևում է, որ $a_j(\mathbf{q}, t)$ մեծությունները բավարարում են

$$\ddot{a}_j(\mathbf{q}, t) + \omega_j^2(\mathbf{q}) a_j(\mathbf{q}, t) = 0 \quad (6.47)$$

հավասարմանը: Քանի որ $u_{n\alpha}^k(t)$ շեղումներն իրական մեծություններ են, ապա (6.44) արտահայտությունից հետևում է $a_j(\mathbf{q}, t)$ նորմալ կորդինատների համաչափության հետևյալ հատկությունը՝

$$a_j(\mathbf{q}, t) = a_j^*(-\mathbf{q}, t): \quad (6.48)$$

Նորմալ կորդինատների թվով հավասար է $3sN$ -ի, այսինքն՝ բյուրեղային ցանցի ազատության աստիճանների թվին:

§7. Սահմանային պայմանների ուսումնասիրումը

Այժմ պարզենք, թե ինչպիսի արժեքներ կարող են լուսունել ալիքային վեկտորը: Այդ նպատակով դիմենք շեղման վեկտորների վրա որպես սահմանային պայմաններին:

Դիտարկենք անվերջ բյուրեղ, որը բաղկացած է մակրոբյուրեղներից, որոնցից յուրաքանչյուրը $N_1\mathbf{a}_1, N_2\mathbf{a}_2$ և $N_3\mathbf{a}_3$ կողերով գուգահեռանիստ է և պարունակում է $N_1 N_2 N_3 = N$ տարրական քաջից: Ենթադրվում է, որ N_1, N_2 և N_3 թվերը շատ մեծ են մեկից. օրինակ՝ եթե մակրոբյուրեղի չափերն ընտրենք 1սմ×1սմ×1սմ, ապա $N_1 \sim N_2 \sim N_3 \sim 10^7$: Յուրաքանչյուր մակրոբյուրեղ կարելի է դիտարկել որպես ֆիզիկական բյուրեղ, որի տատանողական հատկություններն անհրաժեշտ են ուսումնասիրել:

Օգտվենք սահմանային պայմաններից, որոնք միաշափ բյուրեղի դեպքում օգտագործված (2.16) շրջանային կամ Բոոն-Կառմանի սահմանային պայմանի եռաչափ ընդհանրացումն են, և որոնց համաձայն՝ ատոմների շեղումները պետք է լինեն պարբերական ըստ մակրոբյուրեղի չափերի՝

$$\mathbf{u}_n^k(t) = \mathbf{u}_{n+N_1\mathbf{a}_1}^k(t) = \mathbf{u}_{n+N_2\mathbf{a}_2}^k(t) = \mathbf{u}_{n+N_3\mathbf{a}_3}^k(t); \quad (7.1)$$

Նկատի ունենալով շեղման վեկտորի (6.11) արտահայտությունը՝ (7.1) սահմանային պայմաններից կստանանք՝

$$e^{i\mathbf{q}\mathbf{a}_1 N_1} = e^{i\mathbf{q}\mathbf{a}_2 N_2} = e^{i\mathbf{q}\mathbf{a}_3 N_3} = 1, \quad (7.2)$$

այսինքն՝

$$\mathbf{q}\mathbf{a}_1 N_1 = 2\pi p_1, \quad \mathbf{q}\mathbf{a}_2 N_2 = 2\pi p_2, \quad \mathbf{q}\mathbf{a}_3 N_3 = 2\pi p_3, \quad (7.3)$$

որտեղ $p_1, p_2, p_3 = 0, \pm 1, \pm 2, \pm \dots$ կամայական ամբողջ թվեր են: Ստացված երեք հավասարումներից որոշվող \mathbf{q} վեկտորը փոփոխվում է հակադարձ տարածության մեջ (տես I.7) և, հետևաբար, կարող է ներկայացվել հակադարձ ցանցի հիմնական վեկտորների միջոցով.

$$\mathbf{q} = h_1 \mathbf{b}_1 + h_2 \mathbf{b}_2 + h_3 \mathbf{b}_3 : \quad (7.4)$$

Որոշենք h_1, h_2, h_3 անհայտ գործակիցները: (7.3), (7.4) հավասարումներից և (I.7.23) առնչությունից կստանանք՝

$$\mathbf{q}\mathbf{a}_1 N_1 = (h_1 \mathbf{a}_1 \mathbf{b}_1 + h_2 \mathbf{a}_1 \mathbf{b}_2 + h_3 \mathbf{a}_1 \mathbf{b}_3) N_1 = h_1 N_1 = 2\pi p_1,$$

այսինքն՝

$$h_1 = \frac{2\pi}{N_1} p_1 : \quad (7.5)$$

Նույն եղանակով h_2 և h_3 գործակիցների համար կստանանք՝

$$h_2 = \frac{2\pi}{N_2} p_2, \quad h_3 = \frac{2\pi}{N_3} p_3 : \quad (7.6)$$

Այսպիսով՝ \mathbf{q} ալիքային վեկտորի արժեքները տրվում են

$$\mathbf{q} = \frac{2\pi p_1}{N_1} \mathbf{b}_1 + \frac{2\pi p_2}{N_2} \mathbf{b}_2 + \frac{2\pi p_3}{N_3} \mathbf{b}_3, \quad p_1, p_2, p_3 = 0, \pm 1, \pm 2, \pm \dots \quad (7.7)$$

արտահայտությամբ: Եթե \mathbf{q} վեկտորի փոփոխման տիրույթը բրիլյուենի զնան է՝

$$-\pi \leq \mathbf{q}\mathbf{a}_i < \pi, \quad i = 1, 2, 3,$$

ապա

$$-\frac{N_1}{2} \leq p_1 < \frac{N_1}{2}, \quad -\frac{N_2}{2} \leq p_2 < \frac{N_2}{2}, \quad -\frac{N_3}{2} \leq p_3 < \frac{N_3}{2}; \quad (7.8)$$

Բրիլյունի զոնայում \mathbf{q} վեկտորի տարրեր արժեքների թիվը հավասար է (7.8) պայմաններին բավարարող (p_1, p_2, p_3) եռյակի ընդունած արժեքների թիվն, որը հավասար է N -ի: Այսպիսով՝ զայիս ենք կարևոր եզրակացության՝ ալիքային վեկտորը Բրիլյունի զոնայում ընդունում է ճշշտ այնքան տարրեր արժեքներ, որքան տարրական բջիջներ է պարունակում տվյալ բյուրեղը:

Այժմ ցույց տանք, որ \mathbf{q} ալիքային վեկտորի արժեքները հակադարձ տարածության մեջ բաշխված են հաստատուն խտությամբ: (7.4) և (7.7) արտահայտություններից հետևում է, որ հակադարձ տարածության i -րդ հիմնական կոորդինատական առանցքի վրա \mathbf{q} վեկտորի երկու ամենամուտ ($\Delta p_i = 1$) արժեքների միջև տարրերությունը՝

$$\Delta \mathbf{q}_i = \Delta h_i \mathbf{b}_i = \mathbf{b}_i (2\pi \Delta p_i / N_i) = 2\pi \mathbf{b}_i / N_i : \quad (7.9)$$

Հետևաբար՝ յուրաքանչյուր \mathbf{q} վեկտորի հակադարձ տարածության մեջ բաժին է ընկնում

$$\Omega = (\Delta \mathbf{q}_1 [\Delta \mathbf{q}_2, \Delta \mathbf{q}_3]) = \frac{(2\pi)^3}{N_1 N_2 N_3} (\mathbf{b}_1 [\mathbf{b}_2, \mathbf{b}_3]) = \frac{(2\pi)^3}{N v_0} = \frac{(2\pi)^3}{V} \quad (7.10)$$

ծավալ, որտեղ v_0 -ն տարրական բջիջի, իսկ V -ն ամբողջ բյուրեղի ծավալն է:

(7.10) արտահայտությունը կարելի է ստունալ նաև այլ եղանակով: Եթե նկատի ունենանք, որ \mathbf{q} վեկտորի բոլոր, իրարից տարրեր N հատ արժեքներն ընկած են Բրիլյունի զոնայում, որի ծավալը՝ $\Omega_0 = (2\pi)^3 / v_0$, ապա մեկ վիճակին (մեկ \mathbf{q} վեկտորին) բաժին ընկնող ծավալը՝ $\Omega_1 = \Omega_0 / N = (2\pi)^3 / N v_0 = (2\pi)^3 / V$:

Եթե $V \rightarrow \infty$, $\Omega_1 \sim 1/V \rightarrow 0$ և \mathbf{q} ալիքային վեկտորն ընդունում է անընդհատ արժեքներ, կամ նկատի ունենալով Բրիլյունի զոնայում նրա արժեքների վերջավոր (N) թիվը՝ կարելի է համարել, որ \mathbf{q} վեկտորը քվազիանընդհատ է (տես §2): Նկատի ունենալով այս հանգամանքը՝ գրենք հակադարձ տարածության $d\mathbf{q}$ ծավալում վիճակների թիվը՝

$$dN = \frac{d\mathbf{q}}{\Omega_1} = \frac{V}{(2\pi)^3} d\mathbf{q} \equiv D_{\mathbf{q}} d\mathbf{q} : \quad (7.11)$$

(7.11) արտահայտության մեջ $d\mathbf{q}$ ծավալի տարրի գործակիցը՝ $D_{\mathbf{q}} = V/(2\pi)^3$ մեծությունը հակադարձ տարածության միավոր ծավալում (1 м^{-3} -ում) վիճակների թիվն է: $D_{\mathbf{q}}$ խտությունը կախված չէ \mathbf{q} -ից, այսինքն՝ \mathbf{q} վեկտորի արժեքները բաշխված են հաստատուն խտությամբ:

Օգտվելով մակրոսկոպական նմուշի դեպքում \mathbf{q} վեկտորի քվազիանը ընդհատության հատկությունից՝ կարելի է հաշվել $\sum_{\mathbf{q}} F_{\mathbf{q}}$ տիպի գումարներ:

Իրոք, եթե $V \rightarrow \infty$, ապա ըստ \mathbf{q} -ի գումարում անդամները կարելի է խմբավորել $\mathbf{q}, \mathbf{q} + d\mathbf{q}$ տիրույթում, որտեղ նրանց թիվը՝ $dN = Vd\mathbf{q}/(2\pi)^3$ է, և ապա ինտեգրել \mathbf{q} -ի բոլոր հնարավոր արժեքներով, այսինքն՝

$$\sum_{\mathbf{q}} F_{\mathbf{q}} = \int F(\mathbf{q}) \frac{V}{(2\pi)^3} d\mathbf{q}, \quad (7.12)$$

որտեղ $F(\mathbf{q})$ -ն համարվում է \mathbf{q} -ի անընդհատ ֆունկցիա: Մասնավորապես, L երկարությամբ միաչափ և S մակերեսով երկչափ համակարգերի դեպքում

$$\sum_{\mathbf{q}} F_{\mathbf{q}} = \frac{L}{2\pi} \int F(q) dq = \int F(q) \frac{dq}{\Delta q} = \int F(q) \frac{dq}{(2\pi/L)} \quad (7.13)$$

$$\sum_{\mathbf{q}_{\perp}} F_{\mathbf{q}_{\perp}} = \frac{S}{(2\pi)^2} \int F(\mathbf{q}_{\perp}) d\mathbf{q}_{\perp} = \int F(\mathbf{q}_{\perp}) \frac{d\mathbf{q}_{\perp}}{\Delta \mathbf{q}_{\perp}} = \int F(\mathbf{q}_{\perp}) \frac{d\mathbf{q}_{\perp}}{(2\pi)^2/S}: \quad (7.14)$$

Ծրջանային սահմանային պայմանների օգտագործումը մաքենատիկական հնարք է, որը շատ հեշտացնում է հաշվարկները: Սակայն ծագում է հետևյալ ոչ հասարակ հարցը. կփոխավի՞ արդյոք \mathbf{q} վեկտորի սեփական արժեքների բաշխումը, եթե օգտվենք կոնկրետ սահմանային պայմաններից և այնուհետև բջիջների թիվը՝ $N \rightarrow \infty$: Այս հարցը պարզաբանելու համար դիմենք Լեռնամանի թերեւմին, որի համաձայն, եթե էրմիտական մատրիցի r տողերի և r սյունակների տարրերը փոփոխենք կամայական ձևով, բայց այնպես, որ մատրիցը մնա էրմիտական, ապա մատրիցի սեփական արժեքների թիվը կամայական տիրույթում չի կարող աճել կամ նվազել ավելի, քան $2r$ -ով:

Վերադառնանք շարժման (6.10) հավասարմանը և նրա լուծումը փնտրենք

$$u_{n\alpha}^k(t) = \frac{1}{\sqrt{m_k}} v_{n\alpha}^k e^{-i\omega t} \quad (7.15)$$

տեսքով, որտեղ առկա անհայտ $v_{n\alpha}^k$ մեծությունները որոշվում են հետևյալ համակարգի՝

$$\omega^2 v_{n\alpha}^k = \sum_{k' \beta n'} \frac{1}{\sqrt{m_k m_{k'}}} \Phi_{\alpha\beta}(kn; k'n') v_{n'\beta}^{k'} \equiv \sum_{k' \beta n'} D_{\alpha\beta}^{kk'}(\mathbf{n}, \mathbf{n}') v_{n'\beta}^{k'} : \quad (7.16)$$

Ինչպես հետևում է սահմանումից, $D_{\alpha\beta}^{kk'}(\mathbf{n}, \mathbf{n}') = (m_k m_{k'})^{-1/2} \Phi_{\alpha\beta}(kn; k'n')$ տարրերն իրական են և համաչափ, այսինքն՝ $D_{\alpha\beta}^{kk'}(\mathbf{n}, \mathbf{n}')$ մատրիցն էրմիտական է:

Անվերջ բյուրեղի, ինչպես նաև շրջանային սահմանային պայմաններին բավարարող բյուրեղի համար $D_{\alpha\beta}^{kk'}(\mathbf{n}, \mathbf{n}')$ տարրերը կախված են \mathbf{n} -ից և \mathbf{n}' -ից միայն $\mathbf{n} - \mathbf{n}'$ տարրերության ձևով: Եթե գործ ունենք իրական վերջավոր բյուրեղային ցանցի հետ, որը պարունակում է նույն թվով տարրական բջիջներ, ինչ որ շրջանային սահմանային պայմաններին բավարարող ցանցը, սակայն որի ատոմների շեղումների վրա դրված են ազատ կամ բնական սահմանային պայմաններ (այն է՝ մակերևությային շերտի ատոմների վրա արտաքին ուժեր չեն ազդում), ապա $D_{\alpha\beta}^{kk'}(\mathbf{n}, \mathbf{n}')$ մեծությունը կախված կլինի և \mathbf{n} -ից, և \mathbf{n}' -ից: Մյուս կողմից, եթե (\mathbf{n}, k) և (\mathbf{n}', k') ատոմների հեռավորությունները բյուրեղի մակերևույթից ավելի մեծ են, քան միջատումային ուժերի գործողության շառավիղն է, ապա համապատասխան $D_{\alpha\beta}^{kk'}(\mathbf{n}, \mathbf{n}')$ տարրը նորից կախված կլինի միայն $|\mathbf{n} - \mathbf{n}'|$ հեռավորությունից: Մակերևությային շերտի ատոմի համար $D_{\alpha\beta}^{kk'}(\mathbf{n}, \mathbf{n}')$ տարրերը, որոնք համապատասխանում են բյուրեղից դուրս ատոմների հետ փոխազդեցությանը, հավասար են զրոյի: Հետևաբար, եթե երկու (միևնույն թվով տարրական բջիջներից բաղկացած) բյուրեղներից մեկի վրա դրված են շրջանային, իսկ մյուսի վրա՝ բնական սահմանային պայմաններ, ապա նրանց $\|D_{\alpha\beta}^{kk'}(\mathbf{n}, \mathbf{n}')\|$ մատրից-

Աերն իրարից կտարբերվեն այն տողերի և սյունակների տարրերով, որոնք համապատասխանում են մակերևութային շերտին պատկանող ատոմներին: Քանի որ միջատոմային ուժերի գործողության շառավիղը կախված չէ ատոմների թվից, ապա իրարից տարբեր տողերի և սյունակների թվով երկու մասրիցում էլ $3s(N_1N_2 + N_2N_3 + N_1N_3)$ կարգի է, իսկ մասրիցի տողերի և սյունակների լրիվ թվով $3sN_1N_2N_3$ է: Համաձայն Լեդերմանի թեորեմի՝ շրջանայինից բնական սահմանային պայմաններին անցնելիս հաճախությունների թվի հարաբերական փոփոխությունը՝

$$\frac{N_1N_2 + N_2N_3 + N_1N_3}{N_1N_2N_3} = \frac{1}{N_1} + \frac{1}{N_2} + \frac{1}{N_3} \sim N^{-1/3} \quad (N_1 \sim N_2 \sim N_3) \quad (7.17)$$

կարգի մեծություն է և մեծ N -երի համար ձգտում է զրոյի:

Ընդհանուր դեպքում, եթե միջատոմային ուժերը զրոյից տարբեր են միայն վերջավոր թվով հարևանների համար, ապա կոնկրետ սահմանային պայմանների ազդեցությունն անվերջ փոքր է, եթե միայն մակերևութային շերտի ատոմների թվի հարաբերությունը բյուրեղի բոլոր ատոմների թվին շատ փոքր է մեկից:

Տ8. Տատանումների բաշխումը սպեկտրում:

Վիճակների խտության ֆունկցիա

Բյուրեղի՝ ցանցի տատանումներով պայմանավորված մի շարք ֆիզիկական հատկություններ բացատրելու համար բոլորովին պարտադիր չէ ունենալ $\omega_j = \omega_j(\mathbf{q})$ դիսպերսային հավասարումներով տրվող լրիվ տեղեկատվությունը, բավական է գիտենալ միայն տատանումների (նողերի) բաշխումն ըստ հաճախությունների:

Ինչպես գիտենք, մակրոսկոպական նմուշում ալիքային վեկտորի արժեքները հակադարձ տարածության մեջ բաշխված են $V/(2\pi)^3$ խտությամբ, ուստի, եթե $V \rightarrow \infty$, ալիքային վեկտորը Բրիլյունի գոնայում ընդունում է անընդհատ արժեքներ: Ալիքային վեկտորի և տվյալ ճյուղին պատկանող հաճախությունների միջև կապից հետևում է, որ ω_j -ն նույնական ընդունում է անընդհատ արժեքներ, ուստի կարելի է որոշել, թե քանի տատանողական մոդ է պարունակվում հաճախությունների ω , $\omega + d\omega$ տիրույթում:

Նշանակենք j -րդ ճյուղին պատկանող մոդերի թիվն ω , $\omega + d\omega$ տիրույթում $dN_j(\omega)$ -ով, որը համեմատական է $d\omega$ -ին՝

$$dN_j(\omega) = g_j(\omega) d\omega, \quad (8.1)$$

որտեղ $g_j(\omega)$ ֆունկցիան հաճախությունների միավոր տիրույթում j -րդ ճյուղի մոդերի թիվն է և կոչվում է վիճակների խտության ֆունկցիա: Յուրաքանչյուր ճյուղի վիճակների խտության ֆունկցիան բավարարում է

$$\int_{\omega_{j\min}}^{\omega_{j\max}} g_j(\omega) d\omega = N \quad (8.2)$$

նորմավորման պայմանին, որտեղ N -ը տարրական բջիջների թիվն է բյուրեղում, իսկ $\omega_{j\min}$ -ը և $\omega_{j\max}$ -ը j -րդ ճյուղին պատկանող նվազագույն և առավելագույն հաճախություններն են:

Այժմ ստանանք արտահայտություն վիճակների խտության ֆունկցիայի համար և ուսումնասիրենք նրա հատկությունները:

Ցանցի հատկություններով պայմանավորված որոշ մեծություններ, (7.12) բանաձևի համաձայն, կարող են ներկայացվել հետևյալ ընդհանուր տեսքով՝

$$\sum_{\mathbf{q}j} Q(\omega_j(\mathbf{q})) = \sum_j \int \frac{V}{(2\pi)^3} d\mathbf{q} Q(\omega_j(\mathbf{q})): \quad (8.3)$$

Այս հավասարության ձախ մասը բոլոր $3Ns$ մոդերի ներդրումների գումարն է, որը բոլոր ճյուղերին պատկանող մոդերի թիվը $\omega, \omega + d\omega$ տիրույթում $g(\omega) d\omega$ նշանակելուց հետո կարելի է ներկայացնել նաև

$$\int d\omega g(\omega) Q(\omega) \quad (8.4)$$

տեսքով: (8.3) և (8.4) առնչություններից բխում է, որ

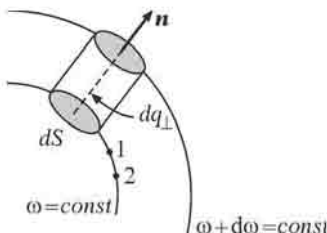
$$g(\omega) = \sum_j \frac{V}{(2\pi)^3} \int d\mathbf{q} \delta[\omega - \omega_j(\mathbf{q})] \equiv \sum_j g_j(\omega): \quad (8.5)$$

Հետևաբար՝ j -րդ ճյուղի վիճակների խտության ֆունկցիան՝

$$g_j(\omega) = \sum_j \frac{V}{(2\pi)^3} \int d\mathbf{q} \delta[\omega - \omega_j(\mathbf{q})], \quad (8.6)$$

որուել ինտեգրումն ըստ \mathbf{q} -ի կատարվում է Բրիյուենի գոճայի կամ, որ նոյնն է, հակադարձ ցանցի տարրական քջի ծավալով: (8.6) արտահայտության օգնությամբ վիճակների խտության ֆունկցիան կարելի է ներկայացնել տարրեր մաքսմատիկական բանաձևերով՝ օգտագործելով դելտա-ֆունկցիայի զանազան պատկերացումներ:

Զնափոխնենք (8.6) արտահայտությունը: Մոդերի թիվը ω , $\omega + d\omega$ տիրույթամ կարելի է որոշել \mathbf{q} -տարրածության $\omega_j(\mathbf{q}) = \omega = \text{const}$ և $\omega_j(\mathbf{q}) = \omega + d\omega = \text{const}$ մակերևույթներով սահմանափակված ծավալը բաժանելով մեկ մոդին բաժին ընկնող $(2\pi)^3/V$ ծավալին (նկ. 54): Նշված ծավալը հաշվելու նպատակով կատացնենք dS հիմքի մակերեսով մի գլան, որի կողմնային մակերևույթը ողղահայաց է $\omega_j(\mathbf{q}) = \omega$ մակերևույթին: Ինչպես հայտնի է, $\omega_j(\mathbf{q})$ ֆունկցիայի գրադիենտն ուղղահայաց է $\omega_j(\mathbf{q}) = \text{const}$ մակերևույթին: Դրանում հեշտ է համոզվել, եթե գրենք $\omega_j(\mathbf{q})$ ֆունկցիայի փոփոխության արտահայտությունը նոյն հավասարահամախային մակերևույթին պատկանող երկու անկերջ մոտ 1 և 2 կետերի միջև (նկ. 54):



Նկ. 54. Վիճակների թվի հաշվարկը ω , $\omega + d\omega$ տիրույթում

Իրոք,

$$\omega_2 - \omega_1 \approx \frac{\partial \omega}{\partial \mathbf{q}} \delta \mathbf{q}_{12} + \dots = 0: \quad (8.7)$$

Սյուս կողմից, քանի որ $\delta \mathbf{q}_{12}$ վեկտորն $\omega_j(\mathbf{q}) = \text{const}$ մակերևույթի վրա է (ավելի ճշգրիտ՝ 1 կետում $\omega_j(\mathbf{q}) = \text{const}$ մակերևույթին տարրված շոշափող հարթության մեջ), ապա, ըստ (8.7) առնչության,

$$\nabla_{\mathbf{q}} \omega_j \equiv \frac{d\omega_j}{d\mathbf{q}} \perp \delta_{\mathbf{q}12},$$

այսինքն՝ $\nabla_{\mathbf{q}} \omega_j$ վեկտորն ուղղված է \mathbf{q} կետում $\omega_j(\mathbf{q}) = const$ մակերևույթի
n նորմալի ուղղությամբ:

dS հիմքի մակերեսով գլանի ծավալը՝

$$dS dq_{\perp} = dS \frac{d\omega}{|\partial\omega_j/\partial\mathbf{q}|} \equiv \frac{dS d\omega}{|\nabla_{\mathbf{q}} \omega_j(\mathbf{q})|}, \quad (8.8)$$

հետևաբար՝ $\omega = const$ և $\omega + d\omega = const$ մակերևույթներով սահմանափակված ծավալը՝

$$d\Omega(\omega) \equiv \iiint_{\omega \leq \omega_j(\mathbf{q}) \leq \omega + d\omega} dS dq_{\perp} = d\omega \iint_{\omega_j(\mathbf{q}) = \omega} \frac{dS}{|\partial\omega_j/\partial\mathbf{q}|} \equiv d\omega \iint \frac{dS}{|\partial\omega_j/\partial\mathbf{q}|}, \quad (8.9)$$

որտեղ ինտեգրումը կատարվում է $\omega = \omega_j(\mathbf{q}) = const$ հավասարահաճախային մակերևույթով: (7.9) արտահայտությունը բաժանելով $(2\pi)^3/V$ ծավալին և արդյունքը հավասարեցնելով ω , $\omega + d\omega$ տիրույթում մոդերի թվին՝ կստանանք.

$$\mathbf{g}_j(\omega) = \frac{V}{(2\pi)^3} \iint \frac{dS}{|\partial\omega_j/\partial\mathbf{q}|} = \frac{V}{(2\pi)^3} \iint \frac{dS}{|v_{jg}(\mathbf{q})|}, \quad (8.10)$$

որտեղ

$$v_{jg}(\mathbf{q}) = \frac{\partial \omega_j(\mathbf{q})}{\partial \mathbf{q}} \equiv \nabla_{\mathbf{q}} \omega_j(\mathbf{q}) \quad (8.11)$$

վեկտորը \mathbf{q} ալիքային վեկտորով փաթեթի խմբային արագությունն է $\omega_j(\mathbf{q})$ դիսպերսային հավասարումով նկարագրվող միջավայրում:

Ինչպես գիտենք, $\omega_j(\mathbf{q})$ ֆունկցիան պարբերական է \mathbf{q} -տարածության մեջ և յուրաքանչյուր j -ի համար սահմանափակ է վերից և վարից, ինչպես նաև ընդհանուր դեպքում՝ ամենուրեք դիֆերենցիալի: Այս հատկություններից անմիջապես հետևում է, որ հակադարձ ցանցի յուրաքանչյուր տարրական բջջում պետք է լինեն կետեր, որոնցում $|\nabla_{\mathbf{q}} \omega_j(\mathbf{q})| = 0$: Այդ կետերն

ընդունված է անվանել կրիտիկական: Կրիտիկական կետերում (8.10) ինտեգրալում ծագում են եզակիություններ:

Ուստինասիրենք $\mathbf{g}_j(\omega)$ ֆունկցիայի վարքը կրիտիկական կետերի շրջակայքում:

Քանի որ $\omega(\mathbf{q})$ -ն (սոորեւ j ցուցիչը բաց է թողնված) \mathbf{q} -ի անընդհատ ֆունկցիա է, ապա այն կարելի է վերածել շարքի \mathbf{q}_c կրիտիկական կետի շրջակայքում՝

$$\omega(\mathbf{q}) = \omega_c + \gamma_1 q_x^2 + \gamma_2 q_y^2 + \gamma_3 q_z^2 : \quad (8.12)$$

Այս արտահայտության մեջ քառակուսային անդամները բերված են անկյունագծային տեսքի, $\omega_c \equiv \omega(\mathbf{q}_c)$, $\mathbf{q} - \mathbf{q}_c$ տարրերությունը փոխարինված է $\mathbf{q}(q_x, q_y, q_z)$ -ով, իսկ վերլուծության զծային անդամները, կրիտիկական կետի սահմանման համաձայն, բացակայում են: Կախված γ_i գործակիցների նշաններից՝ հնարավոր է չորս դեպք:

1. Եթե երեք գործակիցներն ել դրական եմ՝ $\gamma_i > 0$ ($i=1, 2, 3$), ապա $\omega(\mathbf{q})$ ֆունկցիան ω_c կետում ունի տեղային մինիմում, և $\omega(\mathbf{q}) = \omega = const$ մակերևույթն էլիպսարդ է, որով սահմանափակված ծավալը՝

$$\Omega(\omega) = \frac{4\pi}{3} \frac{(\omega - \omega_c)^{3/2}}{(\gamma_1 \gamma_2 \gamma_3)^{1/2}}, \quad (8.13)$$

իսկ ω և $\omega + d\omega$ հավասարահաճախային մակերևույթներով սահմանափակված ծավալը՝

$$d\Omega = \Omega(\omega + d\omega) - \Omega(\omega) = \frac{2\pi}{(\gamma_1 \gamma_2 \gamma_3)^{1/2}} (\omega - \omega_c)^{1/2} d\omega : \quad (8.14)$$

Որոշված ծավալը բաժանելով մեկ վիճակին բաժին ընկնող ծավալին՝ (8.14) բանաձևից կստանանք՝

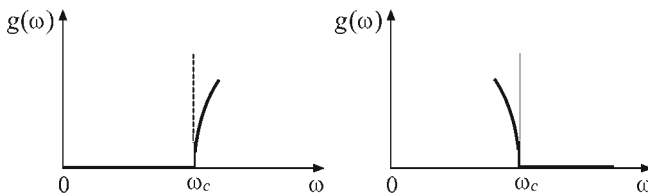
$$dN(\omega) = \frac{V}{(2\pi)^3} d\Omega = \frac{V}{(2\pi)^3} \frac{2\pi(\omega - \omega_c)^{1/2}}{(\gamma_1 \gamma_2 \gamma_3)^{1/2}} d\omega \equiv g(\omega) d\omega, \quad (8.15)$$

որտեղ $d\omega$ -ի գործակիցը վիճակների խտության ֆունկցիան է՝

$$g(\omega) = \frac{V}{4\pi^2 (\gamma_1 \gamma_2 \gamma_3)^{1/2}} (\omega - \omega_c)^{1/2} : \quad (8.16)$$

Այս բանաձևը տեղի ունի $\omega > \omega_c$ տիրույթում: $\omega < \omega_c$ տիրույթը $g(\omega)$ ֆունկցիայում ներդրում չի տալիս: Այսպիսով՝ $\omega = \omega_c$ կետում $g(\omega)$ ֆունկցիան անընդհատ է, իսկ նրա ածանցյալը տարամիտում է $(\omega - \omega_c)^{-1/2}$ օրենքով (նկ. 55. ա).

$$\left. \frac{dg(\omega)}{d\omega} \right|_{\omega \rightarrow \omega_c} = \frac{V}{8\pi^2 (\gamma_1 \gamma_2 \gamma_3)^{1/2}} \frac{1}{(\omega - \omega_c)^{1/2}} \rightarrow +\infty : \quad (8.17)$$



Նկ. 55. Վիճակների խտության ֆունկցիայի վարքը կրիտիկական կետի շրջակայրում. ա. $\gamma_i > 0$ ($i=1, 2, 3$), բ. $\gamma_i < 0$ ($i=1, 2, 3$)

2. Եթե բոլոր գործակիցները բացասական են՝ $\gamma_i < 0$ ($i=1, 2, 3$), ապա $\omega(\mathbf{q})$ ֆունկցիան ω_c կետում ունի տեղային մաքսիմում: Հավասարահաճախային

$$\omega_c - \omega = |\gamma_1| q_x^2 + |\gamma_2| q_y^2 + |\gamma_3| q_z^2 \quad (8.18)$$

մակերևույթը նորից էլիպսարդ է, որի ծավալը՝

$$\Omega(\omega) = \frac{4\pi(\omega_c - \omega)^{3/2}}{3|\gamma_1 \gamma_2 \gamma_3|^{1/2}} : \quad (8.19)$$

Եթե ω -ն աճում է, ապա $\Omega(\omega)$ -ն նվազում է, հետևաբար՝ վիճակների խտության ֆունկցիան պետք է որոշել

$$g(\omega) = - \frac{d\Omega}{d\omega} \frac{V}{(2\pi)^3} \quad (8.20)$$

բանաձևով: Տվյալ դեպքում, (8.19) և (8.20) առնչությունների համաձայն,

$$g(\omega) = \frac{V}{4\pi^2 |\gamma_1 \gamma_2 \gamma_3|^{1/2}} (\omega_c - \omega)^{1/2}, \quad (8.21)$$

Եթք $\omega < \omega_c$, իսկ $\omega > \omega_c$ տիրույթը ներդրում չի տալիս: $\omega = \omega_c$ կետում $g(\omega)$ ֆունկցիան անընդհատ է, իսկ նրա ածանցյալը՝

$$\left. \frac{dg(\omega)}{d\omega} \right|_{\omega \rightarrow \omega_c} = -\frac{V}{8\pi^2 |\gamma_1 \gamma_2 \gamma_3|^{1/2}} \frac{1}{(\omega_c - \omega)^{1/2}} \rightarrow -\infty: \quad (8.22)$$

$g(\omega)$ ֆունկցիայի վարքը կրիտիկական կետի շրջակայքում պատկերված է նկ. 55. բ-ում:

3. Եթե երեք գործակիցներից երկուսը, դիցուք՝ γ_1 -ը և γ_2 -ը, դրական են, իսկ γ_3 -ը՝ բացասական, ապա ω_c -ն 1 տեսակի (S_1) բամբային կետ է:

Հետագա հաշվարկները պարզեցնելու նպատակով ենթադրենք, որ $\gamma_1 = \gamma_2 \equiv \gamma$: Այս դեպքում $\omega(\mathbf{q}) = const$ մակերևույթը q_z առանցքով պտըսման հիպերբոլարդ է՝

$$\omega - \omega_c = \gamma(q_x^2 + q_y^2) - |\gamma_3| q_z^2, \quad (8.23)$$

ընդ որում $\omega = \omega_c$ արժեքն ընկած է

$$q_{\perp} \equiv \sqrt{q_x^2 + q_y^2} = \left(\frac{|\gamma_3|}{\gamma} \right)^{1/2} |q_z| \quad (8.24)$$

կոնի մակերևույթի վրա (նկ. 56): Եթե $\omega < \omega_c$, ապա (8.23) հավասարումը ներկայացնում է երկխոռոչ հիպերբոլարդների ընտանիք, իսկ $\omega > \omega_c$ դեպքում՝ միախոռոչ հիպերբոլարդների ընտանիք (նկ. 56):

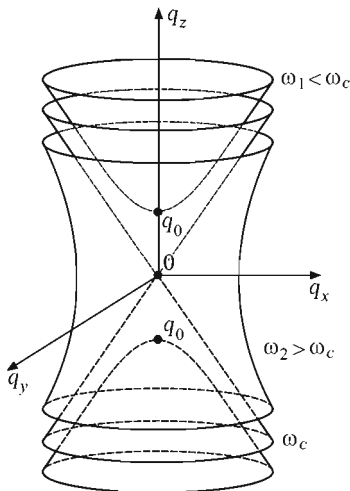
Հաշվենք \mathbf{q} -տարածության այն տիրույթի ծավալը, որը սահմանափակված է հիպերբոլարդով և $q_z^0 > q_0 = [(\omega_c - \omega)/|\gamma_3|]^{1/2}$ հարթությամբ՝

$$\begin{aligned} \Omega(\omega) &= 2 \int_{q_0}^{q_z^0} \pi(q_x^2 + q_y^2) dq_z = \frac{2\pi |\gamma_3|}{\gamma} \int_{q_0}^{q_z^0} (q_z^2 - q_0^2) dq_z = \\ &= \frac{2\pi |\gamma_3|}{\gamma} \left[\frac{(q_z^0)^3}{3} + \frac{2}{3} \left(\frac{\omega_c - \omega}{|\gamma_3|} \right)^{3/2} + q_z^0 \frac{\omega - \omega_c}{|\gamma_3|} \right], \end{aligned} \quad (8.25)$$

որտեղ 2 գործակիցը հաշվի է առնում հիպերբոլարդի երկու խոռոչների առկայությունը, իսկ q_0 -ն հիպերբոլարդի գագարի կոօրդինատն է:

(8.25) և (8.15) բանաձևերից կստանանք՝

$$g(\omega) = \frac{V}{(2\pi)^2 \gamma \sqrt{|\gamma_3|}} \left[\sqrt{|\gamma_3|} q_z^0 - (\omega_c - \omega)^{1/2} \right], \quad \omega < \omega_c : \quad (8.26)$$



Նկ. 56. Վիճակների խտության ֆունկցիայի վարքը կրիտիկական կետի շրջակայքում. $\gamma_1 = \gamma_2 = \gamma > 0$, $\gamma_3 < 0$

Եթե $\omega > \omega_c$, հավասարահաճախային մակերևույթն ունի միախոռչ հիպերբոլարդի տեսք, և q_z^0 և $-q_z^0$ հարթություններով ու հիպերբոլարդով պարփակված ծավալը՝

$$\begin{aligned} \Omega(\omega) &= \int_{-q_z^0}^{q_z^0} \pi q_z^2 dq_z = 2\pi \int_0^{q_z^0} \left(\frac{\omega - \omega_c}{\gamma} + \frac{|\gamma_3|}{\gamma} q_z^2 \right) dq_z = \\ &= \frac{2\pi |\gamma_3|}{\gamma} \left[\frac{q_z^0}{|\gamma_3|} (\omega - \omega_c) + \frac{1}{3} (q_z^0)^3 \right], \end{aligned}$$

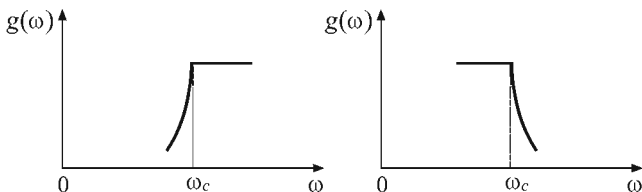
որտեղից՝

$$g(\omega) = \frac{V}{(2\pi)^2 \gamma} q_z^0, \quad \omega > \omega_c : \quad (8.27)$$

Ինչպես հետևում է (8.26) և (8.27) բանաձևերից, $g(\omega)$ ֆունկցիան անընդհատ է $\omega = \omega_c$ կետում, ածանցյալն աջից հավասար է զրոյի, իսկ ձախից՝

$$\left. \frac{dg(\omega)}{d\omega} \right|_{\omega \rightarrow \omega_c} = \frac{V}{8\pi^2 \gamma \sqrt{|\gamma|}} \frac{1}{(\omega_c - \omega)^{1/2}} \rightarrow +\infty : \quad (8.28)$$

Նկ. 57. առաջին պատկերված է $g(\omega)$ ֆունկցիայի վարքը $\omega = \omega_c$ կետի շրջակայքում:



Նկ. 57. Վիճակների խառնության ֆունկցիայի վարքը կրիտիկական կետի շրջակայքում. $\gamma_1 = \gamma_2 = \gamma < 0$, $\gamma_3 > 0$

4. Եթե երեք գործակիցներից երկուսը, դիցուք՝ γ_1 -ը և γ_2 -ը, բացասական են, իսկ γ_3 -ը՝ դրական, ապա ω_c կետը II տեսակի (S_1) բամբային կետ է:

Կատարելով նույն գործողությունները, ինչ որ 3-րդ դեպքում, կստանանք՝

$$\Omega(\omega) = \frac{2\pi\gamma_3}{|\gamma|} \left[\frac{1}{3} (q_z^0)^3 + \frac{2}{3} \frac{(\omega - \omega_c)^{3/2}}{\gamma_3^{3/2}} - \frac{\omega - \omega_c}{\gamma_3} q_z^0 \right], \quad \omega > \omega_c, \quad (8.29)$$

$$\Omega(\omega) = \frac{2\pi\gamma_3}{|\gamma|} \left[\frac{1}{3} (q_z^0)^3 + \frac{\omega_c - \omega}{\gamma_3} q_z^0 \right], \quad \omega < \omega_c : \quad (8.30)$$

$\Omega(\omega)$ ֆունկցիան աճում է, եթե ω -ն նվազում է, ուստի, օգտվելով (8.20) բանաձևից, կստանանք՝

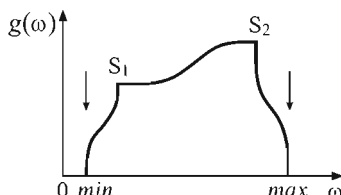
$$g(\omega) = \frac{V}{(2\pi)^2 |\gamma| \sqrt{\gamma_3}} \left[\sqrt{\gamma_3} q_z^0 - (\omega - \omega_c)^{1/2} \right], \quad \omega > \omega_c, \quad (8.31)$$

$$g(\omega) = \frac{V}{(2\pi)^2 |\gamma|} q_z^0, \quad \omega < \omega_c : \quad (8.32)$$

(8.31) և (8.32) արտահայտությունների համաձայն՝ $g(\omega)$ ֆունկցիան անընդհատ է $\omega = \omega_c$ կետում, ածանցյալը ձախից հավասար է զրոյի, իսկ աջից՝

$$\left. \frac{dg(\omega)}{d\omega} \right|_{\omega \rightarrow \omega_c} = -\frac{V}{8\pi^2\gamma\sqrt{|\gamma_3|}} \frac{1}{(\omega - \omega_c)^{1/2}} \rightarrow -\infty : \quad (8.33)$$

Քննարկված օրինակներից զայս ենք այն եզրակացությանը, որ եռաչափ ցանցի յուրաքանչյուր ճյուղի վիճակների խտության ֆունկցիան հաճախությունից կախված անընդհատ է, իսկ նրա ածանցյալը կրիտիկական կետերում ծգտում է անվերջի: Վիճակների խտության ֆունկցիայի հաճախությունից կախման որակական վարքը պատկերված է նկ. 58-ում:



Նկ. 58. Վիճակների խտության ֆունկցիայի որակական վարքը

Ընդհանուր դեպքում վիճակների խտության ֆունկցիայի եզակիությունների քանակը և տեսակները որոշվում են Վան-Հոփի թեորեմով, որի համաձայն՝ եռաչափ ցանցի տատանումների սպեկտրը յուրաքանչյուր ճյուղի համար պարունակում է առնվազն մեկական կրիտիկական կետ S_1 և S_2 տեսակի, իսկ սպեկտրի վերին սահմանի վրա վիճակների խտության ֆունկցիայի ածանցյալը պետք է ծգտի $-\infty$: Հարկ է նշել, որ կրիտիկական կետերի փաստական թիվը կարող է զգալիորեն գերազանցել թեորեմով պահանջվող նվազագույն թիվը:

Քյուրեղային ցանցի վիճակների խտության լրիվ ֆունկցիան առանձին ճյուղերի վիճակների խտության ֆունկցիաների գումար է (տես (8.5) բանաձևը), ուստի նրա գրաֆիկը բաղկացած է նկ. 58-ի տիպի գրաֆիկների գումարից, որոնց բամբային S_1 և S_2 , ինչպես նաև \max և \min կետերին համապատասխանում են տարբեր հաճախություններ (տես նաև IV, նկ. 75):

Այժմ ուսումնասիրենք միաշափ ցանցի վիճակների խտության ֆունկցիան:

(8.6) ընդհանուր արտահայտության մեջ վիճակների թվի եռաչափ արտահայտությունից անցնելով միաշափ արտահայտությանը՝

$$\frac{V}{(2\pi)^3} d\mathbf{q} \rightarrow \frac{L}{2\pi} dq_z \equiv \frac{L}{2\pi} dq, \quad (8.34)$$

կստանանք՝

$$g_j(\omega) = \frac{L}{2\pi} \int_{-\pi/a}^{\pi/a} \delta(\omega - \omega_j(q)) dq : \quad (8.35)$$

Նկատի ունենալով $\omega_j(q)$ ֆունկցիայի զույգությունը, ինչպես նաև դելտա-ֆունկցիայի հետևյալ հատկությունը՝

$$\delta[\phi(x)] = \sum_i \frac{\delta(x - x_i)}{|\phi'(x)|_{x=x_i}}, \quad (8.36)$$

որտեղ x_i -ն $\phi(x) = 0$ հավասարման i -րդ արմատն է, վիճակների խտության ֆունկցիան կարելի է ներկայացնել հետևյալ տեսքով՝

$$g_j(\omega) = \frac{L}{2\pi} \sum_i \left| \frac{d\omega_j}{dq} \right|_{q=q_i}^{-1} : \quad (8.37)$$

Պարզ ցանցի դեպքում, օգտվելով (3.9) դիսպերսային հավասարումից, վիճակների խտության ֆունկցիայի համար ստանում ենք հետևյալ արտահայտությունը (նկ. 59. ա)

$$g(\omega) = \frac{2N}{\pi} \frac{1}{\sqrt{\omega_{\max}^2 - \omega^2}} : \quad (8.38)$$

Այս արտահայտությունը կարելի է ստանալ նաև ավելի անմիջական ձևով, այն է՝ իրար հավասարեցնելով dq և $d\omega$ տիրույթներում տրված վիճակների միևնույն թիվը՝

$$2 \frac{dq}{2\pi/L} = g(\omega) d\omega \quad (8.39)$$

կամ

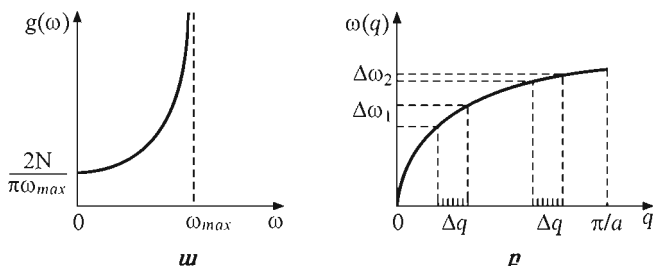
$$g(\omega) = \frac{L}{2\pi} \left| \frac{dq}{d\omega} \right| = \frac{L}{2\pi} \frac{1}{|v_g|} : \quad (8.40)$$

(8.39) արտահայտության ձևի մասի 2 գործակիցը հաշվի է առնում այն հանգամանքը, որ ձաւ տիրույթում ներդրում են տալիս և դրական, և բացասական q -երը (նկ. 43): Միաշափ ցանցի (3.9) դիսպերսային հավասարությունը որոշելով $q(\omega)$ ֆունկցիան՝

$$q = \frac{2}{a} \arcsin \frac{\omega}{\omega_{\max}}, \quad (8.41)$$

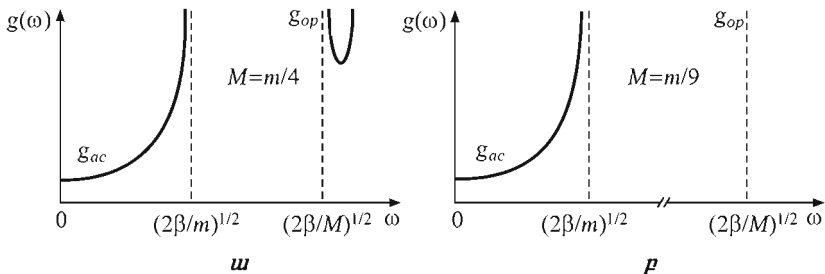
և նրա ածանցյալի արտահայտությունը տեղադրելով (8.40) բանաձևում կստանանք (8.38) արտահայտությունը:

Ինչպես հետևում է (8.38) բանաձևից, եթե $\omega \rightarrow \omega_{\max}$, $g(\omega) \rightarrow \infty$ $(\omega_{\max} - \omega)^{-1/2}$ օրենքով, այսինքն՝ միաշափ ցանցում եզակիությունն ավելի խիստ է արտահայտված, քան եռաչափ ցանցում՝ տարամիտում է ոչ միայն ածանցյալը, այլ նաև ֆունկցիան: Սակայն այս եզակիությունը նույնապես ինտեգրելի է, քանի որ մոդերի լրիվ թիվը, նորմավորման (8.2) պայմանի համաձայն, վերջավոր է (և հավասար կորող սահմանափակված մակերեսին, նկ. 59. ա): Վիճակների խտության ֆունկցիայի արագ աճը Բրիլյունի գոնայի սահմանին մոտենալիս ($\omega \rightarrow \omega_{\max}$) արտահայտում է այն փասորը, որ տարրեր մոդերի համապատասխանող վիճակները բաշխվում են ավելի և ավելի խիստ (նկ. 59. բ): Վիճակների միևնույն թիվը՝ $(L/2\pi)\Delta q$, բաշխված է $\Delta\omega_2 < \Delta\omega_1$ հաճախային տիրույթներում:



Նկ. 59. ա. Միաշափ պարզ ցանցի վիճակների խտության ֆունկցիան,
բ. պարզ միաշափ ցանցում վիճակների բաշխման փառքը

Եթե $\omega = \omega(q)$ կախումը լինի ոչ մոնոտոն, ապա միաշափ ցանցի վիճակների խտության ֆունկցիան կունենա եզակիություններ նաև Բրիլյունի գոնայի ներքին կետերում:



Նկ. 60. Միաշափ բարդ ցանցի վիճակների խտության ֆունկցիայի գրաֆիկները.
ա. $M = m/4$, բ. $M = m/9$

Միաշափ բարդ ցանցի վիճակների խտության ֆունկցիան բաղկացած է երկու՝ ձայնային և օպտիկական ճյուղերից, որոնք տրվում են (8.37) բանաձևով ($j=1$ ձայնային ճյուղ, $j=2$ ՝ օպտիկական): Մասնավորապես, երկու տարրեր զանգվածներով և միևնույն ուժային հաստատումներով ցանցի վիճակների խտության ֆունկցիայի ձայնային և օպտիկական ճյուղերը զանգվածների հարաբերության երկու տարրեր արժեքների համար պատկերված են նկ. 60-ում: Ակնհայտ է, որ զոնայի եզրերին մոտենալիս, եթե $v_g \rightarrow 0$, $g_j(\omega) \rightarrow \infty$, սակայն վիճակների խտության լրիվ ֆունկցիայի իմտեզորակը վերջավոր է:

$$\int_0^{\infty} g(\omega) d\omega = \int_0^{\omega_{ac}(\pi/a)} g_{ac}(\omega) d\omega + \int_{\omega_{op}(\pi/a)}^{\omega_0} g_{op}(\omega) d\omega = N + N = 2N : \quad (8.42)$$

Հարկ է նշել, որ բջիջի ատոմների զանգվածների հարաբերության մեջ արժեքների համար օպտիկական ճյուղի մոդերի խմբային արագությունը մոտ է զրոյին, որի հետևանքով օպտիկական ճյուղերը գործնականում չեն մասնակցում ցանցում էներգիայի տեղափոխմանը:

Ինչպես հետևում է ստացված արտահայտություններից, ինչպես նաև 59-րդ և 60-րդ նկարներից, միաշափ ցանցի վիճակների խտության ֆունկցիան սպեկտրի սկզբանասում ($\omega \rightarrow 0$) զրոյից տարրեր վերջավոր մեծություն է, իսկ եզրերի մոտ այն տարամիտում է՝ $g(\omega) \rightarrow \infty$:

ԲՅՈՒՐԵՂԱՅԻՆ ՑԱՆՑԻ ԶԵՐՍԱՅԻՆ ՀԱՏԿՈՒԹՅՈՒՆՆԵՐԸ

§1. Պինդ մարմնի ջերմունակության դասական տեսությունը

Բյուրեղային ցանցի պինամիկայի ուսումնասիրությունը հնարավորություն է տալիս վիճակագրական ֆիզիկայի մեթոդներով և որոշակի մոդելների շրջանակներում հաշվարկելու պինդ մարմնի ջերմային հատկությունները բնութագրող մեծությունները:

Տարածական ցանցի ստատիկ մոդելի համաձայն՝ ցանցի հանգույցներում սկաված են աստղմները (լուսները), որոնց փոխագրեցության պոտենցիալ էներգիան հավասարակշռության վիճակում նվազագույնն է:

Ըստ դասական պատկերացումների՝ համակարգն այդ վիճակում բնութագրվում է, $T=0$ Կ ջերմաստիճանով: Բացարձակ գրոյից տարբեր ջերմաստիճաններում ատոմները կատարում են անկանոն, քառսային շարժումներ հավասարակշռության դիրքերի շուրջը: Ատոմների համակարգի մեխանիկական էներգիան ատոմների շարժման կիրառիկ և նրանց փոխագրեցության պոտենցիալ էներգիաների գումարն է, որի միջին արժեքը ջերմային հավասարակշռության վիճակում համակարգի ներքին էներգիան է:

Որոշենք բյուրեղային ցանցի ներքին էներգիան դասական տեսության շրջանակներում:

Դասական համակարգի յուրաքանչյուր միկրոսկոպական վիճակ միարժեքորեն որոշվում է համակարգի բոլոր մասնիկների ($\mathbf{r}_1, \mathbf{r}_2, \dots, \mathbf{r}_N \equiv \mathbf{r}$) կո-օրինատներով և $(\mathbf{p}_1, \mathbf{p}_2, \dots, \mathbf{p}_N \equiv \mathbf{p})$ իմպուլսներով, N -ը մասնիկների թիվն է: Վիճակագրական ֆիզիկայում որևէ $A(\mathbf{r}_1, \mathbf{r}_2, \dots, \mathbf{r}_N; \mathbf{p}_1, \mathbf{p}_2, \dots, \mathbf{p}_N) \equiv A(\mathbf{r}, \mathbf{p})$ ոլնամիկական մեծության միջին արժեքը ջերմային հավասարակշռության վիճակում որոշվում է:

$$\bar{A} = \int A(\mathbf{r}, \mathbf{p}) f(\mathbf{r}, \mathbf{p}) d\Gamma \quad (1.1)$$

արտահայտությամբ, որտեղ $f(\mathbf{r}_1, \mathbf{r}_2, \dots, \mathbf{r}_N; \mathbf{p}_1, \mathbf{p}_2, \dots, \mathbf{p}_N) \equiv f(\mathbf{r}, \mathbf{p})$ ֆունկցիան համակարգի բաշխման ֆունկցիան է,

$$d\Gamma = d\mathbf{r}_1 d\mathbf{r}_2 \dots d\mathbf{r}_N d\mathbf{p}_1 d\mathbf{p}_2 \dots d\mathbf{p}_N = \prod_{i=1}^N d\mathbf{r}_i d\mathbf{p}_i \quad (1.2)$$

արտադրյալ՝ ֆազային ծավալի տարրը $6N$ -չափանի ֆազային տարածության մեջ, որտեղ համակարգի միկրոսկոպական վիճակը պատկերվում է մեկ կետով, որի կորդինատներն են $r_{1x}, r_{1y}, r_{1z}, r_{2x}, r_{2y}, r_{2z}, \dots r_{Nx}, r_{Ny}, r_{Nz}, p_{1x}, p_{1y}, p_{1z}, p_{2x}, p_{2y}, p_{2z}, \dots p_{Nx}, p_{Ny}, p_{Nz}$ $6N$ անկախ փոփոխականները:

$f(\mathbf{r}, \mathbf{p})d\Gamma$ արտահայտությունը հավանականությունն է այն բանի, որ համակարգի միկրոսկոպական վիճակը պատկերող կետն ընկած է ֆազային տարածության (\mathbf{r}, \mathbf{p}) կետն ընդգրկող $d\Gamma$ ֆազային ծավալում: Հավանականությունն այն բանի, որ համակարգը որևէ միկրոսկոպական վիճակում է, հաստատ պատահար է, ուստի բաշխման ֆունկցիան բավարարում է նորմավորման պայմանին՝

$$\int f(\mathbf{r}, \mathbf{p})d\Gamma = 1, \quad (1.3)$$

որտեղ ինտեգրումն ըստ իմպուլսների պրոյեկցիաների կատարվում է $(-\infty, \infty)$ տիրույթով, իսկ ըստ կորդինատների՝ համակարգի V ծավալով:

Դասական վիճակագրական ֆիզիկայում բաշխման ֆունկցիան տրվում է բոլցմանյան բաշխման տեսքով՝

$$f(\mathbf{r}, \mathbf{p}) = Z^{-1} \exp \left[-\frac{E(\mathbf{r}, \mathbf{p})}{k_B T} \right], \quad (1.4)$$

որտեղ $E(\mathbf{r}, \mathbf{p}) \equiv E(\mathbf{r}_1, \mathbf{r}_2, \dots, \mathbf{r}_N; \mathbf{p}_1, \mathbf{p}_2, \dots, \mathbf{p}_N)$ -ն համակարգի լրիվ մեխանիկական էներգիան է (\mathbf{r}, \mathbf{p}) վիճակում, T -ն՝ բացարձակ ջերմաստիճանը, $k_B = 1,38 \cdot 10^{-16}$ էրգ/Կ՝ Բոլցմանի հաստատությունը, իսկ համակարգի վիճակագրական ինտեգրալ՝

$$Z \equiv Z(T, V, N) = \int \exp \left[-\frac{E(\mathbf{r}, \mathbf{p})}{k_B T} \right] d\Gamma \quad (1.5)$$

Փունկցիան, ոյոշվում է (1.3) նորմավորման պայմանից: (1.1), (1.4) և (1.5) բանաձևների օգնությամբ ցանցի ներքին էներգիայի համար ստացվում է հետևյալ արտահայտությունը՝

$$U = \int E(\mathbf{r}, \mathbf{p}) f(\mathbf{r}, \mathbf{p}) d\Gamma = -\frac{1}{Z} \frac{d}{d\beta} \int \exp[-\beta E(\mathbf{r}, \mathbf{p})] d\Gamma = \\ = -\frac{1}{Z} \frac{dZ}{d\beta} = -\frac{d}{d\beta} \ln Z, \quad (1.6)$$

որտեղ հարմարության համար ներմուծվել է

$$\beta = \frac{1}{k_B T} \quad (1.7)$$

պարամետրը: (1.6) առնչության համաձայն՝ ներքին էներգիայի հաշվարկը հանգում է վիճակագրական ինտեգրալի՝ β պարամետրից կախման բացահայտմանը:

Ցանցի ներքին էներգիան համակարգի մակրոսկոպական վիճակը բնութագրող T, V, N պարամետրերով արտահայտելու համար անհրաժեշտ է (1.6) բանաձևում տեղադրել ցանցի լրիվ մեխանիկական էներգիայի արտահայտությունը: Ներդաշնակ մոտավորության շրջանակներում այն կարելի է ներկայացնել

$$E(\mathbf{p}, \mathbf{u}) = \sum_{i=1}^{3N} \sum_{k=1}^s \frac{p_{ik}^2}{2M_k} + \Phi_0 + \Phi(\mathbf{u}) \equiv \Phi_0 + \varepsilon(\mathbf{p}, \mathbf{u}) \quad (1.8)$$

գումարի տեսքով, որտեղ Φ_0 -ն ատոմների փոխազդեցության էներգիան է հավասարակշռության դիրքերում, $\Phi(\mathbf{u})$ -ն՝ տատանումներով պայմանավորված պոտենցիալ էներգիան (տես III, 6.3 բանաձևը), M_k -ն՝ k տեսակի մասնիկի զանգվածը: (1.8) արտահայտության համաձայն՝ $\varepsilon(\mathbf{p}, \mathbf{u})$ էներգիան մասնիկների իմպուլսների և կորդիմատների քառակուսային ֆունկցիա է, ուստի Z վիճակագրական ինտեգրալը կարելի է ներկայացնել Պուասոնի ինտեգրալների արտադրյալի տեսքով (Հավելված 2):

Սակայն վիճակագրական ինտեգրալի՝ մեզ հետաքրքրող ջերմաստիճանային կախումը կարելի է ստանալ ավելի դյուրին եղանակով:

Պարզ ցանցի դեպքում $\varepsilon(\mathbf{p}, \mathbf{u})$ ֆունկցիան կախված է $3N$ իմպուլսներից և $3N$ շեղումներից, ուստի եթե (1.5) ինտեգրալում անցնենք ինտեգրման նոր փոփոխականներ՝

$$p'_i = \sqrt{\beta} p_i, \quad u'_i = \sqrt{\beta} u_i \quad i = 1, 2, \dots, 3N, \quad (1.9)$$

ապա ֆազային ծավալի տարրի և $\varepsilon(\mathbf{p}, \mathbf{u})$ էներգիայի համար համապատասխանաբար կստանանք՝

$$d\Gamma = du_{1x}du_{1y}du_{1z} \dots dp_{Nx}dp_{Ny}dp_{Nz} = \beta^{-3N} d\Gamma', \quad (1.10)$$

$$\varepsilon(\mathbf{p}, \mathbf{u}) = \beta^{-1} \varepsilon(\mathbf{p}', \mathbf{u}'): \quad (1.11)$$

(1.5), (1.8) – (1.10) բանաձևերից հետևում է վիճակագրական ինտեգրալի

$$Z = C \exp(-\beta \Phi_0) \beta^{-3N} \quad (1.11)$$

արտահայտությունը, որտեղ C մեծությունը կախված չէ. β պարամետրից:

(1.6) և (1.11) բանաձևերից ցանցի ներքին էներգիան որոշվում է

$$U = \Phi_0 + 3Nk_B T \quad (1.12)$$

արտահայտությամբ, որի համաձայն՝ հավասարակշռության դիրքի շուրջ տատանվող յուրաքանչյուր ատոմին բաժին է ընկնում $3k_B T$ էներգիա, կամ տատանողական յուրաքանչյուր ազատության աստիճանին՝ $k_B T$ էներգիա: Այս արդյունքը հետևանք է ներդաշնակ մոտավորության այն հատկության, որի համաձայն՝ N փոխազդող մասնիկների համակարգին կարելի է համապատասխանության մեջ դնել իրար հետ չփոխազդող ներդաշնակ տատանակների համախումը (տես III, 2, III, 6), որոնց թիվը հավասար է համակարգի ազատության աստիճանների թվին (տվյալ դեպքում՝ $3N$ -ի):

Եթե ցանցի տարրական քիզը պարունակում է s ատոմ, ապա նրա ազատության աստիճանների թիվը կլինի $3sN$, հետևաբար ցանցի ներքին էներգիան՝

$$U = \Phi_0 + 3sNk_B T : \quad (1.13)$$

$T = 0$ Կ ջերմաստիճանում (1.12) և (1.13) բանաձևերից հետևում է ստատիկ ցանցի մոտավորության արդյունքը՝ $U = \Phi_0$:

Որպես կանոն, մեկ մասնիկին բաժին ընկնող հավասարակշռական էներգիան՝ $\Phi_0/N = u_0 \sim 1$ էՎ կարգի մեծություն է, իսկ ջերմային էներգիան՝

$$\varepsilon_1 = \frac{1}{N}(U - \Phi_0) = 3k_B T , \quad (1.14)$$

զգալի փոքր է 1 էՎ-ից ($T = 300$ Կ-ում $k_B T \approx 0,026$ էՎ), հետևաբար (1.12), (1.13) բանաձևերում երկրորդ գումարելին զգալիորեն փոքր է Φ_0 -ից, և դրա անմիջական չափումը կապված է զգալի դժվարությունների հետ:

Փորձնականորեն շատ ավելի հարմար է չափել համակարգի ջերմունակությունը՝

$$C_V = \left(\frac{\partial U}{\partial T} \right)_V = 3sNk_B : \quad (1.15)$$

(1.15) բանաձևի համաձայն՝ պինդ մարմնի ջերմունակությունը հաստատում մեծություն է, և պարզ ցանցով ($s = 1$) նյութի մեկ մոլի համար

$$C_V^\mu = 3N_A k_B = 3R , \quad (1.16)$$

որտեղ R -ը զազային հաստատումն է՝ $R = k_B N_A = 8,314 \cdot 10^7$ էրգ/մոլ·Կ = $= 8,314 \text{ } \mathcal{Q}/\text{մոլ} \cdot \text{Կ} \approx 1,98 \text{ } \text{կալ}/\text{մոլ} \cdot \text{Կ}$:

(1.16) արտահայտությունը Դյուլնգ-Պտիի օրենքն է, որի համաձայն՝ պինդ մարմնի ջերմունակությունը հաստատում մեծություն է և կախված չէ պինդ մարմնի տեսակից: Հարկ է շեշտել, որ կատարված հաշվարկները վերաբերում են միայն ցանցային ջերմունակությանը, այլ կերպ ասած, մեկուսիչ բյուրեղային մարմններին, որոնցում բացակայում է էլեկտրոնային գազը: Սակայն Դյուլնգի և Պտիի փորձերում, որոնք կատարվել են սենյակային ջերմաստիճաններում, (1.16) արդյունքն ստացվել է և մեկուսիչների, և մետաղների համար:

Ինչպես ցույց են տվել հետագա փորձերը, ջերմաստիճանի նվազմանը զուգընթաց պինդ մարմնի ջերմունակությունը նվազում է և ձգուում զրոյի, եթե $T \rightarrow 0$ Կ: Նշանակում է՝ դասական տեսությունն ի վիճակի չէ բացատրել պինդ մարմնի ջերմունակության ջերմաստիճանային կախումը: Ավելացնենք նաև, որ բարձր ջերմաստիճաններում էլ ջերմունակությունը քոյլ ձևով կախված է ջերմաստիճանից և որոշակի, թեաւտ և փոքր, չափով տարրերվում է $3R$ դասական արժեքից: Սակայն եթե վերջին հաճախանքը պայմանափորված է ներդաշնակ ցանցի մոդելի ընտրությամբ, ապա ցածր ջերմաստիճաններում փորձի և տեսության հակասությունը հետևանք է դասական տեսության սահմանափակության:

Ինչպես հայտնի է, դասական նկարագրությունը համապատասխանում է իրականությանն այնպիսի պայմաններում, եթե քվանտային երևույթներն էական դեր չեն խաղում: Եթե համակարգի մասնիկների միջև միջին հեռավորությունը \bar{r} է, ապա դասական նկարագրությունը համապատասխանում է իրականությանը, եթե

$$\bar{r} >> \bar{\lambda}_B, \quad (1.17)$$

որտեղ $\bar{\lambda}_B$ մեծությունը մասնիկին վերագրվող դրբույլյան ալիքի երկարության միջինն է: Այն կարելի է որոշել՝ Դր Բրոյլի ալիքի $\lambda = hp^{-1}$ երկարությունը միջինացնելով ըստ իմպուլսների բաշխման:

$$\bar{\lambda}_B = \overline{hp^{-1}} = \frac{h \int_0^{\infty} \frac{1}{p} 4\pi p^2 \exp\left(-\frac{p^2}{2Mk_B T}\right) dp}{\int_0^{\infty} 4\pi p^2 \exp\left(-\frac{p^2}{2Mk_B T}\right) dp} = \frac{2h}{(2\pi M k_B T)^{1/2}}, \quad (1.18)$$

որտեղ M -ն ատոմի զանգվածն է, $h = 6,63 \cdot 10^{-27}$ էրգ·վ·ը՝ Պլանկի հաստատունը: Քանի որ $\bar{r} \approx (V/N)^{1/3}$, ապա (1.17) և (1.18) առնչություններից կստանանք հետևյալ անհավասարությունը՝

$$\frac{N}{V} \left(\frac{h^2}{M k_B T} \right)^{3/2} \ll 1, \quad (1.19)$$

որը դասական վիճակագրության կիրառելիության չափանիշն է:

Այս առնչության համաձայն՝ դասական նկարագրությունը համապատասխանում է իրականությանը փոքր խտությունների և բարձր ջերմաստիճանների ափրոյթում:

Թվային գնահատումներ կատարելու համար հարմար է (1.19) չափանիշում անցնել նյութը բնութագրող պարամետրերի: Նկատի ունենալով, որ

$$\frac{N}{V} = \frac{\rho}{\mu} N_A, \quad M = \frac{\mu}{N_A},$$

որտեղ ρ -ն մարմնի խտությունն է, μ -ն՝ մոլային զանգվածը, և տեղադրելով ունիվերսալ հաստատունների բվային արժեքները՝ կստանանք:

$$5 \cdot 10^4 \frac{\rho}{\mu^{5/2} T^{3/2}} \ll 1: \quad (1.20)$$

Տարբերի մեծամասնության համար $T = 100$ Կ-ում (1.20) անհավասարության ճախ մասը $10^{-3} - 10^{-2}$ կարգի մեծություն է, ուստի սենյակային ջերմաստիճաններում քվանտային երևույթները գործնականորեն դեր չեն խա-

դում: Սակայն որոշ տարրերի համար (**B_e, B, C**) այն ընդունում է 0,1 և ավելի մեծ արժեքներ: Հետևաբար այդ նյութերի ջերմային հատկությունների, մասնավորապես ջերմունակության, հաշվարկը դասական վիճակագրության մերողներով կարող է համապատասխանել իրականությանը սենյակայինից զգալի բարձր ջերմաստիճաններում, և քվանտային օրինաչափությունները կարող են ի հայտ գալ նոյնիսկ սենյակային ջերմաստիճաններում:

Նշանակում է՝ ջերմունակության և այլ ջերմադինամիկական մեծությունների ջերմաստիճանային կախումները ջերմաստիճանային ամբողջ տիրություն հնարավոր է ստանալ միայն քվանտային տեսության շրջանակներում:

§2. Պինդ մարմնի ջերմունակության քվանտային տեսությունը

Քվանտային մեխանիկայում համակարգի յուրաքանչյուր միկրովիճակ միարժեքորեն տրվում է քվանտային թվերի լրիվ հավաքածուով: Ինչպես և դասական նկարագրության դեպքում, համակարգի որևէ մակրոսկոպական բնութագիր հաշվարկելու համար անհրաժեշտ է կատարել միջինացում՝ ըստ համակարգի բոլոր հնարավոր միկրոսկոպական (քվանտային) վիճակների:

Որևէ մեծության միջին արժեքը ջերմային հավասարակշռության վիճակում որոշվում է

$$\bar{A} = \sum_{\alpha} A_{\alpha} w_{\alpha} \quad (2.1)$$

արտահայտությամբ, որտեղ $\alpha \equiv (n_1, n_2, \dots, n_i, \dots)$ համակարգի տվյալ քվանտային վիճակը որոշող քվանտային թվերի լրիվ հավաքածուն է, $A_{\alpha} \equiv A_{(n_1, n_2, \dots, n_i, \dots)}$ -ն՝ \hat{A} օպերատորի միջին արժեքն α քվանտային վիճակում, իսկ $w_{\alpha} \equiv w_{(n_1, n_2, \dots, n_i, \dots)}$ -ն՝ այդ վիճակում լինելու հավանականությունը:

Համակարգի՝ որևէ քվանտային վիճակում լինելու հավանականությունը հաստատ պատահար է, ուստի w_{α} հավանականությունը բավարարում է նորմավորման պայմանին՝

$$\sum_{\alpha} w_{\alpha} \equiv \sum_{(n_1, n_2, \dots, n_i, \dots)} w_{(n_1, n_2, \dots, n_i, \dots)} = 1: \quad (2.2)$$

w_α հավանականությունը տրվում է բոլցմանյան բաշխման բանաձևով՝

$$w_\alpha = Z^{-1} \exp\left(-\frac{E_\alpha}{k_B T}\right), \quad (2.3)$$

որտեղ E_α -ն համակարգի էներգիան է α քվանտային վիճակում, իսկ Z գործակիցը որոշվում է (2.2) պայմանից և կոչվում է վիճակագրական գումար՝

$$Z(T, V, N) = \sum_\alpha \exp\left(-\frac{E_\alpha}{k_B T}\right) \equiv \sum_\alpha \exp(-\beta E_\alpha): \quad (2.4)$$

Համակարգի ներքին էներգիան, ինչպես և դասական վիճակագրության մեջ, արտահայտվում է վիճակագրական (2.4) գումարի միջոցով՝ (1.6) բանաձևով, ուստի խնդիրը բերվում է վիճակագրական գումարի հաշվարկին: Դրա համար, (2.4) բանաձևի համաձայն, անհրաժեշտ է որոշել համակարգի էներգիական սպեկտրը՝ E_α մեծությունների բազմությունը:

Ինչպես հայտնի է, համակարգի էներգիայի սեփական արժեքները որոշվում են Ծրյուղիների հավասարումից: Ընդհանուր դեպքում էներգիական սպեկտրի որոշելը կապված է զգալի մաքենատիկական դժվարությունների հետ, սակայն ցանցի ներդաշնակ մոտավորության շրջանակներում, եթե N փոխազդող աստղների խնդիրը բերվում է $3N$ չփոխազդող, միաշափ տատանակների խնդրին, որոնցից յուրաքանչյուրն ունի տատանման իր սեփական հաճախությունը, խնդրի լուծումն էապես հեշտանում է:

Քվանտային մեխանիկայում միաշափ ներդաշնակ տատանակի էներգիական սպեկտրը տրվում է

$$\varepsilon_n = \hbar\omega\left(n + \frac{1}{2}\right), \quad n = 0, 1, 2, \dots \quad (2.5)$$

բանաձևով, որտեղ ω -ն տատանակի սեփական հաճախությունն է, իսկ տատանակի վիճակը որոշվում է n քվանտային թվով: (2.5) սպեկտրում առկա $\hbar\omega/2$ գումարելին «զրոյական» տատանումների էներգիան է, որի գոյությունը հետևանք է անորոշությունների առնչության, և որը համապատասխանում է տատանակի հիմնական՝ $n = 0$ վիճակին:

$n_1, n_2, \dots, n_i, \dots, n_{3N}$ քվանտային վիճակներում տատանակների համախմբի էներգիան իրենից ներկայացնում է (2.5) արտահայտությունների

գումար, հետևաբար՝ ցանցի էներգիան $\alpha \equiv (n_1, n_2, \dots, n_i, \dots, n_{3N})$ միկրոսկոպական վիճակում՝

$$E_{(n_1, n_2, \dots, n_i, \dots, n_{3N})} = \Phi_0 + \sum_{i=1}^{3N} \hbar \omega_i \left(n_i + \frac{1}{2} \right) : \quad (2.6)$$

Ցանցի հիմնական վիճակի էներգիան՝

$$E \equiv E_{(0, 0, \dots, 0, \dots, 0)} \equiv U_0 = \Phi_0 + \frac{1}{2} \sum_{i=1}^{3N} \hbar \omega_i : \quad (2.7)$$

Էներգիայի (2.6) բանաձևը տեղադրենք վիճակագրական գումարի (2.4) արտահայտության մեջ և կատարենք գումարում ըստ համակարգի բոլոր հնարավոր քվանտային վիճակների՝ $n_1, n_2, \dots, n_i, \dots, n_{3N}$ թվերին տալով բոլոր հնարավոր արժեքները՝

$$\begin{aligned} Z &= \sum_{(n_1, n_2, \dots)} \exp \left\{ -\beta \left[\Phi_0 + \sum_{i=1}^{3N} \hbar \omega_i \left(n_i + \frac{1}{2} \right) \right] \right\} = \\ &= \exp \left[-\beta \left(\Phi_0 + \frac{1}{2} \sum_{i=1}^{3N} \hbar \omega_i \right) \right] \sum_{n_1=0}^{\infty} \sum_{n_2=0}^{\infty} \dots \sum_{n_{3N}=0}^{\infty} \exp \left(-\beta \sum_{i=1}^{3N} \hbar \omega_i n_i \right) = \\ &= \exp(-\beta U_0) \sum_{n_1=0}^{\infty} \exp(-\hbar \beta \omega_1 n_1) \sum_{n_2=0}^{\infty} \exp(-\hbar \beta \omega_2 n_2) \dots \\ &\dots \sum_{n_{3N}=0}^{\infty} \exp(-\hbar \beta \omega_{3N} n_{3N}) \equiv \exp(-\beta U_0) \prod_{i=1}^{3N} \sum_{n=0}^{\infty} \exp(-\hbar \beta \omega_i n_i) : \end{aligned} \quad (2.8)$$

(2.8) արտահայտության վերաբերյալ անհրաժեշտ է կատարել հետևյալ պարզաբանումը: Եշգրիտ մոտեցման դեպքում գումարումներն ըստ n_i -ի ($i = 1, 2, \dots, 3N$) պետք է կատարել միայն փոքր n_i -երի համար, քանի որ մեծ n_i -երի դեպքում էական է դառնում ցանցի տատանումների աններդաշնակության դերը: Սակայն կատարված մոտավորությունը լրիկ հիմնավորված է, քանի որ մեծ քվանտային թվերով վիճակների ներդրումը գումարներում էքսպոնենտային կարգի փոքր է:

(2.8) արտահայտության մեջ արտադրյալի նշանի տակ գրված արտադրիչներից յուրաքանչյուրը նվազող երկրաչափական պրոգրեսիայի գումար է՝

$$\sum_{n=0}^{\infty} e^{-\hbar\beta\omega_i n} = 1 + e^{-\hbar\beta\omega_i} + e^{-2\hbar\beta\omega_i} + \dots = \frac{1}{1 - e^{-\hbar\beta\omega_i}}, \quad (2.9)$$

ուստի

$$Z = \exp(-\beta U_0) \prod_{i=1}^{3N} (1 - e^{-\hbar\beta\omega_i})^{-1}: \quad (2.10)$$

(2.10) առնչությունը տեղադրելով (1.6) բանաձևում՝ կստանանք ցանցի ներքին էներգիայի արտահայտությունը ներդաշնակ մոտավորությամբ՝

$$U = \Phi_0 + \sum_{i=1}^{3N} \left(\frac{1}{2} \hbar\omega_i + \frac{\hbar\omega_i}{e^{\hbar\omega_i/k_B T} - 1} \right) \equiv \Phi_0 + \sum_{i=1}^{3N} \varepsilon(\omega_i, T), \quad (2.11)$$

որտեղ

$$\varepsilon(\omega, T) = \frac{\hbar\omega}{2} + \frac{\hbar\omega}{e^{\hbar\omega/k_B T} - 1} = \frac{\hbar\omega}{2} + \varepsilon_{th} = \frac{\hbar\omega}{2} \coth \frac{\hbar\omega}{2k_B T} \quad (2.12)$$

արտահայտությունը օ հաճախությամբ տատանակի միջին էներգիան է, ε_{th} -ը՝ ջերմային էներգիան: (2.12) բանաձևը տեղի ունի ջերմաստիճանների ամբողջ տիրություն և իրենից ներկայացնում է Պլանկի էլեկտրամագնիսական տատանակի միջին (ջերմային) էներգիայի արտահայտության նմանակը ցանցային տատանումների դեպքում: Ցանցի նեխանիկական տատանումների քվանտացման զաղափարը պատկանում է Ա. Այնշտայնին:

Ուսումնասիրենք (2.12) բանաձևը:

Եթե տատանակի բնութագրական հասկանական մակարդակների միջև հեռավորությունը շատ փոքր է արտաքին ջերմային գրգռման $k_B T$ բնութագրական էներգիայից՝ $\hbar\omega \ll k_B T$ (քարձր ջերմաստիճաններ), ապա (2.12) բանաձևում էքսպոնենտը վերածելով շարքի և սահմանափակվելով ($\hbar\omega/k_B T$) կարգի անդամների ճշտությամբ՝ կստանանք՝

$$\varepsilon(\omega, T) \approx k_B T, \quad (2.13)$$

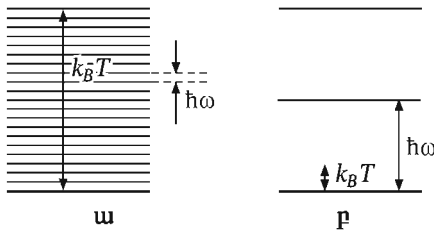
որը դասական միաչափ տատանակի ջերմային էներգիան է: Ստացված արդյունքը ֆիզիկորեն հասկանալի է. եթե գրգռման էներգիան զգալիորեն գե-

բազանցում է էներգիական սպեկտրի քվանտացման բնութագրական չափը, քվանտացումը ոչ մի դեր չի խաղում (նկ. 61. ա):

Հակառակ սահմանային դեպքում, եթե $\hbar\omega \ll k_B T$ (ցածր ջերմաստիճաններ), (2.12) բանաձևից հետևում է տատանակի միջին էներգիայի

$$\epsilon(\omega, T) = \frac{\hbar\omega}{2} + \frac{\hbar\omega}{e^{\hbar\omega/k_B T} - 1} = \frac{\hbar\omega}{2} + \epsilon_{th} = \frac{\hbar\omega}{2} \coth \frac{\hbar\omega}{2k_B T} \quad (2.14)$$

արտահայտությունը, որի համաձայն՝ հիմնական դերը խաղում է էներգիական սպեկտրի քվանտացումը: Տատանակը «գժվար» է գրգռել, քանի որ ջերմային գրգռման «քվանտի» $k_B T$ էներգիան զգայիրեն փոքր է քվանտացման $\hbar\omega$ բնութագրական էներգիայից, ուստի տատանակը գործնականում մնում է հիմնական վիճակում (նկ. 61. բ):



Նկ. 61. Սիաշափի քվանտային տատանակի սպեկտրը.

ա. $\hbar\omega \ll k_B T$, բ. $\hbar\omega \gg k_B T$

(2.12) արտահայտությունից հետևում է, որ ջերմաստիճանի նվազմանը գուգընթաց ջերմային էներգիայում մեծանում է փոքր հաճախություններով տատանակների ներդրումը:

Եռաչափ ցանցում յուրաքանչյուր տատանակի սեփական հաճախությունը բնութագրվում է \mathbf{q} ալիքային վեկտորով և դիսպերային ճյուղի j ցուցիչով՝ $\omega_j = \omega_j(\mathbf{q})$, հետևաբար ցանցի ներքին էներգիայի (2.11) արտահայտությունը կարելի է ներկայացնել

$$U = U_0 + \sum_{\mathbf{q}} \sum_{j=1}^{3s} \frac{\hbar\omega_j(\mathbf{q})}{e^{\hbar\omega_j(\mathbf{q})/k_B T} - 1} \quad (2.15)$$

տեսքով, որտեղ U_0 գումարելին կախված չէ ջերմաստիճանից և տրվում է (2.7) բանաձևով (որտեղ $\omega_i \rightarrow \omega_j(\mathbf{q})$): (2.15) արտահայտությունից ցանցի ջերմունակության համար կստանանք՝

$$C_V = \left(\frac{\partial U}{\partial T} \right)_V = k_B \sum_q \sum_{j=1}^{3s} \left(\frac{\hbar \omega_j(\mathbf{q})}{k_B T} \right)^2 \frac{e^{\hbar \omega_j(\mathbf{q})/k_B T}}{e^{\hbar \omega_j(\mathbf{q})/k_B T} - 1}, \quad (2.16)$$

որը պինդ մարմնի ջերմունակության քվանտային տեսության հիմնական բանաձևն է:

Զնափոխենք ներքին էներգիայի և ջերմունակության (2.15) և (2.16) արտահայտությունները՝ նկատի ունենալով, որ մակրոսկոպական նմուշի համար \mathbf{q} ալիքային վեկտորի արժեքները Բրիլյունի զոնայում բաշխված են $V/(2\pi)^3$ խտությամբ, և ջերմադինամիկական սահմանում ($V \rightarrow \infty$, $N \rightarrow \infty$, $N/V < \infty$) կարելի է համարել, որ \mathbf{q} , հետևաբար նաև $\omega_j(\mathbf{q})$ նեծություններն ընդունում են անընդհատ արժեքներ: Կատարելով անցում գումարից ինտեգրալի՝ համաձայն

$$\sum_{\mathbf{q}} (\dots) = \frac{V}{(2\pi)^3} \int (\dots) d\mathbf{q} \quad (2.17)$$

առնչության (տես III, 7), որտեղ ինտեգրման տիրույթը Բրիլյունի զոնայի կամ հակադարձ ցանցի տարրական բջջի ծավալն է, (2.15) և (2.16) բանաձևներից կստանանք՝

$$U = U_0 + \frac{V}{(2\pi)^3} \sum_{j=1}^{3s} \int \frac{\hbar \omega_j(\mathbf{q})}{e^{\hbar \omega_j(\mathbf{q})/k_B T} - 1} d\mathbf{q}, \quad (2.18)$$

$$C_V = \frac{k_B V}{(2\pi)^3} \sum_{j=1}^{3s} \int \left(\frac{\hbar \omega_j(\mathbf{q})}{k_B T} \right)^2 \frac{e^{\hbar \omega_j(\mathbf{q})/k_B T}}{[e^{\hbar \omega_j(\mathbf{q})/k_B T} - 1]^2} d\mathbf{q}: \quad (2.19)$$

Այս արտահայտություններն առավել հավաք տեսքով կարելի է ներկայացնել վիճակների խտության ֆունկցիայի միջոցով (III, 8)

$$g(\omega) = \sum_{j=1}^{3s} g_j(\omega), \quad (2.20)$$

որտեղ

$$g_j(\omega) = \frac{V}{(2\pi)^3} \int d\mathbf{q} \delta[\omega - \omega_j(\mathbf{q})] \quad (2.21)$$

վիճակների խտության ֆունկցիան է j -րդ ճյուղի համար:

(2.18) – (2.22) բանաձևերի համաձայն՝

$$U = U_0 + \int \frac{\hbar\omega}{e^{\hbar\omega/k_B T} - 1} g(\omega) d\omega, \quad (2.22)$$

$$C_V = k_B \int \left(\frac{\hbar\omega}{k_B T} \right)^2 \frac{e^{\hbar\omega/k_B T}}{[e^{\hbar\omega/k_B T} - 1]^2} g(\omega) d\omega : \quad (2.23)$$

Այսպիսով՝ ներքին էներգիայի, ջերմունակության, ինչպես նաև այլ ջերմադինամիկական բնութագրերի հաշվարկի համար անհրաժեշտ է իմանալ վիճակների խտության ֆունկցիան: Այսուամենայնիվ, կարելի է (2.22) և (2.23) բանաձևերից հանգել որպես հետևողունների՝ առանց կոնկրետացնելու $g(\omega)$ ֆունկցիայի տեսքը:

Ինչպես զիտենք, ընդհատ միջավայրերում ալիքների տարածման առանձնահատկություններից մեկն էլ այն է, որ գոյություն ունի առավելագույն՝ ω_{\max} հաճախություն, այսինքն՝ $\omega > \omega_{\max}$ հաճախությամբ ալիքները տվյալ միջավայրում չեն կարող տարածվել (տես III, 4): Այստեղից բխում է, որ կարելի է ջերմաստիճանն ընտրել այնքան բարձր, որ տեղի ունենա $\hbar\omega \leq \hbar\omega_{\max} \ll k_B T$ անհավասարությունը, որի օգնությամբ կարող ենք ստանալ ջերմունակության բարձրջերմաստիճանային սահմանը: Հարմար է (2.23) արտահայտությունը ներկայացնել:

$$C_V = k_B \int g(\omega) E\left(\frac{\hbar\omega}{k_B T}\right) d\omega \quad (2.24)$$

տեսքով, որտեղ

$$E(x) = \frac{x^2 e^x}{(e^x - 1)^2} = x^2 e^{-x} (1 - e^{-x})^{-2} \quad (2.25)$$

արտահայտությունը կոչվում է Այնշտայնի ֆունկցիա: Բարձրջերմաստիճանային սահմանում $x \ll 1$, և $E(x)$ ֆունկցիան կարելի է ներկայացնել

$$E(x) \approx 1 - \frac{x^2}{12} + \frac{x^4}{240} + \dots \quad (2.26)$$

շարքի տեսքով, ուստի ջերմունակության համար կստանանք՝

$$C_V \approx k_B \int g(\omega) \left[1 - \frac{1}{12} \left(\frac{\hbar\omega}{k_B T} \right)^2 + \frac{1}{240} \left(\frac{\hbar\omega}{k_B T} \right)^4 + \dots \right] d\omega : \quad (2.27)$$

Նկատի ունենալով, որ համակարգում տատանումների (մոդերի) լրիվ քիվը՝

$$\int g(\omega) d\omega = 3Ns , \quad (2.28)$$

(2.27) արտահայտությունից ջերմունակության համար կստանանք՝

$$C_V \approx 3Ns k_B - \frac{k_B}{12} \left(\frac{\hbar}{k_B T} \right)^2 \int g(\omega) \omega^2 d\omega + \\ + \frac{k_B}{240} \left(\frac{\hbar}{k_B T} \right)^4 \int g(\omega) \omega^4 d\omega + \dots : \quad (2.29)$$

Առաջին գումարելին ջերմունակության դասական արտահայտությունն է, որից շեղումները պայմանավորված են քվանտային երևոյթներով ($\hbar \rightarrow 0$ դեպքում այդ ուղղումները ձգուում են զրոյի): Ջերմունակության դասական արժեքի ուղղումները՝ (2.29) բանաձևի մյուս գումարելիները, անբացահայտորեն՝ $g(\omega)$ ֆունկցիայի միջոցով կապվում են բյուրեղի ուժային հաստատումների հետ:

§3. Պինդ մարմնի ջերմունակության Այնշտայնի տեսությունը

Պինդ մարմնի ջերմունակության քվանտային տեսությունը պինդ մարմնի (ցանցի) որոշակի մոդելի շրջանակներում ստեղծել է Ա. Այնշտայնը 1907 թ.: Այդ մոդելի համաձայն՝ պինդ մարմինը ներկայացվում է որպես նույն հաճախությամբ, ներդաշնակ, չփոխազդող տատանակների համախումք: (2.15) և (2.16) բանաձևերում համարելով բոլոր հաճախություններն իրար հավասար՝ $\omega_j(\mathbf{q}) = \omega_E$, կստանանք՝

$$U = U_0 + 3Ns\hbar\omega_E \left(\exp \frac{\hbar\omega_E}{k_B T} - 1 \right)^{-1}, \quad (3.1)$$

$$C_V = 3Ns k_B \left(\frac{\hbar\omega_E}{k_B T} \right)^2 \exp \left(\frac{\hbar\omega_E}{k_B T} \right) \left(\exp \left(\frac{\hbar\omega_E}{k_B T} \right) - 1 \right)^{-2} = \\ = 3Ns k_B E \left(\frac{\hbar\omega_E}{k_B T} \right); \quad (3.2)$$

Սահմանենք Այնշտայնի բնութագրական ջերմաստիճանը՝

$$\theta_E = \frac{\hbar\omega_E}{k_B}, \quad (3.3)$$

և պինդ մարմնի ջերմունակության (3.2) արտահայտությունը ներկայացնենք հետևյալ վերջնական տեսքով՝

$$C_V = 3Nsk_B \left(\frac{\theta_E}{T} \right)^2 \frac{\exp(\theta_E/T)}{[\exp(\theta_E/T) - 1]^2} \equiv 3Nsk_B E \left(\frac{\theta_E}{T} \right); \quad (3.4)$$

Այս բանաձևն արտահայտում է ջերմունակության այնշտայնյան տեսության հիմնական արդյունքը՝ ջերմունակությունը որոշվում է որպես ջերմաստիճանի ֆունկցիա ջերմաստիճանների ամբողջ տիրույթում: θ_E բնութագրական ջերմաստիճանն օգտագործվում է որպես պարամետր՝ փորձի հետ (3.4) բանաձևն առավելագույնս համաձայնեցնելու համար: Այս ձևով ալմաստի համար Այնշտայնն ստացել է $\theta_E = 1320$ Կ արժեքը: Պինդ մարմինների մեծ մասի համար θ_E ջերմաստիճանը 100–300 Կ տիրույթում է:

Քննարկենք ջերմունակության վարքը տարբեր ջերմաստիճանային տիրույթներում:

Բարձր ջերմաստիճաններ՝ $T >> \theta_E$: Նկատի ունենալով Այնշտայնի ֆունկցիայի (2.26) վերլուծությունը՝ ջերմունակության համար կստանանք

$$C_V \approx 3Nsk_B \left[1 - \frac{1}{12} \left(\frac{\theta_E}{T} \right)^2 + \dots \right] \approx 3Nsk_B \quad (3.5)$$

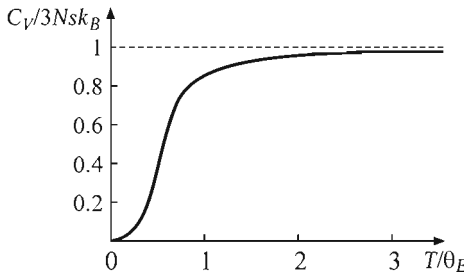
դասական արտահայտությունը:

Յածր ջերմաստիճաններ՝ $T << \theta_E$: Նկատի ունենալով $\exp(\theta_E/T) >> 1$ անհավասարությունը՝ (3.4) բանաձևից կստանանք.

$$C_V \approx 3Nsk_B \left(\frac{\theta_E}{T} \right)^2 \exp \left(-\frac{\theta_E}{T} \right), \quad (3.6)$$

և եթե $T \rightarrow 0$ Կ, ջերմունակությունը ձգտում է զրոյի էքսպոնենտային օրենքով:

Ջերմունակության կախումը ջերմաստիճանից պատկերված է նկ. 62-ում, որտեղ կետագծերով տրված է ջերմունակության դասական արժեքը: Ինչպես հետևում է կորի վարքից, բարձրջերմաստիճանային մոտավորությունը ճիշտ է $T \geq 2\theta_E$ տիրույթում:



Նկ. 62. Ձերմունակության ջերմաստիճանային կախման գրաֆիկն ըստ Այնշտայնի տեսության

Ինչպես ցոյց են տալիս փորձերը, $T \sim T_E$ և ավելի բարձր ջերմաստիճաներում (3.4) բանաձեռք բավականաշափ ճշգրիտ է նկարագրում ջերմունակության վարքը, սակայն T_E -ից ցածր ջերմաստիճաններում փորձի և ջերմունակության (3.4) բանաձևով տրվող արժեքների միջև շեղումը մեծանում է: $T \ll \theta_E$ տիրույթում (3.6) բանաձեռք հակասում է փորձում ջերմունակության համար ատացվող T^3 կախմանը:

Ցածր ջերմաստիճաններում փորձի և Այնշտայնի մոդելի անհամապատասխանությունը հետևանք է այն բանի, որ փոխազդող ատոմների համակարգում տատանումների բոլոր հաճախությունները միևնույնը լինել չեն կարող: Մակրոսկոպական պիճու մարմնում, մինչև խսկ բացարձակ գրոյի ձգոտող ջերմաստիճանում, միշտ կան մոդեր, որոնց համար $\hbar\omega \gg k_B T$ պայմանը խախտվում է: Այդպիսի մոդերն իրենց պահում են «դասական» ձևով, այսինքն՝ նրանից յուրաքանչյուրին բաժին է ընկածում $k_B T$ ջերմային էներգիա: Եթե դասական մոդերի առավելագույն հաճախությունը նշանակենք ω_0 -ով, ապա $\hbar\omega_0 \approx k_B T$, և բոլոր այդպիսի մոդերը $0 \leq \omega \leq \omega_0$ տիրույթում են: q -տարածության մեջ դրանք $q_0 \sim \omega_0$ շառավղով և $q = 0$ կենտրոնով գնդի մեջ են, ուստի դասական մոդերի N_{cl} թիվը հավասար կլինի այդ գնդի ծավալի և մոդերի (վիճակների) $V/(2\pi)^3$ խտության արտադրյալին՝

$$N_{cl} = \frac{4\pi}{3} q_0^3 \frac{V}{(2\pi)^3} \sim \omega_0^3 V \sim V \left(\frac{k_B T}{\hbar} \right)^3 : \quad (3.7)$$

Դասական մոդերի ներդրումը ցանցի ներքին էներգիայում կարելի է գնահատել՝ N_{cl} -ը բազմապատկերով մեկ դասական մոդին բաժին ընկնող $k_B T$ էներգիայով.

$$U \approx k_B T N_{cl} \sim VT^4, \quad (3.8)$$

որտեղից ջերմունակության համար կստանանք՝

$$C_V = \left(\frac{\partial U}{\partial T} \right)_V \sim VT^3. \quad (3.9)$$

Վերջին բանաձևի համաձայն՝ ցածր ջերմաստիճաններում ջերմունակությունը ծգություն է զլոյի, սակայն շատ ավելի դանդաղ, քան Այնշտայնի մոդելում:

Այսուհանդեռձ, Այնշտայնի մոդելը շատ պարզ է, ակնառու և հաճախ օգտագործվում է տարբեր որակական արդյունքներ ստանալու համար:

Նկատի ունենալով այս հանգամանքը՝ ստանանք վիճակների խտության $g(\omega)$ ֆունկցիայի տեսքը Այնշտայնի մոդելի շրջանակներում:

(2.21) արտահայտության մեջ տեղադրենք $\omega_j(\mathbf{q}) = \omega_E$.

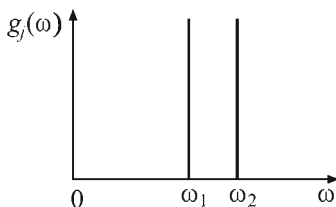
$$g_j(\omega) = \frac{V}{(2\pi)^3} \int d\mathbf{q} \delta(\omega - \omega_E) = \frac{V}{(2\pi)^3} \delta(\omega - \omega_E) \int d\mathbf{q} = N \delta(\omega - \omega_E) \quad (3.10)$$

յուրաքանչյուր ճյուղի համար, իսկ վիճակների խտության լրիվ ֆունկցիան՝

$$g(\omega) = \sum_{j=1}^{3s} g_j(\omega) = 3Ns \delta(\omega - \omega_E): \quad (3.11)$$

Հաճախ նման ֆունկցիաներով նկարագրվում են ցանցային տատանումների սպեկտրում սահմանային հաճախությունների տիրույթի նեղ և խիստ ընդգծված մաքսիմումները:

Վիճակների խտության ֆունկցիաների մոտարկումը $\delta(\omega - \omega_j)$ ֆունկցիաներով կարելի է կիրառել նաև օպտիկական որոշ ճյուղեր նկարագրելու համար, եթե քարդ ցանցը կազմող ատոմների զանգվածներն իրարից խիստ տարբերվում են (նկ. 63, տես նաև նկ. 60):



Նկ. 63. Վիճակների խտության ֆունկցիան ըստ Այնշտայնի մոդելի

§4. Պինդ մարմնի ջերմունակության Դեբայի տեսությունը

Պինդ մարմնի ջերմունակության շեղումը $3Nsk_B$ դասական արժեքից զգալի է դառնում սենյակայինց ցածր ջերմաստիճաններում, իսկ « T^3 » օրենքը տեղի ունի շատ ցածր ջերմաստիճաններում: Հետևաբար կա ջերմաստիճանների մի ընդարձակ տիրույթ՝ մի քանի կելվինից մինչև սենյակային ջերմաստիճաններ, որտեղ չի կարելի օգտվել քննարկված բարձր և ցածր ջերմաստիճանային մոտավորություններից, այլ հաշվարկները պետք է կատարել (2.18) արտահայտության օգնությամբ: Դրա համար անհրաժեշտ է իմանալ վիճակների խտության $g(\omega)$ ֆունկցիան, որն, իր հերթին, որոշվում է $\omega_j(\mathbf{q})$ ($j = 1, 2, \dots, 3s$) դիսպերսային հավասարումների միջոցով: Մակայն $\omega_j(\mathbf{q})$ ֆունկցիաների որոշումն ընդհանուր դեպքում կապված է զգալի դժվարությունների հետ: Այս տեսանկյունից կարևոր նշանակություն են ստանում վիճակների խտության ֆունկցիայի տարրեր մոտարկումները, որոնց միջոցով ստացվում են ջերմունակության ջերմաստիճանային կախումն արտահայտող բանաձևեր:

(2.25) բանաձևի համաձայն՝ $E(\hbar\omega/k_B T) \sim \exp(-\hbar\omega/k_B T) \rightarrow 0$, եթե $\hbar\omega \gg k_B T$, ուստի բարձրհաճախային տիրույթի ներդրումը ջերմունակության մեջ էական չէ (տես (2.24) բանաձևը): Այս հանգամանքը կարելի է օգտագործել ջերմունակության հաշվարկը պարզեցնելու համար՝ $g(\omega)$ ֆունկցիան ավելի պարզ և միաժամանակ վիճակների խտության ֆունկցիայի վարքը որակապես ճիշտ արտահայտող ֆունկցիայով փոխարինելու միջոցով:

Առավել հայտնի և հաջողված մոտարկումն այս ուղղությամբ կատարել է Պ. Դեբայ 1912 թ.:

Դեբայի ենթադրության համաձայն՝ բյուրեղական ցանցի տատանումների սպեկտրը համընկնում է հոծ, իզոտրոպ, առաձգական միջավայրի տատանումների սպեկտրի հետ: Ինչպես հայտնի է, այդպիսի միջավայրում կարող են տարածվել մեկ երկայնական և երկու իրարից անկախ լայնական ալիքներ, որոնց արագություններն են համապատասխանարար v_l և v_t ($v_l > v_t$): Ալիքային վեկտորը q , $q + dq$ գնդային շերտում ընդունում է

$$\frac{V}{(2\pi)^3} 4\pi q^2 dq = \frac{V}{2\pi^2} q^2 dq \quad (4.1)$$

հաստ արժեք, հետևաբար երկայնական տատանումների թիվը հաճախությունների ω , $\omega + d\omega$ տիրույթում, $\omega = v_l q$ առնչության համաձայն, կորոշվի հետևյալ արտահայտությամբ՝

$$2 \frac{V}{2\pi^2} \left(\frac{\omega}{v_l} \right)^2 \frac{d\omega}{v_l} = \frac{V}{2\pi^2 v_l^3} \omega^2 d\omega : \quad (4.2)$$

Լայնական տատանումների թիվը նույն տիրույթում, $\omega = v_l q$ առնչության և երկու լայնական ալիքների գոյության հաշվառմամբ, կորոշվի

$$2 \frac{V}{2\pi^2} \left(\frac{\omega}{v_t} \right)^2 \frac{d\omega}{v_t} = \frac{V}{\pi^2 v_l^3} \omega^2 d\omega \quad (4.3)$$

արտահայտությամբ: Տատանումների լրիվ թիվը ω , $\omega + d\omega$ տիրույթում հավասար է (4.2) և (4.3) արտահայտությունների գումարին՝

$$g(\omega) d\omega = \frac{V\omega^2}{2\pi^2} \left(\frac{1}{v_l^3} + \frac{2}{v_t^3} \right) d\omega = \frac{3V\omega^2}{2\pi^2 v^3} d\omega, \quad (4.4)$$

որտեղ կատարված է հետևյալ նշանակումը՝

$$\frac{1}{v^3} = \frac{1}{3} \left(\frac{1}{v_l^3} + \frac{2}{v_t^3} \right) : \quad (4.5)$$

Այսպիսով՝ հոծ, իզուրուա առաձգական միջավայրի տատանումների սպեկտրը կամայական հաճախությունների համար նկարագրվում է

$$g(\omega) = \frac{3V\omega^2}{2\pi^2 v^3} \sim \omega^2 \quad (4.6)$$

ֆունկցիայով:

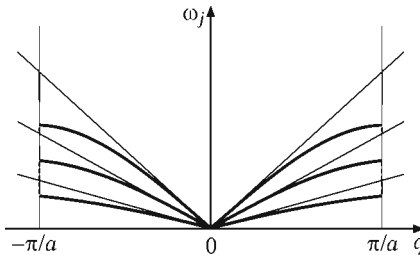
Ինչ վերաբերում է ցանցի տատանումներին, ապա փոքր ալիքային վեկտորների համար j -րդ ծայնային ճյուղի դիսպերսային հավասարումը կարելի է մոտարկել ըստ $|\mathbf{q}|$ -ի գծային ֆունկցիայով (տես III, 6)

$$\omega_j(\mathbf{q}) = v_j(\theta, \phi) |\mathbf{q}|, \quad (j=1,2,3), \quad (4.7)$$

որտեղ ալիքի $v_j(\theta, \phi)$ արագությունը բյուրեղի անիզոտոպության հետևանքով կախված է բյուրեղում ալիքի տարածման $\mathbf{n}(\theta, \phi)$ ուղղությունից:

Այս դեպքում, երբ փոքր հաճախություններով տատանումներին մասնակցում են միաժամանակ մեծ թվով մասնիկներ ($\lambda >> a$), միջավայրի (ցանցի) ընդհատ լինելու հանգամանքը կարելի է հաշվի չառնել: Սակայն ցանցի նույնացումը հոծ միջավայրի հետ հիմնավորված չէ բարձր հաճախությունների տիրույթում, քանի որ, ի տարբերություն հոծ միջավայրի, ցանցում ալիքի տարածման արագությունը կախված է q ալիքային վեկտորից, այսինքն՝ ցանցն օժտված է դիսպերսիալով: Դեռայի ենթադրության համաձայն՝ դիսպերսիայի առկայությունը մեծ հաճախությունների տիրույթում հաշվի չի առնվում (բացառվում է): Մյուս կողմից, ի տարբերություն հոծ միջավայրի, որտեղ տատանումների թիվն անսահմանափակ է, ցանցում կարող են տարածվել միայն վերջավոր թվով ալիքներ, որոնց երկարությունները գերազանցում են միջատումային հեռավորությունները:

Այսպիսով՝ հետևելով Դեռային՝ կենթադրենք, որ (4.7) գծային դիսպերսային հավասարումը կարելի է կիրառել նաև ոչ փոքր ալիքային վեկտորների համար (նկ. 64):



Նկ. 64. Զայնային ճյուղերի դիսպերսային հավասարումների գծային մոտարկումը

j -րդ ճայնային ճյուղին պատկանող վիճակների խտության ֆունկցիայի (2.21) և (4.7) բանաձևերի համաձայն՝

$$g_j(\omega) = \frac{V}{(2\pi)^3} \int \delta[\omega - v_j(\theta, \phi)q] q^2 dq d\Omega = \frac{V\omega^2}{(2\pi)^3} \int_{(4\pi)} \frac{d\Omega}{v_j^3(\theta, \phi)}, \quad (4.8)$$

որտեղ իմտեզրումը կատարվում է $d\Omega = \sin \theta d\phi d\theta$ մարմնային անկյունով: (2.20) և (4.8) արտահայտությունների միջոցով վիճակների խտության ֆունկցիան կարելի է ներկայացնել

$$g(\omega) = \sum_{j=1}^3 g_j(\omega) = \frac{3V\omega^2}{2\pi^2 v^3} \quad (4.9)$$

տեսքով, որտեղ ներմուծված է հակադարձ խորանարդային արագության միջինը՝

$$\frac{1}{v^3} = \frac{1}{3} \sum_{j=1}^3 \frac{1}{4\pi} \int_{(4\pi)} \frac{d\Omega}{v_j^3(\theta, \phi)} : \quad (4.10)$$

Ընդհանուր դեպքում $v_j(\theta, \phi)$ արագություններն արտահայտվում են ցանցի ուժային հաստատումների միջոցով: Ստորև ենթադրվում է, որ (4.10) բանաձևով որոշված v արագությունը տրված մնանալուն է, և այն կարելի է արտահայտել տեսության բնութագրական պարամետրերի միջոցով: Իզուրույն դեպքում (4.10) բանաձևից հետևում է (4.5) առնչությունը:

Այժմ որոշենք (2.22) և (2.23) արտահայտություններում ըստ հաճախության ինտեգրման սահմանները:

Մակրոսկոպական նմուշի համար կատարող հաշվարկներում միշտ ենթադրվում է անցում զերմադինամիկական սահմանին ($N \rightarrow \infty$, $V \sim L^3 \rightarrow \infty$, սակայն N/V հարաբերությունը վերջավոր է). L -ը համակարգի գծային չափն է): Միջավայրում տարածվող ալիքների երկարությունները սահմանափակված չեն երկարալիքային տիրույթում՝ $\lambda \sim L \rightarrow \infty$, նվազագույն հաճախությունը՝ $\omega_{\min} \sim \lambda_{\max}^{-1} \sim L^{-1} \rightarrow 0$:

Սակայն եթե բյուրեղի չափերը շատ փոքր են, ապա նրանում տարածվող ամենաերկար ալիքի երկարությունը՝ $\lambda_{\max} \approx L$: Եթե բյուրեղի զերմաստիճանը՝ $T < T_0 \approx \hbar \omega_{\min} / k_B \approx \hbar v / k_B L$, ապա հնարավոր են շերտմներ Դեբայի տեսությունից: $L \sim 10^{-6}$ սմ կարգի չափերով նմուշի համար, ընդունելով $v \sim 10^5$ սմ/վ, կստանանք՝ $T_0 \approx 1$ Կ: Փորձում, նրբափոշու զերմունակության զերմաստիճանային կախումն ուսումնասիրելիս, $L \leq 1$ Կ տիրույթում, իրոք, դիտվել են շեղումներ տեսությունից:

Հաճախության ω_{\max} առավելագույն արժեքը, որի գոյությունը հետևանք է ցանցի ընդհատության, որոշվում է Դեբայի երկրորդ ենթադրությամբ, որի համաձայն՝ բոլոր ծայնային ճյուղերում տատանումների լրիվ թիվը $3N$ է: Օգտվելով (4.9) արտահայտությունից և նորմավորման

$$3N = \int_0^{\omega_{\max}} g(\omega) d\omega = \frac{3V}{2\pi^2 v^3} \int_0^{\omega_{\max}} \omega^2 d\omega = \frac{V \omega_{\max}^3}{2\pi^2 v^3} \quad (4.11)$$

պայմանից՝ կստանանք ω_{\max} կամ Դեբայի ω_D սահմանային հաճախության համար հետևյալ արտահայտությունը.

$$\omega_{\max} \equiv \omega_D \equiv v \left(\frac{6\pi^2 N}{V} \right)^{1/3} = v \left(\frac{6\pi^2}{v_0} \right)^{1/3}, \quad (4.12)$$

որտեղ $v_0 = V/N$ տարրական բջջի ծավալն է: ω_{\max} հաճախությանը համապատասխանում է q_{\max} կամ Դեբայի q_D ալիքային թիվը, որը որոշում է (4.11) պայմանին համարժեք

$$\frac{V}{(2\pi)^3} \frac{4\pi}{3} q_D^3 = N \quad (4.13)$$

պայմանից, որի համաձայն՝ Բրիլյունի գոնան փոխարինված է q_D շառավղով գնդով, որը պարունակում է նույնըան տատանողական մող, որքան Բրիլյունի գոնան: Դեբայի ալիքային թիվը՝

$$q_D = \left(\frac{6\pi^2 N}{V} \right)^{1/3} = \left(\frac{6\pi^2}{v_0} \right)^{1/3} = \frac{\omega_D}{v}, \quad (4.14)$$

որոշում է սահմանային (ամենակարճ) ալիքի երկարությունը՝

$$\lambda_D = \frac{2\pi}{q_D} = \left(\frac{4\pi}{3} v_0 \right)^{1/3}: \quad (4.15)$$

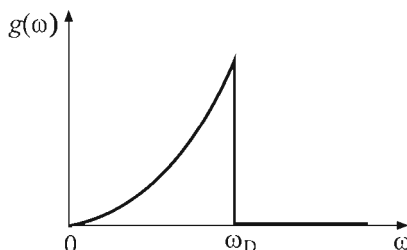
Գնահատենք ω_D , q_D և λ_D բնութագրերը:

Տարրական բջջի ծավալը կարելի է ներկայացնել $v_0 = \alpha a^3$ տեսքով, որտեղ a -ն տարրական խորանարդի կոորդինատներում է, α -ն՝ միավորի կարգի գործակից ($a \sim 10^{-8}$ սմ, $\alpha = 1, 1/2$ և $1/4$ համապատասխանաբար պարզ, ծավալակենտրոն և նիստակենտրոն խորանարդային ցանցի համար), իսկ v -ն պինդ մարմնում ձայնի տարածման բնութագրական արագությունն է ($v \sim 10^5$ սմ/վ): (4.12), (4.14) և (4.15) բանաձևերում տեղադրելով պարամետրերի նշանները՝ կստանանք.

$$\begin{aligned}\omega_D &= \frac{v}{a} \left(\frac{6\pi^2}{\alpha} \right)^{1/3} \sim 10^{13} \text{ ռադ/վ}, \\ q_D &= \frac{1}{a} \left(\frac{6\pi^2}{\alpha} \right)^{1/3} \sim 10^8 \text{ սմ}^{-1}, \\ \lambda_D &= a \left(\frac{4\pi\alpha}{3} \right)^{1/3} \sim 10^{-8} \text{ սմ:}\end{aligned}\quad (4.16)$$

Նպատակահարմար է միջավայրում ճայնի միջին v արագությունից (4.12) բանաձևի օգնությամբ անցնել Դեքայի տեսության հիմնական պարամետրերից մեկին՝ ω_D հաճախությանը: Վիճակների խտության ֆունկցիայի համար Դեքայի մոտավորությամբ կստանանք (նկ. 65):

$$g(\omega) = \begin{cases} 9N \frac{\omega^2}{\omega_D^3}, & \omega \leq \omega_D, \\ 0, & \omega > \omega_D : \end{cases} \quad (4.17)$$



Նկ. 65. Վիճակների խտության ֆունկցիան Դեքայի մոտավորությամբ

Վիճակների խտության ֆունկցիայի համար ստացված (4.17) արտահայտությունը տեղադրենք ներքին էներգիայի և ջերմունակության (2.22) ու (2.23) բանաձևերի մեջ՝

$$U = U_0 + 9N\omega_D^{-3} \int_0^{\omega_D} \frac{\hbar\omega}{e^{\hbar\omega/k_B T} - 1} \omega^2 d\omega, \quad (4.18)$$

$$C_V = 9Nk_B \omega_D^{-3} \int_0^{\omega_D} \left(\frac{\hbar\omega}{k_B T} \right) \frac{e^{\hbar\omega/k_B T}}{[e^{\hbar\omega/k_B T} - 1]^2} \omega^2 d\omega: \quad (4.19)$$

Եթե (4.18) և (4.19) բանաձևերում կատարենք փոփոխականի փոխարինում՝ $t = \hbar\omega/k_B T$, ապա ինտեգրման վերին սահմանում կատարվի $\hbar\omega_D/k_B T$: Ներմուծենք պինդ մարմնի Դեբայի բնութագրական ջերմաստիճանը՝

$$\Theta_D = \frac{\hbar\omega_D}{k_B} = \frac{\hbar}{k_B} \left(\frac{18\pi^2 N}{V} \right)^{1/3} \left(\frac{1}{v_l^3} + \frac{2}{v_t^3} \right)^{-1/3} : \quad (4.20)$$

Կատարենք նաև հետևյալ նշանակումները՝

$$D_E(x) = \frac{3}{x^4} \int_0^x \frac{t^3 dt}{e^t - 1}, \quad (4.21)$$

որը հայտնի է որպես էներգիայի Դեբայի ֆունկցիա և

$$D(x) = \frac{3}{x^3} \int_0^x \frac{t^4 e^t}{(e^t - 1)^2} dt = \frac{3}{x^3} \int_0^x t^2 E(t) dt, \quad (4.22)$$

որը հայտնի է որպես ջերմունակության Դեբայի ֆունկցիա, իսկ $E(t)$ ֆունկցիան տրվում է (2.25) բանաձևով:

(4.18) – (4.22) արտահայտություններից ներքին էներգիայի և ջերմունակության համար ստացվում են հետևյալ վերջնական բանաձևերը՝

$$U = U_0 + 3Nk_B \Theta_D D_E \left(\frac{\Theta_D}{T} \right), \quad (4.23)$$

$$C_V = 3Nk_B D \left(\frac{\Theta_D}{T} \right), \quad (4.24)$$

որոնք կիրառելի են ջերմաստիճանների ամբողջ տիրույթում և հայտնի են որպես Դեբայի միջարկումային (ինտերպոլյացիոն) բանաձևեր:

Դժվար չէ համոզվել, որ $D_E(x)$ և $D(x)$ ֆունկցիաները կապված են

$$D(x) = 4x D_E(x) - 3x(e^x - 1)^{-1} \quad (4.25)$$

առնչությամբ, որն ստացվում է (4.22) արտահայտությունը մասերով ինտեգրելիս: Սակայն նպատակահարմար է հետազա հաշվարկներում այդ ֆունկցիաների համատեղ օգտագործումը:

Հարկ է նշել, որ ներքին էներգիայի և ջերմունակության կախումները պինդ մարմնի բնութագրերից արտահայտվում են մեկ մեծության՝ Դեբայի

θ_D ջերմաստիճանի միջոցով, որն, իր հերթին, կախված է մարմնի խտությունից և նրանում ձայնի տարածման միջին արագությունից: Գնահատումների համաձայն՝

$$\theta_D = \frac{\hbar \omega_D}{k_B} \approx \frac{\hbar v}{k_B a} \sim 100 \text{Կ:} \quad (4.26)$$

Տարբեր մարմինների համար, որպես կանոն, θ_D պարամետրի բնորոշագույնը մի քանի տասնյակից մինչև մի քանի հարյուր կելվին տիրույթում են (տես Աղյուսակ 18):

§5. Ներքին էներգիայի և ջերմունակության վարքը ջերմաստիճանային տարբեր տիրույթներում

Կամայական ջերմաստիճանում պինդ մարմնի ներքին էներգիան և ջերմունակությունը հաշվարկելու համար անհրաժեշտ է $D(\theta_D/T)$ և $D_E(\theta_D/T)$ ֆունկցիաների արժեքները տրված են աղյուսակներում: Սակայն սահմանային դեպքերում (4.22) և (4.21) բանաձևերից կարելի է ստանալ նշված ջերմադինամիկական մեծությունների վերլուծական արտահայտություններ:

Բարձր ջերմաստիճաններ՝ $T \gg \theta_D$ ($x = \theta_D/T \ll 1$):

Նկատի ունենալով (4.21) և (4.22) ինտեգրալներում ինտեգրման վերին սահմանի փոքրությունը՝ $x \ll 1$, ենթախնտեզրալային ֆունկցիաները կարելի է վերլուծել շարքի $t = 0$ կետի շուրջը: $D_E(x)$ ֆունկցիայի համար կստանանք՝

$$D_E(x) \approx \frac{3}{x^4} \int_0^x t^4 \left(1 - \frac{t}{2} + \frac{t^2}{12} + \dots \right) dt = \frac{1}{x} - \frac{3}{8} + \frac{1}{10}x + \dots : \quad (5.1)$$

$D(x)$ ֆունկցիայի արտահայտությունը՝ $x \ll 1$ դեպքում հեշտությամբ ստացվում է (4.22) սահմանումից՝ $E(t)$ ֆունկցիայի (2.26) վերլուծության օգնությամբ՝

$$D(x) \approx \frac{3}{x^3} \int_0^x t^2 \left(1 - \frac{1}{12}t^2 + \frac{1}{240}t^4 + \dots \right) dt = 1 - \frac{1}{20}x^2 + \dots : \quad (5.2)$$

(5.1) և (5.2) վերլուծությունները տեղադրելով (4.23) և (4.24) արտահայտություններում՝ կստանանք՝

$$U = U_0 + 3Nk_B T \left[1 - \frac{3}{8} \frac{\theta_D}{T} + \frac{1}{20} \left(\frac{\theta_D}{T} \right)^2 + \dots \right], \quad (5.3)$$

$$C_V = 3Nk_B \left[1 - \frac{1}{20} \left(\frac{\theta_D}{T} \right)^2 + \dots \right], \quad (5.4)$$

որոնք համընկնում են այնու մարմնի դասական տեսության արդյունքների հետ:

Յածր ջերմաստիճամմեր՝ $T \ll \theta_D$ ($x = \theta_D/T \gg 1$):

(4.21) ինտեգրալը ներկայացնենք երկու ինտեգրալների տարրերության տեսքով՝

$$\int_0^x \frac{t^3 dt}{e^t - 1} = \int_0^\infty \frac{t^3 dt}{e^t - 1} - \int_x^\infty \frac{t^3 dt}{e^t - 1}, \quad (5.5)$$

որոնցից առաջինը կարելի է ճշգրիտ հաշվել.

$$\begin{aligned} \int_0^\infty \frac{t^3 dt}{e^t - 1} &= \int_0^\infty t^3 e^{-t} \frac{dt}{1 - e^{-t}} = \sum_{n=1}^\infty \int_0^\infty t^3 e^{-nt} dt = - \sum_{n=1}^\infty \frac{\partial^3}{\partial n^3} \int_0^\infty e^{-nt} dt = \\ &= - \sum_{n=1}^\infty \frac{\partial^3}{\partial n^3} \left(\frac{1}{n} \right) = 6 \sum_{n=1}^\infty \frac{1}{n^4} = 6 \cdot \frac{\pi^4}{90} = \frac{\pi^4}{15}: \end{aligned} \quad (5.6)$$

Նման եղանակով երկրորդ ինտեգրալ կարելի է ներկայացնել հետևյալ տեսքով՝

$$\begin{aligned} \int_x^\infty \frac{t^3 dt}{e^t - 1} &= - \sum_{n=1}^\infty \frac{\partial^3}{\partial n^3} \int_x^\infty e^{-nt} dt = - \sum_{n=1}^\infty \frac{\partial^3}{\partial n^3} \left(\frac{1}{n} e^{-nx} \right) = \\ &= \sum_{n=1}^\infty e^{-nx} \left(\frac{6}{n^4} + \frac{6}{n^3} x + \frac{3}{n^2} x^2 + \frac{1}{n} x^3 \right): \end{aligned} \quad (5.7)$$

Քանի որ $x \gg 1$, ապա կարելի է սահմանափակվել գումարի միայն առաջին՝ $n=1$ անդամով՝ վերջինիս մեջ բողնելով ամենամեծ՝ x^3 անդամը: Այս մոտավորությամբ՝

$$D_E(x) \approx \frac{3}{x^4} \left(\frac{\pi^4}{15} - x^3 e^{-x} \right) = \frac{\pi^4}{5x^4} - \frac{3}{x} e^{-x}: \quad (5.8)$$

Նույն մոտավորությամբ (4.25) առնչությունից հետևում է, որ

$$D(x) \approx \frac{4\pi^4}{5x^3} - 3xe^{-x} : \quad (5.9)$$

Այս բանաձևերի օգնությամբ (4.23) և (4.24) լողիանուր արտահայտություններից ստացվում են ներքին էներգիայի և ջերմունակության ջերմաստիճանային կախումները՝

$$U = U_0 + 3Nk_B T \left[\frac{\pi^4}{5} \left(\frac{T}{\theta_D} \right)^3 - 3 \exp \left(-\frac{\theta_D}{T} \right) \right], \quad (5.10)$$

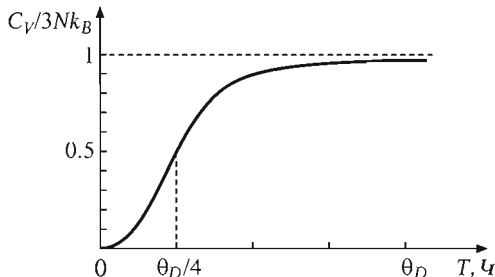
$$C_V = 3Nk_B \left[\frac{4\pi^4}{5} \left(\frac{T}{\theta_D} \right)^3 - 3 \frac{\theta_D}{T} \exp \left(-\frac{\theta_D}{T} \right) \right] : \quad (5.11)$$

Այս բանաձևերը հիմնավորում են որակական դատողությունների օգնությամբ ստացված (3.8) և (3.9) գնահատականները:

(5.11) բանաձևում առաջին գումարելին պինդ մարմնի (ցանցային) ջերմունակության « T^3 » օրենքի արտահայտությունն է՝

$$C_V = \frac{12\pi^4}{5} Nk_B \left(\frac{T}{\theta_D} \right)^3 = 234Nk_B \left(\frac{T}{\theta_D} \right)^3 : \quad (5.12)$$

Նկ. 66-ում պատկերված է ջերմունակության ջերմաստիճանային կախման կորը՝ համաձայն (4.24) բանաձևի:



Նկ. 66. Ջերմունակության ջերմաստիճանային կախման զրաֆիկն ըստ Դերայի տեսության

Ինչպես հետևում է կորի վարքից, զերմունակության ամենաարագ փոփոխման տիրույթը $\theta_D/4$ կետի շրջակայրն է, այնպես որ դասական արտահայտությունները փաստում կիրառելի են $T \geq \theta_D$, այլ ոչ բն է $T > \theta_D$ դեպքում (մեծ թվով նյութերի համար խիստ անհավասարությունը պինդ վիճակում տեղի ունենալ չի կարող հալման հետևանքով): Քվանտային արտահայտությունները կիրառելի են $0 < T < 0,1\theta_D$ տիրույթում:

Դերայի մողելի շրջանակներում կարելի է գնահատել Այնշտայնի բնութագրական ω_E հաճախությունը: Կարելի է այն վերցնել Դերայի տեսությամբ միջին հաճախության համար ստացվող արժեքին հավասար՝

$$\omega_E \equiv \bar{\omega} = \frac{\int_0^{\omega_D} \omega g(\omega) d\omega}{\int_0^{\omega_D} g(\omega) d\omega} = \frac{\int_0^{\omega_D} \omega^3 d\omega}{\int_0^{\omega_D} \omega^2 d\omega} = 0,75\omega_D$$

կամ

$$\theta_E = 0,75\theta_D : \quad (5.13)$$

Այսպիսի ընտրության դեպքում Այնշտայնի և Դերայի տեսություններով հաշվարկված զերմունակության կորերը համընկնում են մեծ ճշտությամբ՝ ընդհուպ մինչև $T \geq 0,5\theta_D$ արժեքները:

ω_E հաճախությունը կարելի է որոշել՝ օգտվելով նաև այն հանգամանքից, որ բարձրերմասատիճանային տիրույթում երկու տեսություններն ել համընկնում են դասական տեսության հետ: Հավասարեցնելով (3.5) և (5.13) բանաձևերում առկա քառակուսային ուրբումները՝ կստանանք.

$$\frac{1}{20} \left(\frac{\theta_D}{T} \right)^2 = \frac{1}{12} \left(\frac{\theta_E}{T} \right)^2$$

կամ

$$\theta_E = \sqrt{\frac{3}{5}} \theta_D \approx 0,775\theta_D, \quad (5.14)$$

որն առանձնապես չի տարբերվում (5.13) արտահայտությունից:

Սակայն Այնշտայնի և Դերայի տեսությունները հանգեցնում են տարբեր որակական և քանակական արդյունքների $T < 0,5\theta_D$ զերմաստիճաններում:

§6. Դերայի տեսության բննարկումը

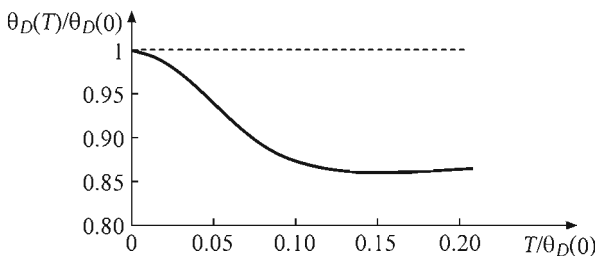
Դերայի տեսությամբ պինդ մարմնի ներքին էներգիան և ջերմունակությունը, որոնք տրվում են (4.23) և (4.24) բանաձևերով, կամայական ջերմաստիճանում որոշվում են միայն մեկ մեծությամբ՝ θ_D/T հարաբերությամբ: Եթե յուրաքանչյուր բյուրեղի վերագրվի որոշակի բնութագրական θ_D ջերմաստիճան, ապա ջերմունակության բոլոր կորերը կհամընկնեն իրար հետ: Սակայն պարզվում է, որ տվյալ մարմնի θ_D ջերմաստիճանը կախված է այն ջերմաստիճանից, որի դեպքում փորձում ենք համապատասխանեցնել ջերմունակության տեսական և փորձարարական կորերը: Իրոք, եթե ջերմունակության՝ փորձում կամ որևէ տեսությամբ ստացված $C_V(T)$ արժեքը յուրաքանչյուր կետում հավասարեցվի Դերայի տեսությամբ տրվող (4.24) բանաձևից ստացվող արժեքին՝

$$C_V(T) = C_V^D(T, \theta_D), \quad (6.1)$$

դրա համար օգտագործելով θ_D մեծությունը որպես «հարմարեցման» պարամետր, ապա (6.1) առնչությունից կատացվի այդ պարամետրի՝ ջերմաստիճանից կախման արտահայտություն՝

$$\theta_D = \theta_D(T): \quad (6.2)$$

Նկ. 67-ում պատկերված է արգոնի բյուրեղի Դերայի ջերմաստիճանի ջերմաստիճանային կախման գրաֆիկը (կետագծով տրված է Դերայի մոտավորությանը համապատասխանող $\theta_D \equiv \theta_D(0) = \text{const}$ արժեքը):



Նկ. 67. Արգոնի բյուրեղի θ_D պարամետրի ջերմաստիճանային կախման կորը

Դերայի տեսության θ_D պարամետրը կախված չէ ջերմաստիճանից, իսկ նրա մեծությունը հաստատում է, որի արժեքը կախված է միայն ցանցի ուժային (առաձգական) հաստատուններից, ուստի փորձում դիտվող $\theta_D(T)$

կախումը հետևանք է ցանցի իրական սպեկտրը Դերայի (4.17) սպեկտրով փոխարինելուն և կարող է ծառայել որպես ցանցի տատանողական սպեկտրը հաշվարկելիս օգտագործված ուժային հաստատունների մոդելի պիտանիության զգայուն չափանիշ:

Պարզ ցանցերի վիճակների խտության ֆունկցիան և նրա միջոցով ջերմունակության և θ_D պարամետրի ջերմաստիճանային կախումները ցանցային տեսությամբ հետազոտել է Մ. Բլեկմենը: Համաձայն Բլեկմենի՝ $\theta_D(T)$ ֆունկցիան ունի մինիմում միջանկյալ ջերմաստիճանների տիրույքում: Քանի որ θ_D պարամետրը կախված է առաձգական հաստատուններից (v_l և v_t արագությունների միջոցով), ապա նրանցից է կախված նաև այն ջերմաստիճանը, որի դեպքում տեղի ունի $T \ll \theta_D$ խիստ անհավասարությունը: Այն բյուրեղները, որոնցում միջատոմային փոխազդեցությունն ուժեղ է (օրինակ՝ ալմաստ, շափյուղա), ունեն քարձր θ_D -եր: Աղյուսակ 18-ում բերված են որոշ տարրերի Դերայի ջերմաստիճանների արժեքները՝ ստացված՝

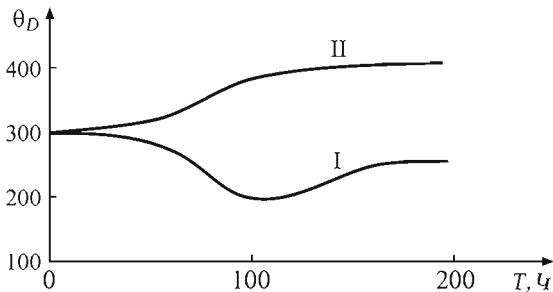
ա) ըստ (4.24) բանաձևի այն կետում, որտեղ $C_V = 3Nk_B/2$,

բ) ըստ ձայնի արագության (4.20) բանաձևով հաշվարկի:

Ընդունված է նաև θ_D պարամետրի որոշումը (5.12) բանաձևի միջոցով (C_V -ի՝ T^3 -ից կախման ուղղի թերությամբ):

Աղյուսակ 18. Որոշ բյուրեղների Դերայի ջերմաստիճանները

Բյուրեղ	θ_D , Կ (ա)	θ_D , Կ (թ)	Բյուրեղ	θ_D , Կ (ա)	θ_D , Կ (թ)
Li	400		Pb	88	72
Na	150	164	Ar	85	
K	100		Cu	315	329
Be	1000		Ag	215	212
B	1250		Au	170	
Al	394	399	Cd	120	168
Ga	240		Fe	420	467
C (ալմաստ)	1860		Pt	230	226
Si	625		Gd	152	



Նկ. 68. θ_D պարամետրի վարքը I և II տիպի բյուրեղներում

Որոշ պարզ նյութերում ջերմաստիճանի բարձրացմանը զուգընթաց θ_D -ն նվազում է (I խումբ), իսկ մյուսների մոտ՝ աճում (II խումբ), (տես նկ. 68): Դեբայի ջերմաստիճանի նման վարքը պայմանավորված է հետևյալ հանգամանքով: (2.29) և (5.4) բանաձևերի համաձայն՝ բարձր ջերմաստիճանների տիրույթում Դեբայի $\theta_D(\infty)$ ջերմաստիճանը կապված է $\theta_D \equiv \theta_D(0)$ պարամետրի հետ

$$\overline{\theta_D^2(\infty)} = \overline{\theta_D^2(0)} \frac{\overline{\omega^2}}{\overline{\theta_D^2}} \quad (6.3)$$

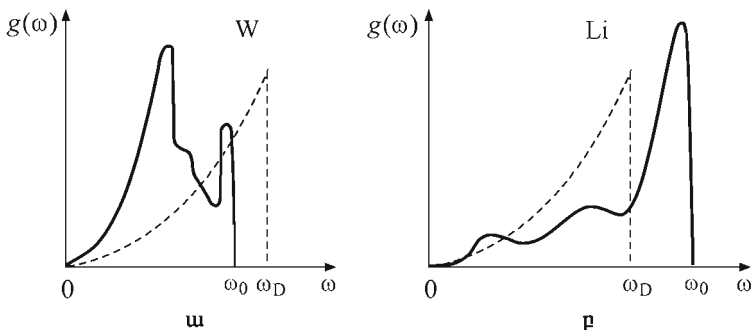
առնչությամբ, որտեղ $\overline{\omega^2}$ -ն հաճախության քառակուսային միջինն է ըստ ցանցային տեսության՝

$$\overline{\omega^2} = \int_0^{\omega_0} \omega^2 g(\omega) d\omega \left/ \int_0^{\omega_0} g(\omega) d\omega \right., \quad (6.4)$$

ω_0 -ն ցանցի տատանումների առավելագույն հաճախությունն է, իսկ $\overline{\omega_D^2}$ -ն քառակուսային միջինն է ըստ Դեբայի մոտավորության՝

$$\overline{\omega_D^2} = \int_0^{\omega_D} \omega^2 g(\omega) d\omega \left/ \int_0^{\omega_D} g(\omega) d\omega \right. = \frac{3}{5} \overline{\omega_D^2}: \quad (6.5)$$

Նկ. 69-ում պատկերված են՝ ա. Վոլֆրամի (I խումբ) և բ. Լիքիտսի (II խումբ) վիճակների խտության ֆունկցիաներն ըստ ցանցային տեսության (կետագծերով պատկերված է վիճակների խտության ֆունկցիան ըստ Դեբայի մոտավորության):



Նկ. 69 ա. Վոլֆրամի և բ. լիթիամի վիճակների խտության ֆունկցիաները

Հոծ գծերով և կետագծերով սահմանափակված մակերեսները հավասար են ձայնային մոդերի քվիմ ($3N$), ուստի I խմբի համար $\frac{\omega^2}{\omega_D^2} < \frac{1}{\omega_D^2}$ և $\theta_D(\infty) < \theta_D(0)$, իսկ II խմբի համար $\frac{\omega^2}{\omega_D^2} > \frac{1}{\omega_D^2}$ և $\theta_D(\infty) > \theta_D(0)$:

Որակապես բացատրենք I և II խմբի նյութերի համար ցանցային տեսությամբ վիճակների խտության ֆունկցիայի համար ստացված կորերը:

Նախ դիտարկենք վոլֆրամի սպեկտրը (նկ. 69. ա):

Ինչպես հայտնի է, վոլֆրամի նմուշը մեծ ճշտությամբ կարելի է համարել իզոտրոպ միջավայր, որտեղ $v_l \approx 2v_t$: Դերայի տեսությունը բարելավելու նպատակով լայնական և երկայնական ալիքները սահմանափակենք ω_D^l և ω_D^t սահմանային հաճախություններով այնպես, որ լայնական մոդերին համապատասխանի $2N$ վիճակ, իսկ երկայնականներին՝ N վիճակ:

Այս պայմաններից կստանանք՝

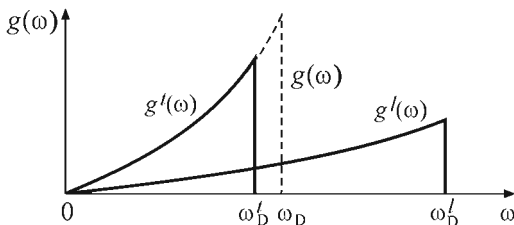
$$\omega_D^l = v_l q_D, \quad \omega_D^t = v_t q_D \approx \frac{1}{2} \omega_D^l : \quad (6.6)$$

Դերայի ω_D հաճախությունն արտահայտելով ω_D^t -ի միջոցով՝

$$\omega_D = \omega_D^t \left[\frac{1}{3} \left(2 + \frac{v_l^3}{v_t^3} \right) \right]^{-1/3} = \omega_D^t \left[\frac{1}{3} \left(2 + \frac{1}{8} \right) \right]^{-1/3} \approx 1,12 \omega_D^t, \quad (6.7)$$

համոզվում ենք, որ այն շատ մոտ է լայնական մոդերի ω_D^t սահմանային հաճախությանը (նկ. 70), այսինքն՝ սպեկտրում հիմնականը լայնական մոդերի ներդրումն է: Գործնականորեն բոլոր բարձրհաճախային մոդերը հաշվի չեն առնվում: Սակայն Դերայի տեսության այս ամենատողականությունն էլ հենց

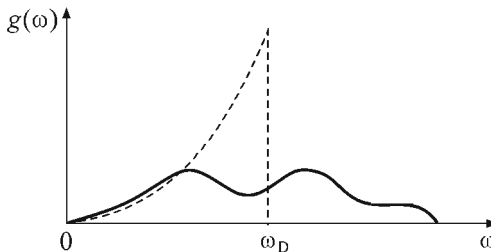
Նրա հաջորդության պատճառն է: Բանն այն է, որ ցանցում կարծ ալիքներն ունեն ավելի փոքր հաճախություններ, քան հոծ միջավայրում (նկ. 64): Դրա պատճառն այն է, որ ցանցն ավելի իներու է, քան հոծ միջավայրը, քանի որ ցանցում զանգվածը կենտրոնացված է ցանցի համար յօցներում, իսկ հոծ միջավայրում այն բաշխված է անընդհատ: Եվ երբ նրանում տարածվում է ալիք, ապա միջավայրի զանգվածի մի մասը, լինելով տատանումների հանգույցներում, մնում է դադարի վիճակում: Այլ կերպ ասած, տատանումներին մասնակցում է ոչ լրիվ զանգվածը: Դրա հետևանքով ցանցային տեսությամբ հաշվարկված սպեկտրը շեղված է փոքր հաճախությունների կողմը. հանգամանք, որը, համեմայն դեպքում նոտավոր ձևով, համակարգում է Դեբայի տեսության մեջ մեծ հաճախությունների արհամարհումը:



Նկ. 70. Վիճակների խտության ֆունկցիաները վոլֆրամում

Եթե հոծ միջավայրը խիստ անիզոտրոպ է (լիքիդումի դեպքը), ապա տատանումներն այլևս չի կարելի բաժանել լայնականի և երկայնականի, քանի որ բևեռացման ուղղությունները, ինչպես և արագությունները, էապես կախված են ալիքային վեկտորի ուղղությունից: Այս դեպքում անհրաժեշտ է ալիքային վեկտորի ամեն մի (θ, φ) ուղղության համար կառուցել նկ. 70-ի նման սպեկտր՝ երեք՝ $\omega_D^{(1)}(\theta, \varphi)$, $\omega_D^{(2)}(\theta, \varphi)$ և $\omega_D^{(3)}(\theta, \varphi)$ սահմանային հաճախություններով, որոնք համապատասխանում են $v_1(\theta, \varphi)$, $v_2(\theta, \varphi)$ և $v_3(\theta, \varphi)$ արագություններին, իսկ q_D պարամետրը նորից որոշվում է (4.13) պայմանից:

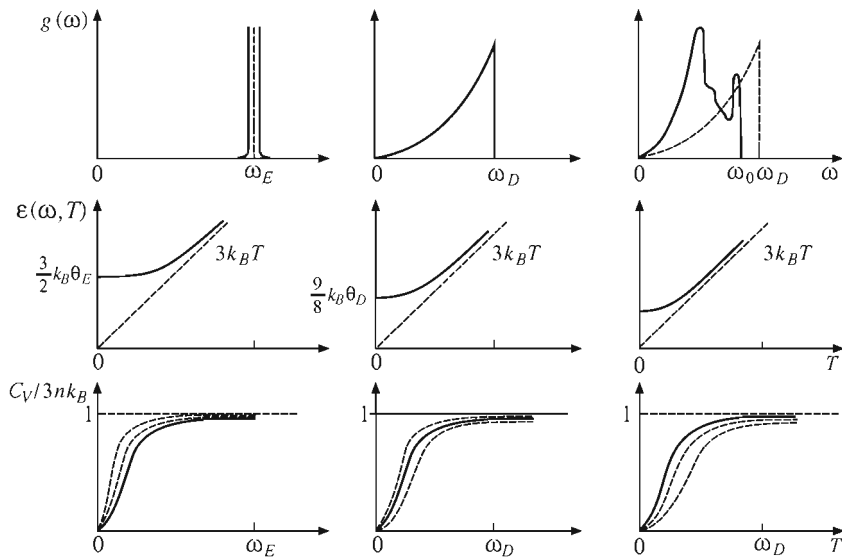
Անիզոտրոպության հետևանքով $\omega_D^{(i)}(\theta, \varphi)$ հաճախություններն իրարից զգալիորեն կտարբերվեն, ուստի գումարային սպեկտրը իզոտրոպ հոծ միջավայրի դեպքի համեմատությամբ կիարբուծվի (նկ. 71): Այսպիսով՝ անիզոտրոպությունը հակված է սպեկտրը շեղելու դեպքի բարձր հաճախությունների կողմը, այն դեպքում, երբ ցանցի կառուցվածքի ընդհատության հաշվառումը հանգեցնում է հակառակ երևույթին:



Նկ. 71. Խիստ անհզուրուած միջավայրում վիճակների խտության ֆունկցիայի որակական պատկերը

Ուժեղ անհզուրուալության դեպքում ցանցի ընդհատության հաշվառումը չի համակշռում անհզուրուալության ազդեցությունը, ուստի և $\omega_0 > \omega_D$:

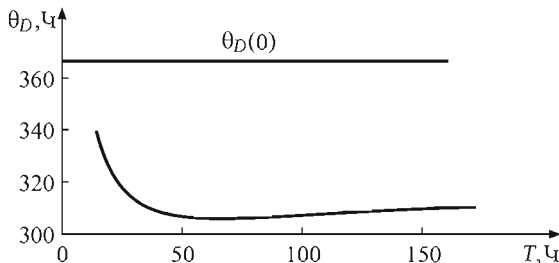
Անդրադառնալով Դերայի ջերմաստիճանի վարքին՝ հարկ է նշել նրա երկու բնութագրական արժեքները՝ $\theta(0) \equiv \theta_D$, որը որոշվում է միայն միջավայրի առաձգական հաստատուններով, և $\theta_\infty = \theta_D^2 \overline{\omega^2} / \overline{\omega_D^2}$, որը որոշվում է ցանցային տեսության շրջանակներում ուժային հաստատունների միջոցով:



Նկ. 72. Այնտայնի, Դերայի և ցանցային տեսությունների որակական համեմատությունը վելիքամի օրինակով

Համեմատենք այժմ Այնշտայնի, Դերայի և ցանցային տեսությունների շրջանակներում մեկ ատոմին բաժին ընկնող էներգիայի և ջերմունակության համար ստացված կախումների գրաֆիկները վոլֆրամի օրինակով (նկ. 72): ընդունելով $\omega_0 = \omega_D$: Ծնայած տարրեր նախնական ենթադրություններին, ջերմունակություններն իրարից շատ չեն տարրերվում:

$\Theta(0) \equiv \theta_D$ կախումը շատ ավելի զգայուն է սպեկտրի տեսքի նկատմամբ: Ջերմունակության Դերայի կորը չափավոր բարձր ջերմաստիճաններում կարելի է համատեղել ջերմունակության ցանցային տեսությամբ ստացված կորի հետ, եթե θ_D պարամետրն ընտրվի հավաար $\theta_\infty < \theta_D(0)$, որը հաստատվում է վոլֆրամի օրինակով: Վերջինիս մոտ $\theta_D(T)$ ֆունկցիան ջերմաստիճանն աճելիս նվազում է $\theta_D(0)$ արժեքի համեմատությամբ, որի պատճառը միջավայրի առաձգական հաստատունների նվազումն է: Սակայն սկսած 50 Կ-ից մինչև 150 Կ այն նորից դառնում է հաստատուն, որի արժեքը համապատասխանում է ցանցային տեսությունից ստացված θ_∞ մեծությանը՝ $\theta_D = \theta_\infty$ (նկ. 73.): Այս պատճառով « T^3 »-ի օրենքը, որը, համաձայն արտածման, խստորեն տեղի ունի միայն շատ ցածր՝ մի քանի կելվին ջերմաստիճաններում և $\theta_D = \theta_D(0) = \text{const}$ դեպքում, լավագույնս համընկնում է փորձի հետ նաև 50–150 Կ տիրություն:



Նկ. 73. $\theta_D(T)$ պարամետրի վարքը վոլֆրամում

Այժմ համառոտակի ծանրանանք Դերայի տեսության կատարելագործման մի տարրերակի հետ, որն օգտագործում է ցանցային տեսության որոշ արդյունքներ:

Ինչպես տեսանք, փոքր հաճախությունների համար ցանցի տատանումների սպեկտրը կարելի է նկարագրել (4.9) արտահայտությամբ և ապահովել ճշգրիտ արդյունքների ստացումը ցածր ջերմաստիճաններում: Բարձր

Չերմաստիճաններում ջերմունակության վարքը, (2.29) բանաձևի համաձայն, որոշվում է ω^2 և ω^4 միջիններով: Ուստի բնական է սպեկտրը կառուցել ω -պես, որ փոքր հաճախությունների համար այն լինի Դերայի տիպի, իսկ ω^2 և ω^4 մեծությունների համար տա արժեքներ, որոնք հետևում են ցանցային տեսությունից: Այս եղանակով հաշված ջերմունակությունը կհամընկնի փորձի հետ ինչպես ցածր, այնպես էլ բարձր ջերմաստիճաններում և կարող է ծառայել որպես միջարկումային բանաձև՝ միջանկյալ ջերմաստիճանների տիրույթում:

Կարելի է, օրինակ, սպեկտրն ընտրել որպես Դերայի և Այնշտայնի սպեկտրների գումար՝

$$g(\omega) = 3N \left[\frac{3\omega^2}{\omega_D^3} + \eta \delta(\omega - \omega_E) \right], \quad (6.8)$$

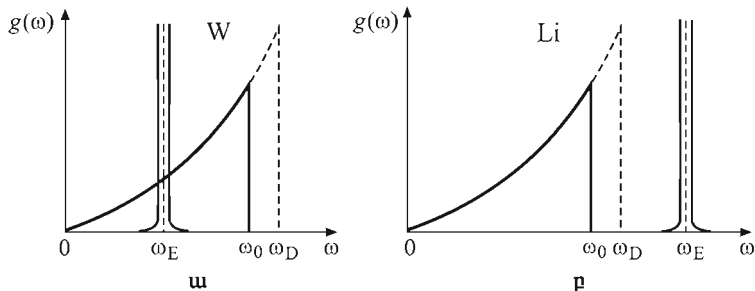
որտեղ η -ն այնշտայնյան հաճախությունների լրիվ թիվն է: Հասկանալի է, որ այժմ սպեկտրի քառակուսային մասը պետք է սահմանափակել ավելի փոքր առաջակային հաճախությամբ, քան առաջակային առաջակային հաճախությունների (մոդերի) լրիվ թիվը լինի $3N$: (6.8) արտահայտությունը բնութագրվում է ω_0 սահմանային հաճախությամբ, ինչպես նաև ω_E և η պարամետրերով, որոնք որոշվում են նորմավորման պայմանից և այն երկու պայմաններից, որոնց համաձայն ω^2 և ω^4 միջինները համընկնում են ցանցային տեսությամբ ստացվող արժեքների հետ: Որոշելով նշված երեք պարամետրերը՝ ջերմունակության արտահայտությունը կարելի է ներկայացնել

$$C_V = 3Nk_B \left[(1-\eta)D\left(\frac{\Theta_0}{T}\right) + \eta E\left(\frac{\Theta_E}{T}\right) \right] \quad (6.9)$$

տեսքով, որտեղ $\Theta_0 = \hbar\omega_0/k_B$, $\Theta_E = \hbar\omega_E/k_B$, իսկ $D(x)$ և $E(y)$ ֆունկցիաները տրվում են համապատասխանաբար (4.22) և (2.25) բանաձևերով:

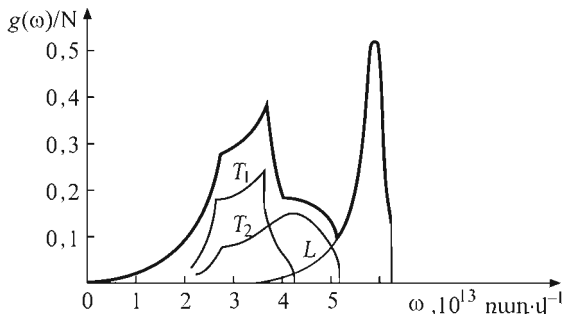
Նկ. 74-ում պատկերված են վոլֆրամի և լիթիումի սպեկտրներն ըստ այս տեսության: Նկարներից ակնհայտ է ստացված սպեկտրների հիմնական գծերով նմանությունը ցանցային տեսությամբ հաշվարկված սպեկտրներին (նկ. 69. ա և 69. բ): Ցանցային տատանումների սպեկտրը հաճախ ստանում են փորձնական ճանապարհով: Փորձնական ուսումնասիրելով օպտիկական,

ունտգենյան ճառագայթումների, ինչպես նաև նեյտրոնների ցրումը ցանցի տատանումների վրա՝ ստանում են ցանցի դիսպերսային հավասարումները տատանումների բոլոր ճյուղերի համար, որոնց միջոցով կառուցվում է ցանցի տատանումների սպեկտրը:



Նկ. 74. ա. Վոլֆրամի և բ. լիթիումի վիճակների խտության ֆունկցիաներն ըստ կատարելագործված տեսության

Նկ. 75-ում պատկերված է նեյտրոնների ցրման փորձերում ստացված տվյալներով կառուցված վիճակների խտության ֆունկցիան այլումինում: Այն երկու լայնական (T_1, T_2) և երկայնական (L) տատանումների վիճակների խտության ֆունկցիաների գումարն է: N -ը տարրական քիչների թիվն է, իսկ $g(\omega)/N$ հարաբերությունը կախված չէ բյուրեղի չափերից: Նկարում հատուկ երևում են այն կետերը, որոնցում տարրեր ճյուղերի վիճակների խտության ֆունկցիաների ածանցյալները տարամիտում են (Վան Հոֆի եզակիություններ, III, 8):



Նկ. 75. Վիճակների խտության ֆունկցիան այլումինում (մուգ գծաված կորը). $g(\omega)/N$ ֆունկցիան չափված է 10^{-13} ռադ $^{-1}$ · Վ միավորով

7. Բյուրեղային ցանցի ջերմային տատանումները: Համան շափանիշ

Բյուրեղային ցանցի ստատիկ մոդելի համաձայն՝ բյուրեղում ատոմները սևոված են տարածական ցանցի հանգույցներում: Սակայն այս մոդելը միայն մոտավոր ճևով է նկարագրում ատոմների տարածական դիրքերը, քանի որ ատոմների զանգվածները, ինչպես նաև նրանց միջև գործող փոխազդեցության ուժերը վերջավոր են: Դասական տեսության շրջանակներում ստատիկ ցանցի մոդելը ճշմարիտ է միայն $T = 0$ Կ-ում, իսկ քվանտային տեսության շրջանակներում այն չի համապատասխանում իրականությանն անգամ $T = 0$ Կ-ում, քանի որ, համաձայն իմպուլսի և կոռույնատի անորոշությունների առնչության, ատոմներն օժտված են զրոյից տարրեր իմպուլսներով:

Ցանցի տատանումներն ի հայտ են գալիս բազմաբնույթ ֆիզիկական երևույթներում, ուստի ծագում է ջերմային հավասարակշռության վիճակում դրանց բնութագրման և գնահատման անհրաժեշտություն:

Ներդաշնակ մոտավորությամբ n -րդ տարրական բջջում k տեսակի ատոմի շեղման α -րդ պրոյեկցիան տրվում է III.6.44 արտահայտությամբ՝

$$u_{n\alpha}^k(t) = \frac{1}{\sqrt{Nm_k}} \sum_{\mathbf{q}_j} e_{j\alpha}(\mathbf{q}) a_j(\mathbf{q}, t) e^{i\mathbf{qn}}:$$

Ջերմային հավասարակշռության վիճակում շեղման $u_n^k(t)$ վեկտորի միջինը՝

$$\langle u_n^k \rangle = 0, \quad (7.1)$$

քանի որ տատանումները հավասարակշռության դիրքի շուրջը կատարվում են բոլոր ուղղություններով միևնույն հավանականությամբ: Այս պայմանը համընկնում է $u_n^k(t)$ շեղման ժամանակային միջինի համար զրված

$$\overline{u_n^k(t)} = 0 \quad (7.2)$$

պայմանի հետ, որի համաձայն՝ ատոմը «գրփում» է տեղում, որը և հիմք է ծառայում ցանցի ստատիկ մոդելի համար: Ընդուների շափը բնութագրելու համար որոշենք միջին քառակուսային շեղումը ջերմային հավասարակշռության վիճակում:

Սահմանենք շեղման քառակուսու միջինը հետևյալ ձևով՝

$$(\mathbf{u}_n^2)_{av} = \frac{1}{M} \sum_{kn} m_k (\mathbf{u}_n^k)^2, \quad (7.3)$$

որտեղ M -ը նմուշի զանգվածն է: Սասնավոր դեպքում, եթե ցանցը կազմված է միատեսակ ատոմներից՝ $k = 1, M = Nm$, (7.3) առնչությունն ընդունում է

$$(\mathbf{u}_n^2)_{av} = \frac{1}{N} \sum_n \mathbf{u}_n^2 \equiv \frac{1}{N} \sum_{n\alpha} u_{n\alpha}^2 \quad (7.4)$$

տեսքը: Հետագա հաշվարկները կկատարենք պարզ ցանցի համար:

Տեղադրենք $\mathbf{u}_{n\alpha}$ վեկտորի արտահայտությունը (7.4) սահմանման մեջ՝

$$\begin{aligned} (\mathbf{u}_n^2)_{av} &= \frac{1}{N} \sum_{\alpha n} \frac{1}{Nm} \sum_{\mathbf{q}\mathbf{q}',jj'} e_{j\alpha}(\mathbf{q}) e_{j'\alpha}^*(\mathbf{q}') a_j(\mathbf{q},t) a_{j'}^*(\mathbf{q}',t) e^{i\mathbf{n}(\mathbf{q}-\mathbf{q}')} = \\ &= \frac{1}{Nm} \sum_{\mathbf{q}\mathbf{q}',jj'} \sum_{\alpha} e_{j\alpha}(\mathbf{q}) e_{j'\alpha}^*(\mathbf{q}') a_j(\mathbf{q},t) a_{j'}^*(\mathbf{q}',t) \frac{1}{N} \sum_n e^{i\mathbf{n}(\mathbf{q}-\mathbf{q}')} : \end{aligned} \quad (7.5)$$

Նկատի ունենալով

$$\sum_n e^{i\mathbf{n}(\mathbf{q}-\mathbf{q}')} = N \delta_{\mathbf{q},\mathbf{q}'+\mathbf{g}} \quad (7.6)$$

առնչությունը (Հավելված 2), որտեղ \mathbf{g} -ն հակադարձ ցանցի կամայական վեկտոր է, ինչպես նաև \mathbf{q}' և $\mathbf{q}' + \mathbf{g}$ վեկտորներով բնութագրվող մոդերի համարժեքությունը և III.5.19 առնչությունը՝ (7.5) արտահայտությունից կստանանք՝

$$\begin{aligned} (\mathbf{u}_n^2)_{av} &= \frac{1}{Nm} \sum_{\mathbf{q}\mathbf{q}',jj'} \sum_{\alpha} \delta_{\mathbf{q},\mathbf{q}'+\mathbf{g}} e_{j\alpha}(\mathbf{q}) e_{j'\alpha}^*(\mathbf{q}') a_j(\mathbf{q},t) a_{j'}^*(\mathbf{q}',t) = \\ &= \frac{1}{Nm} \sum_{\mathbf{q},jj'} \sum_{\alpha} e_{j\alpha}(\mathbf{q}) e_{j'\alpha}^*(\mathbf{q}-\mathbf{g}) a_j(\mathbf{q},t) a_{j'}^*(\mathbf{q}-\mathbf{g},t) = \end{aligned} \quad (7.7)$$

$$= \frac{1}{Nm} \sum_{\mathbf{q},jj'} \sum_{\alpha} e_{j\alpha}(\mathbf{q}) e_{j'\alpha}^*(\mathbf{q}) a_j(\mathbf{q},t) a_{j'}^*(\mathbf{q},t) = \frac{1}{Nm} \sum_{\mathbf{q},j} |a_j(\mathbf{q},t)|^2 :$$

Նշենք, որ հաշվարկները կատարելիս հաշվի է առնվել շեղման վեկտորի իրական լինելը՝ ներկայացնելով $\mathbf{u}_n^2 = \mathbf{u}_n \cdot \mathbf{u}_n^*$: Սակայն դժվար չէ համոզվել, որ նոյն արդյունքը կստացվի նաև $\mathbf{u}_{n\alpha}^k$ -ն քառակուսի բարձրացնելուց և

միաժամանակ բևեռացման վեկտորի ու նորմալ կորդինատի համաչափության հատկությունները (III.6) օգտագործելուց հետո:

(7.7) արտահայտությունը միջինացնելով ըստ ջերմային հավասարակշռության վիճակի՝ կստանանք.

$$\langle (\mathbf{u}_n^2)_{av} \rangle \equiv \langle \mathbf{u}_n^2 \rangle = \frac{1}{Nm} \sum_{\mathbf{q}, j} \langle |a_j(\mathbf{q}, t)|^2 \rangle : \quad (7.8)$$

Որոշենք $\langle |a_j(\mathbf{q}, t)|^2 \rangle$ մեծությունը:

Ինչպես հայտնի է, ցանցի տատանումների առողջության եներգիան ներդաշնակ մոտավորությամբ \mathbf{u}_n շեղումների, (հետևաբար՝ նորմալ կորդինատների) քառակուսային ֆունկցիան է, որը արվում է III.6.3 բանաձևով: Տեղադրելով նրանում շեղման վեկտորի արտահայտությունը և կատարելով որոշ ձևափոխություններ՝ կստանանք.

$$\Phi = \frac{1}{2} \sum_{\mathbf{q}, j} \omega_j^2(\mathbf{q}) |a_j(\mathbf{q}, t)|^2, \quad (7.9)$$

որն իրենից ներկայացնում է $\omega_j(\mathbf{q})$ հաճախություններով $3N$ տատանակների պոտենցիալ էներգիաների գումար:

Միջինացնենք (7.9) արտահայտությունն ըստ ջերմային հավասարակշռության վիճակի: Քանի որ ներդաշնակ տատանակի պոտենցիալ և կինետիկ էներգիաների միջիններն իրար հավասար են, ապա ցանցի տատանողական էներգիայի միջինի համար կստանանք հետևյալ արտահայտությունը՝

$$\langle E \rangle = \langle K \rangle + \langle \Phi \rangle = 2\langle \Phi \rangle = \sum_{\mathbf{q}, j} \omega_j^2(\mathbf{q}) |a_j(\mathbf{q}, t)|^2 : \quad (7.10)$$

Համեմատելով այս արտահայտությունը բյուրեղի ներքին էներգիայի (2.11) բանաձևի հետ՝ կարելի է տեսնել, որ

$$\langle E \rangle \equiv U - U_0 = \sum_{\mathbf{q}, j} \varepsilon(\omega_j(\mathbf{q}), T), \quad (7.11)$$

որտեղ $\varepsilon(\omega_j(\mathbf{q}), T)$ մեծությունը միաշափ ներդաշնակ տատանակի էներգիան է ջերմային հավասարակշռության վիճակում և տրվում է (2.12) բանաձևով: (7.10) և (7.11) բանաձևերից որոնելի մեծության համար կստանանք՝

$$\langle |a_j(\mathbf{q}, t)|^2 \rangle = \frac{\varepsilon(\omega_j(\mathbf{q}), T)}{\omega_j^2(\mathbf{q})} \equiv \frac{\varepsilon_{\mathbf{qj}}}{\omega_j^2(\mathbf{q})}; \quad (7.12)$$

Այսական՝ միջին քառակուսային շեղման (7.8), ինչպես նաև (7.12) արտահայտություններից հետևում է, որ

$$\begin{aligned} \langle \mathbf{u}_n^2 \rangle &= \sum_{\mathbf{q}, j} \frac{\varepsilon_{\mathbf{qj}}}{Nm\omega_j^2(\mathbf{q})} = \frac{1}{Nm} \sum_{\mathbf{q}, j} \frac{\hbar}{\omega_j(\mathbf{q})} \left[\frac{1}{2} + \frac{1}{e^{\hbar\omega_j(\mathbf{q})/k_B T} - 1} \right] = \\ &= \sum_{\mathbf{q}, j} \frac{\hbar}{2Nm\omega_j(\mathbf{q})} \operatorname{cth} \frac{\hbar\omega_j(\mathbf{q})}{2k_B T}. \end{aligned} \quad (7.13)$$

Ակնհայտ է, որ միջին քառակուսային շեղումը կախված չէ հանգույցի դիրքից՝ \mathbf{n} -ից, որը ցանցի տեղափոխական համաշափության հետևանք է: Այն կախված չէ նաև ատոմների (տարրական բջիջների) բվից կամ բյուրեղի ծավալից: Եթզին պնդումն անմիջապես հետևում է $\langle \mathbf{u}^2 \rangle$ -ի տեսքից, եթե (7.13) բանաձևում գումարից անցնենք ինտեգրալի (տես III.7.12 կանոնը):

$$\langle \mathbf{u}^2 \rangle = \frac{\hbar}{2(2\pi)^3 \rho} \sum_j \int_{\Omega_0} \frac{d\mathbf{q}}{\omega_j(\mathbf{q})} \operatorname{cth} \frac{\hbar\omega_j(\mathbf{q})}{2k_B T}, \quad (7.14)$$

որտեղ ρ -ն պինդ մարմնի խտությունն է՝ $\rho = mN/V = M/V$, Ω_0 -ն՝ Բրիլյունի զոնայի ծավալը:

$\langle \mathbf{u}^2 \rangle$ -ը հաշվելու համար անհրաժեշտ է տալ $\omega_j(\mathbf{q})$ դիսպերսային հավասարումն ամեն մի ճյուղի համար, որի տեսքը \mathbf{q} վեկտորի վոփոխանակ ամբողջ տիրույթում հայտնի չէ:

Կոնկրետ քանակական արդյունքներ ստանալու նպատակով օգտվենք Դեբայի մոտավորությունից՝ $\omega_j(\mathbf{q})$ կախումը ներկայացնելով գծային ֆունկցիայի տեսքով (տես (4.7) բանաձևը): (7.13) բանաձևում անցնելով հաճախությամբ ինտեգրման՝

$$\langle \mathbf{u}^2 \rangle = \frac{\hbar}{2Nm} \int \frac{g(\omega)}{\omega} \operatorname{cth} \frac{\hbar\omega}{2k_B T} d\omega \equiv \frac{1}{Nm} \int \frac{g(\omega)}{\omega^2} \varepsilon(\omega, T) d\omega, \quad (7.15)$$

և ինտեգրալում տեղադրելով վիճակների խտության ֆունկցիայի (4.17) արտահայտությունը՝ կստանանք՝

$$\langle \mathbf{u}^2 \rangle = \frac{9\hbar}{2m\omega_D^3} \int_0^{\omega_D} \omega \operatorname{cth} \frac{\hbar\omega}{2k_B T} d\omega = \frac{9\hbar^2 T^2}{2mk_B \theta_D^3} \int_0^{\theta_D/T} t \operatorname{cth} \frac{t}{2} dt : \quad (7.16)$$

Ուստիմնասիրենք (7.16) արտահայտությունը ջերմաստիճանային տարբեր տիրույթներում:

1. Յածր ջերմաստիճաններ՝ $T \ll \theta_D$

Նկատի ունենալով (7.13) բանաձևում օգտագործված

$$\operatorname{cth} \frac{t}{2} = 1 + \frac{2}{e^t - 1} \quad (7.17)$$

առնչությունը՝ (7.16) արտահայտությունից կստանանք.

$$\begin{aligned} \langle \mathbf{u}^2 \rangle &= \frac{9\hbar^2 T^2}{2mk_B \theta_D^3} \int_0^{\theta_D/T} t \left(1 + \frac{2}{e^t - 1} \right) dt = \\ &= \frac{9\hbar^2 T^2}{2mk_B \theta_D^3} \left\{ \frac{1}{2} \left(\frac{\theta_D}{T} \right)^2 + 2 \int_0^{\theta_D/T} \frac{t dt}{e^t - 1} \right\}: \end{aligned} \quad (7.18)$$

Ինտեգրալում իիմնական ներդրումը տալիս է $t \ll 1$ տիրույթը, ուստի ինտեգրալի վերին սահմանը կարելի է փոխարինել ∞ -ով: Նկատի ունենալով, որ

$$\int_0^{\infty} \frac{tdt}{e^t - 1} = \frac{\pi^2}{6}, \quad (7.19)$$

միջին քառակուսային շեղման համար կստանանք հետևյալ արտահայտությունը՝

$$\langle \mathbf{u}^2 \rangle = \frac{9\hbar^2}{4mk_B \theta_D} + \frac{3\pi^2 \hbar^2 T^2}{2mk_B \theta_D^3}: \quad (7.20)$$

Եթե $T \rightarrow 0$, (7.20) բանաձևում առաջին գումարելին մնում է վերջավոր, նշանակում է՝ անզամ քացարձակ զրո ջերմաստիճանում ատոմները տատանվում են իրենց հավասարակշռության դիրքերի շուրջը (զրոյական տատանումներ): Զրոյական տատանումներով պայմանավորված միջին քառակուսային շեղումը՝

$$\langle \mathbf{u}^2 \rangle_0 = \frac{9\hbar^2}{4mk_B\theta_D} = \frac{9}{4} \frac{\hbar}{m\omega_D} = \frac{3k_B^2\theta_D^2}{8\pi^2\rho\hbar v^3} : \quad (7.21)$$

Եթե (7.21) բանաձևում կատարենք $\hbar \rightarrow 0$ անցումը, ապա $\langle \mathbf{u}^2 \rangle \rightarrow 0$, որն էլ ապացուցում է զրոյական տատանումների քվանտային բնույթը:

(7.21) բանաձևի համաձայն՝ միջին քառակուսային շեղման մեծությունը հակադարձ համեմատական է ասումի զանգվածին և էական է հատկապես թերև տարրերի բյուրեղներում: Աղյուսակ 19-ում տրված են (7.21) բանաձևով հաշվարկված $\tilde{u} = \sqrt{\langle \mathbf{u}^2 \rangle}$ միջին շեղման, մոտակա հարևանների միջև a հեռավորության և \tilde{u}/a հարաբերական շեղման արժեքները որոշ բյուրեղների համար: Ներկայացված տվյալներից պարզ երևում է՝ \tilde{u} մեծության կախումն ասումի զանգվածից: Ալմաստի համար, չնայած ածխածնի ասումի համեմատաբար փոքր զանգվածին, \tilde{u} միջին շեղման փոքրությունը պայմանավորված է նրա արտակարգ բարձր Դերայի ջերմաստիճանով (մեծ ω_D -ով, որը հետևանք է ալմաստի կարծրության):

Աղյուսակ 19.

Աղողությունների զրոյական տատանումների հարաբերական շեղումները

Բյուրեղ	$m, 10^{-24}$ q	$\theta_D, \text{Կ}$	$\tilde{u}, \text{Å}$	$a, \text{Å}$	\tilde{u}/a
Ne	33,51	63	0,293	3,155	0,093
Ar	66,33	85	0,179	3,756	0,048
Kr	139,1	63	0,144	3,993	0,036
Xe	217,9	55	0,123	4,313	0,028
C (ալմաստ)	19,92	~2000	0,067	1,540	0,019
Si	46,63	570	0,082	2,350	0,023
Ge	120,53	300	0,071	2,450	0,029
Na	38,17	160	0,172	3,659	0,047
K	64,92	130	0,146	4,525	0,032
Rb	141,91	70	0,134	4,837	0,028
Cu	105,50	310	0,074	2,556	0,029
Au	327,0	170	0,057	2,884	0,020
Al	44,80	400	0,101	2,863	0,035

2. Քարձր ջերմաստիճաններ՝ $T \geq \theta_D$:

(7.16) բանաձևում ինտեգրալի վերին սահմանը՝ $\theta_D/T \leq 1$, ուստի ենթադրությունը վերածվում չարքի՝

$$t \operatorname{ch} t \frac{t}{2} \approx t \left[\frac{2}{t} + \frac{1}{3} \cdot \frac{t}{2} - \frac{1}{45} \left(\frac{t}{2} \right)^3 + \dots \right] \approx 2 \left(1 + \frac{t^2}{12} - \frac{t^4}{720} + \dots \right)$$

և կատարելով անդամ առ անդամ ինտեգրում՝ կստանանք՝

$$\langle \mathbf{u}^2 \rangle \approx \frac{9\hbar^2 T}{mk_B \theta_D^2} \left[1 + \frac{1}{36} \left(\frac{\theta_D}{T} \right)^2 + \dots \right] = \frac{9k_B T}{m\omega_D^2} \left[1 + \frac{1}{36} \left(\frac{\theta_D}{T} \right)^2 + \dots \right], \quad (7.22)$$

որը զուտ դասական արտահայտություն է (առանց երկրորդ փոքր գումարելիի): Այն անմիջապես հետևում է (7.15) բանաձևից, եթե վերջինի մեջ տեղադրենք միաչափ տատանակի էներգիայի $\epsilon(\omega, T) = k_B T$ դասական արտահայտությունը:

Համեմատելով միջին քառակուսային շեղումները 0 Կ-ում և քարձր ջերմաստիճաններում՝ (7.21) և (7.22) բանաձևերից կստանանք՝

$$\frac{\langle \mathbf{u}^2 \rangle_0}{\langle \mathbf{u}^2 \rangle} = \frac{\theta_D}{4T} \left[1 - \frac{1}{36} \left(\frac{\theta_D}{T} \right)^2 + \dots \right], \quad (7.23)$$

այսինքն՝ $T \approx \theta_D$ ջերմաստիճանում միջին քառակուսային շեղումը մեծացել է մոտավորապես 4 անգամ:

(7.22) արտահայտության օգնությամբ կարելի է ստանալ պինդ մարմնի հալման չափանիշը (Լինդեման), որը կապ է հաստատում պինդ մարմնի հալման (T_m) և Դեքայի (θ_D) ջերմաստիճանների միջև:

Ենթադրենք՝ T_m հալման ջերմաստիճանում ասովմների միջին շեղումը միջատումային a հեռավորության x մասն է՝

$$\frac{\tilde{u}}{a} \equiv \frac{\sqrt{\langle \mathbf{u}^2 \rangle}}{a} = x : \quad (7.24)$$

(7.22) և (7.24) արտահայտություններից հետևում է որոնելի կապը՝

$$\theta_D = \left(\frac{9\hbar^2}{mk_B a^2 x^2} \right)^{1/2} T_m^{1/2} : \quad (7.25)$$

Գնահատումների համաձայն՝ պինդ մարմինների մեծամասնության համար x մեծության արժեքներն ընկած են $0,2 - 0,25$ տիրույթում:

§8. Դերայ-Ռուզերի գործոն

Բյուրեղային ցանցի ջերմային տատանումներն ի հայտ են զալիս նաև պինդ մարմնի հետ տարբեր տեսակի ճառագայթումների (օպտիկական, ռենտգենյան, էլեկտրոնային, նեյտրոնային) հետ փոխազդեցության ժամանակ:

Ուսումնասիրենը ռենտգենյան ճառագայթման ցրումը պարզ ցանցի վրա: Ստատիկ ցանցի վրա դիֆրակցիայի դեպքում ռենտգենյան ճառագայթման ցրումն առաձգական է, քանի որ ցրման հետևանքով փոփոխվում է միայն ռենտգենյան ալիքի $p = \hbar k$ իմպուլսի ուղղությունը, բայց ոչ մեծությունը: Ռենտգենյան բրեզյան մաքսիմումներն ստացվում են այն դեպքում, եթե ռենտգենյան ալիքի k ալիքային վեկտորի փոփոխությունը հավասար է հակադարձ ցանցի որևէ վեկտորի:

$$\mathbf{K} = \mathbf{k}' - \mathbf{k} = \mathbf{g}, \quad |\mathbf{k}'| = |\mathbf{k}|, \quad (8.1)$$

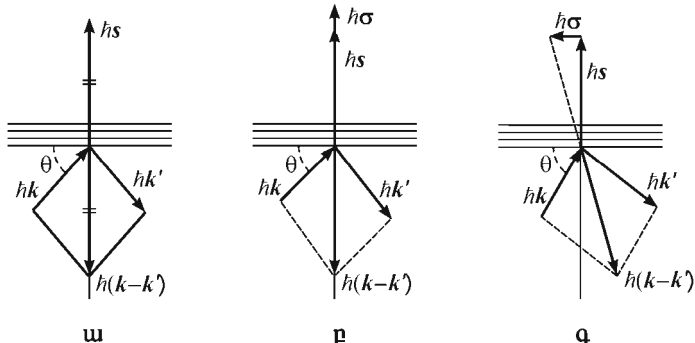
իսկ ցանցի կառուցվածքային գործոնը՝

$$S_{\mathbf{K}} = \sum_l e^{i l \mathbf{K}} = N \delta_{\mathbf{K}, \mathbf{g}} : \quad (8.2)$$

Առաձգական ցրման հետ մեկտեղ ռենտգենյան ճառագայթումը ցանցում ցրվում է նաև ոչ առաձգական ձևով՝ գրգռելով կամ մարելով որոշակի ցանցային տատանումներ՝ դրանով իսկ փոփոխելով ցանցի ներքին վիճակը: Այսպիսի ցրումներն ընդունված է անվանել ջերմային կամ ոփուզ:

Ռենտգենյան քվանտի էներգիան, որպես կանոն, մի քանի կէՎ-ի կարգի է, իսկ ցանցում տարածվող ալիքների առավելագույն էներգիան՝ $\hbar \omega_D = k_B \theta_D \sim 0,03$ էՎ է, ուստի փոխազդեցության հետևանքով ռենտգենյան ալիքի էներգիայի փոփոխությունը կարելի է հաշվի չառնել: Սակայն, օրինակ, 3 կէՎ էներգիայով ռենտգենյան քվանտի իմպուլսը՝ $\hbar \omega/c \sim (3000/3 \cdot 10^{10})$ էՎ·վ/սմ = 10^{-7} էՎ·վ/սմ, նոյն կարգի է, ինչ միջավայրում տարածվող ալիքի իմպուլսը՝ $p \approx \hbar \omega_D/v \approx k_B \theta_D/v \sim (0,03/3 \cdot 10^5)$ էՎ·վ/սմ = $= 10^{-7}$ էՎ·վ/սմ: Նշանակում է՝ ջերմային ցրման հետևանքով ռենտգենյան քվանտի իմպուլսը կարող է զգալիորեն փոփոխվել: Նկ. 76-ում պատկերված են ռենտգենյան ճառագայթների բրեզյան (ա) և ջերմային ցրումները լայնական (բ) ու երկայնական (գ) ալիքների վրա, $\hbar s$ -ը՝ ցանցի, $\hbar s$ -ն տատանումների իմպուլսն է, $\hbar k$ և $\hbar k'$ -ը՝ ռենտգենյան քվանտինը՝ ցրումից առաջ և հե-

տու: Բրեգի Յ անկյան տակ ընկնող ռենտգենյան քվանտների որոշ մասը միշտ ցրվում է ջերմային տատանումների վրա, որի հետևանքով նվազում է անդրադարձած ռենտգենյան փնջի ուժգնությունը: Որոշենք այդ նվազումը բնութագրող մեծությունը:



Նկ. 76. Ռենտգենյան քվանտի ա. առածքական, թ. գ. ոչ առածքական ցրումները

Ինչպես հայտնի է, ցրված փնջի ուժգնությունը համեմատական է ցանցի կառուցվածքային գործոնի մոդուլի քառակուտուն: Որևէ \mathbf{n} հանգույցի ատոմի դիրքը t պահին տրվում է

$$\mathbf{R}_n(t) = \mathbf{n} + \mathbf{u}_n(t) \quad (8.3)$$

Վեկտորով, ուստի դիմամիկ ցանցի կառուցվածքային գործոնի համար կառելի է գրել՝

$$|S_{\mathbf{K}}|^2 = \left| \sum_{\mathbf{n}} e^{i\mathbf{K}\mathbf{R}_n(t)} \right|^2 = \sum_{\mathbf{n}, \mathbf{n}'} e^{i\mathbf{K}(\mathbf{n}-\mathbf{n}')} \cdot e^{i\mathbf{K}(\mathbf{u}_n - \mathbf{u}_{n'})} : \quad (8.4)$$

Որոշենք այս արտահայտության միջինը ջերմային հավասարակշռության վիճակում:

Ինչպես գիտենք, ջերմային հավասարակշռության վիճակում որևէ դիմամիկական մեծության միջին արժեքը որոշելու համար անհրաժեշտ է կատարել վիճակագրական միջինացում հավասարակշռական բաշխման ֆունկցիայի միջոցով: Դիտարկվող խնդրում $\exp[i\mathbf{K}(\mathbf{u}_n - \mathbf{u}_{n'})]$ միջինացվող մեծությունը կախված է ատոմների շեղման վեկտորներից, ուստի վիճակագրական միջինացմանը կմասնակցի բաշխման ֆունկցիայի՝ միայն ատոմների

շեղումներից կախված մասը: Աերջինս որոշվում է ցանցի մասմիկների փոխազդեցության պոտենցիալ էներգիայով, որը ներդաշնակ մոտավորության շրջանակներում տրվում է (7.9) արտահայտությամբ: Եթե այդ արտահայտության մեջ \mathbf{u}_n շեղումներից անցնենք նորմալ կոորդինատների, ապա բաշխման ֆունկցիան կվերածվի $a_j(\mathbf{q}, t)$ փոփոխականներից կախված գառայան ֆունկցիաների արտադրյալի:

Միջինացնենք $\exp(i\kappa s)$ ֆունկցիան ըստ s փոփոխականից կախված

$$f(s) = A \exp\left(-\frac{s^2}{2\langle s^2 \rangle}\right) \equiv A \exp(-as^2) \quad (8.5)$$

գառայան ֆունկցիայի (տես Հավելված 2) (κ գործակիցն ապահովում է և մեծության չափազուրկ լինելը, A -ն նորմավորման հաստատունն է):

$$\langle \exp(i\kappa s) \rangle = \int_{-\infty}^{\infty} e^{i\kappa s} e^{-as^2} ds / \int_{-\infty}^{\infty} e^{-as^2} ds = e^{-\frac{\kappa^2}{4a}} \equiv e^{-\frac{1}{2}\kappa^2 \langle s^2 \rangle}:$$

Ըստիանուր դեպքում, եթե κ արտադրյալի փոխարեն էքսպոնենտի արգումենտում զրված է κs սկալյար արտադրյալը, ապա տեղի ունի

$$\langle \exp(\kappa s) \rangle = \exp\left(-\frac{1}{2}\kappa^2 \langle s^2 \rangle\right) \quad (8.6)$$

առնչությունը: (7.4) և (7.6) արտահայտությունների համաձայն՝

$$\begin{aligned} \langle |\mathbf{S}_{\mathbf{K}}|^2 \rangle &= \sum_{\mathbf{n}, \mathbf{n}'} \exp[i\mathbf{K}(\mathbf{n} - \mathbf{n}')]\langle \exp[i\mathbf{K}(\mathbf{u}_n - \mathbf{u}_{n'})] \rangle = \\ &= \sum_{\mathbf{n}, \mathbf{n}'} \exp[i\mathbf{K}(\mathbf{n} - \mathbf{n}')]\exp\left\{-\frac{1}{2}\langle [\mathbf{K}(\mathbf{u}_n - \mathbf{u}_{n'})]^2 \rangle\right\}: \end{aligned} \quad (8.7)$$

Այժմ ձևափոխենք (8.7) արտահայտության երկրորդ արտադրիչի ցուցչը՝ նրանում \mathbf{u}_n շեղումներից անցնելով a_j նորմալ կոորդինատներին՝

$$\begin{aligned} \langle [\mathbf{K}(\mathbf{u}_n - \mathbf{u}_{n'})]^2 \rangle &= \frac{1}{Nm} \sum_{\mathbf{qq}', jj'} [\mathbf{K}e_j(\mathbf{q})][\mathbf{K}e_{j'}(\mathbf{q}')]\langle a_j(\mathbf{q}, t)a_{j'}^*(\mathbf{q}', t) \rangle \times \\ &\times (e^{i\mathbf{qn}} - e^{i\mathbf{qn}'})(e^{-i\mathbf{q}'\mathbf{n}} - e^{-i\mathbf{q}'\mathbf{n}}): \end{aligned} \quad (8.8)$$

Երեւ ($j\mathbf{q}$) հավաքածուն տարրերվում է ($j'\mathbf{q}'$) հավաքածուից, ապա $a_j(\mathbf{q}, t)$ և $a_j^*(\mathbf{q}', t)$ մեծություններն անկախ են, ուստի, (8.2) բանաձևի համաձայն,

$$\langle a_j(\mathbf{q}, t)a_{j'}(\mathbf{q}', t) \rangle = \begin{cases} \langle a_j(\mathbf{q}, t)a_{j'}^*(\mathbf{q}', t) \rangle = 0, & (j\mathbf{q}) \neq (j'\mathbf{q}') \\ \langle |a_j(\mathbf{q}, t)|^2 \rangle, & (j\mathbf{q}) = (j'\mathbf{q}'), \end{cases}$$

այսինքն՝

$$\langle a_j(\mathbf{q}, t)a_{j'}(\mathbf{q}', t) \rangle = \delta_{jj'}\delta_{\mathbf{q}\mathbf{q}'}\langle |a_j(\mathbf{q}, t)|^2 \rangle : \quad (8.9)$$

(8.8) և (8.9) արտահայտությունների համաձայն՝

$$\langle [\mathbf{K}(\mathbf{u}_n - \mathbf{u}_{n'})]^2 \rangle = \frac{2}{Nm} \sum_{\mathbf{q}, j} |\mathbf{Ke}(\mathbf{q})|^2 \langle |a_j(\mathbf{q}, t)|^2 \rangle [1 - \cos \mathbf{q}(\mathbf{n} - \mathbf{n}')] : \quad (8.10)$$

Ի վերջո, դիմամիկ ցանցի ցրած փնջի ուժգնության համար ստացվում է հետևյալ արտահայտությունը՝

$$I_d = I_s \exp(-2W) \frac{1}{N^2} \times \times \sum_{\mathbf{n}, \mathbf{n}'} \exp \left\{ \mathbf{K}(\mathbf{n} - \mathbf{n}') + \frac{1}{Nm} \sum_{\mathbf{q}, j} |\mathbf{Ke}_j(\mathbf{q})|^2 \frac{\varepsilon_{\mathbf{q}, j}}{\omega_j^2} \cos \mathbf{q}(\mathbf{n} - \mathbf{n}') \right\}, \quad (8.11)$$

որտեղ

$$W \equiv W(\mathbf{K}) = \frac{1}{2Nm} \sum_{\mathbf{q}, j} |\mathbf{Ke}_j(\mathbf{q})|^2 \frac{\varepsilon_{\mathbf{q}, j}}{\omega_j^2(\mathbf{q})}, \quad (8.12)$$

իսկ I_s -ը ստատիկ ցանցի ցրած փնջի ուժգնությունն է: $\exp(-2W)$ արտադրիչը նկարագրում է ատոմների ջերմային տատանումների հետևանքով ցրված փնջի ուժգնության նվազումը և կրչվում է Դերայ-Ուլերի գործուն:

Ցրված փնջի ուժգնության նվազման երևույթը որակապես կարելի է բացատրել հետևյալ կերպ: Ինչպես գիտենք (I, 10), ատոմի վերջավոր չափերով պայմանավորված ինտերֆերենցային երևույթները վորքրացնում են ատոմի՝ ունետգենյան ճառագայթներ ցրելու ունակությունը: Ջերմային տատանումների հետևանքով ատոմը «զրոզվում» է ավելի մեծ տիրույթով, քան իր սեփական ծավալն է, այսինքն՝ տեղի է ունենում ատոմի ծավալի «արդյունարար»

աճ, որը համգեցնում է ատոմի ցրող ունակության հետագա փոքրացման և ցրված փնջի ուժգնության նվազման:

Դեբայ-Ուլեկի W գործոննի (8.12) արտահայտությունը կարելի է զգալիորեն պարզեցնել խորանարդային բյուլեղների դեպքում, երբ յուրաքանչյուր քենուացման վեկտորի համար միջին հաշվով

$$|\mathbf{K}e_j(\mathbf{q})|^2 = \frac{1}{3} K^2 : \quad (8.13)$$

Նկատի ունենալով (8.13) բանաձևը՝ կստանանք.

$$2W = \frac{K^2}{3Nm} \sum_{\mathbf{q}, j} \frac{\epsilon_{\mathbf{qj}}}{\omega_j^2(\mathbf{q})} = \frac{K^2}{3} \langle \mathbf{u}^2 \rangle = K^2 \langle u_\alpha^2 \rangle, \quad \alpha = x, y, z, \quad (8.14)$$

որտեղ օգտվել ենք շեղման պրոյեկցիաների քառակուսային միջինների հավասարությունից՝

$$\langle u_x^2 \rangle = \langle u_y^2 \rangle = \langle u_z^2 \rangle = \frac{1}{3} \langle \mathbf{u}^2 \rangle : \quad (8.15)$$

(8.14) և (7.13) բանաձևերի համաձայն՝ ջերմաստիճանի քարձրացմանը զուգընթաց դիֆրակտային գծի ուժգնությունը նվազում է, ընդ որում՝ այդ նվազումը հատկապես զգալի է մեծ ալիքային վեկտորներով անդրադարձումների համար:

Նկատի ունենալով միջին քառակուսային շեղումների փոքրությունը՝ (8.11) արտահայտության երկրորդ էքսպոնենտը վերածենք շարքի՝

$$I_d = e^{-2W} (I_0 + I_1 + \dots), \quad (8.16)$$

որտեղ կատարված են հետևյալ նշանակումները՝

$$I_0 = \frac{I_s}{N^2} \sum_{\mathbf{n}, \mathbf{n}'} \exp[i\mathbf{K}(\mathbf{n} - \mathbf{n}')], \quad (8.17)$$

$$I_1 = \frac{I_s}{mN^3} \sum_{\mathbf{n}, \mathbf{n}', \mathbf{q}, j} \exp[i\mathbf{K}(\mathbf{n} - \mathbf{n}')] |\mathbf{K}e_j(\mathbf{q})|^2 \frac{\epsilon_{\mathbf{qj}}}{\omega_j^2(\mathbf{q})} \cos \mathbf{q}(\mathbf{n} - \mathbf{n}'): \quad (8.18)$$

Եթե օգտվենք (8.2) արտահայտությունից, ապա (8.17) առնչությունից կստանանք՝

$$I_0 = I_s \delta_{\mathbf{K}, \mathbf{g}}, \quad (8.19)$$

որտեղ \mathbf{g} -ն հակադարձ ցանցի կամայական վեկտոր է: (8.19) բանաձևի համաձայն՝ ցրումը տեղի է ունենաւ միմիայն Բրեզի պայմանին՝ $\mathbf{K} = \mathbf{g}$ հավասարմանը բավարարող ուղղությամբ (առածգական ցրում):

Նկատի ունենալով (8.18) արտահայտության զույգությունն ըստ \mathbf{q} -ի, ինչպես նաև (8.2) պայմանը՝ որոշ ձևափոխություններից հետո I_1 -ի համար կստանանք՝

$$I_1 = \frac{I_s}{mN} \sum_j |\mathbf{Ke}_j(\mathbf{q})| \frac{\varepsilon_{qj}}{\omega_j^2(\mathbf{q})}, \quad \mathbf{K} + \mathbf{q} = \mathbf{g}, \quad (8.20)$$

որը ոչ առածգական ցրման ուժգնությունն է և, ի տարրերություն առածգական ցրման, զրոյից տարրեր է հակադարձ տարածության բոլոր կետերում: Այն բաշխված է անհավասարաչափ, քանի որ եթե $q \rightarrow 0$ կամ $\mathbf{q} \rightarrow \mathbf{g}$, $\omega_j(\mathbf{q}) \rightarrow 0$ ճայնային ճյուղերի համար, և ոչ առածգական (դիֆուզ) ցրման ուժգնությունը կտրուկ աճում է: Ընդհակառակը, օպտիկական ճյուղերի ներդրումը դիֆուզ ցրման մեջ չունի նման մաքսիմումներ և հակադարձ տարածության մեջ բաշխված է ավելի հավասարաչափ:

Փորձում չափելով I_1 մեծությունը՝ (8.20) արտահայտության միջոցով կարելի է գնահատել $\omega_j(\mathbf{q})$ հաճախությունը, որի \mathbf{q} ալիքային վեկտորը որոշվում է ցրման անկյան միջոցով, և, հետևաբար, որոշել դիսպերսային հավասարման ճյուղերը:

§9. Տատանումների աններդաշնակությամբ պայմանավորված երևույթներ: Մի-Գրյունայզենի հավասարումը

Քյուրեղական ցանցի դինամիկան նկարագրող ներդաշնակ մոտավորական հիմքում ընկած է ցանցի հանգույցների՝ որպես հավասարակշռության դիրքերի շուրջը տատանվող ատոմների առավելագույն շեղման փոքրությունը միջատումական հեռավորությունից: Ամպամ հալման ջերմաստիճանում $\sqrt{\langle u^2 \rangle}/a$ հարաբերությունը չի գերազանցում 0,25 արժեքը, ուստի եթե ջերմաստիճանը զգալի ցածր է պիմանի մարմնի հալման ջերմաստիճանից, ապա ներդաշնակ մոտավորությունը մեծ ճշտությամբ բացատրում է փորձի

արդյունքները (բացառությամբ պինդ հելիումի): Նշված պայմաններում աղոտենցիալ էներգիայի վերլուծության մեջ շեղումների խորանարդին և ավելի բարձր կարգի աստիճաններին համեմատական անդամները կարող են միայն ոչ էական ճշգրտումներ մտցնել հաշվարկներում: Սակայն կան բազմաթիվ ֆիզիկական երևույթներ, ինչպես հավասարակշռական, այնպես էլ անհավասարակշռական, որոնք սկզբունքորեն չեն կարող բացատրվել ներդաշնակ մոտավորության շրջանակներում, քանի որ դրանք պայմանավորված են ատոմների փոխազդեցության պոտենցիալ էներգիայի աններդաշնակ՝ խորանարդային և ավելի բարձր կարգի անդամներով: Դրանց թվին են պատկանում այնպիսի հավասարակշռական երևույթներ, ինչպիսիք են ջերմային ընդարձակումը, տարրեր ջերմունակությանների ($C_P \neq C_V$) գոյությունը, բարձր ջերմաստիճաններում ջերմունակությամ՝ ջերմաստիճանից կախված գծային աճը (ջերմումը Դյուլոնգ-Պոտիի օրենքից), բյուրեղի առածգական հաստատունների ջերմաստիճանային կախումը և այլն:

Աններդաշնակությամբ պայմանավորված անհավասարակշռական երևույթներից առաջին հերթին անհրաժեշտ է նշել ցանցային ջերմահաղորդականության վերջավորության փաստը:

Ուսումնասիրենք ցանցային տատանումների աններդաշնակությամբ պայմանավորված որոշ հավասարակշռական երևույթներ:

Ըստիանուր դեպքում ցանցի պոտենցիալ էներգիայի աններդաշնակ մասը կարելի է ներկայացնել հետևյալ տեսքով՝

$$\Phi_a = \sum_{n=3}^{\infty} \Phi_n = \sum_{n=3}^{\infty} \frac{1}{n!} \sum_{\substack{k_1, \dots, k_n \\ \mathbf{l}_1, \dots, \mathbf{l}_n \\ \lambda_1, \dots, \lambda_n}} \Phi_{\lambda_1, \dots, \lambda_n}^{(n)} \binom{k_1, \dots, k_n}{\mathbf{l}_1, \dots, \mathbf{l}_n} u_{\lambda_1}^{k_1}(\mathbf{l}_1) \cdots u_{\lambda_n}^{k_n}(\mathbf{l}_n), \quad (9.1)$$

որտեղ

$$\Phi_{\lambda_1, \dots, \lambda_n}^{(n)} \binom{k_1, \dots, k_n}{\mathbf{l}_1, \dots, \mathbf{l}_n} \equiv \left(\frac{\partial^n \Phi}{\partial u_{\lambda_1}^{k_1}(\mathbf{l}_1) \partial u_{\lambda_2}^{k_2}(\mathbf{l}_2) \cdots \partial u_{\lambda_n}^{k_n}(\mathbf{l}_n)} \right)_0 \quad (9.2)$$

մեծությունները պոտենցիալ էներգիայի ածանցյաներն են հավասարակշռության դիրքերում («ուժային հաստատուններ»):

Մասնավորապես, պարզ ցանցի դեպքում ($k=1$)

$$\Phi_3 = \frac{1}{3!} \sum_{\substack{\mathbf{l}_1, \mathbf{l}_2, \mathbf{l}_3 \\ \lambda_1, \lambda_2, \lambda_3}} \Phi_{\lambda_1, \lambda_2, \lambda_3}^{(3)}(\mathbf{l}_1, \mathbf{l}_2, \mathbf{l}_3) u_{\lambda_1}(\mathbf{l}_1) u_{\lambda_2}(\mathbf{l}_2) u_{\lambda_3}(\mathbf{l}_3), \quad (9.3)$$

$$\Phi_4 = \frac{1}{4!} \sum_{\substack{\mathbf{l}_1, \dots, \mathbf{l}_4 \\ \lambda_1, \dots, \lambda_4}} \Phi_{\lambda_1, \dots, \lambda_4}^{(4)}(\mathbf{l}_1, \dots, \mathbf{l}_4) u_{\lambda_1}(\mathbf{l}_1) u_{\lambda_2}(\mathbf{l}_2) u_{\lambda_3}(\mathbf{l}_3) u_{\lambda_4}(\mathbf{l}_4); \quad (9.4)$$

Սովորաբար, ենթերկ շեղումների փոքրության մասին ենթադրությունից, (9.1) վերլուծության մեջ պահպում է միայն Φ_3 խորանարդային անդամը, սակայն պետք է նկատի ունենալ, որ այդպիսի մոտեցումը նարենատիկորեն հիմնավորված չէ: Բանն այն է, որ միայն խորանարդային անդամով համիլտոնիան անկայուն է, այսինքն՝ համապատասխան ձևով ընտրելով \mathbf{u} -ն՝ այն կարելի է դարձնել կամայական չափով մեծ և բացասական: Ասվածից հետևում է, որ Φ_3 անենրդաշնակ անդամով համիլտոնիանը չունի հիմնական վիճակ, ուստի խնդրի սկզբնական մարենատիկական ճշգրտությունն ապահովելու համար անհրաժեշտ է վերլուծության նաև չորրորդ՝ Φ_4 անդամի հաշվառումը: Որոշ դեպքերում Φ_4 անդամի հաշվառման անհրաժեշտությունը բխում է նաև պահպանման օրենքներից:

Հետագա հաշվարկներում կարևոր դեր է խաղում պինդ մարմնի վիճակի հավասարումը, որը տրվում է

$$P = - \left(\frac{\partial F}{\partial V} \right)_T \quad (9.5)$$

Չերմադինամիկական առնչությամբ, որտեղ $F \equiv F(T, V, N)$ ֆունկցիան համակարգի ազատ էներգիան է:

Պինդ մարմնի ազատ էներգիայի արտահայտությունը հեշտ է ստանալ անմիջապես՝ օգտվելով վիճակագրական ֆիզիկայի հիմնական բանաձևից, որը կապ է հաստատում համակարգի ազատ էներգիայի և վիճակագրական գումարի միջև՝

$$\begin{aligned} F(T, N, V) &= -k_B T \ln Z(T, N, V) = \\ &= U_0 + k_B T \sum_{\mathbf{q}, j} \ln \left[1 - \exp \left(-\frac{\hbar \omega_j(\mathbf{q})}{k_B T} \right) \right], \end{aligned} \quad (9.6)$$

որտեղ U_0 էներգիան կախված չէ ջերմաստիճանից և տրվում է (2.7) առնչությամբ:

(9.6) և (9.5) բանաձևերից հետևում է, որ

$$P = - \left(\frac{\partial U_0}{\partial V} \right)_T + \sum_{\mathbf{q}, j} \left[- \frac{\partial(\hbar\omega_j(\mathbf{q}))}{\partial V} \right] \left[\exp \left(\frac{\hbar\omega_j(\mathbf{q})}{k_B T} \right) - 1 \right]^{-1} : \quad (9.7)$$

Այս արտահայտության առաջին անդամը պայմանավորված է հավասարակշռության դիբերում ատոմների փոխազդեցությամբ և գրոյական տատանումներով, իսկ երկրորդ անդամով որոշվում է ճնշման ջերմաստիճանային կախումը, որը հնարավոր է միայն հաճախության՝ ծավալից կախման շնորհիվ:

Դժվար չէ համոզվել, որ ներդաշնակ մոտավորության շրջանակներում հաճախությունը կախված չէ մարմնի ծավալից, ուստի և ճնշումը կախված չէ ջերմաստիճանից: Իրոք, ներդաշնակ տատանումների հաճախությունները որոշվում են բյուրեղի դիմամիկական մատրիցի տարրերով, որոնք, իրենց հետքին, արտահայտվում են պոտենցիալ էներգիայի երկրորդ կարգի ածանցյալների՝ հավասարակշռության դիբերում ունեցած արժեքներով (տես III.5.12, III.5.13) և կախված չեն ատոմների դիբերից, հետևաբար և համակարգի ծավալից:

Այժմ հաշվի առնենք պոտենցիալ էներգիայի աններդաշնակությունը՝ պահելով Φ_3 և Φ_4 անդամները, միաժամանակ պարզության համար դիտարկելով միաշափ ցանցի մոդելը՝

$$\begin{aligned} \Phi = \Phi_0 + \frac{1}{2!} \sum_{i,j} \left(\frac{\partial^2 \Phi}{\partial u_i \partial u_j} \right)_0 u_i u_j + \frac{1}{3!} \sum_{i,j,k} \left(\frac{\partial^3 \Phi}{\partial u_i \partial u_j \partial u_k} \right)_0 u_i u_j u_k + \\ + \frac{1}{4!} \sum_{i,j,k,l} \left(\frac{\partial^4 \Phi}{\partial u_i \partial u_j \partial u_k \partial u_l} \right)_0 u_i u_j u_k u_l : \end{aligned} \quad (9.8)$$

II կարգի ածանցյալների համար (9.8) արտահայտությունից կստանանք՝

$$\begin{aligned} \frac{\partial^2 \Phi}{\partial u_i \partial u_j} = & \left(\frac{\partial^2 \Phi}{\partial u_i \partial u_j} \right)_0 + \sum_k \left(\frac{\partial^3 \Phi}{\partial u_i \partial u_j \partial u_k} \right)_0 u_k + \\ & + \sum_{k,l} \left(\frac{\partial^4 \Phi}{\partial u_i \partial u_j \partial u_k \partial u_l} \right)_0 u_k u_l, \end{aligned} \quad (9.9)$$

որի համաձայն՝ պոտենցիալ էներգիայի աներդաշնակության հաշվառումը համարժեք է՝ $(\partial^2 \Phi / \partial u_i \partial u_j)_0$ հաստատուններն ատոմների և, շեղումներից և, դրանով իսկ, միաչափ շղթայի երկարությունից կախված $\partial^2 \Phi / \partial u_i \partial u_j$ ֆունկցիաներով փոխարինելուն: Այսպիսով՝ կարելի է պահպանել ներդաշնակ մոտավորության պարզությունը և, մյուս կողմից, հաշվի առնել աներդաշնակության առկայությունը՝ ենթադրելով, որ ուժային «հաստատունները» կախված են ցանցի երկարությունից (եռաչափ ցանցում՝ ծավալից): Նշված փոխարինմամբ ուժային հաստատունների միջոցով արտահայտվող $\omega_j(\mathbf{q})$ հաճախությունները կախված կինետ համակարգի ծավալից: Այս մոտավորությունը հայտնի է որպես քվազիներդաշնակ մոտավորություն:

Նորմալ մոդերի հաճախությունների կախումը ծավալից կարելի է բացատրել հետևյալ դասողություններով: III.6.15 բնութագրական հավասարման համաձայն՝ $\omega_j(\mathbf{q})$ հաճախությունները որոշվում են ուժային հաստատուններով: Միջատոմային հեռավորությունների փոքրացման հետ փոխագնեցության էներգիայի կորի թերությունն անընդհատ մեծանում է (տես, օրինակ, Ակ. 35), հետևաբար մեծանում են նաև էներգիայի երկրորդ կարգի ածանցյալները՝ ուժային հաստատունները: Այսպիսով՝ ծավալի փոքրացմանը գուգընթաց նորմալ մոդերի հաճախությունները մեծանում են: Հակառակը, ծավալը մեծացնելիս հաճախությունները փոքրանում են, այսինքն՝

$$\frac{\partial \omega_j(\mathbf{q})}{\partial V} < 0: \quad (9.10)$$

Հետևելով Գրյունայզենին՝ կենթադրենք, որ հաճախության ածանցյալն ըստ ծավալի միևնույն է բոլոր մոդերի համար և նրա միջոցով կսահմանենք Գրյունայզենի հաստատունը՝

$$\gamma = -\frac{V}{\omega_j} \frac{d\omega_j}{dV} \equiv -\frac{d \ln \omega_j}{d \ln V}, \quad (9.11)$$

որը չափագործ, դրական մեծություն է: Այս սահմանման համաձայն՝ հաճախությունը ծավալից կախված է

$$\omega_j \sim V^{-\gamma} \quad (9.12)$$

օրենքով: γ պարամետրը որոշվում է փորձից:

Նկատի ունենալով ց պարամետրի (9.11) սահմանումը՝ (9.7) արտահայտությունից ճնշման համար կստանանք.

$$P = - \left(\frac{\partial U_0}{\partial V} \right)_T + \frac{\gamma}{V} (U - U_0), \quad (9.13)$$

որն իրենից ներկայացնում է պինդ մարմնի վիճակի հավասարումը (Գ. Սի, Է. Գրյունայգեն): Հավասարման երկրորդ անդամը համեմատական է բյուրեղի $U - U_0$ ջերմային էներգիային և ջերմաստիճանը բարձրացնելիս մնանալում է:

§10. Տատանումների աներդաշնակության ազդեցությունը ջերմադինամիկական մեծությունների վրա

Պինդ մարմնի վիճակի (9.13) հավասարման օգնությամբ կարելի է կապ հաստատել պինդ մարմինը բնութագրող տարրեր մեծությունների միջև: Կրա համար օգտվենք P, V, T պարամետրերի միջև կապից բխող հայտնի ջերմադինամիկական առնչությունից՝

$$\left(\frac{\partial P}{\partial T} \right)_V \left(\frac{\partial T}{\partial V} \right)_P \left(\frac{\partial V}{\partial P} \right)_T = -1: \quad (10.1)$$

Նկատի ունենալով ջերմային ծավալային ընդարձակման α գործակցի և իզոքերմային սեղմելիության β_T գործակցի սահմանումները՝

$$\alpha = \frac{1}{V} \left(\frac{\partial V}{\partial T} \right)_P, \quad \beta_T \equiv \beta = - \frac{1}{V} \left(\frac{\partial V}{\partial P} \right)_T, \quad (10.2)$$

ինչպես նաև (9.13) վիճակի հավասարումից հետևող

$$\left(\frac{\partial P}{\partial T} \right)_V = \frac{\gamma}{V} \left(\frac{\partial U}{\partial T} \right)_V = \gamma \frac{C_V}{V} \quad (10.3)$$

կապը՝ (10.1) – (10.3) բանաձևերից կստանանք

$$\alpha = \gamma \frac{\beta C_V}{V} \quad (10.4)$$

առնչությունը, որը հայտնի է որպես Գրյունայգենի հավասարում: Այն կարելի է օգտագործել ց պարամետրը որոշելու համար, քանի որ մնացած բոլոր

բնութագրերը՝ α -ն, β -ն և C_V -ն, փորձում անմիջականորեն չափվող մեծություններ են: Կ պարամետրի և ջերմային լնդարձակման գործակցի արժեքները որոշ բյուրեղների համար տրված են Աղյուսակ 20-ում (փակագծերում նշված է ջերմաստիճանի փոփոխման տիրույթը):

Գրյունայզենի հավասարման համաձայն՝ ջերմային լնդարձակումը ցանցի տատանումների աններդաշնակության հետևանք է՝ $\alpha = 0$, եթե $\gamma = 0$, այսինքն, եթե $\omega_j(\mathbf{q})$ հաճախությունները կախված չեն պինդ մարմնի ծավալից, հանգամանք, որը տեղի ունի ներդաշնակ մոտավորության շրջանակներում:

Սեղմելիության (10.2) սահմանումից և (9.13) վիճակի հավասարումից կարելի է ստանալ սեղմելիության հակադարձ մեծության (ծավալային սեղմման մոդուլի) արտահայտությունը՝

$$\frac{1}{\beta} = V \left(\frac{\partial^2 U_0}{\partial V^2} \right)_T + \frac{\gamma(\gamma+1)}{V} (U - U_0) - \frac{\gamma^2 C_V T}{V}: \quad (10.5)$$

(9.13), (10.4) և (10.5) բանաձևերի համաձայն՝ Գրյունայզենի հաստատումի ներմուծումը հնարավորություն է լնձնեռում վիճակի հավասարումը և նրա հետ կապված α ու β բնութագրերն արտահայտելու ջերմային հատկությունները նկարագրող մեծությունների՝ ներքին էներգիայի և ջերմունակության միջոցով՝ օգտագործելով դրանց տեսական հաշվարկների արդյունքները:

Աղյուսակ 20.
 γ և α գործակիցների արժեքները

Բյուրեղ	γ	$\alpha, 10^{-5} \text{Կ}^{-1}$	Բյուրեղ	γ	$\alpha, 10^{-5} \text{Կ}^{-1}$
Si	0,44	1,245(280 – 330Կ)	Al	3,0	4,5(300 – 1000Կ)
Ge	0,72	1,776(280 – 330Կ)	Na	1,14	21,3(273 – 373Կ)
Cu	2,00	6,00(300 – 1000Կ)			

Դերայի տեսության շրջանակներում վիճակի հավասարումը և սեղմելիության արտահայտությունն արտածվում են ներքին էներգիայի (4.23) և ջերմունակության (4.24) բանաձևերի օգնությամբ՝

$$P = - \left(\frac{\partial U_0}{\partial V} \right)_T + \gamma \frac{3Nk_B\theta_D}{V} D_E \left(\frac{\theta_D}{T} \right), \quad (10.6)$$

$$\frac{1}{\beta} = V \left(\frac{\partial^2 U_0}{\partial V^2} \right)_T + \gamma(\gamma+1) \frac{3Nk_B\theta_D}{V} D_E \left(\frac{\theta_D}{T} \right) - \gamma^2 \frac{3Nk_B T}{V} D \left(\frac{\theta_D}{T} \right); \quad (10.7)$$

Այժմ պարզենք գրոյական տատանումների էներգիայի կախումը համակարգի ծավալից: Նկատի ունենալով (2.7) արտահայտությունը և ըստ մոդերի գումարից անցնելով ինտեգրալ՝ կստանանք՝

$$\begin{aligned} U_0 &= \Phi_0 + \frac{1}{2} \sum_{j=1}^3 \sum_{\mathbf{q}} \hbar \omega_j(\mathbf{q}) = \Phi_0 + \frac{9N\hbar}{2\omega_D^3} \int_0^{\omega_D} \omega^3 d\omega = \\ &= \Phi_0 + \frac{9}{8} N\hbar\omega_D = \Phi_0 + \frac{9}{8} Nk_B\theta_D \end{aligned} \quad (10.8)$$

Ածանցելով (10.8) արտահայտությունն ըստ ծավալի և նկատի ունենալով (9.11) սահմանումը՝ կստանանք՝

$$\left(\frac{\partial U_0}{\partial V} \right) = \left(\frac{\partial \Phi_0}{\partial V} \right)_T - \gamma \frac{9Nk_B\theta_D}{8V}, \quad (10.9)$$

$$\left(\frac{\partial^2 U_0}{\partial V^2} \right) = \left(\frac{\partial^2 \Phi_0}{\partial V^2} \right)_T + \gamma(\gamma+1) \frac{9Nk_B\theta_D}{8V^2} \quad (10.10)$$

առնչությունները, որոնց համաձայն՝ գրոյական տատանումներով պայմանավորված ներդրումները (10.6) և (10.7) բանաձևերում ծավալից կախված են $V^{-(\gamma+1)}$ և $V^{-(\gamma+2)}$ օրենքներով: Զերմաստիճանը բարձրացնելիս ջերմային ընդարձակման հետևանքով այս ներդրումները փոքրանում են, նկազում են նաև (10.9) և (10.10) արտահայտությունների առաջին անդամները:

Եթե $T = 0$ Կ, $D_E(\theta_D/T) = D(\theta_D/T) = 0$, (10.7) բանաձևից հետևում է, որ

$$\frac{1}{\beta_0} = V \left(\frac{\partial^2 U_0}{\partial V^2} \right)_{T=0}; \quad (10.11)$$

Մյուս կողմից, եթե $T \rightarrow 0$ Կ, $C_V \sim T^3$, ուստի Գրյունայզենի (10.4) հավասարման համաձայն՝

$$\alpha \sim C_V \sim T^3; \quad (10.12)$$

U_0 պոտենցիալ էներգիան նվազագույնն է $T=0$ -ում, և քանի որ $\alpha \rightarrow 0$, եթե $T \rightarrow 0$, ապա (10.10) բանաձևում առաջին գումարելին շատ քույլ ջերմաստիճանային կախում կունենա: Հետևաբար, $1/\beta$ մեծության ջերմաստիճանային կախումը $T << \theta_D$ տիրույթում պայմանավորված կլինի (10.7) արտահայտության երկրորդ և երրորդ գումարելիներով: Օգտվելով (4.34) և (4.35) բանաձևերից՝ հեշտությամբ կստանանք սեղմելիության ջերմաստիճանային կախումն արտահայտող բանաձևը $T << \theta_D$ տիրույթում՝

$$\frac{1}{\beta} = \frac{1}{\beta_0} - \frac{9\pi^4 \gamma(\gamma-1) N k_B \theta_D}{5V} \left(\frac{T}{\theta_D} \right)^4 : \quad (10.13)$$

Բարձր՝ $T > \theta_D$ ջերմաստիճաններում ջերմունակությունը ձգուում է հաստատուն արժեքի, ուստի ջերմային ընդարձակման գործակիցը կունենա վերջավոր հաստատուն արժեք՝ $\alpha = const$: Հետևաբար ջերմաստիճանի փոփոխմանը գործընթաց, (10.7) բանաձևում կփոփոխվեն բոլոր անդամները: Ջերմային ընդարձակման հետևանքով իրարից հեռացող ատոմների փոխազդեցության էներգիան կփոքրանա, ուստի կփոքրանա առաջին գումարելու ներդրումը $1/\beta$ -ում: Մյուս կողմից, երկրորդ և երրորդ անդամների գումարը ջերմաստիճանը բարձրացնելիս մեծանում է ($\sim T + \text{ին}$): Առաջին գործոնը բերում է բյուրեղի սեղմելիության մեծացման (ցանցի «փափկեցման»), իսկ երկրորդը՝ սեղմելիության փոքրացման (ցանցի «կողտացման»): Փորձից հետևում է, որ զերակշռում է առաջին գործոնը, և ջերմաստիճանը բարձրացնելիս ցանցի սեղմելիությունն աճում է:

Աններդաշնակությամբ է պայմանավորված նաև պինդ մարմնի՝ հաստատուն ճնշման դեպքում (C_P) և հաստատուն ծավալի դեպքում (C_V) ջերմունակությունների տարբերությունը:

C_P և C_V ջերմունակությունները կապված են հետևյալ ընդհանուր ջերմադինամիկական առնչությամբ՝

$$C_P - C_V = TV \frac{\alpha^2}{\beta} : \quad (10.14)$$

Օգտվելով Գյունայզենի (10.4) հավասարումից՝ (10.14) արտահայտության փոխարեն կունենանք՝

$$\frac{C_P - C_V}{C_V} = \gamma \alpha T : \quad (10.15)$$

Ցածր՝ $T \ll \theta_D$ ջերմաստիճաններում ցա $T \sim T^4 \rightarrow 0$, ուստի C_P և C_V ջերմունակությունները գործնականորեն իրարից չեն տարրերվում: Այդ տարրերությունը փոքր է անգամ բարձր ջերմաստիճաններում, որը հետևանք է ջերմային ընդարձակման գործակցի համեմատաբար փոքր արժեքի (տես Աղյուսակ 20): Իրոք, $T \sim 1000$ Կ ջերմաստիճանում, $\alpha \sim 10^{-5}$ Կ⁻¹ բնութագրական արժեքի դեպքում ցա $T \approx 0,02$, այսինքն՝ C_P -ն C_V -ից տարրերվում է մի քանի տոկոսով: Ակնհայտ է, որ $\gamma = 0$ դեպքում (ներդաշնակ մոտավորություն) $C_P = C_V$: Պինդ մարմնի առաձգական հաստատունների ջերմաստիճանային կախումները նույնպես հետևանք են ուժային հաստատունների՝ ծավալից ունեցած կախման և աններդաշնակության հաշվառման արդյունք են, ուստի $\alpha = 0$ դեպքում վերանում է նաև առաձգական հաստատունների կախումը ջերմաստիճանից:

Շարադրված տեսությունը մասնակիորեն է նկարագրում աններդաշնակությամբ պայմանավորված երևույթները, քանի որ պստենցիալ էներգիայի Φ_a աններդաշնակ մասը հաշվի է առնվում ոչ անմիջականորեն, այլ միայն պստենցիալ էներգիայի երկրորդ կարգի ածանցյալների՝ ծավալից ունեցած կախման միջոցով: Այս պատճառով տեսությունը ներկայացնում է ցանցի՝ ծավալից կախված հատկությունների կիսաքանակական նկարագրություն:

§11. Տատանումների աններդաշնակության ազդեցությունը ցանցի ջերմունակության վրա

Ջերմունակության քվանտային տեսության համաձայն՝ բարձր ջերմաստիճաններում պինդ բյուրեղային մարմնի ջերմունակությունը ձգում է $3sNk_B$ դասական արժեքին՝ մնալով նրանից փոքր (տես (2.29) բանաձևը): Սակայն փորձում, նշված տիրություն ջերմունակությունը գերազանցում է դասական արժեքը, ընդ որում՝ ջերմաստիճանը բարձրացնելիս շեղումն այդ արժեքից աճում է զծային օրենքով:

Աններդաշնակության ազդեցությունն առավելագույնս արտահայտվում է համեմատաբար մեծ շեղումների դեպքում, այսինքն՝ բարձր ջերմաստիճաններում (տես (7.22) բանաձևը), ուստի հաշվարկները կատարելիս կարելի է օգտվել դասական վիճակագրությունից:

Ցանցի վիճակագրական ինտեգրալը կարելի է հաշվարկել (1.5) բանաձևով՝

$$\begin{aligned} Z &= \int \cdots \int \exp \{-\beta E(\mathbf{p}_1, \dots, \mathbf{p}_N; \mathbf{u}_1, \dots, \mathbf{u}_N)\} d\mathbf{p}_1 \dots d\mathbf{p}_N d\mathbf{u}_1 \dots d\mathbf{u}_N = \\ &= \int \cdots \int \exp \{-\beta [H_0(\mathbf{p}_1, \dots, \mathbf{p}_N, \mathbf{u}_1, \dots, \mathbf{u}_N) + \\ &\quad + \Phi_a(\mathbf{u}_1, \mathbf{u}_2, \dots, \mathbf{u}_N)]\} d\mathbf{p}_1 \dots d\mathbf{p}_N d\mathbf{u}_1 \dots d\mathbf{u}_N, \end{aligned} \quad (11.1)$$

որտեղ $H_0(\mathbf{p}_1, \dots, \mathbf{p}_N; \mathbf{u}_1, \dots, \mathbf{u}_N)$ -ն ցանցի մեխանիկական էներգիան է ներդաշնակ մոտավորությամբ ու \mathbf{p}_i իմպուլսների և \mathbf{u}_i շեղումների քառակուսային ֆունկցիա է (տես (1.8) բանաձևը), իսկ պոտենցիալ էներգիայի $\Phi_a(\mathbf{u}_1, \dots, \mathbf{u}_N)$ աններդաշնակ մասը տրվում է (9.1) արտահայտությամբ, $\beta = 1/k_B T$:

(11.1) արտահայտությունը վերածենք շարքի՝ համարելով Φ_a մեծությունը փոքր գրգռում H_0 էներգիայի նկատմամբ և սահմանափակվենք վերլուծության քառակուսային անդամներով՝

$$\begin{aligned} Z &= \int \cdots \int \exp(-\beta H_0) \left[1 - \beta \Phi_a + \frac{1}{2} \beta^2 \Phi_a^2 + \dots \right] d\mathbf{p}_1 \dots d\mathbf{p}_N d\mathbf{u}_1 \dots d\mathbf{u}_N = \\ &= Z_0 \left[1 - \beta \langle \Phi_a \rangle_h + \frac{1}{2} \beta^2 \langle \Phi_a^2 \rangle_h + \dots \right], \end{aligned} \quad (11.2)$$

որտեղ ներդաշնակ ցանցի Z_0 վիճակագրական ինտեգրալը տրվում է (1.11) բանաձևով, իսկ ըստ ներդաշնակ մոտավորության $\langle \dots \rangle_h$ միջինները՝

$$\begin{aligned} \langle \Phi_a^k \rangle_h &= \frac{1}{Z_0} \int \cdots \int \exp(-\beta H_0) \Phi_a^k(\mathbf{u}_1, \dots, \mathbf{u}_N) d\mathbf{p}_1 \cdots d\mathbf{p}_N d\mathbf{u}_1 \cdots d\mathbf{u}_N = \\ &= \frac{\int \cdots \int \exp(-\beta \Phi_2) \Phi_a^k(\mathbf{u}_1, \dots, \mathbf{u}_N) d\mathbf{u}_1 \cdots d\mathbf{u}_N}{\int \cdots \int \exp(-\beta \Phi_2) d\mathbf{u}_1 \cdots d\mathbf{u}_N} \end{aligned} \quad (11.3)$$

արտահայտությամբ, որտեղ $k = 1, 2, \dots$, իսկ Φ_2 մեծությունը պոտենցիալ էներգիայի ներդաշնակ մասն է (III.6.3 բանաձև):

Օգտվելով համակարգի ազատ էներգիայի և վիճակագրական ինտեգրալի միջև կապից և նկատի ունենալով (11.2) առնչությունը՝ ցանցի ազատ էներգիայի համար կատանանք.

$$F = -\frac{1}{\beta} \ln Z = -\frac{1}{\beta} \ln Z_0 - \frac{1}{\beta} \ln \left[1 - \beta \langle \Phi_a \rangle_h + \frac{1}{2} \beta^2 \langle \Phi_a^2 \rangle_h + \dots \right]: \quad (11.4)$$

Վերլուծենք այն շարժի ըստ Φ_a փոքր պարամետրի: Օգտվելով $x \ll 1$ դեպքում հայտնի

$$\ln(1-x) \approx -x - \frac{x^2}{2} - \frac{x^3}{3} + \dots$$

արտահայտությունից՝ ազատ էներգիայի համար կստանանք.

$$F = F_h + \langle \Phi_a \rangle_h + \frac{1}{2k_B T} [\langle \Phi_a \rangle_h^2 - \langle \Phi_a^2 \rangle_h] + \dots, \quad (11.5)$$

որտեղ F_h - ն ազատ էներգիան է ներդաշնակ մոտավորությամբ:

Հետագա պարզեցման նպատակով կահմանափակվենք աններդաշնակության $n=3$ և $n=4$ անդամներով, այսինքն՝ կենքադրենք, որ

$$\Phi_a \approx \Phi_3 + \Phi_4 : \quad (11.6)$$

Քանի որ միջինացումը, (11.3) սահմանման համաձայն, կատարվում է ըստ u_i շեղումների համաչափ եռությամբ՝ $\exp(-\beta\Phi_2)$ ֆունկցիայի, ապա շեղումների կենտ աստիճաններ պարունակող անդամների միջինները հավասարվում են զրոյի՝

$$\langle \Phi_3 \rangle_h \sim \langle u_i^3 \rangle_h = 0, \quad \langle \Phi_3 \cdot \Phi_4 \rangle_h \sim \langle u_i^7 \rangle_h = 0, \quad (11.7)$$

իսկ շեղման զրոյց աստիճաններով անդամների միջինները թվային գործակցի ճշտությամբ կարող ենք գնահատել (7.22) բանաձևի օգնությամբ՝

$$\langle \Phi_4 \rangle_h \approx AN \langle u_i^2 \rangle^2 \approx AN \left(\frac{k_B T}{m\omega_D^2} \right)^2, \quad (11.8)$$

$$\langle \Phi_3^2 \rangle_h \approx B^2 N \langle u_i^2 \rangle^6 \approx B^2 N \left(\frac{k_B T}{m\omega_D^2} \right)^3, \quad (11.9)$$

որտեղ B գործակիցն արտահայտվում է պոտենցիալ էներգիայի երրորդ կարգի, իսկ A -ն՝ չորրորդ կարգի ածանցյալների միջոցով:

(11.5) – (11.9) արտահայտություններից ջերմունակության համար կըստանանք՝

$$C_V = -T \left(\frac{\partial^2 F}{\partial T^2} \right)_V \approx 3Nk_B + 2Nk_B \cdot k_B T \left[\frac{B^2}{(m\omega_D^2)^3} - \frac{A}{2(m\omega_D^2)^2} \right]: \quad (11.10)$$

Զերմունակության՝ ամսերդաշնակությամբ պայմանավորված մասում Φ_3 անդամի ներդրումը միշտ դրական է ($\sim B^2$), իսկ Φ_4 անդամի ներդրումը՝ անորոշ՝ կախված A գործակցի նշանից:

Դժվար չէ համոզվել, որ (11.10) արտահայտության մեջ փակագծերում գրված գումարելինները նույն կարգի մեծություններ են, իսկ ամսերդաշնակությամբ պայմանավորված ուղղումը շատ փոքր է զերմունակության $3Nk_B$ դասական արժեքից: Իրոք, ըստ մեծության կարգի

$$B \sim \left(\frac{\partial^3 \Phi}{\partial u_i^3} \right)_0 \sim \frac{\Phi}{a^3}, \quad A \sim \left(\frac{\partial^4 \Phi}{\partial u_i^4} \right)_0 \sim \frac{\Phi}{a^4}, \quad m\omega_D^2 \sim \frac{\Phi}{a^2},$$

որտեղ a պարամետրը ցանցի հաստատումն է, հետևաբար՝

$$\frac{B^2}{(m\omega_D^2)^3} \sim \frac{\Phi^2 a^{-6}}{\Phi^3 a^{-6}} \sim \frac{1}{\Phi}, \quad \frac{A}{2(m\omega_D^2)^2} \sim \frac{\Phi a^{-4}}{\Phi^2 a^{-4}} \sim \frac{1}{\Phi},$$

իսկ զերմունակության ուղղումը՝

$$\Delta C_V \sim Nk_B \cdot \frac{k_B T}{\Phi} \approx Nk_B \cdot \frac{k_B T}{m\omega_D^2} \cdot \frac{1}{a^2} \approx Nk_B \frac{\langle \mathbf{u}^2 \rangle}{a^2}, \quad (11.11)$$

համեմատական է ներդաշնակ տեսության $\langle \mathbf{u}^2 \rangle/a^2$ փոքր պարամետրին:

ՄԵԿՈՒՄԻՉՆԵՐԻ ԷԼԵԿՏՐԱԿԱՆ ՀԱՏԿՈՒԹՅՈՒՆՆԵՐԸ

§1. Էլեկտրական դաշտը մեկուսիչներում: Դիէլեկտրական քափանցելիություն

Մեկուսիչների (կամ դիէլեկտրիկների) ամենահիմնական հատկությունը նրանց անհաղորդիչ լինելը է, այն, որ նրանցում հաստատում էլեկտրական հոսանք գոյություն չի կարող ունենալ: Հետևաբար, ի տարբերություն հաղորդիչների՝ հաստատում էլեկտրական դաշտի լարվածությունը մեկուսիչում տարբեր է զրոյից:

Ընդունված է մեկուսիչ համարել այն նյութերը, որոնց տեսակարար դիմադրությունը մեծ է 10^{10} Օմ-ամ-ից, որը գերազանցում է մետաղների տեսակարար դիմադրությունն առնվազն 10^{10} անգամ:

Էլեկտրաստատիկ երևույթները մեկուսիչներում նկարագրվում են

$$\operatorname{div} \boldsymbol{e} = 4\pi\rho', \quad (1.1)$$

$$\operatorname{rot} \boldsymbol{e} = 0 \quad (1.2)$$

միկրոսկոպական հավասարումներով, որոնցում միկրոսկոպական էլեկտրաստատիկ \boldsymbol{e} դաշտը պայմանավորված է լրիվ «միկրոսկոպական» լիցքի ρ' խոտությամբ: Իրական ֆիզիկական խնդիրներում հնարավոր չէ տալ առանձին լիցքերի բաշխումը, քանի որ նյութի մակրոսկոպական ծավալներում պարունակվում են հսկայական թվով լիցքեր, որոնցից յուրաքանչյուրը ջերմային գրգռման կամ զրոյական տատանումների հետևանքով ավելի կամ պակաս չափով շարժունակ է:

Սակայն մակրոսկոպական խնդիրներում, ինչպիսիք են գործնականում հանդիպող բոլոր խնդիրները, չի պահանջվում որոշել դաշտը նմուշի կամայական կետում, որը կետից կետ փոփոխվում է շատ կտրուկ և պատահական ձևով: Միանգամայն բավարար է իմանալ էլեկտրական դաշտի միջին լարվածությունը $I \approx 10^{-2} - 10^{-3}$ սմ գծային չափերով տիրույթներում: Այսպիսի տիրույթներում պարունակվող ատոմների թիվը՝ $N_I \sim I^3/a^3 \geq 10^{15}$ է ($a^3 \sim 10^{-24}$ սմ³ ատոմի ծավալն է), հետևաբար միկրոսկոպական էլեկտրա-

կան դաշտի լարվածության ֆլուկտուացիաները միջինացվում են: Ուստի ստորև գործ կունենանք էլեկտրաստատիկ դաշտի լիցքի խտության՝ ըստ «ֆիզիկորեն անվերջ փոքր» $\Delta V \sim l^3$ ծավալի միջինացված մեծությունների հետ:

Միջինացման արդյունքում էլեկտրական դաշտի լարվածության միջին արժեքի՝ $\mathbf{E} = \langle \mathbf{e} \rangle$ -ի համար, որը դաշտի մակրոսկոպական բնութագիր է, (1.1) և (1.2) հավասարումներից ստացվում են

$$\text{div} \mathbf{E} = 4\pi\rho - 4\pi \text{div} \mathbf{P}, \quad (1.3)$$

$$\text{rot} \mathbf{E} = 0 \quad (1.4)$$

հավասարումները, որտեղ

$$\rho = \sum_i N_i \langle q_i \rangle + \rho_0, \quad (1.5)$$

N_i -ն i տեսակի մոլեկուլների թիվն է միավոր ծավալում, $\langle q_i \rangle$ -ն՝ նրանց միջին լիցքը, ρ_0 -ն՝ լրացուցիչ (ազատ) լիցքի խտությունը, \mathbf{P} -ն՝ միջավայրի բևեռացման վեկտորն է, այսինքն՝ միջավայրի միավոր ծավալի էլեկտրական կամ երկրենուային մոմենտը՝

$$\mathbf{P} = \sum_i N_i \langle \mathbf{p}_i \rangle, \quad (1.6)$$

իսկ $\langle \mathbf{p}_i \rangle$ -ն՝ i տեսակի մոլեկուլի միջին երկրենուային մոմենտը: Քանի որ, որպես կանոն, մոլեկուլներն էլեկտրաչեղոք են, ապա $\langle q_i \rangle = 0$, և լիցքի լրիվ խտությունը՝ $\rho(\mathbf{r}) = \rho_0(\mathbf{r})$:

(1.3) հավասարումը կարելի է ներկայացնել նաև

$$\text{div} \mathbf{D} = 4\pi\rho \quad (1.7)$$

տեսքով, որտեղ

$$\mathbf{D} = \mathbf{E} + 4\pi \mathbf{P} \quad (1.8)$$

մեծությունն էլեկտրական ինդուկցիայի վեկտորն է:

Եթե արտաքին էլեկտրաստատիկ դաշտը բացակայում է, ապա նյութի միջին բևեռացումը՝ $\mathbf{P} = 0$ (այս պնդումը չի վերաբերում պիրուէլեկտրիկներին, որոնք օժտված են $\mathbf{P} \neq 0$ մոմենտով. տես §8): $\mathbf{P}(\mathbf{E})$ ֆունկցիան կարելի է վերլուծել շարքի ըստ \mathbf{E} -ի կենտ աստիճանների (\mathbf{E} -ի գույզ աստի-

ճանների բացակայությունը շարքում հետևանք է $\mathbf{P} \rightarrow -\mathbf{P}$ հատկության, երբ $\mathbf{E} \rightarrow -\mathbf{E}$), այսինքն՝

$$P(E) = \chi E + bE^2 + \dots : \quad (1.9)$$

Ինչպես ցույց են տալիս փորձերը, լաբորատոր պայմաններում հասանելի է լեկտրական դաշտերի համար (1.9) վերլուծության մեջ մեծ ճշտությամբ կարելի է սահմանափակվել ըստ դաշտի լարվածության գծային անդամով, քանի որ փորձում ստացվող դաշտերը շատ թույլ են ներառում այն էլեկտրական դաշտերից՝ $|E| < E_a \approx 10^8 - 10^9$ Վ/սմ: (1.9) արտահայտության երկրորդ գումարելին սովորաբար հաշվի է առնվազն ոչ գծային օպտիկայի խնդիրներում, երբ օգտագործում են $E \approx 10^5 - 10^6$ Վ/սմ լարվածությամբ լազերային դաշտեր:

Իզոտրոպ միջավայրերում քենուացման վեկտորը զուգահեռ է դաշտի լարվածության \mathbf{E} վեկտորին, և համեմատականության գործակիցը կախված չէ նրա ուղղությունից, ուստի (1.9) բանաձևի համաձայն՝

$$\mathbf{P} = \chi \mathbf{E}, \quad (1.10)$$

որտեղ χ գործակիցը կոչվում է միջավայրի դիէլեկտրական ընկալունակություն: Այս դեպքում (1.8) սահմանմամբ որոշված ինդուկցիայի վեկտորը՝

$$\mathbf{D} = \mathbf{E} + 4\pi\mathbf{P} = \mathbf{E}(1 + 4\pi\chi) \equiv \epsilon \mathbf{E}, \quad (1.11)$$

որտեղ

$$\epsilon = 1 + 4\pi\chi \quad (1.12)$$

մեծությունը նյութի դիէլեկտրական թափանցելիությունն է (դիէլեկտրական հաստատումը): Եթե միջավայրը ոչ միայն իզոտրոպ է, այլ նաև համասեռ, ապա դիէլեկտրական հաստատումը կախված չէ կորոդինատներից:

Եթե միջավայրն անիզոտրոպ է, ապա կապը \mathbf{D} և \mathbf{E} , ինչպես նաև \mathbf{P} և \mathbf{E} վեկտորների միջև ունի թենգորային բնույթ՝

$$D_i = \epsilon_{ik} E_k, \quad P_i = \chi_{ik} E_k, \quad (1.13)$$

որտեղ ϵ_{ik} -ն և χ_{ik} -ն երկրորդ կարգի համաչափ թենգորներ են (կրկնվող ցուցիչներով կատարվում է գումարում): Վերջիններս կապված են

$$\epsilon_{ij} = \delta_{ij} + 4\pi\chi_{ij} \quad (1.14)$$

առնչությամբ, որտեղ δ_{ij} -ն Կրոմեկերի սիմվոլն է:

§2. Ապարևեռացնող դաշտ: Ապարևեռացման գործակից

Նմուշից դուրս տեղաբաշխված (արտաքին) լիցքերի ստեղծած էլեկտրական դաշտի լարվածությունը նշանակենք E_0 -ով: Նմուշի առկայությամբ դաշտի լարվածության մեջ ներդրում է տալիս ինչպես E_0 արտաքին դաշտը, այնպես էլ նմուշի բևեռացման հետևանքով առաջացած դաշտը:

Պարզենք բևեռացման ներդրումը մակրոսկոպական դաշտի լարվածության մեջ: Դրա համար անհրաժեշտ է որոշել նմուշի բոլոր երկրեւոների ստեղծած էլեկտրական դաշտը: Քանի որ նմուշի միավոր ծավալի երկրեւոնային մոմենտը P է, ապա dV ծավալն օժտված կլինի PdV երկրեւոնային մոմենտով: Էլեկտրաստատիկայից հայտնի բանաձևի համաձայն՝ նմուշի երկրեւոնային մոմենտի ստեղծած դաշտի պոտենցիալը՝

$$\varphi(\mathbf{r}) = \int dV' P(\mathbf{r}') \text{grad}' \frac{1}{|\mathbf{r} - \mathbf{r}'|}, \quad (2.1)$$

որտեղ ինտեգրումն ըստ \mathbf{r}' փոփոխականի կատարվում է նմուշի V ծավալով (grad' -ը նշանակում է ածանցում՝ ըստ \mathbf{r}' շառավիղ-վեկտորի):

Զևսփոխենք ենթահայտեգրալ արտահայտությունը՝ օգտվելով հետևյալ բանաձևից՝

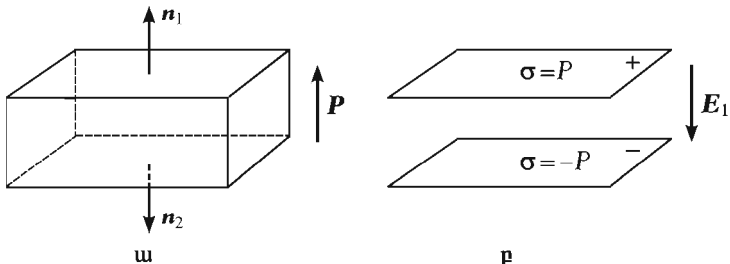
$$\mathbf{P}(\mathbf{r}') \text{grad}' \frac{1}{|\mathbf{r} - \mathbf{r}'|} = \text{div}' \frac{\mathbf{P}(\mathbf{r}')}{|\mathbf{r} - \mathbf{r}'|} - \frac{\text{div}' \mathbf{P}(\mathbf{r}')}{|\mathbf{r} - \mathbf{r}'|}: \quad (2.2)$$

(2.1) ինտեգրալում տեղադրելով (2.2) բանաձևը և օգտվելով Գաուսի թեորեմից՝ \mathbf{r} կետում դաշտի պոտենցիալի համար կստանանք.

$$\varphi(\mathbf{r}) = \oint \frac{\mathbf{P} \mathbf{n}' dS'}{|\mathbf{r} - \mathbf{r}'|} - \int \frac{\text{div}' \mathbf{P}}{|\mathbf{r} - \mathbf{r}'|} dV' = \oint \frac{\mathbf{P} \mathbf{n}'}{|\mathbf{r} - \mathbf{r}'|} dS' - \int \frac{\text{div}' \mathbf{P}}{|\mathbf{r} - \mathbf{r}'|} dV', \quad (2.3)$$

որտեղ $\mathbf{P} \mathbf{n}'$ -ը \mathbf{P} վեկտորի պրոյեկցիան է նմուշի մակերևույթի \mathbf{n}' նորմալի վրա, իսկ ինտեգրումն առաջին գումարելիում կատարվում է նմուշի մակերևույթունը:

(2.3) բանաձևի և պոտենցիալի ընդհանուր արտահայտության համեմատությունից բխում է, որ $\sigma = \mathbf{P} \mathbf{n} = P_n$ մեծությունը լիցքի մակերևությային խտությունն է, իսկ $\rho = -\text{div} \mathbf{P}$ -ն՝ լիցքի ծավալային խտությունը:



Նկ. 77. ա. Համասեռ քենացված թիթեղ,
բ. թիթեղի մակերևույթներին առաջացած լիցքերը

Եթե նմուշը քենացված է համասեռ՝ $\mathbf{P} = \text{const}$, ապա $\rho = -\text{div} \mathbf{P} = 0$:

Դիտարկենք դիելեկտրիկի համասեռ քենացված թիթեղ: Վերը նշված արդյունքի համաձայն՝ քենացմամբ ստեղծված դաշտը թիթեղի կամայական կետում հավասար է թիթեղի մակերևույթներին առաջացած $\sigma = \mathbf{P}n$ խտությամբ լիցքերի ստեղծած էլեկտրական դաշտին (նկ. 77, \mathbf{n}_1 , \mathbf{n}_2 միավոր վեկտորները թիթեղի վերին և ստորին մակերևույթների նորմալներն են):

Լիցքավորված մակերևույթների միջև դաշտի լարվածությունը՝

$$E_1 = -4\pi |\sigma| = -4\pi P, \quad (2.4)$$

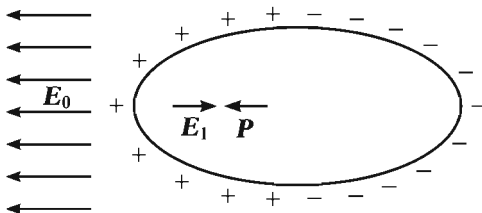
ուստի թիթեղի ներսում լրիվ մակրոսկոպական դաշտը՝

$$\mathbf{E} = \mathbf{E}_0 + \mathbf{E}_1 = \mathbf{E}_0 - 4\pi P \mathbf{n}_1: \quad (2.5)$$

Ինչպես հետևում է (2.5) բանաձևից, քենացմամբ պայմանավորված \mathbf{E}_1 դաշտը նմուշի ներսում ուղղված է արտաքին \mathbf{E}_0 դաշտին հակառակ, ուստի այն կոչվում է ապարենոացնող:

Ապարենոացնող դաշտի նեծությունը կախված է նմուշի ձևից:

Դիտարկենք էլիպսարդաձև դիելեկտրական նմուշի ձևի ընտրությունը պայմանավորված է այն հանգամանքով, որ էլիպսարդի կիսառանցքների հարաբերությունների տարրեր սահմանային դեպքերում կարելի է հեշտությամբ ստանալ գնդի, ձողի և սկավառակի ձև ունեցող նմուշների համար համապատասխան արտահայտություններ: Անհրաժեշտ է նկատի ունենալ նաև այն կարևոր հանգամանքը, որ նշված ձևերով նմուշներում համասեռ քենացումը հանգեցնում է ապարենոացման համասեռ դաշտի առաջացման (նկ. 78):



Նկ. 78. Էլիպսարդի համասեռ քևեռացումը (\mathbf{P})
և ապարևուացման համասեռ դաշտը (E_1)

Եթե ուղղանկյուն կոորդինատային համակարգի առանցքներն ուղղենք էլիպսարդի զվարակոր առանցքներով, ապա ապարևուացման դաշտի բարադրիչները կարելի են ներկայացնել:

$$E_{1x} = -4\pi n_x P_x, \quad E_{1y} = -4\pi n_y P_y, \quad E_{1z} = -4\pi n_z P_z \quad (2.6)$$

արտահայտություններով, որտեղ n_x, n_y, n_z դրական մեծություններն ապարևուացման գործակիցներն են, որոնց արժեքները կախված են էլիպսարդի զվարակոր կիսառանցքների հարաբերությունից, և որոնց գումարը՝

$$n_x + n_y + n_z = 1 : \quad (2.7)$$

Պատման էլիպսարդների համար ապարևուացման գործակիցներն արտահայտվում են տարրական ֆունկցիաներով:

Էլիպսարդի կիսառանցքների երկարությունները նշանակենք a -ով, b -ով և c -ով: Զգմած պատման էլիպսարդի համար ($a > b = c$)

$$n_x = \frac{1-\eta^2}{2\eta^3} \left(\ln \frac{1+\eta}{1-\eta} - 2\eta \right), \quad (2.8)$$

$$n_y = n_z = \frac{1}{2}(1-n_x), \quad (2.9)$$

որտեղ η -ն էլիպսարդի եքսենտրիսիտետն է՝ $\eta = (1 - b^2/a^2)^{1/2}$: Գնդաձև նմուշի համար (2.7) առնչությունից և գնդի համաչափությունից հետևում է, որ $n_x = n_y = n_z = 1/3$: Եթե էլիպսարդը քիչ է տարբերվում գնդից՝ $b \rightarrow a$, $\eta \rightarrow 0$, ապա (2.8) և (2.9) բանաձևերից կստանանք՝

$$n_x = \frac{1}{3} - \frac{2}{15}\eta^2, \quad n_y = n_z = \frac{1}{3} + \frac{1}{15}\eta^2 : \quad (2.10)$$

Սեղմված էլիպսարողի համար ($a = b > c$)

$$n_z = \frac{1 + \xi^2}{\xi^3} (\xi - \operatorname{arctg} \xi), \quad n_x = n_y = \frac{1}{2} (1 - n_z), \quad (2.11)$$

որտեղ $\xi = [(a/c)^2 - 1]^{1/2}$: Եթե $c \rightarrow a$ ($\xi \rightarrow 0$), ապա

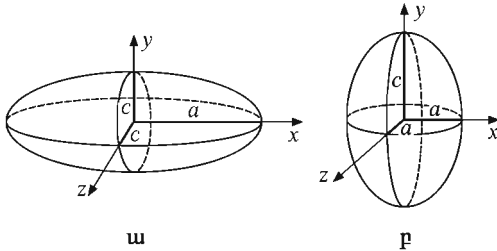
$$n_z = \frac{1}{3} + \frac{2}{15} \xi^2, \quad n_x = n_y = \frac{1}{3} - \frac{1}{15} \xi^2: \quad (2.12)$$

Եթե նմուշն ունի զլանի տեսք ($b/a \rightarrow 0$, $\eta \rightarrow 1$, նկ. 79. ա), ապա (2.8) բանաձևից կստանանք՝

$$n_x = (1 - \eta) \left[\ln \frac{2}{1 - \eta} - 2 \right] \rightarrow 0, \quad n_y = n_z = \frac{1}{2}: \quad (2.13)$$

Եթե նմուշն ունի սկավառակի տեսք ($\xi \approx a/c \rightarrow \infty$, նկ. 79. բ), ապա (2.11) բանաձևից կստանանք՝

$$n_z = 1 - \frac{\pi}{2\xi}, \quad n_x = n_y = \frac{\pi}{4\xi} \rightarrow 0: \quad (2.14)$$



Նկ. 79. ա. Զգված էլիպսարդ, բ. սեղմված էլիպսարդ

Ինչպես հետևում է ապարևեռացման գործակիցների սահմանային (2.13) արտահայտություններից, ապարևեռացնող դաշտը կարելի է փոքրացնել մինչև զրո՝ օգտագործելով բարակ և երկար նմուշներ:

Երբեմն, եթե նմուշն ունի թիթեղի տեսք, ապարևեռացնող դաշտի փոքրացման համար են միացնում թիթեղի հանդիպակաց նիստերին նստեցված մետաղե էլեկտրոդները (այսպես կոչված՝ կարճ միացում):

Եթե E_0 արտաքին համաստն դաշտն ուղղված է էլիպսարդաձև նմուշի զլսավոր առանցքով, ապա մակրոսկոպական դաշտի լարվածությունը՝

$$E = E_0 + E_1 = E_0 - 4\pi n P : \quad (2.15)$$

(1.10) արտահայտության համաձայն՝

$$P = \chi E = \chi(E_0 - 4\pi n P), \quad (2.16)$$

որտեղից հետևում է քենոացման և արտաքին դաշտի լարվածության միջև կապը՝

$$P = \frac{\chi}{1 + 4\pi n \chi} E_0 : \quad (2.17)$$

(2.17) առնչությունից կարելի է եզրակացնել, որ տրված E_0 արտաքին դաշտում քենոացման մեծությունը կախված է նմուշի ձևից՝ n մեծությունից: Եթե $4\pi n \chi << 1$, կարելի է ապաբեռուացնող դաշտի դերն անտեսել: Սակայն եթե $\chi >> (4\pi n)^{-1}$, ապա (2.17) բանաձևից կստանանք՝

$$P \approx \frac{1}{4\pi n} E_0, \quad (2.18)$$

այսինքն՝ քենոացման մեծությունը հիմնականում որոշվում է նմուշի ձևով:

§3. Տեղային դաշտ: Լորենցի դաշտ

Ինչպես պարզեցինք, արտաքին էլեկտրաստատիկ դաշտում տեղադրված նմուշում մակրոսկոպական դաշտի լարվածությունն այդ դաշտի E_0 և նմուշի քենոացման հետևանքով առաջացած դաշտի E_1 լարվածությունների գումարն է՝ $E = E_0 + E_1$:

Այժմ պարզենք, թե ինչպիսի՞ն է էլեկտրաստատիկ դաշտի լարվածությունը որևէ մոլեկուլի (երկրների) տեղում, այսինքն՝ ինչպիսի՞ դաշտ է անմիջականորեն ազդում այդ երկրների վրա: Քանի որ երկրները որոշակի կետում է, օրինակ՝ ցանցի հանգույցում, ապա նրա վրա ազդող դաշտը կտարբերվի մակրոսկոպական դաշտից, որը «ֆիզիկորեն անվերջ փոքր» ծավալով միջինացման արդյունք է: Այդ դաշտը, որը կոչվում է տեղային՝ E_{loc} (օգտագործվում են նաև «գործող», «ներքին» կամ «արյունաբար» անվանումները), վերջին հաշվով որոշում է մոլեկուլի քենոացման աստիճանը: Եթե մոլեկուլների միջև միջին հեռավորությունը զգալիորեն գերազանցում է նրանց չափերը՝ $r >> a$ (այս պայմանը տեղի ունի նույն գաղերում), ապա

$\mathbf{E}_{loc} \approx \mathbf{E} \approx \mathbf{E}_0$, այսինքն՝ տեղային դաշտը կարելի է նույնացնել մակրոսկոպական դաշտի հետ:

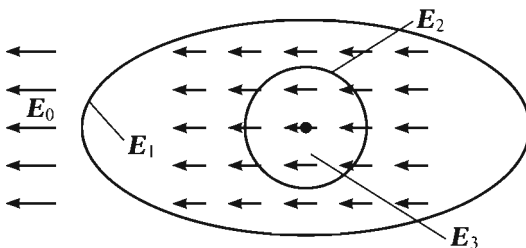
Այլ է իրադրությունը կոնդենսացված միջավայրերում՝ խիտ գազերում, հեղուկներում, պինդ մարմիններում։ Իրոք, տրված մոլեկուլի վրա ազդող դաշտն էապես կախված է մյուս նորեկումների էլեկտրական դաշտերից, ուստի անհրաժեշտ է հաշվի առնել երկրներների էլեկտրաստատիկ փոխազդեցությունը։ Այս փոխազդեցության հաշվառման հանրահայտ մեթոդն առաջարկել է Հ. Լորենցը։

Ըստրենք որևէ մոլեկուլ և որոշենք նրա վրա ազդող դաշտի լարվածությունը։ Այն արտաքին \mathbf{E}_0 դաշտի և նմուշի բոլոր մոլեկուլների երկրներային մոմենտների ստեղծած դաշտերի լարվածությունների գումարն է՝

$$\mathbf{E}_{loc} = \mathbf{E}_0 + \mathbf{E}_{dip} = \mathbf{E}_0 + \sum_i \frac{3(\mathbf{p}_i \mathbf{r}_i) \mathbf{r}_i - \mathbf{p}_i \mathbf{r}_i^2}{\mathbf{r}_i^5}, \quad (3.1)$$

որտեղ \mathbf{p}_i -ն i -րդ հանգույցում տեղադրված երկրներային մոմենտն է։

\mathbf{E}_{dip} դաշտի լարվածությունը սովորաբար հարմար է ներկայացնել երեք գումարելիների տեսքով։



Նկ. 80. Բևեռացված էլիպսարդում առաջացող դաշտերը

Այդ նպատակով նմուշում մտովի առանձնացնենք մի գնդածն խորոշ, որի կենտրոնն ընտրված մոլեկուլն է (նկ. 80): Խոռոչի R շառավիղը շատ մեծ է միջնորդեկուլային հեռավորությունից (ցանցի a հաստատունից), սակայն շատ փոքր է մակրոսկոպական հեռավորությունների համեմատությամբ («ֆիզիկորեն անվերջ փոքր» գնդոլորտ): Այն երկրներները, որոնց հեռավորությունները գմբուրտի կենտրոնից գերազանցում են $10a \approx 50 \text{ \AA}$ -ը, \mathbf{E}_{dip} -ում տակա են գործնականում անընդհատորեն փոփոխվող ներդրում, որը,

(2.3) բանաձևի համաձայն, կարելի է ներկայացնել նմուշի արտաքին S_1 մակերևույթով բաշխված լիցքերի ստեղծած (ապաքնեռացնան) դաշտի և երևակայական գնդոլորտի S_2 ներքին մակերևույթով բաշխված լիցքերի ստեղծած E_2 դաշտի (ընդունված է վերջինիս «Լորենցի դաշտ» անվանումը) գումարի տեսքով: E_{dip} -ում վերջին՝ E_3 ներդրումը տալիս են խոռոչում պարունակվող մոլեկուլները:

Այժմ որոշենք Լորենցի դաշտը՝ E_2 -ը:

Գնդոլորտի կենտրոնում նրա dS տարրի σdS լիցքի ստեղծած դաշտի լարվածությունը՝

$$dE_s = \frac{\sigma dS}{R^2} = \sigma \sin \theta d\theta d\phi = P \cos \theta \sin \theta d\theta d\phi \quad (3.2)$$

և ուղղված է dS տարրը գնդի կենտրոնին միացնող ուղղով: Նրա պրյեկցիան մակրոսկոպական դաշտի ուղղության վրա հավասար է $dE_s \cos \theta = P \cos^2 \theta \sin \theta d\theta d\phi$: Գնդոլորտի մակերևույթով բաշխված լիցքի ստեղծած դաշտի լարվածությունը գնդոլորտի կենտրոնում՝

$$E_2 = \mathbf{P} \int_0^\pi d\theta \int_0^{2\pi} d\phi \cos^2 \theta \sin \theta d\theta d\phi = 2\pi \mathbf{P} \int_0^\pi \cos^2 \theta \sin \theta d\theta = \frac{4\pi}{3} \mathbf{P}, \quad (3.3)$$

այսինքն՝ այն համաստու է և ունի բևեռացնան վեկտորի ուղղությունը:

Վերջապես, խոռոչում տեղադրված երկրներների ստեղծած E_3 դաշտն ուղղակիորեն կախված է բյուրեղի ատոմային կառուցվածքից: Որոշենք այդ դաշտը՝ ենթադրելով, որ բյուրեղն օժտված է խորանարդային համաշափությամբ: Դիցուք՝ բոլոր երկրներներն ուղղված են շառանցքով և ունեն p մեծություն: Այդ դեպքում գնդի կենտրոնում նրանց ստեղծած դաշտի լարվածության շառադիրիչը՝

$$E_{3z} = p \sum_i \frac{3z_i^2 - r_i^2}{r_i^5} = p \sum_i \frac{2z_i^2 - x_i^2 - y_i^2}{r_i^5}: \quad (3.4)$$

Գումարումը կատարվում է ըստ գնդում տեղադրված բոլոր երկրներների՝ բացի նրանից, որի տեղում դաշտը որոշվում է: Խնդրի համաշափությունից (գնդածն նմուշ, խորանարդային բյուրեղ) հետևում է, որ

$$\sum_i \frac{z_i^2}{r_i^5} = \sum_i \frac{x_i^2}{r_i^5} = \sum_i \frac{y_i^2}{r_i^5}, \quad (3.5)$$

ուստի $E_{3z} = 0$: Նույն ձևով կատամանք, որ $E_{3x} = E_{3y}$, այսինքն՝

$$\mathbf{E}_3 = 0 : \quad (3.6)$$

Կատարված մոտավորությունների շրջանակներում տեղային դաշտի լարվածության համար կատամանք հետևյալ վերջնական արտահայտությունը՝

$$\mathbf{E}_{loc} = \mathbf{E}_0 + \mathbf{E}_1 + \mathbf{E}_2 + \mathbf{E}_3 = \mathbf{E}_0 + \mathbf{E}_1 + \frac{4\pi}{3}\mathbf{P} : \quad (3.7)$$

Մասնավորապես, դիելեկտրական գնդի ապարենուացնող դաշտի լարվածությունը՝ $\mathbf{E}_1 = -4\pi\mathbf{P}/3$, ուստի (3.7) բանաձևից հետևում է, որ տեղային դաշտի լարվածությունը հավասար է արտաքին լիցքերի ստեղծած դաշտի լարվածությանը և էապես տարբերվում է մակրոսկոպական $\mathbf{E} = \mathbf{E}_0 - 4\pi\mathbf{P}/3$ դաշտից:

Օգտագործելով \mathbf{P} և \mathbf{E} վեկտորների միջև

$$\mathbf{P} = \frac{\varepsilon - 1}{4\pi} \mathbf{E} \quad (3.8)$$

կապը՝ (3.7) արտահայտությունը կարելի է ներկայացնել

$$\mathbf{E}_{loc} = \left(1 + \frac{4\pi}{3} \frac{\varepsilon - 1}{4\pi}\right) \mathbf{E} = \frac{\varepsilon + 2}{3} \mathbf{E} \quad (3.9)$$

տեսքով: Զանի որ $\varepsilon \geq 1$, ապա $|\mathbf{E}_{loc}| \geq |\mathbf{E}|$:

§4. Բևեռացվելիության տեսությունը

Ելեկտրական դաշտում ատոմը (մոլեկուլը) դաշտի ազդեցությամբ ձեռք է բերում զրոյից տարբեր երկրենուային մոմենտ: Բնական է ենթադրել, որ այն համեմատական է մոլեկուլի վրա անմիջականորեն ազդող տեղային դաշտի լարվածությանը՝

$$\langle \mathbf{p} \rangle = \alpha \mathbf{E}_{loc}, \quad (4.1)$$

որտեղ α -ն քևոացվելիության գրծակիցն է: Նկատի ունենալով քևոացման \mathbf{P} վեկտորի (1.6) սահմանումը՝ (4.1) առնչությունից կստանանք՝

$$\mathbf{P} = N\langle \mathbf{p} \rangle = N\alpha \mathbf{E}_{loc} = N\alpha \left(\mathbf{E} + \frac{4\pi}{3} \mathbf{P} \right), \quad (4.2)$$

որտեղ N -ը երկրսեռների (մոլեկուլների) խտությունն է: Մյուս կողմից, օգտագործելով \mathbf{P} և \mathbf{E} վեկտորների միջև (1.10) կապը՝ (4.2) հավասարումից կստանանք ընկալունակության արտահայտությունը՝

$$\chi = \frac{\frac{Na}{4\pi}}{1 - \frac{4\pi}{3} Na} : \quad (4.3)$$

Այս առնչությունը կապ է հաստատում նմուշի մակրոսկոպական χ և միկրոսկոպական α բնութագրերի միջև: Եթե նմուշը տարբեր նյութերի խառնուրդ է, ապա (4.3) առնչությունում Na արտադրյալն անհրաժեշտ է փոխարինել $N_j \alpha_j$ արտադրյալների գումարով, որտեղ α_j -ն j տեսակի մոլեկուլի քևոացվելիությունն է, N_j -ն՝ այդպիսի մոլեկուլների թիվը միավոր ծավալում: (1.12) և (4.3) արտահայտություններից դիէլեկտրական թափանցելիության համար կստանանք

$$\varepsilon = \frac{1 + \frac{8\pi}{3} \sum_j N_j \alpha_j}{1 - \frac{4\pi}{3} \sum_j N_j \alpha_j} \quad (4.4)$$

բանաձևը: Ինչպես հետևում է (4.4) բանաձևից, եթե $\sum N_j \alpha_j = 3/4\pi$, $\varepsilon \rightarrow \infty$ (այսպես կոչված՝ «քևոացման աղետ»): Սա նշանակում է վերջավոր քևոացում զրոյական արտաքին դաշտում:

(4.3) և (1.12) բանաձևերի օգնությամբ քևոացվելիությունը կարելի է արտահայտել դիէլեկտրական թափանցելիության միջոցով՝

$$\frac{\varepsilon - 1}{\varepsilon + 2} = \frac{4\pi Na}{3} : \quad (4.5)$$

Այս բանաձևը հայտնի է որպես Կլաուզվու-Մոստիի հավասարում: Քանի որ $N = (\rho/\mu)N_A$, որտեղ ρ -ն նյութի խտությունն է, μ -ն՝ մոլային զանգ-

վածը, ապա (4.5) հավասարումից հետևում է, որ $(\varepsilon - 1)/(\varepsilon + 2)$ մեծությունը համեմատական է նյութի խտությանը:

Բնեռացվելիությունն արտահայտենք նյութի միկրոսկոպական բնութագրերի միջոցով:

Հայտնի է ատոմների (մոլեկուլների) համակարգի բնեռացման առաջացման երկու մեխանիզմ՝

ա. *ատոմային բնեռացվելիություն*, երբ տեղային էլեկտրական դաշտի ազդեցությամբ փոխվում է մոլեկուլում լիցքի քաշչումը, որի հետևանքով մոլեկուլը ձեռք է բերում զրոյից տարբեր երկրենուային մոմենտ,

բ. *կողմնորոշումային բնեռացում*, երբ տեղային էլեկտրական դաշտի ազդեցությամբ մոլեկուլների քառայնորեն կողմնորոշված հաստատուն երկրենուները ձեռք են բերում որոշակի ուղղորդվածություն:

1. Ծանոթանանք ատոմային բնեռացվելիության պարզագույն տեսությանը՝ օգտվելով առածզականորեն կապված էլեկտրոնների մոդելից:

Հավասարակշռության դիրքից շեղված էլեկտրոնի վրա ազդում է քաղաքածզական

$$\mathbf{F} = -m\omega_0^2 \mathbf{r} \quad (4.6)$$

ուժը, որտեղ m -ն էլեկտրոնի զանգվածն է, ω_0 -ն՝ սեփական հաճախությունը, \mathbf{r} -ը՝ շեղումը հավասարակշռության դիրքից: Ջվազիառածզական ուժի և \mathbf{E} լարվածությամբ էլեկտրական դաշտում էլեկտրոնի վրա ազդող $-e\mathbf{E}$ ուժի գումարը հավասարեցնելով զրոյի՝ կստանանք՝

$$\mathbf{r} = \frac{-e}{m\omega_0^2} \mathbf{E}, \quad (4.7)$$

հետևաբար՝ էլեկտրոնի \mathbf{r} շեղումով պայմանավորված երկրենուային մոմենտը՝

$$\mathbf{p} = -e\mathbf{r} = \frac{e^2}{m\omega_0^2} \mathbf{E} \equiv \alpha_1 \mathbf{E}, \quad (4.8)$$

իսկ բնեռացվելիությունը՝

$$\alpha_1 = \frac{e^2}{m\omega_0^2}; \quad (4.9)$$

Եթե ատոմում կա Z էլեկտրոն, որոնցից յուրաքանչյուրի համար քվազիառաձգական ուժը $-m\omega_j^2 \mathbf{r}$ է, ապա ատոմի՝ էլեկտրոններով պայմանավորված ստատիկ բևեռացվելիությունը՝

$$\alpha_e = \frac{e^2}{m} \sum_j \frac{f_j}{\omega_j^2}, \quad \sum_j f_j = Z, \quad (4.10)$$

որտեղ f_j մեծություններն այսպես կոչված «տատանակային ուժերն» են, որոնք քվանտային ծագում ունեն:

Եթե արտաքին դաշտը (հետևաբար՝ նաև տեղայինը) ժամանակից կախված փոփոխվում է ու հաճախությամբ, ապա փոփոխական էլեկտրական դաշտի լարվածության և երկրեռությին մոմենտի միջև գծային կապն արտահայտում է դինամիկ բևեռացվելիության

$$\alpha_e(\omega) = \frac{e^2}{m} \sum_j \frac{f_j}{\omega_j^2 - \omega^2} \quad (4.11)$$

բանաձևը: Ատոմներում որոշ ω_j հաճախություններ պատկանում են սպեկտրի օպտիկական տիրույթին (օրինակ՝ սպեկտրի մանուշակագույն տիրույթի համար $\omega \approx 5 \cdot 10^{15}$ ռադ·Վ⁻¹), ուստի եթե $\omega << \omega_j$, ապա կարելի է օգտվել ստատիկ բևեռացվելիության (4.10) բանաձևից:

Գնահատենք ստատիկ բևեռացվելիությունը՝ ենթադրելով, որ $\omega_0 \approx \omega$.

$$\alpha_e \sim \alpha_1 \sim \frac{e^2}{m\omega_0^2} \sim \frac{10^{-19}}{10^{-27} \cdot 10^{31}} \text{ սմ}^3 \approx 10^{-23} \text{ սմ}^3,$$

որն ատոմի ծավալի կարգի մեծություն է:

Այժմ պարզենք, թե ինչպես է մոլեկուլների ջերմային շարժումն ազդում դաշտի մակածած երկրեռությին մոմենտի մեծության վրա:

Գրենք ω_0 հաճախությամբ եռաչափ ներդաշնակ տատանակի պոտենցիալ էներգիան z առանցքով ուղղված էլեկտրական դաշտում.

$$\Phi(x, y, z) = \frac{m\omega_0^2(x^2 + y^2 + z^2)}{2} - eEz : \quad (4.12)$$

Ենթադրելով, որ երկրևեռների (տատանակների) համակարգը կարելի է նկարագրել դասական վիճակագրությամբ, մեկ մասնիկին բաժին ընկնող միջին երկրևեռային մոմենտի համար կստանանք՝

$$\langle p \rangle = \langle p_z \rangle = e \frac{\int_{-\infty}^{\infty} z \exp \left\{ -\frac{1}{k_B T} \left(\frac{m\omega_0^2}{2} z^2 - ezE \right) \right\} dz}{\int_{-\infty}^{\infty} \exp \left\{ -\frac{1}{k_B T} \left(\frac{m\omega_0^2}{2} z^2 - ezE \right) \right\} dz};$$

Այս արտահայտությունը հարմար է ներկայացնել

$$\langle p \rangle = -e \frac{\partial}{\partial v} \ln \int_{-\infty}^{\infty} e^{-\gamma z^2 + vz} dz \quad (4.13)$$

տեսքով, որտեղ կատարված են հետևյալ նշանակումները՝

$$v \equiv \frac{eE}{k_B T}, \quad \gamma = \frac{m\omega_0^2}{2k_B T}; \quad (4.14)$$

(4.13) բանաձևում ենթալզարիքմական արտահայտությունը ներկայացնելով Պուասոնի ինտեգրալի տեսքով (Հավելված 2)՝ կստանանք՝

$$\langle p \rangle = -e \frac{\partial}{\partial v} \ln \left(e^{-v^2/4\gamma} \sqrt{\frac{\pi}{\gamma}} \right) = \frac{ev}{2\lambda} = \frac{e^2 E}{m\omega_0^2} = \alpha_1 E, \quad (4.15)$$

որը նույնությամբ համընկնում է (4.8) արտահայտության հետ:

Այսպիսով՝ առողմական քևեռացվելիության (4.9) բանաձևը, հետևաբար՝ նաև (4.10) առնչությունը ճիշտ են նաև ջերմային շարժման հաշվառման դեպքում։

2. Ծանոթանանք կողմնորոշումային քևեռացման տեսության հետ:

Դիցուք՝ նյութը կազմող մոլեկուլներն ունեն \mathbf{p}_0 երկրևեռային մոմենտ, որը կարող է կողմնորոշված լինել կամայական ուղղությամբ։ Եթե արտաքին էլեկտրական դաշտը բացակայում է, ապա ջերմային շարժման հետևանքով երկրևեռային մոմենտներն ունեն պատահական ուղղություններ, այնպես որ համակարգի արդյունարար երկրևեռային մոմենտը զրո է։

Եթե կիրառված է էլեկտրական դաշտ, ապա երկրևեռները ձգտում են կողմնորոշվել դաշտի ուղղությամբ, քանի որ այն համապատասխանում է

Փոքրագույն էներգիայով վիճակին: Կողմնորոշման հետևանքով համակարգը ձեռք է բերում զրոյից տարրեր երկրսեռային մոմենտ: Որոշենք այն:

Էլեկտրական դաշտում \mathbf{p}_0 երկրսեռային մոմենտի պոտենցիալ էներգիան՝

$$U = -\mathbf{p}_0 \cdot \mathbf{E} = -p_0 E \cos \theta, \quad (4.16)$$

որտեղ θ -ն \mathbf{p}_0 երկրսեռի կազմած անկյունն է դաշտի ուղղության հետ: Մեկ մոլեկուլին բաժին ընկնող միջին երկրսեռային մոմենտը՝

$$\begin{aligned} \langle p \rangle &= \frac{\int d\Omega p_0 \cos \theta \exp(-U/k_B T)}{\int d\Omega \exp(-U/k_B T)} = \\ &= p_0 \frac{\int\limits_0^{2\pi} d\phi \int\limits_0^{\pi} \sin \theta d\theta \cos \theta \exp\left(\frac{p_0 E}{k_B T} \cos \theta\right)}{\int\limits_0^{2\pi} d\phi \int\limits_0^{\pi} \sin \theta d\theta \exp\left(\frac{p_0 E}{k_B T} \cos \theta\right)}, \end{aligned} \quad (4.17)$$

որտեղ $d\Omega = \sin \theta d\theta d\phi$ -ն մարմնային անկյունն է: (4.17) արտահայտությունը կարելի է ներկայացնել

$$\langle p \rangle = p_0 \frac{\partial}{\partial \beta} \ln \int_0^\pi e^{\beta \cos \theta} \sin \theta d\theta \quad (4.18)$$

անսպով, որտեղ

$$\beta = \frac{p_0 E}{k_B T}: \quad (4.19)$$

Ենթալոգարիթմական ինտեգրալը՝

$$\int_0^\pi e^{\beta \cos \theta} \sin \theta d\theta = \int_{-1}^1 e^{\beta x} dx = \frac{e^\beta - e^{-\beta}}{\beta} = \frac{2}{\beta} \operatorname{sh} \beta,$$

հետևաբար՝

$$\frac{\partial}{\partial \beta} \left\{ \ln \frac{2}{\beta} \operatorname{sh} \beta \right\} = \operatorname{cth} \beta - \frac{1}{\beta} \equiv L(\beta),$$

որտեղ

$$L(\beta) = \coth \beta - \frac{1}{\beta} \quad (4.20)$$

արտահայտությունը Լանժըվենի ֆունկցիան է: Այսպիսով՝ E էլեկտրական դաշտի կողմնորոշիչ ազդեցության շնորհիվ մեկ մոլեկուլին բաժին ընկնող միջին երկրևեռային մոմենտը որոշվում է հետևյալ առնչությամբ՝

$$\langle p \rangle = p_0 L \left(\frac{p_0 E}{k_B T} \right): \quad (4.21)$$

Ուսումնասիրենք ստացված արտահայտությունը տարբեր սահմանային դեպքերում:

Եթե $\beta = p_0 E / k_B T \ll 1$ (թույլ դաշտեր), ապա, օգտվելով Լանժըվենի ֆունկցիայի

$$L(\beta) = \frac{\beta}{3} - \frac{\beta^3}{45} + \dots \quad (4.22)$$

վերլուծությունից, միջին երկրևեռային մոմենտի համար կստանանք՝

$$\langle p \rangle \approx \frac{p_0^2 E}{3k_B T} \equiv \alpha_2 E, \quad (4.23)$$

ուստի կողմնորոշումային բևեռացվելիությունը՝

$$\alpha_2 \approx \frac{p_0^2}{3k_B T}: \quad (4.24)$$

Գնահատենք α_2 բևեռացվելիությունը: p_0 երկրևեռային մոմենտը 1 դերայի ($1D$) կարգի մեծություն է. օրինակ՝ ջրի մոլեկուլի երկրևեռային մոմենտը $p_0(\text{H}_2\text{O}) = 1,87D$ (նշենք, որ $1D \approx 3,33 \cdot 10^{-30}$ Կ_լ · մ): Սենյակային ջերմաստիճանում ($k_B T \approx 4 \cdot 10^{-21}$ Ω) մինչև անգամ $E \approx 10^6$ Վ/մ լարվածությամբ դաշտում $\beta = p_0 E / k_B T \approx 10^{-3}$, իսկ $\alpha_2 \approx 10^{-23}$ սմ³, որը նույն կարգի մեծություն է, ինչ որ էլեկտրոնային բևեռացվելիությունը:

Եթե $\beta = p_0 E / k_B T \gg 1$ (ուժեղ դաշտեր), ապա, նկատի ունենալով, որ

$$L(\beta) \approx 1 - \frac{1}{\beta} + O(e^{-2\beta}), \quad (4.25)$$

միջին երկրևեռային մոմենտի համար կստանանք՝

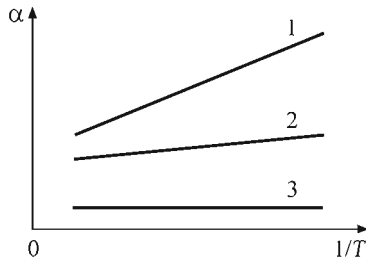
$$\langle p \rangle \approx p_0 : \quad (4.26)$$

Սա նշանակում է, որ երկրսեռային մոմենտը հասել է հազեցման, այսինքն՝ այն ընդունում է հնարավոր ամենամեծ արժեքը, որն, իր հերթին, հետևանք է դաշտի կողմնորոշիչ ազդեցության, որը «ճնշում» է բույլ ջերմային շարժումը: Ըստիանուր դեպքում, եթե քենոացվելիության երկու մեխանիզմներն ել գործում են, ընդհանուր քենոացվելիությունը տրվում է:

$$\alpha \approx \alpha_1 + \alpha_2 = \alpha_e + \frac{p_0^2}{3k_B T} \quad (4.27)$$

արտահայտությամբ, որը հայտնի է որպես Լանժվեն-Դերայի բանաձև:

Տարբեր ջերմաստիճանային կախումներ ունենալու հետևանքով էլեկտրոնային և կողմնորոշումային քենոացվելիությունները փորձում հեշտությամբ զատվում են իրարից: Նկ. 81-ում պատկերված է քենոացվելիության կախումը $1/T$ մեծությունից քենոային ($p_0 \neq 0$. 1 և 2 ուղղներ) և ոչ քենոային ($p_0 = 0$. 3 ուղղի) մողեկությունից բաղկացած համակարգերի համար:



Նկ. 81. Քենոացվելիության ջերմաստիճանային կախումը քենոային (1, 2) և ոչ քենոային (3) մողեկությունից համակարգում

3. Ասոմային (էլեկտրոնային) քենոացվելիությունն ուսումնասիրելիս ենթադրել ենք, որ ասոմի (մողեկությի) միջուկը մնում է անշարժ: Սակայն իրականում էլեկտրական դաշտի ազդեցությամբ տեղաշարժվում են նաև միջուկները: Այս երևոյթը, որը հայտնի է շեղումային քենոացվելիություն անվամբ, հարկ է հաշվի առնել հատկապես իոնային բյուրեղներում: Մյուս սահմանային դեպքը, եթե ատոմային քենոացվելիությունը հաշվելիս իոնների տեղաշարժը հաշվի է առնվում, իսկ էլեկտրոնային քաղանքի դեփոր-

մացիան (էլեկտրոնային քևեռացվելիությունը) անտեսվում է, հայտնի է որպես «կոշտ» իոնների մոտավորություն:

Որոշենք շեղումային քևեռացվելիությունը «կոշտ» իոնների մոտավորությամբ:

Դիցուք՝ իոնային բյուրեղի տարրական բջջը բաղկացած է Ze և $-Ze$ լիցքերով երկու իոններից: Եթե իոնները «կոշտ» են, ապա տարրական բջջի երկրներային մոմենտը՝

$$\mathbf{p} = Ze\mathbf{u}_+ - Ze\mathbf{u}_- \equiv Ze(\mathbf{u}_+ - \mathbf{u}_-) \equiv Ze\mathbf{s}, \quad (4.28)$$

որտեղ \mathbf{u}_+ -ը (\mathbf{u}_- -ը) դրական (բացասական) իոնի շեղումն է հավասարակշռության դիրքից,

$$\mathbf{s} = \mathbf{u}_+ - \mathbf{u}_- : \quad (4.29)$$

Եթե բյուրեղի դեֆորմացիան տարածության մեջ դանդաղ է փոփոխվում, ապա դրական և բացասական իոնների շեղումների համար կարելի է գրել հետևյալ շարժման հավասարումները՝

$$m_+ \ddot{\mathbf{u}}_+ = -\kappa(\mathbf{u}_+ - \mathbf{u}_-) + Ze\mathbf{E}_{loc}, \quad (4.30)$$

$$m_- \ddot{\mathbf{u}}_- = -\kappa(\mathbf{u}_- - \mathbf{u}_+) - Ze\mathbf{E}_{loc}, \quad (4.31)$$

որտեղ κ -ն քվազիառաձգական ուժի գործակիցն է: Անցնելով \mathbf{s} մեծությանը՝ (4.30) և (4.31) հավասարումներից կստանանք.

$$\ddot{\mathbf{s}} = \frac{Ze}{M}\mathbf{E}_{loc} - \frac{\kappa}{M}\mathbf{s}, \quad (4.32)$$

որտեղ $M = m_+ m_- / (m_+ + m_-)$ մեծությունը բջջի բերված զանգվածն է:

Եթե տևային դաշտի լարվածությունը ժամանակից կախված փոփոխվում է $\mathbf{E}_{loc} = \mathbf{F}_0 e^{-i\omega t}$ օրենքով, ապա (4.32) հավասարման լուծումը կարելի է հերկայացնել $\mathbf{s} = \mathbf{s}_0 e^{-i\omega t}$ տեսքով, որտեղ

$$\mathbf{s}_0 = \frac{Ze\mathbf{F}_0}{M(\omega_i^2 - \omega^2)}, \quad (4.33)$$

$$\omega_i^2 = \frac{\kappa}{M} : \quad (4.34)$$

(4.28) և (4.33) բանաձևերից շեղումային քևեռացվելիության համար կստանանք՝

$$\alpha_i = \frac{Z^2 e^2}{M(\omega_i^2 - \omega^2)} : \quad (4.35)$$

Այս բանաձևից հետևում է, որ շեղումային քենոացվելիությունը նույն տեսքն ունի, ինչ որ էլեկտրոնային քենոացվելիությունը: Սակայն ռեզոնանսային ω_i հաճախությունը համապատասխանում է ցանցի ω_D բնութագրական տատանումների հաճախությանը, այսինքն՝ $\omega_i \approx 10^{13}$ ռադ/վ կարգի մեծություն է, որն էլեկտրոնային ω_j հաճախություններից փոքր է շուրջ $10^2 - 10^3$ անգամ: Հետևաբար՝ շեղումային քենոացվելիությունն էապես կախված կլինի արտաքին դաշտի ու հաճախությունից սպեկտրի ենթակարգիր և օպտիկական տիրույթներում: Մյուս կողմից, քանի որ իոնային M զանգվածը մոտ 10^4 անգամ գերազանցում է էլեկտրոնայինը, ապա α_i և α_e գործակիցները կարող են լինել նույն կարգի մեծություններ, որը վկայում է «կոշտ» իոնների մոտավորության սահմանափակ լինելու հանգամանքի մասին:

§5. Օպտիկական տատանումներն իոնային բյուրեղներում

Օպտիկական տատանումներն իոնային բյուրեղներում առանձնահատուկ դեր են խաղում, քանի որ իոնների շարժման հետևանքով ծագում են զգալի երկրներային մոմենտներ:

Ուսումնասիրենք օպտիկական տատանումները խորանարդային կառուցվածքով իոնային բյուրեղներում երկարալիքային սահմանում, երբ իոնների շարժումը բոլոր բջիջներում համաժամանակային (սինքրոն) է, որը հնարավորություն է տալիս դիտարկելու իոնների շարժումը միայն մեկ բջջում: Այսուհետև կենթադրենք, որ էլեկտրական դաշտի առկայությամբ իոնը ձեռք է բերում ինչպես էլեկտրոնային, այնպես էլ շեղումային քենոացվելիություն (այսպես կոչված դեֆորմացվող իոնների մոտավորություն): Այս դեպքում քենոացման վեկտորի համար, ի տարրերություն (4.28) արտահայտության, կարելի է գրել

$$\begin{aligned} \mathbf{P} &= N_0(Z\mathbf{e}\mathbf{u}_+ + \alpha_+\mathbf{E}_{loc}) + N_0(-Z\mathbf{e}\mathbf{u}_- + \alpha_-\mathbf{E}_{loc}) = \\ &= N_0[Z\mathbf{e}(\mathbf{u}_+ - \mathbf{u}_-) + (\alpha_+ + \alpha_-)\mathbf{E}_{loc}], \end{aligned} \quad (5.1)$$

որտեղ N_0 -ն միավոր ծավալում բջիջների թիվն է, α_{\pm} -ը՝ դրական և բացասական իոնների քանառացվելիությունները: (5.1) բանաձևում փակագծերում առաջին գումարելին պայմանավորված է իոնների շեղումներով, իսկ երկրորդը՝ արտաքին դաշտում իոնների ձեռք բերած երկրկեռային նոմենտներով: Այսպես կոչված «կոշտ» իոնների մոտավորության շրջանակներում $\alpha_+ = \alpha_- = 0$

Անցնելով E_{loc} տեղային դաշտից մակրոսկոպական E դաշտին (3.7), (5.1) և (4.32) բանաձևերից կստանանք՝

$$\mathbf{P} = \frac{N_0}{1 - \frac{4\pi}{3} N_0 \alpha} (Zes + \alpha E), \quad (5.2)$$

$$M\ddot{\mathbf{s}} = -M\omega_0^2 \mathbf{s} + \frac{Ze}{1 - \frac{4\pi}{3} N_0 \alpha} \mathbf{E}, \quad (5.3)$$

որտեղ կատարված են հետևյալ նշանակումները՝

$$\omega_0^2 = \frac{\kappa}{M} - \frac{4\pi}{3M} \frac{N_0 Z^2 e^2}{1 - \frac{4\pi}{3} N_0 \alpha}, \quad (5.4)$$

$$\alpha = \alpha_+ + \alpha_- : \quad (5.5)$$

Հետագա հաշվարկները հեշտացնելու նպատակով ներմուծենք s վեկտորից հաստատուն գործակցով տարրերվող մի նոր մեծություն՝

$$\mathbf{w} = (MN_0)^{1/2} \mathbf{s}, \quad (5.6)$$

և (5.3) ու (5.2) հավասարումները ներկայացնենք հետևյալ տեսքով՝

$$\ddot{\mathbf{w}} = -\omega_0^2 \mathbf{w} + \frac{N_0 Ze}{(MN_0)^{1/2} \left(1 - \frac{4\pi}{3} N_0 \alpha \right)} \mathbf{E}, \quad (5.7)$$

$$\mathbf{P} = \frac{N_0 Ze}{(MN_0)^{1/2} \left(1 - \frac{4\pi}{3} N_0 \alpha \right)} \mathbf{w} + \frac{N_0 \alpha}{1 - \frac{4\pi}{3} N_0 \alpha} \mathbf{E} : \quad (5.8)$$

(5.7) և (5.8) հավասարումներն արտածվեցին միկրոսկոպական եղանակով, սակայն դրանք կարելի է գրել նաև երևութաբանորեն՝ հիմնվելով զուտ ֆիզիկական դատողությունների վրա:

Իրոք, շարժման

$$\ddot{\mathbf{w}} = b_{11}\mathbf{w} + b_{12}\mathbf{E} \quad (5.9)$$

հավասարումն արտահայտում է այն փաստը, որ իոնի արագացումը ($\ddot{\mathbf{w}} \sim \ddot{\mathbf{s}}$) պայմանավորված է ինչպես $b_{11}\mathbf{w}$ քազիառաձգական ուժով, այնպես էլ էլեկտրական դաշտում իոնի վրա ազդող $b_{12}\mathbf{E}$ ուժով, իսկ

$$\mathbf{P} = b_{21}\mathbf{w} + b_{22}\mathbf{E} \quad (5.10)$$

հավասարման համաձայն՝ միավոր ծավալի երկրակուային մոմենտն առաջանում է ինչպես հավասարակշռության դիրքերից իոնների շեղումների ($b_{21}\mathbf{w}$), այնպես էլ իոնների քևոացվելիության ($b_{22}\mathbf{E}$) հետևանքով:

Հարկ է նշել, որ շարժման հավասարումներում հաշվի չի առնված նաև Լորենցի ուժը, որով մագնիսական դաշտն ազդում է շարժվող իոնի վրա, քանի որ բյուրեղական ցանցի պարամետրերի բնութագրական արժեքների համար (ցանցի հաստատունը՝ $a \sim 10^{-8}$ սմ, $\omega_D \sim 10^{13}$ ռադ·վ⁻¹) մագնիսական և էլեկտրական դաշտերում իոնի վրա ազդող ուժերի հարաբերությունը՝

$$\left| \frac{f_L}{f_E} \right| \sim \frac{v}{c} \sim \frac{a\omega_D}{c} \approx 10^{-5} : \quad (5.11)$$

Վերը գրված հավասարումներում առկա \mathbf{P} և \mathbf{E} վեկտորները որոշվում են Մաքսվելի հավասարումներից՝

$$\operatorname{div} \mathbf{D} = \operatorname{div}(\mathbf{E} + 4\pi\mathbf{P}) = 0, \quad (5.12)$$

$$\operatorname{div} \mathbf{H} = 0, \quad (5.13)$$

$$\operatorname{rot} \mathbf{E} = -\frac{1}{c} \dot{\mathbf{H}}, \quad (5.14)$$

$$\operatorname{rot} \mathbf{H} = \frac{1}{c} (\dot{\mathbf{E}} + 4\pi \dot{\mathbf{P}}), \quad (5.15)$$

որոնցում արկած են հետևյալ ենթադրությունները.

ա. իոնային բյուրեղները մեկուսիչներ են՝ նրանցում ազատ լիցքի խտությունը զրո է (տես (5.12) հավասարումը),

թ. իոնային բյուրեղներն օժտված չեն մագնիսական հատկություններով՝ համակարգի մագնիսական մոմենտը զրո է (տես (5.13) հավասարումը):

(5.9), (5.10) կամ որ նույն է (5.7), (5.8) և (5.12) – (5.15) հավասարումների համակարգի լուծումները կփնտրենք

$$\begin{aligned} \mathbf{w} &= \mathbf{w}_0 e^{i(\mathbf{k}\mathbf{r}-\omega t)}, \quad \mathbf{P} = \mathbf{P}_0 e^{i(\mathbf{k}\mathbf{r}-\omega t)}, \\ \mathbf{E} &= \mathbf{E}_0 e^{i(\mathbf{k}\mathbf{r}-\omega t)}, \quad \mathbf{H} = \mathbf{H}_0 e^{i(\mathbf{k}\mathbf{r}-\omega t)} \end{aligned} \quad (5.16)$$

առաջընթաց: (5.16) լուծումները տեղադրելով նշված համակարգում՝ կստանանք.

$$-\omega^2 \mathbf{w} = b_{11} \mathbf{w} + b_{12} \mathbf{E}, \quad (5.17)$$

$$\mathbf{P} = b_{21} \mathbf{w} + b_{22} \mathbf{E}, \quad (5.18)$$

$$\mathbf{k}(\mathbf{E} + 4\pi \mathbf{P}) = 0, \quad (5.19)$$

$$\mathbf{kH} = 0, \quad (5.20)$$

$$[\mathbf{k}, \mathbf{E}] = \frac{\omega}{c} \mathbf{H}, \quad (5.21)$$

$$[\mathbf{k}, \mathbf{H}] = -\frac{\omega}{c} (\mathbf{E} + 4\pi \mathbf{P}): \quad (5.22)$$

(5.17) հավասարումից որոշված

$$\mathbf{w} = \frac{b_{12}}{-\omega^2 - b_{11}} \mathbf{E} \quad (5.23)$$

արտահայտությունը տեղադրելով (5.18) հավասարման մեջ՝ կստանանք.

$$\mathbf{P} = \left(\frac{b_{12}^2}{-\omega^2 - b_{11}} + b_{22} \right) \mathbf{E} \quad (5.24)$$

($b_{12} = b_{21}$, որը հետևում է (5.7) – (5.10) հավասարումներից):

Նկատի ունենալով \mathbf{D} և \mathbf{E} վեկտորների միջև կապը՝

$$\mathbf{D}(\omega) = \mathbf{E}(\omega) + 4\pi \mathbf{P}(\omega) = \epsilon(\omega) \mathbf{E}(\omega), \quad (5.25)$$

ինչպես նաև (5.24) առնչությունը՝ $\epsilon(\omega)$ դիէլեկտրական ֆունկցիայի համար կստանանք՝

$$\epsilon(\omega) = 1 + 4\pi b_{22} - \frac{4\pi b_{12}^2}{b_{11} + \omega^2}: \quad (5.26)$$

Եթե այս բանաձևում տեղադրենք b_{11} , b_{12} և b_{22} գործակիցների արտահայտությունները, որոնք հեշտությամբ ստացվում են (5.7)–(5.10) հավասարումներից, ապա կստանանք $\varepsilon(\omega)$ ֆունկցիայի միկրոսկոպական արտահայտությունը: Սակայն ավելի նպատակահարմար է այն արտահայտել փորձում հեշտությամբ չափվող բնութագրերի միջոցով:

Այսպես, եթե $\omega \rightarrow \infty$,

$$\varepsilon(\infty) = 1 + 4\pi b_{22} \quad (5.27)$$

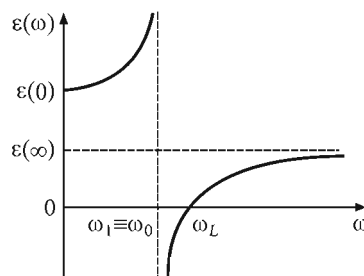
մեծությունը բարձրացնախային (օպտիկական) դիէլեկտրական հաստատումն է, որն արտահայտվում է $\omega >> \omega_0$ հաճախությամբ էլեկտրամագնիսական ալիքների բեկման ցուցչի միջոցով: Մյուս կողմից, եթե $\omega \rightarrow 0$,

$$\begin{aligned} \varepsilon(0) &= 1 + 4\pi b_{22} - \frac{4\pi b_{12}^2}{b_{11}} = \varepsilon(\infty) - \frac{4\pi b_{12}^2}{b_{11}}, \\ 4\pi b_{12}^2 &= b_{11}[\varepsilon(\infty) - \varepsilon(0)] = -\omega_0^2[\varepsilon(\infty) - \varepsilon(0)], \end{aligned} \quad (5.28)$$

որտեղ $\varepsilon(0)$ մեծությունը ստատիկ դիէլեկտրական հաստատումն է: (5.27) և (5.28) բանաձևերի օգնությամբ դիէլեկտրական թափանցելիության (5.26) բանաձևը կրնումնի հետևյալ տեսքը՝

$$\varepsilon(\omega) = \varepsilon(\infty) + \frac{\varepsilon(0) - \varepsilon(\infty)}{1 - (\omega/\omega_0)^2} : \quad (5.29)$$

$\varepsilon(\omega)$ ֆունկցիայի գրաֆիկը պատկերված է նկ. 82-ում:



Նկ. 82. Դիէլեկտրական ֆունկցիայի հաճախային կախման գրաֆիկը

Աղյուսակ 21.

$\varepsilon(0)$, $\varepsilon(\infty)$ հաստատումները և լայնական ու երկայնական հաճախություններն իտնային բյուրեղներում

Բյուրեղ	$\varepsilon(0)$	$\varepsilon(\infty)$	$\omega_r, 10^{13} \text{նադ}\cdot\text{Վ}^{-1}$	$\omega_L, 10^{13} \text{նադ}\cdot\text{Վ}^{-1}$
LiF	8,9	1,9	5,8	12
LiCl	12,0	2,7	3,6	7,5
NaCl	5,9	2,25	3,1	5,0
NaBr	6,4	2,6	2,5	3,9
KF	5,5	1,5	3,6	6,1
KCl	4,85	2,1	2,7	4,0
RbF	6,5	1,9	2,9	5,4
RbI	5,5	2,6	1,4	1,9
CsCl	7,2	2,6	1,9	3,1
AgCl	12,3	4,0	1,9	3,4
AgBr	13,1	4,6	1,5	2,5
MgO	9,8	2,95	7,5	14

Աղյուսակ 21-ում տրված են $\varepsilon(0)$ և $\varepsilon(\infty)$ հաստատումների արժեքները մի քանի իտնային բյուրեղների համար:

(5.19) և (5.25) հավասարումների համաձայն՝

$$(\mathbf{kE})\varepsilon(\omega) = 0 : \quad (5.30)$$

Ուսումնասիրենք ստացված հավասարումը:

$$I \text{ դեպք. } \varepsilon(\omega) = 0, (\mathbf{kE}) \neq 0 : \quad (5.31)$$

Այս պայմանը համարժեք է նաև

$$\mathbf{D} = \mathbf{E} + 4\pi\mathbf{P} = 0 \quad (5.32)$$

հավասարմանը: Նկատի ունենալով վերջին հավասարումը՝ (5.22) և (5.20) հավասարումներից կստանանք՝

$$\mathbf{H} = 0 : \quad (5.33)$$

Մյուս կողմից, (5.21) և (5.33) հավասարումների համաձայն՝

$$[\mathbf{k}, \mathbf{E}] = 0, \quad (5.34)$$

և քանի որ $\mathbf{E} \neq 0$, ապա $\mathbf{E} \parallel \mathbf{k}$: Եթե \mathbf{E} վեկտորն ընտրված է, ապա \mathbf{w} , \mathbf{P} վեկտորները որոշվում են (5.23) և (5.24) հավասարումներից և ուղղված են

Առաջ ուղղով, ինչ որ \mathbf{E} վեկտորը: Այսպիսով, քննարկվող դեպքում բոլոր վեկտորները երկայնական են՝ $\mathbf{w} \parallel \mathbf{P} \parallel \mathbf{E} \parallel \mathbf{k}, \mathbf{H} = 0$, իսկ հաճախությունները որոշվում են (5.31) պայմանից: Նկատի ունենալով (5.29) հավասարումը՝ երկայնական տատանումների հաճախության համար կստանանք՝

$$\omega_L = \left[\frac{\epsilon(0)}{\epsilon(\infty)} \right]^{1/2} \omega_0, \quad (5.35)$$

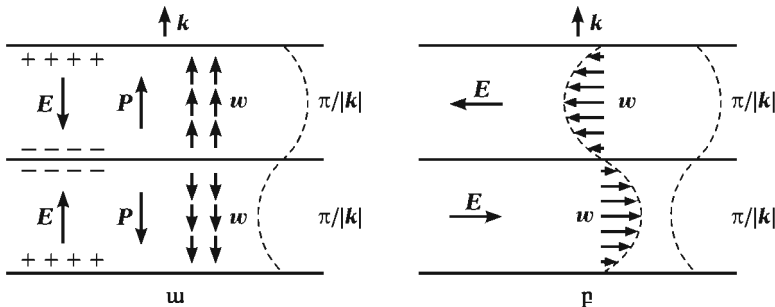
որը կախված չէ \mathbf{k} ալիքային վեկտորից:

Նկ. 83. ա-ում պատկերված են երկայնական տատանումների դեպքում \mathbf{k} , \mathbf{E} , \mathbf{P} և \mathbf{w} վեկտորների ուղղությունները: Այսպիսի տատանումներն ընդունված են անվանել երկայնական օպտիկական կամ LO-տատանումներ:

$$\text{Պղեսք. } \epsilon(\omega) \neq 0, (\mathbf{k}\mathbf{E}) = 0 : \quad (5.36)$$

Քանի որ $\mathbf{E} \neq 0$, ապա $\mathbf{k} \perp \mathbf{E}$, այսինքն՝ տվյալ դեպքում գործ ունենք լայնական տատանումների հետ: (5.21) հավասարման համաձայն՝ \mathbf{k} , \mathbf{E} և \mathbf{H} վեկտորները կազմում են փոխուղահայաց վեկտորների աջակողմյան համակարգ, հետևաբար՝

$$kE = \frac{\omega}{c} H : \quad (5.37)$$



Նկ. 83. Օպտիկական տատանումներն իոնային բյուրեղներում:
ա. երկայնական տատանումներ, բ. լայնական տատանումներ

(5.20) հավասարումը տեղի ունի, քանի որ $\mathbf{k} \perp \mathbf{H}$, իսկ (5.22) հավասարումը քերվում է

$$kH = \frac{\omega}{c} (E + 4\pi P) \quad (5.38)$$

անսպի: (5.37), (5.38) և (5.25) հավասարումներից հետևում է, որ

$$\frac{k^2 c^2}{\omega^2} E = \epsilon(\omega) E$$

կամ

$$\frac{k^2 c^2}{\omega^2} = \epsilon(\omega) = \epsilon(\infty) \frac{\omega_L^2 - \omega^2}{\omega_0^2 - \omega^2} : \quad (5.39)$$

Հարկ է նշել, որ (5.39) առնչությունից որոշված հաճախությունները կախված են ալիքային \mathbf{k} վեկտորի մեծությունից: Յուրաքանչյուր \mathbf{k} վեկտորի համար կա երկու անկախ լուծում, որոնք համապատասխանում են \mathbf{E} լարվածության երկու հնարավոր և \mathbf{k} վեկտորին ուղղահայաց ընտրություններին: Այսպիսով՝ այս դեպքում բոլոր լուծումները փոխուղղահայաց են՝ $\mathbf{k}, (\mathbf{w} \parallel \mathbf{P} \parallel \mathbf{E})$, $\mathbf{H} = 0$: Նկ. 83. բ-ում պատկերված են \mathbf{w} , \mathbf{P} , \mathbf{E} և \mathbf{k} վեկտորները լայնական օպտիկական կամ TO-տատանումների դեպքում: Ինչպես հետևում է (5.9) հավասարումից, լայնական տատանումների դեպքում ($b_{11} = -\omega_0^2$)

$$\ddot{\mathbf{w}}_t = -\omega_0^2 \mathbf{w}_t, \quad (5.40)$$

որտեղ \mathbf{w}_t վեկտորը \mathbf{w} վեկտորի բաղադրիչն է \mathbf{k} ալիքային վեկտորի ողղությամբ՝ շեղման լայնական բաղադրիչը, հետևաբար լայնական տատանումների հաճախությունը՝ $\omega_T = \omega_0$:

(5.35) արտահայտությունը, գրված

$$\omega_L^2 = \frac{\epsilon(0)}{\epsilon(\infty)} \omega_T^2 \quad (5.41)$$

տեսքով, հայտնի է որպես Լիդեն-Սաքս-Թելերի բանաձև և տեղի ունի նաև ոչ խորանարդային բյուրեղների համար: Զանի որ $\epsilon(0) > \epsilon(\infty)$, ապա միշտ $\omega_L > \omega_T$: Ֆիզիկորեն սա հետևանք է այն բանի, որ լայնական տատանումների դեպքում վերադարձնող ուժը քվազիառաձգական ուժն է, իսկ երկայնական տատանումների դեպքում ծագում է լրացուցիչ վերադարձնող ուժ՝ պայմանավորված էլեկտրական դաշտով:

§6. Էլեկտրամագնիսական ալիքի փոխազդեցությունը ցանցային տատանումների հետ

Ավելի հանգամանորեն ուսումնասիրենք էլեկտրամագնիսական ալիքի և ցանցի օպտիկական տատանումների փոխազդեցության հետևանքով համակարգում տեղի ունեցող ֆիզիկական երևոյթները:

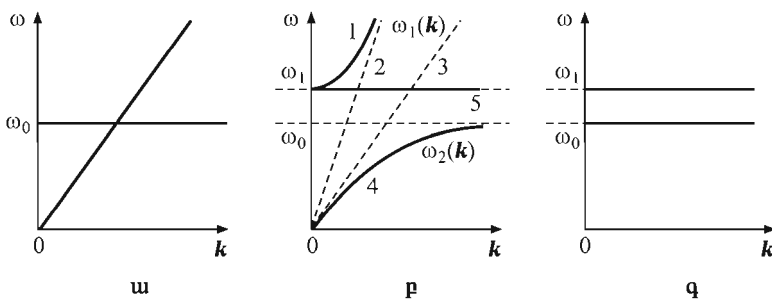
Նախ ենթադրենք, որ ցանցի օպտիկական տատանումները չեն փոխազդում էլեկտրամագնիսական տատանումների հետ՝ $e = 0$: Այս դեպքում Մաքսվելի հավասարումները քերվում են վակուումում էլեկտրամագնիսական ալիքների հավասարմանը, որից հետևում է վակուումում էլեկտրամագնիսական ալիքի դիսպերսային հավասարումը՝

$$\omega = ck, \quad (6.1)$$

իսկ շարժման (5.17) հավասարումից՝ ցանցի օպտիկական ճյուղի տատանումների դիսպերսային հավասարումը ($ka \ll 1$) դեպքում՝

$$\omega = \omega_0: \quad (6.2)$$

Նկ. 84-ում պատկերված են (6.1) և (6.2) հավասարումները: Նրանց համապատասխանող կորերը հատվում են: Հատման կետում տարրեր բնույթի՝ մեխանիկական և էլեկտրամագնիսական տատանումների հաճախությունները համընկնում են, այդ պատճառով անգամ բույլ փոխազդեցության առկայությամբ կդիտվի ռեզոնանս, որն էապես կազմի համակարգում ընթացող և էլեկտրական, և մեխանիկական պյուռեսների վրա:



Նկ. 84. Էլեկտրամագնիսական և մեխանիկական ալիքների փոխազդեցությունը.
ա. փոխազդեցությունը բացակայում է ($e=0$), բ. փոքր ալիքային թվերի դեպքը,
գ. մեծ ալիքային թվերի դեպքը

Իրոք, դիսագդեցության հաշվառմամբ ($e \neq 0$) (5.39) հավասարումից, որը կարելի է ներկայացնել

$$\omega^4 - \omega^2 \left[\omega_L^2 + \frac{k^2 c^2}{\varepsilon(\infty)} \right] + \frac{k^2 c^2}{\varepsilon(0)} \omega_L^2 = 0 \quad (6.3)$$

տեսքով, որոշվում են դիսպերսային հավասարման երկու ճյուղերը՝

$$\omega_{1,2}^2(k) = \frac{1}{2} \left[\omega_L^2 + \frac{k^2 c^2}{\varepsilon(\infty)} \right] \pm \frac{1}{2} \sqrt{\left[\omega_L^2 + \frac{k^2 c^2}{\varepsilon(\infty)} \right]^2 - \frac{4 k^2 c^2}{\varepsilon(0)} \omega_L^2} : \quad (6.4)$$

Ուսումնասիրենք այս արտահայտությունները երկարակիքային մոտավորության շրջանակներում ($ka \ll 1$), տարբեր սահմանային դեպքերում:

Փոքր ակիքային թվերի համար՝

$$k \ll \frac{\omega_L}{c} \sqrt{\varepsilon(0)} ,$$

(6.4) հավասարումներից ստացվում են հետևյալ արտահայտությունները՝

$$\omega_1(k) \approx \omega_L + \frac{k^2 c^2}{2 \omega_L^2 \varepsilon(\infty)} , \quad (\text{նկ. 84. թ, կոր 1}) , \quad (6.5)$$

$$\omega_2(k) \approx \frac{c}{\sqrt{\varepsilon(0)}} k , \quad (\text{նկ. 84. թ, կոր 3}) : \quad (6.6)$$

Ակնհայտ է, որ (6.6) բանաձևը ներկայացնում է էլեկտրամագնիսական ալիքի դիսպերսային հավասարումը $\varepsilon(0)$ ստատիկ դիէլեկտրական թափանցելիությամբ միջավայրում: Նշանակում է՝ տվյալ դեպքում միջավայրը հասցնում է «համակերպվել» էլեկտրամագնիսական դաշտին և փոքրացնում է միայն ալիքի տարածման արագությունը՝ $c \rightarrow c / \sqrt{\varepsilon(0)}$ (նկ. 84. թ, կոր 3):

Մեծ ակիքային թվերի համար՝

$$k >> \frac{\omega_L}{c} \sqrt{\varepsilon(0)} ,$$

(6.4) հավասարումներից ստանում ենք

$$\omega_1(k) \approx \frac{c}{\sqrt{\varepsilon(\infty)}} k , \quad (\text{նկ. 84. թ, կոր 2}) , \quad (6.7)$$

$$\omega_2(k) \approx \omega_0 : \quad (6.8)$$

(6.7) բանաձևն էլեկտրամագնիսական ալիքի դիսպերսային հավասարումն է $\epsilon(\infty)$ դիէլեկտրական թափանցելիությամբ միջավայրում: Այսպիսով՝ մեծ՝ $\omega >> \omega_L$ հաճախությամբ էլեկտրամագնիսական ալիքները ցանցի իներտության հետևանքով չեն կարող նրան շարժման մեջ դնել, ուստի ցանցը չի խանգարում էլեկտրամագնիսական ալիքների տարածմանը:

Մեխանիկական և էլեկտրամագնիսական տատանումների փոխազդեցության հետևանքով հաճախությունների սպեկտրում առաջանում է արգելված տիրույթ: Իրոք, ինչպես հետևում է $\epsilon(\omega)$ ֆունկցիայի

$$\epsilon(\omega) = \epsilon(\infty) \frac{\omega_L^2 - \omega^2}{\omega_T^2 - \omega^2} \quad (6.9)$$

արտահայտությունից (տես նաև Ակ. 82), $\Delta\omega = \omega_L - \omega_T$ տիրույթին պատկանող հաճախությունների համար $\epsilon(\omega) < 0$, և, (5.39) բանաձևի համաձայն,

$$k = \frac{\omega}{c} \sqrt{\epsilon(\omega)} = i \frac{\omega}{c} \sqrt{|\epsilon(\omega)|} \equiv i\delta, \quad \delta > 0 \quad (6.10)$$

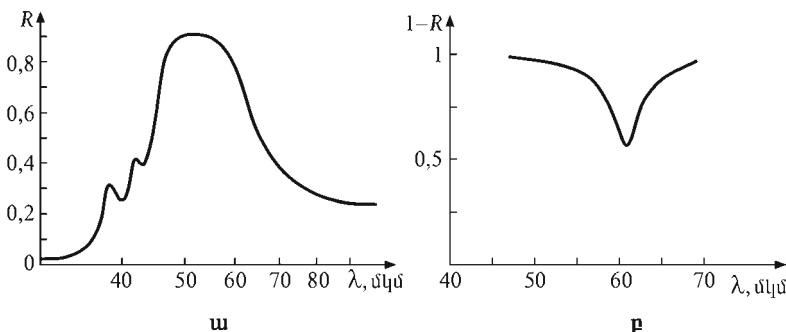
ալիքային թիվը կեղծ է, ուստի ալիքը մարում է $\exp(i\delta x) = \exp(-\delta x)$ օրենքով: Այսինքն՝ ալիքը չի կարող անցնել բյուրեղով, որի հաստությունը x ուղղությամբ ավելի մեծ է, քան δ^{-1} մեծությունը: Այլ կերպ ասած, $\Delta\omega$ տիրույթին պատկանող հաճախություններով էլեկտրամագնիսական ալիքներն անդրադարձում են բյուրեղի մակերևությանը շերտից:

Այս երևույթն ընկած է «մանացորդային ճառագայթների» մեթոդի հիմքում, որի միջոցով ստացվում է գործնականորեն համաստու ենթակարմիք ճառագայթում, երբ նախապես անհամաստու փունջը բազմից անդրադարձում է բյուրեղային շերտերից, այնպես որ փոնջը մնում է միայն ամենաուժեղ անդրադարձած հաճախությունների մի ներ շերտ: Նկ. 85. ա-ում պատկերված է սենյակային շերմաստիճաններում NaCl բյուրեղի անդրադարձման գործակցի՝ փորձում ստացված կախումն ալիքի երկարությունից:

Տեսականորեն անդրադարձման գործակիցը փնջի ուղղահայաց անկման դեպքում որոշվում է

$$R = \left| \frac{n-1}{n+1} \right|^2 \quad (6.11)$$

բանաձևով, որտեղ $n = \sqrt{\epsilon(\omega)}$ մեծությունը միջավայրի բեկման ցուցիչն է: Եթե ω -ն փոփոխվում է $(0, \omega_T)$ տիրույթում, (6.9) բանաձևի համաձայն (տես նաև նկ. 82)` բեկման ցուցիչն աճում է $\sqrt{\epsilon(0)} - 1$ մինչև ∞ ($\omega = \omega_T$): Արգելված տիրույթում՝ $\omega_T \leq \omega \leq \omega_L$, n -ը կեղծ է, և $R = 1$, այսինքն՝ տեղի ունի լրիվ անդրադարձում: $\omega > \omega_L$ տիրույթում անդրադարձման գործակիցը նվազում է՝ ձգտելով $[\sqrt{\epsilon(\infty)} - 1]^2 / [\sqrt{\epsilon(\infty)} + 1]^2$ սահմանային արժեքին:



Նկ. 85. *a.* NaCl հաստ բյուրեղի անդրադարձման գործակիցի կախումն ալիքի երկարությունից, *p.* NaCl բյուրեղի 0,17 մկմ հաստությամբ թիթեղի բացքողման կորը

Այսպիսով՝ (6.9) դիսպերսային հավասարումը որակապես բացատրում է ընտրողական անդրադարձման երևույթը, սակայն քանակական համապատասխանությունը փորձի և տեսության միջև հեռու է բավարար լինելուց: Մասնավորապես, նշված (ω_T, ω_L) արգելված տիրույթում անդրադարձումը երեք իդեալական չէ, այսինքն՝ $R < 1$: Փորձի և տեսության անհամապատասխանությունը պայմանավորված է ուսումնասիրված տեսության նոտավոր բնույթով, քանի որ նրանում օգտագործված շարժման հավասարման մեջ հաշվի են առնված շերման վեկտորի միայն գծային անդամները, որն անբավարար է հատկապես $\omega \sim \omega_T$ հաճախության մոտակայքում: Վերջին հաշվով հենց ոչ գծային անդամներով է պայմանավորված $\omega \sim \omega_T$ տիրույթում փորձում դիտվող ուժեղ կլամումը:

Նկ. 85. *p*-ում պատկերված է NaCl-ի $d = 0,17$ մկմ հաստությամբ բարակ թիթեղի բացքողման կորը՝ $(1-R)$ մեծության կախումն ալիքի երկարությունից, եթե ճառագայթումն ընկնում է թիթեղի մակերևույթին ուղղահա-

յաց ուղղությամբ: Փորձում մինչև 1 մկմ հաստությամբ թիթենմերում բացքող- ման մինիմումի հաճախությունը գործնականորեն կախված չէ թիթեղի հաս- տությունից և հավասար է ω_T -ին ($\lambda_T = \lambda_0 \approx 61$ մկմ):

Այժմ քննարկենք այն սահմանային դեպքը, երբ էլեկտրամագնիսական ալիքի արագությունը՝ $c \rightarrow \infty$ (նկ. 84. զ), այսինքն, երբ արհամարհվում է ալիքի «ուշացումը»: Ֆիզիկորեն սա նշանակում է, որ լուսի՝ ցանցի հաստա- տունն անցնելու ժամանակը՝ $\Delta t \sim a/c$, շատ փոքր է տատանումների $T = 2\pi/\omega_0$ պարբերությունից: Այս դեպքում, երբ $k \neq 0$, (5.39) հավասարու- մից հետևում է $\omega = \omega_0 \equiv \omega_T$ կապը, որը համընկնում է էլեկտրամագնիսա- կան դաշտի հետ չփոխազդրող օպտիկական տատանումների (5.41) դիսպեր- սային հավասարման հետ: Եթե $\omega \neq \omega_0$, ապա (5.39) հավասարումը տեղի ունի միայն $k = 0$ արժեքի համար:

Երկայնական ալիքները կախված չեն «ուշացումից», նրանք քվազի- ստատիկ են: Նկ. 84. բ և գ կորերի տարրերությունն ի հայտ է զալիս այնպիսի ալիքային քվերի համար, որոնց դեպքում

$$ak \leq a \frac{\omega_0}{c} \approx \frac{v}{c} \approx 10^{-5}, \quad (6.12)$$

որտեղ v -ն քյուրեղում ծայնի տարածման արագությունն է: Գնահատումից բխում է, որ ուշացման ազդեցությունը քյուրեղի տատանումների սպեկտրի Վրա ի հայտ է զալիս միայն k ալիքային քվի արժեքների շատ փոքր՝ $k \sim \omega_0/c \leq 10^3$ սմ⁻¹ տիրույթում: Այսպիսով՝ բոլոր այն խնդիրներում, որոնցում գործ ունենք երկարալիքային տատանումների հետ, որոնք բավարա- րում են (6.12) պայմանին, ուշացումը կարելի է անտեսել և լայնական օպտի- կական տատանումներին վերագրել ω_T , իսկ երկայնական տատանումնե- րին՝ ω_L հաճախություն:

§7. Դիէլեկտրական ռելաքսացիա

Կողմնորոշումային բևեռացվելիության համար ստացված արտահայ- տություններում ենթադրվում է, որ առանց արտաքին դաշտի երկրներային մոլենտը կարող է կողմնորոշված լինել կամայական ուղղությամբ: Այս ենթադրությունը կարող է իրականանալ ոչ խիստ գագերում, երբ մասնիկների միջև փոխագդեցությունը գործնականում ոչ մի դեր չի խաղում:

Սակայն կոնդենսացված միջավայրերում և, մասնավորապես, պինդ մարմնում երկրևեռային մոմենտի՝ իր կողմնորոշումը փոխելու ունակությունն էապես կախված է ինչպես մոլեկուլի ձևից, այնպես էլ նրան շրջապատող մասնիկների հետ փոխազդեցությունից: Որքան մոլեկուլի ձևը մոտ է գմղայինին, և որքան փոքր է նրա երկրևեռային մոմենտը, այնքան ավելի հեշտությամբ և արագ է մոլեկուլը փոխում իր կողմնորոշումն արտաքին դաշտի մեծությունը կամ ուղղությունը փոփխելիս: Այնպիսի ոչ համաչափ մոլեկուլներ, ինչպիսիք են HCl -ը կամ H_2O -ն, պինդ ֆազում ունեն մի քանի կայուն կողմնորոշման ուղղություններ և մեկից մյուսին են անցնում համեմատաքար դանդաղ: Այսպիսի անցման միջին ժամանակն ընդունված է անվանել ռելաքսացիայի ժամանակ, իսկ նրա հակադարձ մեծությունը՝ ռելաքսացիայի հաճախություն:

Եթե արտաքին դաշտի հաճախությունը մեծ է ռելաքսացիայի հաճախությունից, ապա համակարգում տեղի ունեցող փոփխությունները դաշտի փոփխությունից հետ են մնում:

Կողմնորոշումային պրոցեսներում ռելաքսացիայի հաճախությունն էապես կախված է ջերմաստիճանից և փոփխվում է լայն տիրություն:

Հեղուկներում ռելաքսացիայի ժամանակամիջոցը (τ) կապված է մածուցիկության հարժակացիությամբ:

$$\tau = \frac{4\pi\eta a^3}{k_B T} \quad (7.1)$$

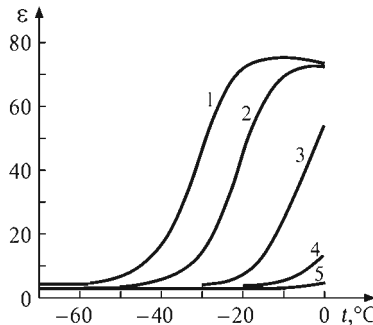
մոտավոր արտահայտությամբ, որտեղ a -ն գնդաձև մոլեկուլի շառավիղն է: Մենյակային ջերմաստիճանում ջրի համար ($\eta = 10^{-2}$ պուազ, $a \approx 10^{-8}$ մմ) $\tau \approx 10^{-11}$ վ, որը համընկնում է փորձի հետ:

Նկ. 86-ում պատկերված են սառուցի դիէլեկտրական քափանցելիության ջերմաստիճանային կախման կորերը հինգ տարբեր հաճախությունների համար:

Համաձայն Պ. Դեբայի՝ կողմնորոշումային բևեռացվելիության կախումն արտաքին $E_0 \exp(-i\omega t)$ դաշտի հաճախությունից որոշվում է

$$\alpha(\omega) = \frac{\alpha_0}{1 - i\omega} \quad (7.2)$$

բանաձևով, որտեղ α_0 -ն ստատիկ կողմնորոշումային բևեռացվելիությունն է:



Նկ. 86. Սառույցի դիէլեկտրական քափացելիության կախումը ջերմաստիճանից տարրեր հաճախությունների դեպքում
(1. 300 կց, 2. 1 կց, 3. 5 կց, 4. 20 կց, 5. 60 կց)

Այժմ որոշենք դիէլեկտրական քափացելիության արտահայտությունը ռելաքսացիոն պրոցեսների հաշվառմամբ:

Եթե քենացվելիությունը պայմանավորված է և էլեկտրոնային (ատոմային), և կողմնորոշումային պրոցեսներով, ապա, նկատի ունենալով (7.2) արտահայտությունը, քենացման վեկտորի համար կարելի է գրել՝

$$\mathbf{P} = \mathbf{P}_e + \mathbf{P}_d = \left(\chi_1 + \frac{\chi_2}{1 - i\omega\tau} \right) \mathbf{E}, \quad (7.3)$$

որտեղ χ_1 -ը էլեկտրոնային, իսկ χ_2 -ը կողմնորոշումային քենացվելիություններով պայմանավորված ստատիկ ընկալունակություններն են: Առաջին գումարելու մեջ $i\omega$ անդամի բացակայությունը ֆիզիկորեն նշանակում է, որ էլեկտրոնային քենացվելիությամբ պայմանավորված քենացումը դաշտի փոփոխության հետ համաժամանակ է փոփոխվում, որը հետևանք է էլեկտրոնների փոքր իներտության: (7.3) բանաձևում \mathbf{E} լարվածության գործակիցը կոմպլեքս ընկալունակությունն է, որը տեղադրելով (1.12) արտահայտության մեջ՝ կստանանք՝

$$\epsilon(\omega) = 1 + 4\pi\chi_1 + \frac{4\pi\chi_2}{1 - i\omega\tau}: \quad (7.4)$$

χ_1 և χ_2 մեծություններն արտահայտենք $\epsilon(\omega)$ դիէլեկտրական քափացելիության սահմանային (փորձում չափվող) արժեքների միջոցով: Եթե $\omega = 0$, ստատիկ դիէլեկտրական քափացելիությունը՝

$$\varepsilon_s \equiv \varepsilon(0) = 1 + 4\pi(\chi_1 + \chi_2), \quad (7.5)$$

իսկ եթք $\omega >> 1/\tau$ (ձևականորեն $\omega \rightarrow \infty$),

$$\varepsilon(\infty) \equiv \varepsilon_\infty \equiv n^2 = 1 + 4\pi\chi_1, \quad (7.6)$$

որտեղ n -ը նյութի բեկման ցուցիչն է: (7.4) – (7.6) առնչությունների համաձայն՝

$$\varepsilon(\omega) = \varepsilon_\infty + \frac{\varepsilon_s - \varepsilon_\infty}{1 - i\omega\tau} \equiv \varepsilon_1 + i\varepsilon_2: \quad (7.7)$$

(7.7) բանաձևից ստացվում են դիելեկտրական քափանցելիության իրական (ε_1) և կեղծ (ε_2) մասերի արտահայտությունները՝

$$\varepsilon_1(\omega) = \varepsilon_\infty + \frac{\varepsilon_s - \varepsilon_\infty}{1 + (\omega\tau)^2}, \quad (7.8)$$

$$\varepsilon_2(\omega) = \frac{\varepsilon_s - \varepsilon_\infty}{1 + (\omega\tau)^2} \omega\tau: \quad (7.9)$$

Նկ. 87. ա-ում պատկերված են $\varepsilon_1(\omega)$ և $\varepsilon_2(\omega)$ ֆունկցիաները: (7.8) և (7.9) բանաձևերի համաձայն՝ ցածրհաճախային՝ $\omega\tau << 1$ և բարձրհաճախային՝ $\omega\tau >> 1$ տիրույթներում $\varepsilon_2(\omega) \approx 0$, այսինքն՝ $\varepsilon(\omega)$ ֆունկցիան իրական է:

Եթե $\varepsilon_2(\omega) \neq 0$, ապա միջավայրում առկա են էներգիական կորուստներ: Իրոք, ըստ Չոռլ-Լենցի օրենքի՝ միավոր ժամանակում, միավոր ծավալում անջատված էներգիան (եթք դաշտը փոփոխվում է $e^{-i\omega t}$ օրենքով):

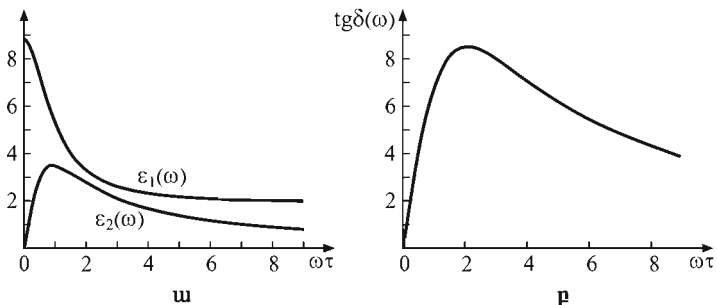
$$Q = \sigma \overline{E^2} = \frac{1}{2} \sigma E_0^2, \quad (7.10)$$

որտեղ միջավայրի Ծ հաղորդականությունը կապված է ε_2 -ի հետ հետևյալ առնչությամբ՝

$$\sigma = \frac{\omega \varepsilon(\omega)}{4\pi}: \quad (7.11)$$

(7.10) և (7.11) բանաձևերից հետևում է էներգիական կորուստների արտահայտությունը՝

$$Q = \frac{\omega \varepsilon_2(\omega)}{8\pi} E_0^2: \quad (7.12)$$



Նկ. 87. ա. LiF-ի դիէլեկտրական քափանցելիության իրական ($\epsilon_1(\omega)$) և կեղծ ($\epsilon_2(\omega)$) մասերի գրաֆիկները, բ. կորուստների ամպյան տամգենսի գրաֆիկը

Սիջավայրի հաղորդականությամբ պայմանավորված կորուստների (7.12) արտահայտությունն ընդունված է ներկայացնել հետևյալ տեսքով՝

$$Q = \frac{\omega \epsilon_1(\omega)}{8\pi} E_0^2 \operatorname{tg}\delta, \quad (7.13)$$

որտեղ

$$\operatorname{tg}\delta = \frac{\epsilon_2(\omega)}{\epsilon_1(\omega)}, \quad (7.14)$$

իսկ δ մեծությունը կոչվում է կորուստների անկյուն (նկ. 87. բ):

Ինչպես հետևում է (7.8) և (7.9) բանաձևերից, $\epsilon_1(\omega)$ և $\epsilon_2(\omega)$ մեծություններն իրարից անկախ չեն՝ $\epsilon_2(\omega) = [\epsilon_1(\omega) - \epsilon_\infty] \omega t$:

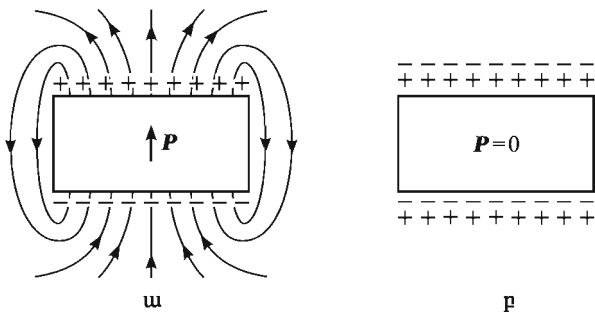
Ընդհանուր դեպքում, անկախ $\epsilon_1(\omega)$ և $\epsilon_2(\omega)$ ֆունկցիաների տեսքից, եթե հայտնի է $\epsilon_1(\omega) - \epsilon_\infty$ կամ $\epsilon_2(\omega)$ ֆունկցիաներից որևէ մեկը հաճախությունների $[0, \infty]$ տիրություն, ապա մյուսը կարելի է որոշել այսպես կոչված դիսպերսային առնչությունների միջոցով (Հ. Կրամերս, Ռ. Կրոնիզ):

§8. Պիրուէլեկտրականություն

Անիզոտրոպ դիէլեկտրական միջավայրում, ինչպիսին է միարյութեղը, ինդուկցիայի և էլեկտրական դաշտի լարվածության վեկտորների միջև կապն ավելի բարդ է և չի բերվում նրանց միջև համեմատականության, որն արտահայտված է (1.13) առնչությամբ: Ամենաընդհանուր դեպքում այդ կապն արտահայտվում է

$$D_i = D_{0i} + \varepsilon_{ik} E_k \quad (8.1)$$

հավասարումով, որտեղ \mathbf{D}_0 -ն հաստատում (\mathbf{E} -ից չկախված) վեկտոր է, իսկ ε_{ik} մեծությունները դիելեկտրական քափանցելիության բևեռորի տարրերն են (կրկնվող k ցուցիչով կատարվում է գումարում՝ $k=1,2,3$): \mathbf{D}_0 ազատ անդամը կարող է գրոյից տարրեր լինել միայն որոշակի համաշափությամբ օժտված բյուրեղներում: Եթե $\mathbf{D}_0 \neq 0$, ապա դիելեկտրական նմուշն ինքնարբար բևեռացված է, այսինքն՝ արտաքին դաշտի բացակայությամբ այն ունի գրոյից տարրեր բևեռացում (նկ. 88): Այսպիսի բյուրեղները կոչվում են պիրուլեկտրիկներ:



Նկ. 88. ա. Պիրուլեկտրիկի ինքնարբեր բևեռացումը,
բ. մակերևության լիցքի համակուսմն ազատ լիցքերով

Գործնականում ինքնարբեր բևեռացումը միշտ շատ փոքր է (ներմոլեկուլային դաշտերի համեմատությամբ), քանի որ ներքին էլեկտրական դաշտի ազդեցությամբ նմուշում առաջանում է բույլ էլեկտրական հոսանք: Այն գրոյից տարրեր է այնքան ժամանակ, քանի որոն մակերևույթի վրա առաջացող ազատ լիցքերը լրիվ չեն համակառել բևեռային լիցքերը և ներքին դաշտը չեն դարձրել զրո: Նույն ձևով են գործում նաև օդից դիելեկտրիկի մակերևույթին անցնող իոնները (նկ. 88. բ):

Սակայն եթե բյուրեղի ջերմաստիճանն արագ փոխենք ΔT -ով, ապա ինքնարբեր P_0 բևեռացումը կփոխվի ΔP_0 -ով, և նմուշի մակերևույթին կառաջանա

$$\sigma = \Delta P_0 = p_m \Delta T \equiv \left(\frac{\partial P}{\partial T} \right)_X \Delta T \quad (8.2)$$

խտությամբ մակերևութային լիցք. p_m գործակիցը պիրուէլեկտրական հաստատունն է, իսկ X -ով նշանակված է այն բնութագրերի համախումքը, որոնք նմուշի ջերմաստիճանը փոփոխելիս պահպան են հաստատուն: Տուրմախինի բյուրեղի համար 20°C -ում $p_m \approx 1,3 \text{ CGSE}_q/\text{սմ}^2\cdot\text{Կ}$: Ինչպես ցոյց են տալիս փորձերը, p_m գործակից ջերմաստիճանային կախումը նման է բյուրեղի ջերմունակության և ջերմային ընդարձակման գործակիցների ջերմաստիճանային կախումներին:

Պիրուէլեկտրական երևոյթը պայմանավորված է որոշ բարդ բյուրեղային կառուցվածքներում էլեկտրական լիցքերի ոչ համաչափ բաշխումով: Անգամ արտաքին ազդակների բացակայությամբ դրական և բացասական լիցքերի «ծանրության կենտրոնները» չեն համընկնում, այսինքն՝ բյուրեղն ինքնաբերաբար բեռաանում է:

Ինքնաբեր բեռաացման ջերմաստիճանային կախումը պայմանավորված է երկու պատճառով: Նախ ջերմաստիճանի փոփոխությանը զուգընթաց փոփոխվում է ազատ բյուրեղի ծավալը, ուստի և նմուշի միավոր ծավալի երկրենուային մոմենտը: Երկրորդ՝ եթե անզամ նմուշը սեղմված է, այսինքն՝ ջերմաստիճանի փոփոխությունը չի ուղեկցվում դեֆորմացիայով, ապա նմուշը կրում է ներքին, կառուցվածքային փոփոխություններ:

Պիրուէլեկտրական նյութերում բեռաացման մեծությունը գծայնորեն է կախված ներքին դաշտի լարվածությունից՝

$$\mathbf{P}_0 = \alpha \mathbf{E}, \quad (8.3)$$

որտեղ α գործակիցը կախված չէ \mathbf{E} -ից՝ ի տարրերություն սեզմետաէլեկտրիկների, որոնցում $\alpha = \alpha(E)$ (տես §10):

Բյուրեղի համաչափության բոլոր ծևափոխությունների դեպքում նրա հաստկությունները պետք է մնան անփոփոխ, ուստի ակնհայտ է, որ պիրուէլեկտրական կարող է լինել միայն այն բյուրեղը, որում գոյություն ունի համաչափության բոլոր ծևափոխությունների ժամանակ անփոփոխ մնացող ուղղություն, որով և ուղղված է \mathbf{P}_0 վեկտորը: Մասնավորապես, պիրուէլեկտրական չեն կարող լինել համաչափության կենտրոն ունեցող բյուրեղները:

Պիրուէլեկտրական նյութերին բնորոշ են ֆազային անցումների բացակայությունը և ինքնաբեր բեռաացման առկայությունը նրանց գոյության ջերմաստիճանային ամբողջ տիրույթում:

Պիրուէկտրական երևոյթի հակադարձ երևոյթը, երբ էլեկտրական դաշտի ազդեցության տակ փոխվում է բյուրեղի ջերմաստիճանը, հայտնի է «էլեկտրակալորական երևոյթ» անվամբ: Էլեկտրակալորական երևոյթը նկարագրվում է:

$$\Delta T = q\Delta E \equiv \left(\frac{\partial T}{\partial E} \right)_X \Delta E \quad (8.4)$$

առնչությամբ, որտեղ q մեծությունն էլեկտրակալորական երևոյթի գործակիցն է: Այն կապված է պիրուէկտրական p_m հաստատունի հետ

$$q = -p_m T C^{-1} \quad (8.5)$$

բանաձևով, որտեղ C -ն բյուրեղի տեսակարար ջերմունակությունն է:

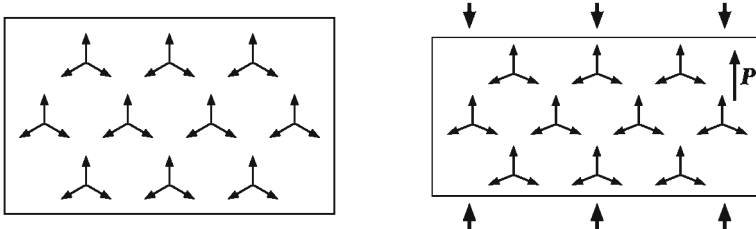
§9. Պիեզոէլեկտրականություն

Ինչպես հայտնի է, արտաքին էլեկտրական դաշտում բյուրեղում առաջանում են ներքին մեխանիկական լարումներ, որոնց ազդեցությամբ նմուշի ծավալը փոփոխվում է: Ծավալի փոփոխությունը համեմատական է էլեկտրական դաշտի լարվածության քառակուսուն՝ $\Delta V \sim E^2$: Այս երևոյթը հայտնի է էլեկտրաստրիկցիա անունով և դիտվում է բոլոր բյուրեղային ու ոչ բյուրեղային պինդ մարմիններում:

Սակայն մի շարք բյուրեղներում էլեկտրական դաշտի ազդեցությամբ ծագող ներքին լարումները գծայնորեն են կախված դաշտի լարվածությունից:

Նույն բյուրեղներում դիտվում է նաև հակառակ երևոյթը, երբ մեխանիկական լարման ազդեցությամբ բյուրեղը ձեռք է բերում բևեռացում: Այս երևոյթը անվանում են պիեզոէլեկտրականություն. այն հայտնաբերել են Ժ. և Պ. Կյուրիները 1880 թ. քվարցի բյուրեղներում: Պիեզոէլեկտրական հատկությամբ օժտված բյուրեղները կոչվում են պիեզոէլեկտրիկներ (նկ. 89):

Եթե պիեզոէլեկտրիկի որոշակի ձևով կտրված թիթեղը ենթարկենք մեխանիկական լարման (ձգում, սեղմում կամ սահք), ապա նրա մակերևոյթներին կծագեն էլեկտրական լիցքեր, որոնք պայմանավորված են թիթեղի բևեռացմամբ: Երևոյթի ֆիզիկական էությունը բացատրվում է մեխանիկական լարումների ազդեցությամբ լիցքերի շեղման հետևանքով բյուրեղի տարրական թջի բևեռացմանը կամ առկա բևեռացման փոփոխությամբ (այսպես կոչված ուղիղ պիեզոէրևոյթ):



Նկ. 89. Դեֆորմացիայի (սեղմնամ) հետևանքով բնելուացման
առաջացումը պիեզոէլեկտրիկում

Եթե բիբերը տեղադրենք էլեկտրական դաշտում, ապա դաշտի ազդեցույթամբ տարրական բջջում տեղի կունենա լիցքերի տեղաշարժ և, որպես հետևանք, նրանց միջև միջին հեռավորությունների փոփոխություն, այսինքն՝ դեֆորմացիա (հակադարձ պիեզոէլերույթ):

Պիեզոէլեկտրականության գոյության անհրաժեշտ պայմանը բյուրեղի համաչափության կենտրոնի բացակայությունն է:

Հարկ է իրարից տարրերել բնական պիեզոէլերույթը, որն ի հայտ է գալիս որոշ միաբարեղներում (քվարց, տուրմալին, ցինկի խարբուսակ և այլն) և արհեստական պիեզոէլերույթը, որն ստեղծվում է որոշ նյութերում (նաև ոչ բյուրեղային) պիեզոէլեկտրական տեքստորա, այսինքն՝ բնելուացման անիզոտրոպություն ստեղծելու միջոցով։ Վերջինս իրականացվում է էլեկտրական դաշտի կամ մեխանիկական հատուկ մշակման ճանապարհով։ Արհեստական պիեզոէլեկտրական նյութերում (էլեկտրետներ, պիեզոխցիներ) պիեզոէլեկտրական հատկություններն արտահայտված են առավել ցայտուն ձևով։

Դիէլեկտրիկների պիեզոէլեկտրական հատկություններն արտահայտվում են մեխանիկական լարումների σ_{ik} թենզորի կամ դեֆորմացիայի u_{ik} թենզորի տարրերի և, մյուս կողմից, բնելուացման \mathbf{P} (կամ \mathbf{D}) և էլեկտրական դաշտի լարվածության \mathbf{E} վեկտորի բաղադրիչների միջև գծային կապերով։

Պիեզոէլեկտրականության երևորաբանական տեսությունը հիմնվում է համակարգի ջերմադիմանիկական վիճակի՝ արտաքին ազդակներից (մեխանիկական լարումներ, էլեկտրական դաշտեր) և ջերմաստիճանից կախված փոփոխությունների մասին պատկերացումների վրա։ Ընդունին, պիեզոէլերույթի հավասարումներն ստացվում են բյուրեղի հավասարակշռության, այսինքն՝ համապատասխան ջերմադիմանիկական պոտենցիալների մինիմումի պայմանից։

Եթե որպես անկախ փոփոխականները ընտրենք ջերմաստիճանը, շեղման թենգորի u_{ik} և էլեկտրական դաշտի լարվածության վեկտորի E_i , բաղադրիչները, ապա միավոր ծավալում պարունակվող նյութի քանակի ազատ էներգիայի ոլֆերենցիալը կարելի է ներկայացնել

$$dF = -SdT + \sigma_{ik}du_{ik} - \frac{1}{4\pi}D_idE_i \quad (9.1)$$

արտահայտությամբ, որտեղ S -ը էնտրոպիայի խտությունն է (կրկնվող ցուցիչներով ենթադրվում է գումարում, $i, k = 1, 2, 3$):

Եթեմն նպատակահարմար է որպես անկախ փոփոխականներ ընտրել լարման թենգորի σ_{ik} բաղադրիչները: Դրա համար (9.1) առնչությունն արտագրենք հետևյալ տեսքով՝

$$d(F - u_{ik}\sigma_{ik}) = -SdT - u_{ik}d\sigma_{ik} - \frac{1}{4\pi}D_idE_i: \quad (9.2)$$

Փակագծերում զրված

$$\Phi = F - u_{ik}\sigma_{ik} \quad (9.3)$$

արտահայտությունը ջերմադինամիկական (Գիբսի) պոտենցիալն է, որի փոփոխականներն են T, σ_{ik}, E_i մեծությունները՝ թվով 10 ($T, 6$ հատ σ_{ik} և 3 հատ E_i): (9.2) և (9.3) բանաձևերից՝

$$d\Phi = -SdT - u_{ik}d\sigma_{ik} - \frac{1}{4\pi}D_idE_i: \quad (9.4)$$

(9.4) հավասարումից ինդուկցիայի վեկտորի D_i և դեֆորմացիայի թենգորի u_{ik} բաղադրիչները կարելի են արտահայտել ջերմադինամիկական $\Phi(T, \sigma_{ik}, E_i)$ պոտենցիալի միջոցով՝

$$D_i = -4\pi \left(\frac{\partial \Phi}{\partial E_i} \right)_{T, \sigma_{ik}}, \quad (9.5)$$

$$u_{ik} = - \left(\frac{\partial \Phi}{\partial \sigma_{ik}} \right)_{T, E}: \quad (9.6)$$

Օգտվենք միավոր ծավալում պարունակվող զանգվածի ջերմադինամիկական պոտենցիալի հայտնի արտահայտությունից՝

$$\Phi = \Phi_0 - \frac{1}{2}\mu_{iklm}\sigma_{ik}\sigma_{lm} - \frac{1}{8\pi}\varepsilon_{ik}E_iE_k - \frac{1}{4\pi}E_iD_{0i} - d_{i,kl}E_i\sigma_{kl}, \quad (9.7)$$

որտեղ Φ_0 -ն համապատասխանում է $\sigma_{ik} = 0$, $E_i = 0$ վիճակին, μ_{iklm} -ը առաձգական հաստատունների թենզորին է, իսկ $d_{i,kl}$ -ը՝ պիեզոէլեկտրական հաստատունների թենզորը, որը համաչափ է ըստ k և l ցուցիչների՝

$$d_{i,kl} = d_{i,lk} : \quad (9.8)$$

Վերջին հատկությունը հետևանք է լարումների թենզորի $\sigma_{kl} = \sigma_{lk}$ համաշափության հատկության:

(9.5) – (9.7) արտահայտություններից հետևում են պիեզոէլեկտրականության տեսության հիմնական հավասարումները՝

$$D_i = D_{0i} + \varepsilon_{ik} E_{ik} + 4\pi d_{i,kl} \sigma_{kl}, \quad (9.9)$$

$$u_{ik} = \mu_{iklm} \sigma_{lm} + d_{l,ik} E_l : \quad (9.10)$$

(9.9) հավասարումն արտահայտում է լարման թենզորի տրված արժեքների համար ինդուկցիայի վեկտորի բաղադրիչների կախումն էլեկտրական դաշտի լարվածությունից, իսկ (9.10) հավասարումը՝ դեֆորմացիայի թենզորի բաղադրիչների կախումը լարման թենզորի բաղադրիչներից տրված E դաշտում: (9.9) հավասարման երրորդ անդամը պիեզոէրևույթի հետևանքով առաջացած բևեռացումն է (բազմապատկած 4π -ով):

$$P_i = d_{i,kl} \sigma_{kl} : \quad (9.11)$$

(9.10) հավասարման երկրորդ գումարելին դեֆորմացիայի թենզորում էլեկտրական դաշտով պայմանավորված ներդրումն է, որը նկարագրում է հակադարձ պիեզոէլեկտրական երևույթը: Այսպիսով՝ նույիղ, և հակադարձ պիեզոէլեկտրական երևույթները բնութագրվում են $d_{i,kl}$ թենզորի միջոցով:

Եթե որոշակի պայմաններում բյուրեղի դեֆորմացիան տեղի է ունենում տրված ինդուկցիայի դեպքում, կամ դիտարկվում է ինդուկցիայի վեկտորի բաղադրիչների կախումն էլեկտրական դաշտի լարվածությունից տրված դեֆորմացիայի դեպքում, ապա նշված մեծությունների միջև կապերում ε_{ik} և μ_{iklm} գործակիցների փոխարեն հանդես են գալիս նոր գործակիցներ, որոնք կարելի են արտահայտել ε_{ik} , μ_{iklm} և $d_{i,kl}$ գործակիցների միջոցով:

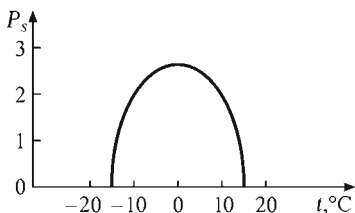
Պիեզոէլեկտրական նմուշում էլեկտրական դաշտը և լարումների դաշտը որոշվում են էլեկտրաստատիկայի և առաձգականության տեսության

$$\operatorname{div} \boldsymbol{D} = 0, \quad \operatorname{rot} \boldsymbol{E} = 0, \quad \frac{\partial \sigma_{ik}}{\partial x_k} = 0 \quad (9.12)$$

հիմնական հավասարումների համատեղ լրացումից՝ օգտագործելով (9.9) ու (9.10) «նյութական» հավասարումները և համապատասխան եզրային պայմանները:

§10. Սեգմետակեկտրականություն

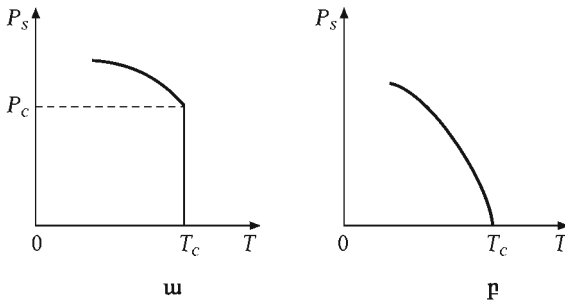
Որոշ դիէլեկտրական բյուրեղներ, որոնք դեֆորմացված չեն, ջերմաստիճանը փոփոխելիս որոշակի ջերմաստիճանում, որն ընդունված է անվանել Կյուրիի ջերմաստիճան՝ T_c , անցնում են նոր վիճակի, որը բնութագրվում է զրոյից տարբեր ինքնարեր քևեռացման ի հայտ գալով: Այսինքն՝ T_c ջերմաստիճանում նմուշը $\mathbf{P}_s = 0$ չըւեռացված, այսպիս կոչված «պարակելեկտրական» վիճակից անցնում է $\mathbf{P}_s \neq 0$ պիրուէլեկտրական վիճակի: Այդպիսի բյուրեղները կոչվում են սեգմետակեկտրիկներ:⁹ Սեծ թվով սեգմետակեկտրիկներում պիրուէլեկտրական վիճակն իրականանում է $T < T_c$ տիրույյուն (Աղյուսակ 22): Սակայն հայտնի են նաև այնպիսի սեգմետակեկտրիկներ, որոնք պիրուէլեկտրական վիճակում են ջերմաստիճանների միայն որոշակի տիրույյուն, որից դուրս, ինչպես ցածր, այնպես էլ բարձր ջերմաստիճաններում նրանք անցնում են պարակելեկտրական վիճակի (օրինակ՝ սեգմետյան աղը, նկ. 90):



Նկ. 90. Սեգմետյան աղի քևեռացման ջերմաստիճանից կախման զրաֆիկը.

P_s -ը տրված է մկգ/մ² միավորով:

⁹ Արտասահմանյան գրականության մեջ ընդունված է ֆեռուէլեկտրիկներ (ֆեռուէլեկտրականություն) անվանումը, որը պայմանավորված է ֆեռոմագնիսական նյութերում ինքնարեր մագնիսացման երևոյթի հետ առկա նմանությամբ:



Նկ. 91. ա. I կարգի և բ. II կարգի ֆազային անցումները սեղմետաէլեկտրիկներում

Եթե պարագելեկտրական վիճակից պիրուէլեկտրականին անցնելիս ինքնարեր թևեռացումը փոխվում է թոփչով (նկ. 91. ա), ապա տեղի ունի առաջին կարգի ֆազային անցում, իսկ եթե այն փոփոխվում է անընդհատ ձևով, ապա անցումը երկրորդ կարգի է (նկ. 91. բ):

Որոշ սեղմետաէլեկտրիկներ չունեն Կյուրիի ջերմաստիճան, քանի որ ջերմաստիճանը բարձրացնելիս հալվում են՝ ընդհուած մինչև հալման ջերմաստիճանը մնալով սեղմետաէլեկտրիկ:

Սեղմետաէլեկտրական նյութերը կարելի է բաժանել երկու հիմնական խմբի՝ ա. կարգավորմամբ բնորոշվող և բ. շեղմամբ բնորոշվող:

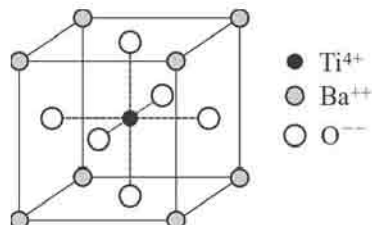
Առաջին խմբի նմուշներում անցումն պայմանավորված է իոնների կարգավորմամբ, իսկ երկրորդ խմբի նմուշներում՝ միմյանց նկատմամբ իոնային ենթացանցերի շեղմամբ:

Աղյուսակ 22. Որոշ սեղմետաէլեկտրիկների բնորոշագրեր

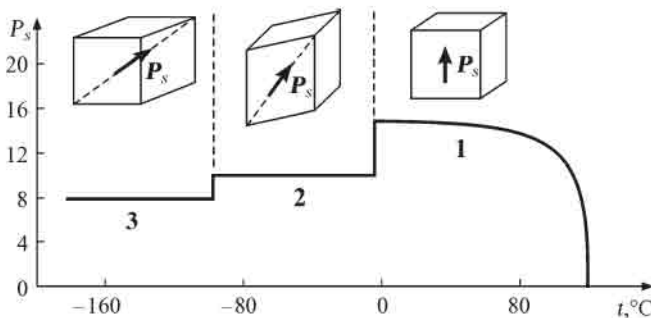
Բյուրեղ	T_c , Կ	P , մկՎ/սմ ²
Կալիումի դիիդրոֆոսֆատ (KH_2PO_4)	123	4,75
Կալիումի դիդեյտերիումֆոսֆատ (KD_2PO_4)	213	4,83
Ռուբիումի դիիդրոֆոսֆատ (RbH_2PO_4)	147	5,6
Ռուբիումի դիդեյտերիումֆոսֆատ (RbD_2PO_4)	218	—
Բարիումի տիտանատ (BaTiO_3)	393	26,0
Կապարի տիտանատ (PbTiO_3)	763	> 50
Կադմիումի տիտանատ (CdTiO_3)	55	—
Կալիումի նիորատ (KNbO_3)	708	30,0
Սեղմետյան աղ ($\text{NaKC}_4\text{H}_4\text{O}_6 \cdot 4\text{D}_2\text{O}$)	297 (max), 255 (min)	0,25

Առաջին խմբում են ջրածնային կապով բյուրեղները, որոնցում $P_s \neq 0$ քևոացումը կապված է ջրածնի խոնների տեղաշարժերի հետ: Եթե այս խմբի որոշ նյարերում ջրածնի խոնը՝ պրոտոնը, փոխարինվի դեյտերիումով (ծանր ջրածնով), ապա Կյուրիի ջերմաստիճանը գրեթե կը կնայալատվի (օրինակ՝ KH_2PO_4 -ի $T_c \approx 123$ Կ, իսկ KD_2PO_4 -ի $T_c \approx 213$ Կ, Այլուսակ 22):

Այսպիսի զգալի իզոտոպական շեղումը սովորաբար կապում են ջրածնի խոնի՝ մի քանի եավասարակշռական դիրքների միջև քվանտային բունելային անցման հնարավորության հետ:



Նկ. 92. Բարիտումի տիտանատի տարրական բջիջը յըևեացված վիճակում



Նկ. 93. Բարիտումի տիտանատի բյուրեղի ինքնարեր քևոացման կախումը ցերմաստիճանից. 1. բառակատային, 2. միարեր, 3. եռամկատային կառուցվածքների տիրապետությունը. P_s -ը տրված է մկգ / սմ² միավորում:

Սեգմենտակեկտրիկների երկրորդ խմբին են պատկանում պերովսկիտի (CaTiO_3) տիպի կառուցվածքը խոնային բյուրեղները (նկ. 92): Այդ խմբին պատկանող բարիտումի տիտանատի (BaTiO_3) բյուրեղն ունի խորանարդային կառուցվածք: Խորանարդի զագաքներում բարիտումի Ba^{++} խոններն են, նիստերի կենտրոններում բբվածները O^- խոնները, իսկ խորանարդի կենտրոնում՝ տիտանի Ti^{4+} խոնը: $T < T_c$ տիրույթում այս կառուցվածքը որոշ չափով դեմոր-

մացվում է՝ Ba^{++} և Ti^{4+} իոնները տեղաշարժվում են O^- իոնների նկատմամբ, որի հետևանքով տարրական քիչը ձեռք է բերում երկրսեռային մունենու: Զերմաստիճանի հետագա նվազմանը գուգընթաց 0°C -ին և ապա -90°C -ին մոտ զերմաստիճաններում BaTiO_3 բյուլեղը կրում է կառուցվածքային փոփոխություններ՝ քառակուսային կառուցվածքից անցնելով նախ միարեք, ապա եռանկյուն համակարգին պատկանող կառուցվածքի, որոնց համապատասխանում են ինքնարեք քենուացման վեկտորի տարրեր ուղղություններ (նկ. 93):

§11. Սեգմետակեկտրականության երևութաբանական տեսությունը

Ծանոթանանք սեգմետակեկտրականության երևութաբանական տեսությանը, որը ֆազային անցումների տեսության կոնկրետ կիրառության մի օրինակ է:

Օգտվենք Գիբսի G պոտենցիալի արտահայտությունից, որը, ի տարբերություն (9.3) բանաձևով տրվող $\Phi(T, \sigma_{ik}, E_i)$ զերմադիմակական պոտենցիալի, կախված է T, σ_{ik} և D_i անկախ փոփոխականներից

$$dG = -SdT - u_{ik}d\sigma_{ik} + \frac{1}{4\pi}E_idD_i: \quad (11.1)$$

Պարզության համար կենրադենք, որ $D_i = D$ ինդուկցիան ուղղված է այն բյուրեղագրական առանցքով, որով ուղղվում են ինքնարեք քենուացումը և կիրառվող էլեկտրական դաշտի լարվածությունը:

Կենրադենք նաև, որ մեխանիկական լարմաները բացակայում են, և չընենացած ֆազը կենտրոնահամաշափ է: Արված ենրադրությունների շրջանակներում Գիբսի պոտենցիալը կարելի է ներկայացնել բազմանդամի տեսքով՝

$$G = G(D, T, \sigma) \approx \frac{1}{4\pi} \left(\frac{\alpha}{2} D^2 + \frac{\gamma}{4} D^4 + \frac{\delta}{6} D^6 \right), \quad (11.2)$$

որը հաշվարկվում է պարակեկտրական վիճակում ունեցած արժեքից: α, γ և δ գործակիցներն ընդհանուր դեպքում կախված են զերմաստիճանից, ընդ որում՝ անհրաժեշտ է, որ $\delta > 0$, որպեսզի ապահովվի համակարգի վիճակի կայունությունը, եթե $D \rightarrow \infty$: (11.2) արտահայտության մեջ D -ի կենտ աստիճաններով անդամների բացակայությունն ապահովում է G պոտենցիալի անփոփոխությունը $D \rightarrow -D$ ձևափոխության նկատմամբ:

Սկզբում ուսումնասիրենք II կարգի ֆազային անցումները՝ $\gamma > 0$:

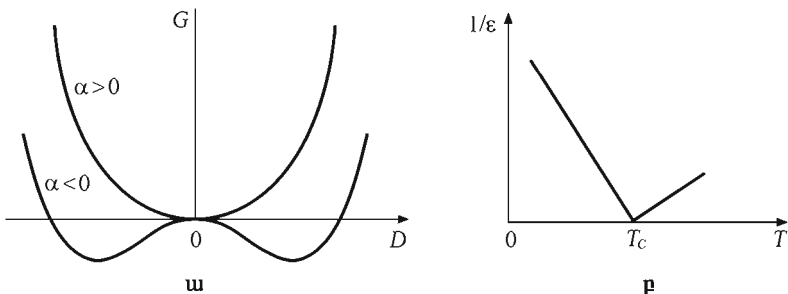
Եթե $\alpha > 0$, ապա G պոտենցիալը ումի միակ մինիմում $D = 0$ կետում, սակայն եթե $\alpha < 0$, ապա այն ընդունում է նվազագույն արժեք D -ի՝ գրոյից տարբեր արժեքների համար (նկ. 91. ա): Եթե $\alpha(T)$ գործակիցը, անընդհատ փոփոխակերպ, ընդունում է $(T_c$ -ում) գրոյական արժեք, ապա գործ ունենք II կարգի ֆազային անցումների հետ: Անցման T_c կետի շրջակայքում $\alpha(T)$ գործակիցը ներկայացնենք

$$\alpha = \beta(T - T_c) \quad (11.3)$$

տեսքով, որտեղ β -ն դրական հաստատուն է:

Կապը դաշտի լարվածության և ինդուկցիայի միջև, (11.1) և (11.2) առնչությունների համաձայն, տրվում է հետևյալ հավասարումով՝

$$E = 4\pi \left(\frac{\partial G}{\partial D} \right)_T = \alpha(T)D + \gamma D^3 + \delta D^5: \quad (11.4)$$



Նկ. 94. II կարգի ֆազային անցումներում.

ա. Գիրսի ջերմատիճամիկական պոտենցիալի կախումն ինդուկցիայից,
բ. դիէլեկտրական քավանցելիության հակադարձ մեծության կախումը
ցերմասպիճանից

Եթե $T \geq T_c$, ապա փոքր D -երի համար, արհամարհելով γD^3 և δD^5 անդամները, (11.4) հավասարումից կստանանք՝

$$D = \frac{E}{\alpha(T)} = \frac{E}{\beta(T - T_c)} \equiv \varepsilon E, \quad \varepsilon = \frac{1}{\beta(T - T_c)}: \quad (11.5)$$

Մասնավորապես, եթե $E = 0$, ապա $D = 0$, և, հետևաբար, նմուշի քենացումը՝ $P = 0$ (նկ. 91. ը):

Եթե $T \leq T_c$ և $E = 0$, ապա, նկատի ունենալով D -ի փոքր լինելու հանգամանքը՝ (11.4) հավասարումից կստանանք՝

$$D_0 \approx \left(-\frac{\alpha}{\gamma} \right)^{1/2} = \left(\frac{\beta}{\gamma} \right)^{1/2} (T_c - T)^{1/2}; \quad (11.6)$$

(11.6) արտահայտությունից հետևում է, որ այս դեպքում նմուշն օժտված է

$$P_s = \frac{1}{4\pi} D_0 = \frac{1}{4\pi} \left(\frac{\beta}{\gamma} \right)^{1/2} (T_c - T)^{1/2} \quad (11.7)$$

ինքնարեր բևեռացմամբ:

Քանի որ D և E մեծությունների միջև (11.4) հավասարությունը տրված կախումն ունի ոչ գծային բնույթ, ապա անհրաժեշտ է օգտվել դիֆերենցիալ դիէլեկտրական թափանցելիության սահմանումից՝

$$\varepsilon = \frac{dD}{dE}, \quad (11.8)$$

որը $D(E)$ գծային ֆունկցիայի դեպքում համընկնում է (11.1) սահմանման հետ: Այսպիսով՝ $E \rightarrow 0$ դեպքում (11.4), (11.6) և (11.8) առնչություններից պիրուէլեկտրական վիճակում սեզնետաէլեկտրիկի դիէլեկտրական թափանցելիության համար կստանանք՝

$$\varepsilon = \left(\frac{dD}{dE} \right)_{E=0} \approx \frac{1}{-\beta(T_c - T) + 3\gamma D_0^2} = \frac{1}{2\beta(T_c - T)} \quad (11.9)$$

արտահայտությունը, որտեղ հաշվի չի առնված $D_0^4 \sim (T_c - T)^2$ կարգի անդամը:

Ինչպես հետևում է (11.5) և (11.9) առնչություններից, դիէլեկտրական թափանցելիության հակադարձ մեծությունը պիրուէլեկտրական վիճակում երկու անգամ մեծ է, քան պարաէլեկտրական վիճակում (նկ. 94. ը):

Նմուշի էնտրոպիան պարաէլեկտրական և պիրուէլեկտրական ֆազերում ($E = 0$ դեպքում) ընդունում է հետևյալ արժեքները՝

$$S = \frac{\beta^2}{2\gamma} (T - T_c), \quad \text{եթե } T < T_c \quad \text{և} \quad S = 0, \quad \text{եթե } T > T_c: \quad (11.10)$$

Այսպիսով՝ էնտրոպիան, որպես ջերմաստիճանի ֆունկցիա, անընդհատ է $T = T_c$ կետում, ի տարբերություն ջերմունակության (քննարկվող դեպքում՝ հաստատուն $\sigma_{ik} = 0$ լարման համար), որը $T = T_c$ կետում ունի

$$\Delta C = \left(T \frac{\partial S}{\partial T} \right)_{T \leq T_c} - \left(T \frac{\partial S}{\partial T} \right)_{T \geq T_c} = \frac{\beta^2 T_c}{2\gamma} \quad (11.11)$$

Վերջավոր թոփք:

Այժմ անցնենք I կարգի ֆազային անցումների ուսումնասիրությանը սեղմնատակելելու համար բարեհանդիսական բյուրեղներում, եթե (11.2) արտահայտության մեջ γ գործակիցը բացասական է՝ $\gamma < 0$:

Այս դեպքում G պոտենցիալը կարող է ունենալ միևնույն նվազագույն արժեքն ինչպես $D = 0$, այնպես էլ $D = \pm D_s$ կետերում: Նորից կենքառնենք, որ $\alpha(T)$ գործակիցը կարելի է ներկայացնել

$$\alpha = \beta(T - T_0) \quad (11.12)$$

տեսքով, որտեղ T_0 -ն կոչվում է Կյուրի-Վեյսի ջերմաստիճան և հավասար չէ անցման T_c ջերմաստիճանին: Նշանակելով $\gamma' = -\gamma > 0$ ՝ (11.2) առնչությունից կստանանք՝

$$G = \frac{1}{4\pi} \left[\frac{\beta(T - T_0)}{2} D^2 - \frac{\gamma'}{4} D^4 + \frac{\delta}{6} D^6 \right], \quad (11.13)$$

որից բխում է վիճակի դիելեկտրական հավասարումը՝

$$E = 4\pi \left(\frac{\partial G}{\partial D} \right)_T = \beta(T - T_0)D - \gamma'D^3 + \delta D^5 : \quad (11.14)$$

G պոտենցիալի՝ D ինդուկցիայից կախման կորերը տարբեր ջերմաստիճաններում պատկերված են նկ. 95. ա-ում: Ակնհայտ է, որ I կարգի ֆազային անցում ($E = 0$ դաշտում) տեղի է ունենում, եթե G -ն և նրա I կարգի ածանցյալը միաժամանակ դառնում են զրո, այսինքն, եթե

$$\frac{\beta}{2}(T - T_0) - \frac{\gamma'}{4}D_0^2 + \frac{\delta}{6}D_0^4 = 0, \quad (11.15)$$

$$\beta(T - T_0) - \gamma'D_0^2 + \delta D_0^4 = 0 \quad (11.16)$$

հավասարումները բավարարվում են միաժամանակ:

(11.15) և (11.16) հավասարումներից անմիջապես հետևում է կապը T_0 և T_c ջերմաստիճանների միջև՝

$$T_c = T_0 + \frac{3}{16} \frac{\gamma'^2}{\beta\delta} : \quad (11.17)$$

(11.15) հավասարման մեջ տեղադրելով $T = T_c$ և օգտվելով (11.17) առնչությունից՝ ինքնաբերական բնուացման համար կատանամբ հետևյալ արտահայտությունը՝

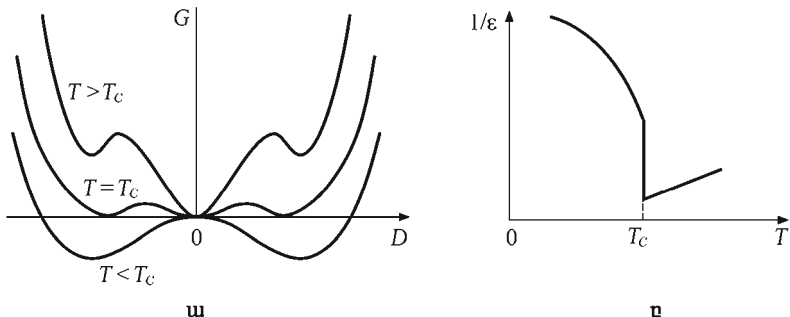
$$P_s = \frac{1}{4\pi} D_0, \quad \text{որտեղ } D_0^2 = \frac{3\gamma'}{4\delta}, \quad \text{եթե } T = T_c: \quad (11.18)$$

Հակադարձ դիէլեկտրական քափանցելիության համար $E = 0$ դեպքում (11.14) հավասարումից կատանամբ՝

$$\varepsilon^{-1} = \left(\frac{\partial E}{\partial D} \right)_{E=0} = \beta(T - T_0) - 3\gamma'D_0^2 + 5\delta D_0^4: \quad (11.19)$$

$$\text{Եթե } T > T_c, D_0 = 0 \quad \text{և} \quad \varepsilon^{-1} = \beta(T - T_0) \quad (11.20)$$

(նկ. 95. բ):



Նկ. 95. Իկարզի ֆազային անցումներում ա. Գիրսի ջերմադինամիկական պոտենցիալի կախումն ինդուկցիայից, բ. դիէլեկտրական քափանցելիության հակադարձ մեծության կախումը ջերմաստիճանից

Եթե $T \leq T_c$, $D_0(T)$ ֆունկցիան որոշելու համար անհրաժեշտ է լուծել (11.15) հավասարումը: Կատարենք նշանակում՝

$$\xi = T_c - T, \quad \xi \rightarrow 0, \quad (11.21)$$

ξ -ի գծային անդամների հաշվառումով (10.15) հավասարումից կատանամբ՝

$$D_0^2 \approx D_0^2(T_c) + \frac{2\beta}{\gamma'} \xi: \quad (10.22)$$

Ստացված արտահայտությունը տեղադրելով (11.19) առնչության մեջ և նկատի ունենալով (11.17) բանաձևը՝ հակադարձ դիէլեկտրական քափանցելիության համար կատանամբ՝

$$\frac{1}{\varepsilon} = \frac{3\gamma'^2}{4\delta} + 8\beta\xi = \frac{3\gamma'^2}{4\delta} + 8\beta(T_c - T), \quad T \rightarrow T_c^-, \quad (11.23)$$

որտեղ $T_c^-(T_c^+)$ -ը նշանակում է, որ $T \rightarrow T_c^-$ -ին՝ մնալով նրանից փոքր (մեծ):

Պարակելեկտրական ֆազում ε^{-1} -ի համար ստացված (11.20) արտահայտությունը կարելի է ներկայացնել

$$\frac{1}{\varepsilon} = \frac{3\gamma'^2}{16\delta} + \beta(T - T_c), \quad T \rightarrow T_c^+ \quad (11.24)$$

առաքով, որից հետևում է, որ $T = T_c$ կետում

$$\left(\frac{1}{\varepsilon}\right)_{T \rightarrow T_c^+} \equiv \left(\frac{1}{\varepsilon}\right)^+ = \frac{3}{16} \frac{\gamma'^2}{\delta} : \quad (11.25)$$

(11.23) արտահայտության համաձայն, եթե $T = T_c$,

$$\left(\frac{1}{\varepsilon}\right)_{T \rightarrow T_c^-} \equiv \left(\frac{1}{\varepsilon}\right)^- = \frac{3}{4} \frac{\gamma'^2}{\delta} = 4 \left(\frac{1}{\varepsilon}\right)^+ : \quad (11.26)$$

Այսպիսով, հակադարձ դիելեկտրական բափանցելիությունը T_c կետում ունի վերջավոր թոփք, իսկ նրան T_c անցման կետում ծախից ($T \rightarrow T_c^-$) և աջից ($T \rightarrow T_c^+$) տարված շոշափողներն ընդունում են

$$\frac{d}{dT} \left(\frac{1}{\varepsilon}\right)^- = -8\beta, \quad \frac{d}{dT} \left(\frac{1}{\varepsilon}\right)^+ = \beta \quad (11.27)$$

արժեքները (ճկ. 95. թ):

Սեգմետակելեկտրիկի բևեռացման թոփքածեւ փոփոխությունը T_c կետում բերում է էնտրոպիայի թոփքածեւ փոփոխության՝

$$\Delta S = -\frac{\beta}{2} D_0^2, \quad (11.28)$$

հետևաբար՝ անցման բաքնված ջերմությունը՝

$$T_c \Delta S = \frac{\beta}{2} T_c D_s^2 : \quad (11.29)$$

Ինչպես հետևում է ստացված արդյունքներից, անկախ ֆազային անցման կարգից՝ սեգմետակելեկտրիկի դիելեկտրական բափանցելիությունը անցման T_c կետին մոտենալիս շատ արագ աճում է: Համաձայն բազմաթիվ փորձերի՝ այն կարող է ընդունել մինչև 10^5 կարգի արժեքներ: Դիելեկտրա-

կան քափանցելիության այսպիսի վարքը հիշեցնում է «քևեռացման աղետը» (տես (4.4) բանաձևը): Մյուս կողմից, համաձայն Լիդեն-Սարս-Թելերի

$$\frac{\omega_T^2}{\omega_L^2} = \frac{\epsilon(\infty)}{\epsilon(0)} \quad (11.30)$$

բանաձևի, եթե ստատիկ դիէլեկտրական քափանցելիությունը ծգուում է անսահմանության (իրականում ընդունում է շատ մեծ արժեքներ), ապա լայնական օպտիկական տատանումների հաճախությունը՝ $\omega_T \rightarrow 0$ (ընդունում է շատ փոքր արժեքներ): Եթե $\omega_T \approx 0$, ապա տվյալ բյուրեղական կառուցվածքը դառնում է անկայուն, և նրանում տեղի են ունենում կառուցվածքային փոփոխություններ: Նշանակում է, որ $T < T_c$ դեպքում բյուրեղն ինքնարերաբար և անընդհատ դեֆորմացվում է, որի հետևանքով էլ առաջանում է քևեռացված վիճակ:

Մինչև այժմ քննարկումների ընթացքում ենթադրվել է, որ նմուշը, որի հետ գործ ունենք, համասեռ է և անվերջ մեծ: Իրական բյուրեղներին անցնելիս հարկավոր է նկատի ունենալ ինչպես նմուշի սահմանների, այնպես էլ նրանում տարրեր տիպի արատների առկայությունը:

Եթե նմուշն օժտված է զրոյից տարրեր քևեռացմամբ, ապա նրանից դուրս գոյություն ունի էլեկտրական ապարենոացնող դաշտ, որն օժտված է որոշակի էներգիայով: Էներգիական տեսակետից նպատակահարմար է, որ նմուշում առաջանան առանձին տիրույթներ (դրմեններ), որոնց քևեռացման վեկտորների գումարը լինի զրոյին մոտ, քանի որ այդ դեպքում ապարենոացնող դաշտը գործնականում կրացակայի: Դրմենների չափերը կախված են նմուշի չափերից, ինչպես նաև ջերմաստիճանից և $10^{-4} - 1$ սմ կարգի են: Տարրեր քևեռացմամբ դրմեններ միմյանցից բաժանված են այսպես կոչված դրմենային պատերով, որոնց հաստությունը ցանցի մի քանի հաստատունի կարգի է, և որոնք օժտված են էներգիայով: Նմուշը տվյալ պայմաններում դադարում է տրոհվել նոր դրմենների, եթե տրոհման հետևանքով ապարենոացման դաշտի էներգիայի փոքրացումը դառնում է նոր դրմենային պատ ստեղծելու համար անհրաժեշտ էներգիայի կարգի (դրմենների առաջացման, նրանց չափերի որոշման, դրմենային պատերի շարժման, հիստերեզիայի և նման այլ հարցերն ավելի հանգանակութեան շարադրված են զրի II մասում մազնիսականությանը նվիրված բաժնում):

Հավելված 1. Ֆիզիկական հաստատունների Աղյօնակ
 (ըստ X-Ray data Booklet, Lawrence Berkeley National Laboratory,
 Second edition, January 2001 գրքույթի)

Անձություն	Նշանակում	Թվային արժեք և միավոր (CGSE)
Էլեկտրոնի զանգված	m	$9,10938188(72) \cdot 10^{-28} \text{q}$
Տարրական լիցք	e	$4,80320420^{-19} \cdot 10^{-10} \text{CGSE}_q$
Պրոտոնի զանգված	M_p	$1,67262158(13) \cdot 10^{-24} \text{q}$
Լույսի արագություն	c	$2,99792458 \cdot 10^{10} \text{սմ/վ}$
Պահանջի հաստատուն	\hbar $\hbar = h/2\pi$	$6,62606876(52) \cdot 10^{-27} \text{էրգ}\cdot\text{Վ}$ $1,054571596(82) \cdot 10^{-27} \text{էրգ}\cdot\text{Վ}$
Ավոգադրոյի հաստատուն	N_A	$6,02214199(47) \cdot 10^{23} \text{մոլ}^{-1}$
Բոլցմանի հաստատուն	k_B	$1,3806503(24) \cdot 10^{-16} \text{էրգ}/\text{Կ}$
Նուրբ կառուցվածքի հաստատուն	$\alpha = e^2/\hbar c$	$1/137,03599976(50)$
Բորի շառավիղ	$a_B = \hbar^2/me^2$	$0,52917772083(19) \cdot 10^{-8} \text{սմ}$
Ռիդերզի հաստատուն	$Ry = me^4/2\hbar^2$	$13,60569172(53) (\text{էՎ})$
Բորի մագնիսոն	$\mu = e\hbar/2mc$	$0,927400(87) \cdot 10^{-20} \text{էրգ}/\text{Գս}$
1 էլեկտրոն-վոլտ	1 էՎ	$1,6021765 \cdot 10^{-12} \text{էրգ}$
	$1 \text{ էՎ}/\hbar$	$2,417989 \cdot 10^{14} \text{Հգ}$
	$1 \text{ էՎ}/hc$	$8,065554 \cdot 10^3 \text{ սմ}^{-1}$
	$1 \text{ էՎ}/k_B$	$1,16045 \cdot 10^4 \text{ Կ}$

Մաթեմատիկական հաստատուններ

$$\pi = 3,141592653589793, \quad e = 2,718281828459045$$

Հավելված 2. ՄԱԹԵՄԱՏԻԿԱԿԱՆ ԼՐԱՑՈՒՄՆԵՐ

I. Ինտեգրալների հաշվարկ Պուասոնի ինտեգրալի միջոցով

ա) Դասընթացում հանդիպող մի շաբթ ինտեգրալներ կարելի է հեշտությամբ հաշվել՝ իմանալով Պուասոնի ինտեգրալը՝

$$I_0(\alpha) = \int_{-\infty}^{\infty} e^{-\alpha x^2} dx, \quad \alpha > 0, \quad (2.1)$$

որը α պարամետրի ֆունկցիա է: $I_0(\alpha)$ ինտեգրալը կարելի է հաշվել հետևյալ ձևով: Գրենք $I_0(\alpha)$ ինտեգրալի քառակուսու արտահայտությունը՝

$$I_0^2(\alpha) = \int_{-\infty}^{\infty} e^{-\alpha x^2} dx \cdot \int_{-\infty}^{\infty} e^{-\alpha y^2} dy = \int_{-\infty}^{\infty} \int_{-\infty}^{\infty} e^{-\alpha(x^2+y^2)} dx dy : \quad (2.2)$$

(2.2) կրկնակի ինտեգրալում (x, y) փոփոխականներից անցնելով (ρ, ϕ) կոորդինատներին՝

$$x = \rho \cos \phi, \quad y = \rho \sin \phi, \quad dx dy = \rho d\rho d\phi ,$$

կստանանք՝

$$I_0^2(\alpha) = \int_0^{2\pi} d\phi \int_0^{\infty} \rho e^{-\alpha \rho^2} d\rho = \pi \int_0^{\infty} e^{-\alpha t} dt = \frac{\pi}{\alpha}, \quad I_0(\alpha) = \sqrt{\frac{\pi}{\alpha}} : \quad (2.3)$$

(2.1) արտահայտության ենթադրությամբ ֆունկցիան գույք է, ուստի

$$\int_0^{\infty} e^{-\alpha x^2} dx = \frac{1}{2} I_0(\alpha) = \frac{1}{2} \sqrt{\frac{\pi}{\alpha}} :$$

բ) Հաշվենք հետևյալ ինտեգրալը՝

$$I_{2n}(\alpha) = \int_{-\infty}^{\infty} x^{2n} e^{-\alpha x^2} dx = 2 \int_0^{\infty} x^{2n} e^{-\alpha x^2} dx, \quad (n = 0, 1, 2, \dots) : \quad (2.5)$$

Եթե $e^{-\alpha x^2}$ ֆունկցիան ածանցենք ըստ α պարամետրի, ապա կստանանք $e^{-\alpha x^2}$ ֆունկցիան՝ բազմապատկած $(-x^2)$ գործակցով: n անգամ ածանցելոց հետո կստանանք $(-1)^n x^{2n} e^{-\alpha x^2}$, այսինքն՝

$$\begin{aligned}
I_{2n}(\alpha) &= \int_{-\infty}^{\infty} x^{2n} e^{-\alpha x^2} dx = (-1)^n \frac{d^n}{d\alpha^n} \int_{-\infty}^{\infty} e^{-\alpha x^2} dx = \\
&= (-1)^n \frac{d^n I_0(\alpha)}{d\alpha^n} = (-1)^n \pi^{1/2} \frac{d^n}{d\alpha^n} (\alpha^{-1/2}) = \frac{(2n-1)!!}{(2\alpha)^n} \sqrt{\frac{\pi}{\alpha}} ;
\end{aligned} \tag{2.6}$$

Կենտ ցուցչի դեպքում զրոյից տարբեր է հետևյալ ինտեգրալը՝

$$\begin{aligned}
\tilde{I}_{2n+1}(\alpha) &= \int_0^{\infty} x^{2n+1} e^{-\alpha x^2} dx = (-1)^n \frac{d^n}{d\alpha^n} \int_0^{\infty} x e^{-\alpha x^2} dx = \\
&= \frac{1}{2} (-1)^n \frac{d^n}{d\alpha^n} \int_0^{\infty} e^{-\alpha t} dt = \frac{1}{2} (-1)^n \frac{d^n}{d\alpha^n} \frac{1}{\alpha} = \frac{n!}{2a^{n+1}} ;
\end{aligned} \tag{2.7}$$

(2.5) և (2.7) ինտեգրալները կարելի են ներկայացնել մեկ բանաձևով՝

$$\tilde{I}_k(\alpha) = \int_0^{\infty} x^k e^{-\alpha x^2} dx, \quad (k = 0, 1, 2, \dots) \tag{2.8}$$

որը $t = \alpha x^2$ փոփոխականի փոխարինումից հետո արտահայտվում է Էյլերի Γ -ֆունկցիայի միջոցով՝

$$\tilde{I}_k(\alpha) = \frac{1}{2\alpha^{(k+1)/2}} \Gamma\left(\frac{k+1}{2}\right) ; \tag{2.9}$$

$k = 0$ մասնավոր դեպքում, $\Gamma = \Gamma(1/2) = \sqrt{\pi}$, և ստացվում է (2.4) բանաձևը:

գ) ζ աշվենք հետևյալ ինտեգրալ՝

$$I_0(\alpha, \beta) = \int_{-\infty}^{\infty} e^{-\alpha x^2 + \beta x} dx, \quad \alpha > 0, \quad \beta - ն կամայական մեծություն է: \tag{2.10}$$

Ենթահնտեղրալային էքսպոնենտի ցուցիչում ստեղծենք լրիվ քառակուսի և անցնենք ինտեգրման նոր փոփոխականի՝

$$I_0(\alpha, \beta) = \int_{-\infty}^{\infty} e^{-\alpha \left(x - \frac{\beta}{2\alpha}\right)^2 + \frac{\beta^2}{4\alpha}} dx = \exp\left(\frac{\beta^2}{4\alpha}\right) \int_{-\infty}^{\infty} e^{-\alpha y^2} dy =$$

$$= \exp\left(\frac{\beta^2}{4\alpha}\right) I_0(\alpha) = \exp\left(\frac{\beta^2}{4\alpha}\right) \sqrt{\frac{\pi}{\alpha}} : \quad (2.11)$$

$I_0(\alpha, \beta)$ ինտեգրալի օգնությամբ կարելի է հաշվել նաև

$$I_k(\alpha, \beta) = \int_{-\infty}^{\infty} e^{-\alpha x^2 + \beta x} x^k dx, \quad (k = 1, 2, \dots) \quad (2.12)$$

ինտեգրալը: Այսպես՝

$$I_k(\alpha, \beta) = \frac{d^k}{d\beta^k} \int_{-\infty}^{\infty} e^{-\alpha x^2 + \beta x} x^k dx = \frac{d^k I_0(\alpha, \beta)}{d\beta^k} = \sqrt{\frac{\pi}{\alpha}} \frac{d^k}{d\beta^k} \exp\left(\frac{\beta^2}{4\alpha}\right) : \quad (2.13)$$

II. Յանցային գումարներ

Ըստ ուղիղ և հակադարձ ցանցերի հանգույցների որոշ գումարների հաշվարկման համար ոլլտարկեմք

$$\rho(\mathbf{r}) = \sum_l \delta(\mathbf{r} - \mathbf{l}) \quad (2.14)$$

պարբերական ֆունկցիան, որի միջոցով կարելի է ներկայացնել ցանցում զանգվածի, լիցքի կամ այլ մեծությունների բաշխումներ:

(2.14) ֆունկցիան ներկայացնենք Ֆուրիեի շարքի տեսքով՝

$$\rho(\mathbf{r}) = \sum_{\mathbf{g}} \rho_{\mathbf{g}} e^{i\mathbf{gr}}, \quad (2.15)$$

որտեղ ֆուրիե-գործակիցը՝

$$\rho_{\mathbf{g}} = \frac{1}{V} \int_V \rho(\mathbf{r}) e^{-i\mathbf{gr}} = \frac{1}{V} \sum_l \int_V \delta(\mathbf{r} - \mathbf{l}) e^{-i\mathbf{gr}} d\mathbf{r} = \frac{1}{V} \sum_l e^{-i\mathbf{gl}} = \frac{N}{V} = \frac{1}{v_0} \quad (2.16)$$

(2.14) – (2.16) բանաձևերից հետևում է ուղիղ և հակադարձ ցանցերով գումարների միջև նշանավոր կապը՝

$$\sum_l \delta(\mathbf{r} - \mathbf{l}) = \frac{1}{v_0} \sum_{\mathbf{g}} e^{-i\mathbf{gr}} : \quad (2.17)$$

Այժմ (2.17) առնչությունը բազմապատկենք $e^{-i\mathbf{kr}}$ արտադրիչով և ինտեգրենք բյուրեղի ծավալով՝

$$\sum_{\mathbf{g}} \int e^{i\mathbf{r}(\mathbf{g}-\mathbf{k})} d\mathbf{r} = v_0 \sum_{\mathbf{l}} \int e^{-i\mathbf{k}\mathbf{r}} \delta(\mathbf{r}-\mathbf{l}) d\mathbf{r} = v_0 \sum_{\mathbf{l}} e^{-i\mathbf{k}\mathbf{l}} : \quad (2.18)$$

Նկատի ունենալով I.7.26 առնչությունը՝ կստանանք.

$$\sum_{\mathbf{g}} \delta_{\mathbf{g}, \mathbf{k}} = \frac{v_0}{V} \sum_{\mathbf{l}} e^{-i\mathbf{k}\mathbf{l}} = \frac{1}{N} \sum_{\mathbf{l}} e^{-i\mathbf{k}\mathbf{l}} : \quad (2.19)$$

Զախ մասում գրված գումարը 0 է, եթե $\mathbf{k} \neq \mathbf{g}$ և հավասար է 1-ի, եթե $\mathbf{k} = \mathbf{g}$, որտեղ \mathbf{g} -ն հակադարձ ցանցի կամայական վեկտոր է: Այսպիսով՝

$$\frac{1}{N} \sum_{\mathbf{l}} e^{-i\mathbf{k}\mathbf{l}} \equiv \frac{1}{N} \sum_{\mathbf{l}} e^{i\mathbf{k}\mathbf{l}} = \delta_{\mathbf{k}, \mathbf{g}} : \quad (2.20)$$

(2.20) առնչությունը կարելի է ստանալ նաև ուղղակի հաշվարկի միջոցով: Ըստ \mathbf{l} վեկտորի գումարը կարելի է ներկայացնել հետևյալ տեսքով՝

$$\sum_{\mathbf{l}} e^{-i\mathbf{k}\mathbf{l}} = \sum_{l_1, l_2, l_3} e^{-il_1 \mathbf{k}a_1 - il_2 \mathbf{k}a_2 - il_3 \mathbf{k}a_3} : \quad (2.21)$$

\mathbf{k} վեկտորը փոփոխվում է հակադարձ տարածության մեջ, ուստի, օգտվելով III.7.7 բանաձևից, կստանանք՝

$$\mathbf{k}a_1 = \frac{2\pi p_1}{N_1}, \quad \mathbf{k}a_2 = \frac{2\pi p_2}{N_2}, \quad \mathbf{k}a_3 = \frac{2\pi p_3}{N_3} , \quad (2.22)$$

որտեղ p_1 -ը p_2 -ը և p_3 -ը կամայական ամբողջ թվեր են:

(2.21) գումարը երեք նույնատիպ գումարների արտադրյալ է: Հաշվենք դրանցից մեկը՝

$$\begin{aligned} \sum_{-N_1/2 \leq l_1 < N_1/2} e^{-il_1 \frac{2\pi p_1}{N_1}} &= \frac{e^{i\pi p_1} - e^{-i\pi p_1}}{1 - e^{-i\frac{2\pi p_1}{N_1}}} = \frac{\sin \pi p_1}{\sin \frac{\pi p_1}{N_1}} e^{i\frac{\pi p_1}{N_1}} = \\ &= \begin{cases} 0, & \text{եթե } p_1 \neq 0 \\ N_1, & \text{եթե } p_1 = 0 \end{cases} \equiv N_1 \delta_{p_1, 0} : \end{aligned} \quad (2.23)$$

Հետևաբար՝

$$\sum_{\mathbf{l}} e^{-i\mathbf{k}\mathbf{l}} = N_1 N_2 N_3 \delta_{p_1, 0} \delta_{p_2, 0} \delta_{p_3, 0} = N \delta_{\mathbf{k}, 0} :$$

Եթե $\mathbf{k} \rightarrow \mathbf{k} - \mathbf{g}$, ապա

$$\sum_l e^{-i(\mathbf{k}-\mathbf{g})l} = \sum_l e^{-ikl} = N\delta_{\mathbf{k}-\mathbf{g},0} \equiv N\delta_{\mathbf{k},\mathbf{g}};$$

Հավելված 3. ՍԱԴԵԼՈՒՆԳԻ ՀԱՍՏԱՏՈՒՆԻ ՀԱԾՎԱՐԿՍԱՆ ՄԵԹՈԴՆԵՐԸ

1. Մաղերունգի մեթոդ

Բյուրեղը մտովի բաժանվում է էլեկտրաչեղոք ուղղմերի և հարթությունների, որոնց ստեղծած պոտենցիալները, հեռավորությունից կախված, արագ նվազում են: Հետևաբար՝ դաշտը տվյալ կետում ստեղծվում է հիմնականում ոչ մեծ թվով ուղղմերով և (կամ) հարթություններով:

Դիտարկենք NaCl -ի տիպի կառուցվածքը և այն ներկայացնենք որպես չառանցքին զուգահեռ էլեկտրաչեղոք ուղղմերի համախումբ:

Նախ որոշենք $x = na$ կետերում տեղադրված e դրական լիցքերի և $-e/a$ ֆոնի ստեղծած դաշտի պոտենցիալը: Այսպիսի համակարգում լիցքի բաշխումը տրվում է

$$\rho(x, y, z) = \delta(y)\delta(z) \left[\sum_n e\delta(x-na) - \frac{e}{a} \right] \equiv \delta(y)\delta(z)\rho(x) \quad (3.1)$$

Ֆունկցիայով, որը բավարարում է էլեկտրաչեղոքության պայմանին՝

$$\int \rho(x, y, z) dx dy dz = \int_0^L \left[\sum_n e\delta(x-na) - \frac{e}{a} \right] dx = eN - \frac{e}{a}L = 0, \quad (3.2)$$

որտեղ N -ը տարրական (միաչափ) թղթմերի թիվն է, իսկ L -ը՝ ցանցի երկարությունն x ուղղությամբ: (3.1) արտահայտության համաձայն՝ լիցքի խոռոչությունը միաչափ պարբերական ֆունկցիա է, ուստի այն կարելի է ներկայացնել Ֆուրիեի միաչափ շարքի տեսքով, որի ֆուրիե-գործակիցները, I.7.11 բանաձևի համաձայն, տրվում են

$$\rho_g = \frac{1}{a} \int_0^a \rho(x) e^{-igx} dx = \frac{e}{a} (1 - \delta_{g,0}) \quad (3.3)$$

արտահայտությամբ, որտեղ $g = (2\pi/a)m$, $m = 0, \pm 1, \pm 2, \pm \dots$: Հետևաբար (3.1) ֆունկցիան կարելի է ներկայացնել

$$\rho(x, y, z) = \delta(y)\delta(z) \frac{e}{a} \sum_{m \neq 0} e^{\frac{i2\pi}{a}mx} \quad (3.4)$$

շարքի տեսքով: Օգտվելով Պուասոնի հավասարման լուծման ընդհանուր տեսքից և (3.4) արտահայտությունից՝ պոտենցիալի համար կստանանք՝

$$\phi(\mathbf{R}) = \int \frac{\rho(\mathbf{R}')}{|\mathbf{R} - \mathbf{R}'|} d\mathbf{R}' = \frac{e}{a} \sum_{m \neq 0} e^{\frac{i2\pi}{a}xm} \int_{-\infty}^{\infty} \frac{e^{\frac{i2\pi}{a}m(x'-x)}}{\sqrt{(x'-x)^2 + y^2 + z^2}} dx': \quad (3.5)$$

Վերջին ինտեգրալն արտահայտվում է Մակ-Ղոմալիի զրո կարգի ֆունկցիայի միջոցով, որի ինտեգրալային պատկերացումներից մեկն է՝

$$K_0(p) = \frac{1}{2} \int_{-\infty}^{\infty} \frac{e^{ipt}}{\sqrt{1+t^2}} dt, \quad p > 0 \quad (3.6)$$

արտահայտությունն է: (3.5) և (3.6) բանաձևերից հետևում է, որ

$$\phi(\mathbf{R}) = \frac{2e}{a} \sum_{m \neq 0} e^{\frac{i2\pi}{a}xm} K_0\left(\frac{2\pi}{a}|m|r\right), \quad (3.7)$$

որտեղ $r = \sqrt{y^2 + z^2}$ հեռավորությունն է «լարից»: Ինչպես հետևում է (3.7) բանաձևից և $K_0(p)$ -ի՝ $p \gg 1$ դեպքում ասիմպտոտական վարքից՝

$$K_0(p) \approx \sqrt{\frac{\pi}{2p}} e^{-p} \left(1 - \frac{1}{8p} + \frac{1}{14p^2} + \dots\right), \quad (3.8)$$

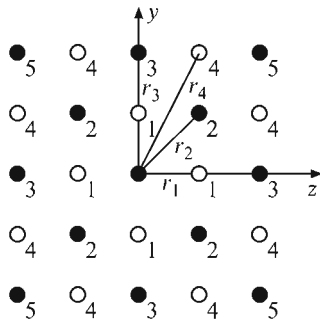
«լարից» հեռանալիս $\phi(\mathbf{R})$ ֆունկցիան նվազում է էքսպոնենտային օրենքով:

Իրարից $a/2$ հեռավորությամբ և իրար հաջորդող դրական ու բացասական իոններով «լարի» պոտենցիալը հավասար է (3.7) բանաձևով արվող երկու շարքերի գումարին, ընդ որում, եթե e լիցքը դրված է $x = 0$ կետում, ապա

$$\begin{aligned} \Phi(x, r) &= \phi(x, r) + \phi\left(x + \frac{a}{2}, r\right)_{e \rightarrow -e} = \\ &= \frac{2e}{a} \sum_{m \neq 0} e^{\frac{i2\pi}{a}xm} (1 - e^{itm}) K_0\left(\frac{2\pi}{a}|m|r\right): \end{aligned} \quad (3.9)$$

Միավորելով $\pm m$ անդամները և նկատի ունենալով, որ (3.9) արտահայտության մեջ ներդրում են տալիս միայն կենտ m -ով գումարելիները, կստանանք՝

$$\Phi(x, r) = \frac{8e}{a} \sum_{m=0}^{\infty} \cos \left[(2m+1) \frac{2\pi x}{a} \right] K_0 \left[\frac{2\pi}{a} (2m+1)r \right]: \quad (3.10)$$



Նկ. Հ1. Դրական և բացասական իոնների «լարերի» հատումները
yz հարթության հետ

Պոտենցիալը կորպինատների սկզբանակետում շրջապատի ուղիղների և 0 կետը պարունակող ուղղի ստեղծած պոտենցիալների գումարն է (նկ. Հ1, x առանցքն ուղղահայաց է գծագրի հարթությանը): «1» ուղղի (կա 4 այլպիսի ուղին) պոտենցիալը, (3.10) բանաձևի համաձայն, $\Phi(0, r_1)$ է ($r_1 = a/2$): «2» ուղղի (կա 6ույնպիսի 4 ուղիղ) պոտենցիալը $\Phi(a/2, r_2)$ է, ($r_2 = a/\sqrt{2}$), բանի որ «2» ուղիղն x առանցքի ուղղությամբ $\xi = a/2$ -ով շեղված է այս ուղղի մկանամբ, որի համար գրված է (3.10) արտահայտությունը: Նման ձևով տրվում են «3», «4» և այլ ուղիղների պոտենցիալները:

Նպատակահարմար է հաշվարկները ներկայացնել աղյուսակի ձևով (Այլուսակ Հ1): Հաշվարկներն էապես կիեշտանան, եթե (3.10) արտահայտության մեջ ըստ m -ի գումարում պահիվ միայն $m = 0$ գումարելին: Այս մուտավորությունը հիմնավորված է, քանի որ անգամ ամենամոտ՝ «1» ուղղի համար $m = 1$ և $m = 0$ գումարելիների հարաբերությունը՝

$$K_0 \left(\frac{2\pi}{a} 3 \frac{a}{2} \right) / K_0 \left(\frac{2\pi}{a} \frac{a}{2} \right) = \frac{K_0(3\pi)}{K_0(\pi)} \approx 10^{-3} :$$

Աղյուսակ Հ1.
Ներդրումների գնահատումներ

Ուղղի համարը	z	ξ	r	Ներդրումը պոտենցիալի մեջ	Ներդրման թվային արժեքը
0	1	0	0	$\frac{4e}{a} \ln 2$	$\frac{4e}{a} \cdot 0,6931$
1	4	0	$\frac{a}{2}$	$\approx 4 \cdot \frac{8e}{a} K_0(\pi)$	$4 \cdot \frac{8e}{a} \cdot 0,0295$
2	4	$\frac{a}{2}$	$\frac{a}{\sqrt{2}}$	$\approx -4 \cdot \frac{8e}{a} K_0(\pi\sqrt{2})$	$-4 \cdot \frac{8e}{a} \cdot 0,0068$
3	4	$\frac{a}{2}$	a	$\approx -4 \cdot \frac{8e}{a} K_0(2\pi)$	$-4 \cdot \frac{8e}{a} \cdot 0,0009$
4	8	0	$\frac{a\sqrt{5}}{2}$	$\approx 8 \cdot \frac{8e}{a} K_0(\pi\sqrt{5})$	$8 \cdot \frac{8e}{a} \cdot 0,0004$

Կոօրդինատների սկզբնակետով անցնող «0» ուղղի պոտենցիալը չի կարելի հաշվել (3.10) բանաձևով, քանի որ $y = z = 0$ կետում այն տարամիտում է՝ $K_0(x)_{x \rightarrow 0} \rightarrow -\infty$: Սակայն այդ ուղղի պոտենցիալը կարելի է հաշվել անմիջականորեն՝

$$\begin{aligned} \Phi_0(0) &= 2 \left(\frac{e}{a/2} - \frac{e}{2 \cdot a/2} + \frac{e}{3 \cdot a/2} - \frac{e}{4 \cdot a/2} + \dots \right) = \\ &= \frac{4e}{a} \left(1 - \frac{1}{2} + \frac{1}{3} - \frac{1}{4} + \dots \right) = \frac{4e}{a} \ln 2: \end{aligned} \quad (3.11)$$

Այս արտահայտության օգնությամբ կարելի է, ի դեպ, որոշել միաշափ իոնային բյուրեղի Մադելունգի հաստատումը՝

$$-e\Phi(0) = -\frac{e^2}{a/2} 2 \ln 2 = -\frac{e^2}{R} A, \quad A = 2 \ln 2: \quad (3.12)$$

Դիտարկվող մոտավորության շրջանակներում 0, 1, 2, 3 և 4 ուղիղների ստեղծած դաշտում $-e$ լիցքի էլեկտրաստատիկ էներգիան հավասար է Աղյուսակ Հ1-ի վերջին այունակում գրված ներդրումների գումարին՝ բազմապատկած ($-e$)-ով, այսինքն՝

$$\begin{aligned}
 u_{el} &\equiv -A \frac{e^2}{R} = -e \cdot \frac{8e}{a} (0,3465 + 0,1180 - 0,0272 - 0,0036 + 0,0032) = \\
 &= -\frac{e^2}{a/2} 1,7476 :
 \end{aligned} \tag{3.13}$$

Քանի որ $R = a/2$, ապա (3.13) արտահայտությունից կստանանք Մադելուն-զի հաստատումի համար հետևյալ արժեքը՝ $A = 1,7476$, որը շատ քիչ է տարբերվում $1,747565$ ճշգրիտ արժեքից:

Նշենք նաև, որ հաշվարկների ճշտությունը կարելի է մեծացնել առանց դժվարության՝ հաշվի առնելով 0 կետում պոտենցիալի արտահայտության մեջ նաև ավելի հեռվից ($r > a\sqrt{5}/2$) անցնող ուղիղների ներդրումը:

2. Էլեկտր մեթոդ

Ենթադրվում է, որ դրական կետային լիցքերը տեղադրված են ցանցի հանգույցներում, իսկ բացասական լիցքը բաշխված է համաստու, այնպես, որ ցանցի ամեն մի քջից էլեկտրաչեղոք է։ Քանի որ իննային բյուրեղները կազմված են դրական և բացասական իոնային ցանցերից, լրիվ պոտենցիալը հաշվելիս տարանուն ցանցերի համաստու բաշխված լիցքերն իրար համակշռում են, և արդյունքում մնում է դրական և բացասական իոնների ստեղծած դաշտը։

Հնտորված մոդելի շրջանակներում լիցքի խտությունը տրվում է հետևյալ պարբերական ֆունկցիայով՝

$$\rho(\mathbf{R}) = \sum_{\mathbf{l}} e \delta(\mathbf{R} - \mathbf{l}) - \frac{e}{v_0} , \tag{3.14}$$

որտեղ v_0 -ն տարրական քջի ծավալն է, գումարումը կատարվում է ըստ Բրավեի ցանցի հանգույցների։ $\rho(\mathbf{R})$ ֆունկցիան կարելի է ներկայացնել Ֆուրիեի շարքի տեսքով, որի գործակիցները՝

$$\rho_{\mathbf{g}} = \frac{1}{v_0} \int_{v_0} \rho(\mathbf{R}) e^{-i\mathbf{g}\mathbf{R}} d\mathbf{R} = \frac{1}{v_0} (1 - \delta_{\mathbf{g},0}) , \tag{3.15}$$

\mathbf{g} -ն հակադարձ ցանցի կամայական վեկտոր է։

Բյուրեղի պարբերականության հետևանքով ցանցի Փ(\mathbf{R}) պոտենցիալը նույնպես կարելի է ներկայացնել Ֆուրիեի շարքի տեսքով

$$\varphi(\mathbf{R}) = \sum_{\mathbf{g}} \varphi_{\mathbf{g}} e^{i\mathbf{g}\mathbf{R}}, \quad (3.16)$$

որի $\varphi_{\mathbf{g}}$ գործակիցները կապված են $\rho_{\mathbf{g}}$ գործակիցների հետ

$$\varphi_{\mathbf{g}} = \frac{4\pi}{g^2} \rho_{\mathbf{g}} \quad (3.17)$$

առնչությամբ, որն անմիջականորեն բխում է Պուասոնի հավասարությամբ: (3.15) – (3.17) բանաձևերից հետևում է պոտենցիալի

$$\varphi(\mathbf{R}) = \frac{4\pi e}{v_0} \sum_{\mathbf{g} \neq 0} \frac{1}{g^2} e^{i\mathbf{g}\mathbf{R}} \quad (3.18)$$

արտահայտությունը: Ստացված շարքը նույնքան վատ է գուգամիտում, որքան և կուլոնյան $1/|\mathbf{R}_i|$ անդամներով շարքը: Իրոք, եթե (3.18) բանաձևում մեծ $|\mathbf{g}|$ -երի համար գումարից անցնենք ինտեգրալի, ապա $|\mathbf{g}|$ և $|\mathbf{g}| + |\mathbf{d}\mathbf{g}|$ տիրույթում վիճակների թվի արտահայտության մեջ ծագող g^2 արտադրիչը կըրճատվի հայտարարի g^2 -ու հետ: Արդյունքում \mathbf{g} վեկտորի մեծացման հետ $\exp(i\mathbf{g}\mathbf{R})$ արտադրիչը փոփոխում է նշանը, սակայն նրա մեծությունը չի փոքրանում, հետևաբար շարքը չի գուգամիտում:

Հարքի գուգամիտությունը լավացնելու նպատակով $\delta(\mathbf{R})$ ֆունկցիան փոխարինենք գառայան բաշխման ֆունկցիայով՝

$$\delta(\mathbf{R}) \rightarrow \varepsilon^3 \pi^{-3/2} \exp(-\varepsilon^2 R^2), \quad (3.19)$$

որտեղ ε պարամետրը որոշում է կորի լայնությունը, իսկ $\varepsilon^3 \pi^{-3/2}$ գործակիցն ապահովում է նորմավորումը: (3.14) բանաձևում կատարենք (3.19) փոխարինումը և որոշենք լիցքի բաշխման «նոր»՝ $\rho^{\varepsilon}(\mathbf{R})$ ֆունկցիայի ֆուրիե-գործակիցները՝

$$\rho_{\mathbf{g}}^{\varepsilon} = \frac{1}{v_0} \int_{v_0} \rho^{\varepsilon}(\mathbf{R}) e^{-i\mathbf{g}\mathbf{R}} d\mathbf{R}: \quad (3.20)$$

(3.14) և (3.19) բանաձևերի համաձայն՝

$$\rho^{\varepsilon}(\mathbf{R}) = \sum_i e \varepsilon^3 \pi^{-3/2} \exp[-\varepsilon^2 (\mathbf{R} - \mathbf{l})^2] - \frac{e}{v_0}: \quad (3.21)$$

(3.21) բաշխումը տեղադրելով (3.20) արտահայտության մեջ՝ կստանանք.

$$\rho_{\mathbf{g}}^{\varepsilon} = \frac{e\varepsilon^3}{v_0\pi^{3/2}} I_{\mathbf{g}}^{\varepsilon} - \frac{e}{v_0} \delta_{\mathbf{g},0}, \quad (3.22)$$

որտեղ

$$I_{\mathbf{g}}^{\varepsilon} = \sum_{\mathbf{l}} \int_{v_0} e^{-i\mathbf{g}\mathbf{R} - \varepsilon^2(\mathbf{R}-\mathbf{l})^2} d\mathbf{R}: \quad (3.23)$$

Զևսի փոխանք (3.23) ինտեգրալը՝ նկատի ունենալով, որ $\exp(i\mathbf{g}\mathbf{l})=1$, ինչպես նաև տարրական բջջի v_0 ծավալով ինտեգրումից անցնենք բյուրեղի $V(\rightarrow\infty)$ ծավալով ինտեգրալ՝

$$\begin{aligned} I_{\mathbf{g}}^{\varepsilon} &= \sum_{\mathbf{l}} \int_{v_0} e^{-i\mathbf{g}(\mathbf{R}-\mathbf{l}) - \varepsilon^2(\mathbf{R}-\mathbf{l})^2} d\mathbf{R} = \int_{V(\rightarrow\infty)} e^{-i\mathbf{g}\mathbf{r} - \varepsilon^2 r^2} d\mathbf{r} = \\ &= \int_{V(\rightarrow\infty)} e^{-\varepsilon^2 \left(\mathbf{r} + i \frac{\mathbf{g}}{2\varepsilon^2} \right) - \frac{\mathbf{g}^2}{4\varepsilon^2}} d\mathbf{r} = e^{-\frac{\mathbf{g}^2}{4\varepsilon^2}} \int_{V(\rightarrow\infty)} e^{-\varepsilon^2 r^2} d\mathbf{r} = \end{aligned} \quad (3.24)$$

$$= 4\pi e^{-\frac{\mathbf{g}^2}{4\varepsilon^2}} \int_0^\infty r^2 e^{-\varepsilon^2 r^2} dr = 4\pi e^{-\frac{\mathbf{g}^2}{4\varepsilon^2}} \left[-\frac{d}{d\varepsilon^2} \frac{1}{2} I_0(\varepsilon^2) \right] = \pi^{3/2} \varepsilon^{-3} e^{-\frac{\mathbf{g}^2}{4\varepsilon^2}}:$$

(3.24) և (3.22) արտահայտություններից հետևում է, որ

$$\rho_{\mathbf{g}}^{\varepsilon} = \frac{e}{v_0} \left(e^{-\mathbf{g}^2/4\varepsilon^2} - \delta_{\mathbf{g},0} \right): \quad (3.25)$$

(3.17) և (3.25) բանաձևերի օգնությամբ կստանանք՝

$$\varphi_{\varepsilon}^{(1)}(\mathbf{R}) = \frac{4\pi e}{v_0} \sum_{\mathbf{g} \neq 0} \frac{1}{g^2} e^{-\mathbf{g}^2/4\varepsilon^2 + i\mathbf{g}\mathbf{R}}: \quad (3.26)$$

Այսպիսով՝ զառայան բաշխումով դրական լիցքի և բացասական համաստեղի ստեղծած դաշտի պրոտենցիալը, շնորհիվ $\exp(-\mathbf{g}^2/4\varepsilon^2)$ արտադրիչի, շատ արագ գուգամիտում է:

Սակայն (3.26) արտահայտությունը չի համապատասխանում իրականությանը, քանի որ անիրածեցն է որոշել կետային դրական լիցքերի և բացասական ֆոնի դաշտը. Դրա համար ձևափոխենք (3.26) արտահայտությունը՝ գումարելով նրան ցանցի հանգույցներում տեղադրված դրական կետա-

յին լիցքերի և գառւսյան բաշխումով բացասական լիցքերի ստեղծած պրտենցիալը: Վերջինս հաճակշռում է գառւսյան բաշխումով դրական լիցքերի պրտենցիալը (նկ. Հ2):

Որոշներ դրական կետային լիցքերի և գառւսյան բաշխումով բացասական լիցքերի խոռոչյան՝

$$\rho_{\varepsilon}^{(2)}(\mathbf{R}) = e \sum_{\mathbf{l}} \delta(\mathbf{R} - \mathbf{l}) - e \pi^{-3/2} \varepsilon^3 \sum_{\mathbf{l}} e^{-\varepsilon^2 (\mathbf{R}-\mathbf{l})^2} \quad (3.27)$$

ստեղծած $\phi_{\varepsilon}^{(2)}(\mathbf{R})$ պրտենցիալը: (3.27) բաշխումը տեղադրելով Պուասոնի հավասարման լուծման՝

$$\phi_{\varepsilon}^{(2)}(\mathbf{R}) = \int \frac{\rho(\mathbf{R}')}{|\mathbf{R} - \mathbf{R}'|} d\mathbf{R}' \quad (3.28)$$

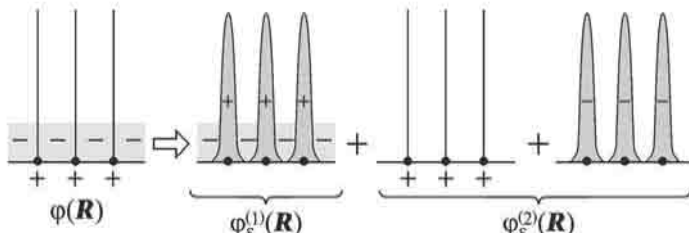
արտահայտության մեջ և հաշվելով ի հայտ եկող ինտեգրալները (տես Հավելված 2)՝ կստանանք՝

$$\phi_{\varepsilon}^{(2)}(\mathbf{R}) = \sum_{\mathbf{l}} \frac{e}{|\mathbf{l} - \mathbf{R}|} \operatorname{erfc}(\varepsilon |\mathbf{l} - \mathbf{R}|), \quad (3.29)$$

որտեղ

$$\operatorname{erfc} x = 1 - \operatorname{erf} x = 1 - \frac{2}{\sqrt{\pi}} \int_0^x e^{-t^2} dt \quad (3.30)$$

արտահայտությունը սխալների լրացուցիչ ֆունկցիան է, իսկ $\operatorname{erf} x$ -ը՝ սխալների ֆունկցիան:



Նկ. Հ2. Դրական իոնների և բացասական ֆոնի ստեղծած դաշտի ներկայացումը երկու պրտենցիալների գումարի տեսքով

Կազմենք $\varphi_{\varepsilon}^{(1)}$ և $\varphi_{\varepsilon}^{(2)}$ ֆունկցիաների գումարը և որոշենք նրա ածանցյալն ըստ ε պարամետրի: (3.26) և (3.29) բանաձևերից ստացվում է

$$\frac{d\varphi_{\varepsilon}^{(1)}}{d\varepsilon} + \frac{d\varphi_{\varepsilon}^{(2)}}{d\varepsilon} = -\frac{2\pi e}{\varepsilon^3 v_0}$$

արտահայտությունը, որը կարելի է ներկայացնել հետևյալ տեսքով՝

$$\frac{d}{d\varepsilon} \left(\varphi_{\varepsilon}^{(1)} + \varphi_{\varepsilon}^{(2)} - \frac{\pi e}{\varepsilon^2 v_0} \right) = 0: \quad (3.31)$$

Այս առնչությունից հետևում է, որ

$$\Phi(\mathbf{R}) = \varphi_{\varepsilon}^{(1)}(\mathbf{R}) + \varphi_{\varepsilon}^{(2)}(\mathbf{R}) - \frac{\pi e}{\varepsilon^2 v_0} \quad (3.32)$$

ֆունկցիան կախված չէ ε կամայական պարամետրից, ուստի հենց այն էլ ներկայացնում է խնդրի լուծումը:

Այսպիսով՝ դրական կետային լիցքերի (իոնների) և բացասական համաս্তու ֆոնի դաշտի պոտենցիալը՝

$$\begin{aligned} \Phi^+(\mathbf{R}) &= \frac{4\pi e}{v_0} \sum_{g \neq 0} \frac{1}{g^2} e^{-g^2/4\varepsilon^2 + 4g\mathbf{R}} + \\ &+ \sum_l \frac{e}{|\mathbf{l} - \mathbf{R}|} \operatorname{erfc}(\varepsilon |\mathbf{l} - \mathbf{R}|) - \frac{\pi e}{\varepsilon^2 v_0}: \end{aligned} \quad (3.33)$$

Եթե $\varepsilon \rightarrow \infty$, (3.33) արտահայտությունից ստացվում է (3.18) բանաձևը:

Այժմ որոշենք ցանցի պոտենցիալը որևէ իոնի տեղում, որտեղ դաշտը եզակիություն ունի՝ պայմանավորված տվյալ իոնի $e/|\mathbf{R}|$ պոտենցիալով, ուստի ցանցի մյուս բոլոր իոնների ստեղծած դաշտը $\mathbf{R} = 0$ կետում

$$\begin{aligned} \Phi^+(0) &= \lim_{R \rightarrow 0} \left[\Phi^+(\mathbf{R}) - \frac{e}{|\mathbf{R}|} \right] = \frac{4\pi e}{v_0} \sum_{g \neq 0} \frac{1}{g^2} e^{-g^2/4\varepsilon^2} + \\ &+ \sum_{l \neq 0} \frac{e}{|\mathbf{l} - \mathbf{R}|} \operatorname{erfc}(\varepsilon |\mathbf{l} - \mathbf{R}|) - \frac{\pi e}{\varepsilon^2 v_0} + e \lim_{R \rightarrow 0} \left[\frac{1}{R} \operatorname{erfc}(\varepsilon R) - \frac{1}{R} \right]: \end{aligned} \quad (3.34)$$

$x \ll 1$ տիրույթում

$$\operatorname{erfc} x \approx 1 - \frac{2}{\sqrt{\pi}} x + \frac{2}{3\sqrt{\pi}} x^3 + \dots, \quad (3.35)$$

ուստի

$$\lim_{R \rightarrow 0} \left[\frac{1}{R} \operatorname{erfc}(\varepsilon R) - \frac{1}{R} \right] = -\frac{2\varepsilon}{\sqrt{\pi}}: \quad (3.36)$$

Այսպիսով՝ ցանցի սեփական պոտենցիալի համար կատանանք հետևյալ վերջնական արտահայտությունը՝

$$\Phi^+(0) = \frac{4\pi e}{v_0} \sum_{g \neq 0} \frac{1}{g^2} e^{-g^2/4\varepsilon^2} + \sum_{l \neq 0} \frac{e}{|l|} \operatorname{erfc}(\varepsilon |l|) - \frac{2\varepsilon e}{\sqrt{\pi}} - \frac{\pi e}{\varepsilon^2 v_0}: \quad (3.37)$$

Յուրաքանչյուր իոնային բյուրեղ կազմված է մի քանի պարզ ցանցերից, ուստի էլեկտրաստատիկ պոտենցիալը հավասար կլինի բոլոր պարզ ցանցերի ստեղծած պոտենցիալների գումարին՝

$$\Psi(\mathbf{R}) = \sum_{i=1}^s \Phi_i(\mathbf{R} - \mathbf{R}_i), \quad (3.38)$$

որտեղ s -ը տարրական քջում իոնների թիվն է: Մեկ տարրական քջին բաժին ընկնող էլեկտրաստատիկ էներգիան՝

$$u_{el} = \frac{1}{2} \sum_{i=1}^s e_j \Psi(\mathbf{R}_j) = \frac{1}{2} \sum_{i=1}^s e_j \Phi_j(0) + \frac{1}{2} \sum_{i,j, i \neq j}^s e_j \Phi_i(\mathbf{R}_i - \mathbf{R}_j): \quad (3.39)$$

Սահմանավորապես, երկու պարզ ցանցերից բաղկացած իոնային բյուրեղների (օրինակ՝ NaCl , CsCl և այլն) դեպքում

$$\begin{aligned} e_1 &= -e_2 = e, \quad \Phi_1(\mathbf{R}) \equiv \Phi^+(\mathbf{R}), \\ \Phi_2(\mathbf{R}) &\equiv \Phi^-(\mathbf{R}) = \Phi^+(\mathbf{R}) \Big|_{e \rightarrow -e} = -\Phi^+(\mathbf{R}), \end{aligned}$$

և (3.39) ընդհանուր արտահայտությունից հետևում է, որ

$$u_{el} = e [\Phi^+(0) - \Phi^-(\mathbf{R}_-)], \quad (3.40)$$

որտեղ ենթադրվում է, որ ոլորտական իոնը $\mathbf{R}_1 = 0$, իսկ բացասական իոնը՝ $\mathbf{R}_2 \equiv \mathbf{R}_-$ կետում է:

(3.40) բանաձևում տեղադրելով (3.37) և (3.38) արտահայտությունները և արդյունքը հավասարեցնելով Մադելունգի՝ $-e^2 A / R_0$ էներգիային՝ կստանանք Մադելունգի հաստատումի արտահայտությունը՝

$$A = \frac{2\varepsilon R_0}{\sqrt{\pi}} - \sum_{l \neq 0} \frac{R_0}{|\mathbf{l} - \mathbf{R}_-|} \operatorname{erfc}(\varepsilon |\mathbf{l} - \mathbf{R}_-|) + \sum_{l \neq 0} \frac{R_0}{|\mathbf{l}|} \operatorname{erfc}(\varepsilon |\mathbf{l}|) - \\ - \frac{R_0}{\pi v_0} \sum_{b \neq 0} \frac{1}{b^2} \exp\left(-\frac{\pi^2 b^2}{\varepsilon^2}\right) [1 - \exp(2\pi i b \mathbf{R})], \quad (3.41)$$

որտեղ $\mathbf{b} = \mathbf{g}/2\pi$, իսկ գումարումները կատարվում են ըստ ուղիղ և հակադարձ ցանցերի հանգույցների:

(3.41) արտահայտությունը կարելի է ներկայացնել ավելի հարմար տեսքով, եթե նշված գումարումները կատարվեն կոորդինացիոն գնդոլորտներով։ Եթե N_s -ով նշանակենք ուղիղ ցանցում R_s շառավիճակը գնդոլորտի վրա որոշակի նշանով իտնների թիվը ($\mu_s = 1$ դրական, $\mu_s = -1$ բացասական լիցքերի համար), v_s -ով՝ հակադարձ ցանցում b_s շառավիճակը գնդոլորտի վրա հանգույցների թիվը, ինչպես նաև $\kappa_s = \mathbf{b} \cdot \mathbf{R}_-$, ապա կստանանք՝

$$A = \frac{2\varepsilon R_0}{\sqrt{\pi}} - R_0 \sum_{s=1}^{\infty} \frac{1}{R_s} \mu_s N_s \operatorname{erfc}(\varepsilon R_s) - \\ - \frac{R_0}{\pi v_0} \sum_{s=1}^{\infty} \frac{v_s}{b_s^2} e^{-\pi^2 b_s^2 / \varepsilon^2} (1 - e^{i2\pi k_s}): \quad (3.42)$$

Այժմ պարզենք, թե ինչպես է լավագույն ձևով որոշվում դեռևս կամայական ε պարամետրը։ (3.33) բանաձևի համաձայն, եթե ε -ն աճում է, ուղիղ ցանցով գումարի գուգամիտությունն արագանում է, իսկ հակադարձ ցանցով գումարինը՝ դանդաղում։ ε -ը նվազելիս դիտվում է հակառակ վարքը։

Ֆիզիկական դաստիճություններից ակնհայտ է, որ $\Phi^+(0) < 0$ և կախված չէ ε -ից։ Հետևաբար, որքան փոքր է բացարձակ արժեքով (3.37) բանաձևում վերջին երկու անդամների գումարը, այնքան փոքր է անվերջ գումարների ներդրումը։ Նշված գումարը նվազագույնն է, եթե

$$\frac{d}{d\varepsilon} \left(\frac{2\varepsilon}{\sqrt{\pi}} + \frac{\pi}{\varepsilon^2 v_0} \right) = 0 \quad \text{կամ } \varepsilon_{\min} = \frac{\pi^{1/2}}{v_0^{1/3}} : \quad (3.43)$$

ε -ը կարելի է ընտրել նաև այլ կերպ. օրինակ՝ այն պայմանից, որ ուղիղ և հակադարձ ցանցերով շարքերում էքսպոնենտները լինեն իրար հավասար՝

$$\exp\left(-\frac{\pi^2}{\varepsilon^2 R_0^2}\right) = \exp(-\varepsilon^2 R_0^2), \quad \text{կամ } \varepsilon = \frac{\pi^{1/2}}{R_0}. \quad (3.44)$$

Սաղելունզի հաստատունի հաշվարկի ընթացքն ուսումնասիրենք **NaCl**-ի օրինակի վրա: Ենչպես դրական, այնպես էլ բացասական իոնները կազմում են նիստակենտրոն խորանարդային ցանցեր, որոնք իրար նկատմամբ շեղված են $\mathbf{R}_-(R_0, 0, 0)$ վեկտորով: Ուղիղ ցանցը տրվում է (տես I. 3.16) $\mathbf{c}_1(0, R_0, R_0)$, $\mathbf{c}_2(R_0, 0, R_0)$, $\mathbf{c}_3(R_0, R_0, 0)$ իիմնական վեկտորներով, իսկ հակադարձ (ծավալակենտրոն խորանարդային) ցանցը՝ (տես I.9.10) $\mathbf{b}_1(-1/2R_0, 1/2R_0, 1/2R_0)$, $\mathbf{b}_2(1/2R_0, -1/2R_0, 1/2R_0)$, $\mathbf{b}_3(1/2R_0, 1/2R_0, -1/2R_0)$ իիմնական վեկտորներով: $\kappa_s = \mathbf{b}\mathbf{R} = b_x R_0 = (-n_1 + n_2 + n_3)/2$, տարրական քջի ծավալը՝ $v_0 = 2R_0^3$, հետևաբար՝ (3.42) արտահայտության վերջին անդամում ներդրում են տակա միայն կենտ կոորդինացիոն գնդուրտները, որոնց համար $1 - \exp(2\pi i \kappa_s) = 1 - \exp[i\pi(-n_1 + n_2 + n_3)] = 2$:

(3.43) պայմանից ստացվում է $\varepsilon = \text{փականական}$

$$\varepsilon_{\min} = \frac{\pi^{1/2}}{2^{1/3} R_0} \approx \frac{1,4068}{R_0}: \quad (3.45)$$

(3.42) արտահայտության մեջ անցնելով չափայնություն չունեցող մեծությունների՝

$$\varepsilon R_0 \rightarrow \varepsilon = 1,4068, \quad R_s/R_0 \rightarrow R_s, \quad b_s R_0 \rightarrow b_s,$$

կստանանք՝

$$A = \frac{2\varepsilon}{\sqrt{\pi}} - \sum_{s=1}^{\infty} \frac{\mu_s N_s}{R_s} \operatorname{erfc}(\varepsilon R_s) - \frac{1}{\pi} \sum_{s=1}^{\infty} \frac{v_s}{b_s^2} \exp\left(-\frac{\pi^2 b_s^2}{\varepsilon^2}\right): \quad (3.46)$$

Քանի որ դրական իոնը $R_1 = 0$ կետում է, ապա բացասական իոնների կոորդինատները խորանարդային առանցքներով տրվում են ամբողջ թվերով, որոնց գումարը կենտ է: Որպեսզի հաշվենք $R_s = (n_1^2 + n_2^2 + n_3^2)^{1/2}$ շառավղով կոորդինացիոն գնդուրտի վրա բոլոր կետերը, անհրաժեշտ է գտնել $\pm n_1 \pm n_2 \pm n_3$ ($n_1, n_2, n_3 \geq 0$) թվերի տարրեր գուգորդությունների թիվը:

Աղյուսակ Հ2.

*(n_1, n_2, n_3), R_s և N_s մեծությունները
(I-V կորդինացիոն գնդոլորտների համար)*

s	Բացասական իոններ՝ $\mu_s = -1$					Դրական իոններ՝ $\mu_s = +1$				
	n_1	n_2	n_3	R_s	N_s	n_1	n_2	n_3	R_s	N_s
1	± 1	0	0	$1^{1/2}$	6	± 1	± 1	0	$2^{1/2}$	12
2	± 1	± 1	± 1	$3^{1/2}$	8	± 2	0	0	$4^{1/2}$	6
3	± 2	± 1	0	$5^{1/2}$	24	± 2	± 1	± 1	$6^{1/2}$	24
4	± 2	± 2	± 1	$9^{1/2}$	24	± 2	± 2	0	$8^{1/2}$	12
	± 3	0	0	$9^{1/2}$	6					
5	± 3	± 1	± 1	$11^{1/2}$	24	± 3	± 1	0	$10^{1/2}$	24

Աղյուսակ Հ2-ում բերված են առաջին հինգ կորդինացիոն գնդոլորտների համար (n_1, n_2, n_3), R_s և N_s մեծությունները դրական ու բացասական իոնների համար:

Հարկ է նշել, որ $s = 4$, $\mu_s = -1$ դեպքում ուղիղ ցանցով կատարվող գումարում պետք է վերցնել $N_s = 24 + 6 = 30$: Մինչև անգամ մեծ ճշտությամբ հաշվարկներում բավական է հաշվի առնել երկու կորդինացիոն գնդոլորտ հակադարձ տարածության մեջ և երեք-չորս կորդինացիոն գնդոլորտ՝ ուղիղ ցանցում: Նշված մոտավորությամբ Մադելունգի հաստատումի համար ստացվում է $A = 1,7475645946$ արժեքը:

ԳՐԱԿԱՆՈՒԹՅՈՒՆ

Ընդհանուր գրականություն

1. Ч. Киттель. Введение в физику твердого тела. М., Наука, 1978.
2. Дж. Займан. Принципы теории твердого тела. М., Мир, 1974.
3. Н. Ашкрофт, Н. Мермин. Физика твердого тела (тт. I, II). М., Мир, 1979.
4. А. И. Ансельм. Введение в теорию полупроводников. М., Наука, 1978.
5. Дж. Блейкмор. Физика твердого тела. М., Мир, 1988.
6. Ч. Киттель. Элементарная теория твердого тела. М., Наука, 1978
7. Ч. Уерт, Р. Томсон. Физика твердого тела. М., Мир, 1966.
8. Дж. Най. Физические свойства кристаллов и их описание при помощи тензоров и матриц. М., ИЛ, 1970.
9. Г. С. Жданов. Физика твердого тела. М., Изд. Московского университета, 1961.
10. Л. Д. Ландау, Е. М. Лифшиц. Статистическая физика, ч. I. М., Наука, 1976.
11. Л. Д. Ландау, Е. М. Лифшиц. Квантовая механика. М., ФМЛ, 1963.
12. Р. Кубо. Статистическая механика. М., Мир, 1967.
13. Таблицы физических величин. Справочник, под ред. акад. И. К. Кикоина. М., Атомиздат, 1976.
14. Ch. Kittel. Introduction to Solid State Physics, 8th ed., Wiley, 2004.
15. G. Grossi, G. Pastori Parravicini. Solid State Physics, 2nd ed., Academic press is an imprint of Elsevier, 2013.
16. Ph. Hofmann. Solid State Physics. An introduction, Wiley-VCH, 2008
17. H. C. Gupta. Solid State Physics. Vikas Publ. House, PVT Ltd. 2nd revised and enlarged ed., 2001.
18. R. I. Turton. The Physics of Solids. Oxford University Press, 2000.
19. H. Ibach, H. Lüth. Solid-State Physics. 4th extensively updated and enlarged ed., Springer, 2009.
20. I. D. Patterson, B. C. Bailey. Solid-State Physics. Introduction to the Theory, Springer, 2007.

I զիսի գրականություն

1. Պ. Հ. Քեղլքաբյան, Ռենտգենյան հետազոտությունների ֆիզիկական հիմունքները, Երևան, ԵՊՀ հրատ., 1977.
2. М. П. Шаскольская. Очерки о свойствах кристаллов. М., Наука, 1978.
3. Е. Е. Флинт. Начала кристаллографии. М., Высш. школа, 1961.
4. Р. Джеймс. Оптические принципы дифракции рентгеновских лучей. М., ИЛ, 1950.

II զիսի գրականություն

1. Дж. Гиршфельдер, Ч. Кертисс, Р. Берд. Молекулярная теория газов и жидкостей. М., ИЛ, 1961.
2. В. Хабердитцл. Строение материи и химическая связь. М., Мир, 1974.
3. Дж. Слэтер. Диэлектрики, полупроводники, металлы. М., Мир, 1969.
4. П. П. Павинский. Введение в теорию твердого тела. Изд. Ленинградского университета, 1979.
5. Г. Лейбфриդ. Микроскопическая теория механических и тепловых свойств кристаллов. М., ФМЛ, 1963.

6. А. А. Левин. Введение в квантовую химию твердого тела. М., Химия, 1974.
7. Дж. Маррел, С. Кеттл, Дж. Теддер. Химическая связь. М., Мир, 1980.

III құжіғ өршілшілікпісі

1. Л. Бриллюэн, М. Пароди. Распространение волн в периодических структурах. М., ИЛ, 1959.
2. М. Борн, Х. Кунь. Динамическая теория кристаллических решеток. М., ИЛ, 1958.
3. Р. Пайерлс. Квантовая теория твердых тел. М., ИЛ, 1956.
4. А. Марадудин, Э. Монтроль, Дж. Вейсс. Динамическая теория кристаллической решетки в гармоническом приближении. М., Мир, 1965.
5. А. М. Косевич. Физическая механика реальных кристаллов. Киев, Наукова думка, 1981.
6. Л. Д. Ландау, Е. М. Лифшиц. Механика. М., Наука, 1988.

IV құжіғ өршілшілікпісі

1. Г. Лейбфрид. Микроскопическая теория механических и тепловых свойств кристаллов. М., ФМЛ, 1963.
2. Дж. Слэтер. Диэлектрики, полупроводники, металлы. М., Мир, 1969.
3. Л. Жирифалько. Статистическая физика твердого тела. М., Мир, 1975.
4. Г. Лейбфрид, В. Людвиг. Теория ангармонических эффектов в кристаллах. М., ИЛ, 1963.
5. Р. Пайерлс. Квантовая теория твердых тел. М., ИЛ, 1956.
6. Ю. Б. Румер, М. Ш. Рывкин. Термодинамика, статистическая физика и кинетика. М., Наука, 1972.
7. В. Н. Жарков, В. А. Калинин. Уравнения состояния твердых тел при высоких давлениях и температурах. М., Наука, 1968.

V құжіғ өршілшілікпісі

1. Дж. Джексон. Классическая электродинамика. М., Мир, 1965.
2. А. Зоммерфельд. Электродинамика. М., ИЛ, 1958.
3. М. Борн, Х. Кунь. Динамическая теория кристаллических решеток. М., ИЛ, 1958.
4. Л. Д. Ландау, Е. М. Лифшиц. Электродинамика сплошных сред. М., Наука, 1982.
5. Г. Фрелих. Теория диэлектриков. М., ИЛ, 1960.
6. В. Браун. Диэлектрики. М., ИЛ, 1961.
7. М. Лайнс, А. Гласс. Сегнетоэлектрики и родственные им материалы. М., Мир, 1981.
8. И. С. Желудев. Физика кристаллических диэлектриков. М., Наука, 1968.
9. Ф. Иона, Д. Ширане. Сегнетоэлектрические кристаллы. М., Мир, 1965.
10. Г. А. Смоленский, Н. Н. Крайник. Сегнетоэлектрики и антисегнетоэлектрики. М., Наука, 1968.

ԵՐԵՎԱՆԻ ՊԵՏԱԿԱՆ ՀԱՍՏԱՏԱՐԱՆ

Ա. ԿԻՐԱԿՈՍՅԱՆ

ՊԻՆԴ ՄԱՐՄՆԻ ՖԻԶԻԿԱՅԻ ՆԵՐԱԾՈՒԹՅՈՒՆ
ԵՐԿՐՈՐԴ ՀՐԱՏԱՐԱԿՈՒԹՅՈՒՆ

ՍԱՍ I

Համակարգչային ճեղքում՝
Ն. Հովհաննեսի

Կազմի ճեղքում՝
Ա. Պատվականյանի

Տեխ. խմբագիր՝
Հ. Ասլանյան

Չափսը՝ 60x84 1/16: Տպ. մամուլ 18:
Տպաքանակը՝ 200 օրինակ:

ԵՊՀ հրատարակչություն
ք. Երևան, 0025, Ալեք Մանուկյան 1



ՀԱՅԱՍՏԱՆԻ Ազգային
Գրադարան 2015